

# ANEXOS



Anexo I. Dataciones citadas en el capítulo 1. Programa de calibración CALIB 6.o.1.

Yacimiento	Municipio	Provincia	Laboratorio	Tipo de Muestra	Contexto	Cronología BP	Desviación estándar	Calibración 1σ (cal ANE)	Bibliografía
Almizaraque	Cuvevas de Almanzora	Almería	KN-73	Carbón	Corte occidental. Perfil este	3810	120	2419-2080	Almagro 1970, 18; Almagro 1972, 236.
Cabezo Negro	Lorca	Murcia	I-10457	Carbón	Sondeo I. Conjunto 3A1. Nivel de habitación. Viga en derrumbe	3530	100	1987-1729	Lull 1983, 302.
Calle Los Tintes	Lorca	Murcia	OxA-7667	Hueso humano	Fosa. Tumba 2	3560	35	1966-1865	Martínez y Ponce 2002a, 156.
Calle Los Tintes	Lorca	Murcia	OxA-7668	Hueso humano	Fosa. Tumba 2	3690	40	2134-2018	Martínez y Ponce 2002a, 156.
Cerro de la Encantada	Granátula de Calatrava	Ciudad Real	CSIC-401	Carbón	Nivel III. Edificio ritual "Complejo 1"	3290	50	1628-1506	Castro et al. 1996, Apéndice VI.
Cerro de la Encantada	Granátula de Calatrava	Ciudad Real	CSIC-402	Carbón	Nivel III. Edificio ritual "Complejo 1"	3280	50	1614-1494	Castro et al. 1996, Apéndice VI.
Cerro de la Encantada	Granátula de Calatrava	Ciudad Real	CSIC-425	Carbón	Nivel III. Edificio ritual "Complejo 7"	3260	50	1589-1473	Nieto y Sánchez 1980, 136; Castro et al. 1996, Apéndice VI.
Cerro de la Encantada	Granátula de Calatrava	Ciudad Real	CSIC-426	Carbón	Nivel III. Edificio ritual "Complejo 7"	3250	50	1576-1463	Castro et al. 1996, Apéndice VI.
Cerro de la Encantada	Granátula de Calatrava	Ciudad Real	CSIC-927	Carbón	Estrato II. Estructura circular de piedra	3660	20	(2119-2096) 24%; (2046-1990) 74%; (1984-1983) 0'8 %	Castro et al. 1996, Apéndice VI.
Cerro de la Encina	Monachil	Granada	GrN-6634	Madera	Fase I-b-final. Bastión. Nivel inferior	3625	40	2030-1927	Arribas 1976, 152; Castro et al. 1996, Apéndice VI.
Cerro de la Encina	Monachil	Granada	UGRA-14	Carbón	Fase 1-c. Bastión. Nivel de incendio superior	3290	140	1742-1415	Castro et al. 1996, Apéndice VI.
Cerro de la Encina	Monachil	Granada	UGRA-15	Madera	Fase I-c. Bastión. Nivel de habitación del 2º momento argárico	3620	130	2161-1810	Castro et al. 1996, Apéndice VI.
Cerro de la Miel	Moraleta de Zafayona	Granada	UGRA-143	Carbón	Corte 4. Estr. A/6. Poste de cabaña	3030	110	1404-1123	Carrasco y Pachón 1986, 373; Castro et al. 1996, Apéndice VI.

**Anexo I. Dataciones citadas en el capítulo 1. Programa de calibración CALIB 6.o.1.**

<b>Cerro de la Mora</b>	Moraleda de Zafayona	Granada	UGRA-217	Carbón	Fase I-2. Tabla 12	3690	90	2206-1953	González et al. 1987, 384.
<b>Cerro de la Mora</b>	Moraleda de Zafayona	Granada	UGRA-262	Carbón	Fase I-2. Nivel de fundación de la fortificación	3710	90	2230-1973	González et al. 1987, 385.
<b>Cerro de la Mora</b>	Moraleda de Zafayona	Granada	UGRA-92	Carbón	FASE 1-a. Zona Alta. Nivel de incendio	3250	140	1698-1370	Carrasco y Pachón 1986, 373; Castro et al. 1996, Apéndice VI.
<b>Cerro de la Virgen</b>	Orce	Granada	Beta 124533	Carbón	Fase III.4 Depósitos ocupación	3780	60	2298-2107	Molina González et al. 2004, 152.
<b>Cerro de la Virgen</b>	Orce	Granada	Beta 124534	Carbón	Fase III.3. Depósito cenizas	3500	70	1911-1736	Molina González et al. 2004, 150.
<b>Cerro de la Virgen</b>	Orce	Granada	Beta 124535	Carbón	Fase III.4. Sobre pavimento	3600	60	2038-1876	Molina González et al. 2004, 152.
<b>Cerro de la Virgen</b>	Orce	Granada	Beta 124536	Carbón?	Fase III.2 Incendio sobre pavimento	3720	100	2262-1974	Molina González et al. 2004: 152.
<b>Cerro de la Virgen</b>	Orce	Granada	Beta 124541	Carbón?	Fase II.3. Incendio sobre pavimento	3700	70	2185-1988	Molina González et al. 2004, 150.
<b>Cerro de la Virgen</b>	Orce	Granada	GrN-5594	Madera	Fase IIIA. T14. Poste revestimiento	3735	55	2223-2055	Arribas 1976, 152; Castro et al. 1994b; Castro et al. 1996, Apéndice VI.
<b>Cerro de la Virgen</b>	Orce	Granada	GrN-5595	Mezcla	Fase III. Nivel de habitación.	3865	50	2431-2272	Arribas 1976, 152; Castro et al. 1994b; Castro et al. 1996, Apéndice VI.
<b>Cerro de la Virgen</b>	Orce	Granada	Ua39397	Huesos humanos	Tumba	3286	34	1606-1518	Cámara y Molina González 2009a, 177-178.
<b>Cerro de la Virgen</b>	Orce	Granada	Ua39407	Huesos humanos	Tumba	3709	41	2158-2039	Cámara y Molina González 2009a, 177-178.
<b>Cerro de la Virgen</b>	Orce	Granada	Ua39408	Huesos humanos	Tumba	3216	33	1512-1447	Cámara y Molina González 2009a, 177-178.
<b>Cerro de la Virgen</b>	Orce	Granada	Ua39409	Huesos humanos	Tumba	3187	31	1483-1428	Cámara y Molina González 2009a, 177-178.
<b>Cerro de la Virgen</b>	Orce	Granada	Ua39416	Huesos humanos	Tumba	3323	31	1642-1551	Cámara y Molina González 2009a, 177-178.
<b>Cerro de la Virgen</b>	Orce	Granada	Ua39418	Huesos humanos	Tumba	3326	30	1645-1553	Cámara y Molina González 2009a, 177-178.
<b>Cerro de la Virgen</b>	Orce	Granada	Ua39419	Huesos humanos	Tumba Triple. Tumba 30.A.1	3802	30	2288-2195	Cámara y Molina González 2009a, 177-178.

**Anexo I. Dataciones citadas en el capítulo 1. Programa de calibración CALIB 6.o.1.**

<b>Cerro de la Virgen</b>	Orce	Granada	Ua39420	Huesos humanos	Tumba Triple. Tumba 30.B.1	3780	32	2257-2156	Cámara y Molina González 2009a, 177-178.
<b>Cerro de la Virgen</b>	Orce	Granada	Ua39421	Huesos humanos	Tumba Triple. Tumba 30C.1	3785	33	2266-2163	Cámara y Molina González 2009a, 177-178.
<b>Cerro de las Víboras</b>	Moratalla	Murcia	I-17131	Semilla	Nivel A1: edificio A	3350	100	1760-1520	Eiroa 2004, 165.
<b>Cerro de las Víboras</b>	Moratalla	Murcia	I-18049	Carbón	Nivel A1	3880	100	2493-2211	Eiroa 2004, 165.
<b>Cerro de las Víboras</b>	Moratalla	Murcia	I-18050	Carbón	Nivel A2	3850	100	2453-2167	Eiroa 2004, 165.
<b>Cerro del Tesoro</b>	Albox	Almería	UGRA-136	Carbón	-	3280	140	1731-1404	Castro et al. 1996, Apéndice VI.
<b>Cuesta del Negro</b>	Purullena	Granada	GrN-7284	Semilla-Cereal	Zona A. Estrato VI/S. Suelo de estructura habitacional.	3095	35	1416-1333	Arribas 1976,152; Castro et al. 1996, Apéndice VI.
<b>Cuesta del Negro</b>	Purullena	Granada	GrN-7285	Carbón	Zona A. Estrato VI/S. Estructura habitacional. Nivel de incendio	3160	35	1466-1408	Arribas 1976,152; Castro et al. 1996, Apéndice VI.
<b>Cuesta del Negro</b>	Purullena	Granada	GrN-7286	Madera	Fase I B. Zona A. Corte 4. Estr. II/N interior T.1	3620	35	2019-1931	Arribas 1976, 152; Castro et al. 1996, Apéndice VI; Lull et al. 2004a,15.
<b>Cuesta del Negro</b>	Purullena	Granada	Ua39462	Huesos humanos	Tumba	3275	30	1593-1511	Cámara y Molina González 2009a, 179-180.
<b>Cuesta del Negro</b>	Purullena	Granada	Ua39465	Huesos humanos	Tumba	3242	30	1539-1467	Cámara y Molina González 2009a, 179-180.
<b>Cuesta del Negro</b>	Purullena	Granada	Ua39466	Huesos humanos	Tumba doble. Tumba 4-P12089	3281	30	1598-1517	Cámara y Molina González 2009a, 179-180.
<b>Cuesta del Negro</b>	Purullena	Granada	Ua39469	Huesos humanos	Tumba doble. Tumba 6-P12105a	3132	30	1441-1389	Cámara y Molina González 2009a, 179-180.
<b>Cuesta del Negro</b>	Purullena	Granada	Ua39472	Huesos humanos	Tumba	3316	30	1631-1545	Cámara y Molina González 2009a, 179-180.
<b>Cuesta del Negro</b>	Purullena	Granada	Ua39489	Huesos humanos	Tumba doble. Tumba29-P45208	3288	34	1608-1520	Cámara y Molina González 2009a, 179-180.
<b>Cuesta del Negro</b>	Purullena	Granada	Ua39490	Huesos humanos	Tumba	3399	30	1673-1587 (95%); 1564-1558 (4%)	Cámara y Molina González 2009a, 179-180.
<b>Cuesta del Negro</b>	Purullena	Granada	Ua39491	Huesos humanos	Tumba doble. Tumba 31-P45520	3254	33	1562-1476	Cámara y Molina González 2009a, 179-180.

**Anexo I. Dataciones citadas en el capítulo 1. Programa de calibración CALIB 6.o.1.**

<b>Cuesta del Negro</b>	Purullena	Granada	Ua39492	Huesos humanos	Tumba doble. Tumba 31-P45521	3287	32	1604-1521	Cámara y Molina González 2009a, 179-180.
<b>Cuesta del Negro</b>	Purullena	Granada	Ua39494	Huesos humanos	Tumba	3276	34	1596-1507	Cámara y Molina González 2009a, 179-180.
<b>El Argar</b>	Antas	Almería	OxA-4965	Hueso humano	Fosa. 1 Individuo infantil. Tumba 89	3655	65	2114-1936	Castro et al. 1994b, 82; Lull et al. 2004, 15.
<b>El Argar</b>	Antas	Almería	OxA-4966	Hueso humano	Urna. 1 Individuo adulto. Tumba 554	3460	60	1864-1709	Castro et al. 1994b, 82.
<b>El Argar</b>	Antas	Almería	OxA-4967	Hueso humano	Urna. 1 individuo. Tumba 768	3375	60	1736-1586	Castro et al. 1994b, 82.
<b>El Castellón Alto</b>	Galera	Granada	Ua37880	Huesos humanos	Tumba doble. Tumba 7-4098-2	3455	40	(1848-1817) 20%; (1808-1717) 78%	Cámara y Molina González 2009a, 174-175.
<b>El Castellón Alto</b>	Galera	Granada	Ua37882	Huesos humanos	Tumba doble. Tumba 75-35442	3630	50	2057-1923	Cámara y Molina González 2009a, 174-175.
<b>El Castellón Alto</b>	Galera	Granada	Ua37883	Huesos humanos	Tumba doble. Tumba 85-4475	3665	45	2112-1980	Cámara y Molina González 2009a, 174-175.
<b>El Castellón Alto</b>	Galera	Granada	Ua37886	Huesos humanos	Tumba doble. Tumba 91-351123	3445	40	(1846-1824) 12%; (1802-1700) 87%	Cámara y Molina González 2009a, 174-175.
<b>El Castellón Alto</b>	Galera	Granada	Ua37887	Huesos humanos	Tumba	3425	40	1774-1665	Cámara y Molina González 2009a, 174-175.
<b>El Castellón Alto</b>	Galera	Granada	Ua37888	Huesos humanos	Tumba doble. Tumba 103	3840	60	2407-2217	Cámara y Molina González 2009a, 174-175.
<b>El Castellón Alto</b>	Galera	Granada	Ua37889	Huesos humanos	Tumba	3435	40	1793-1673	Cámara y Molina González 2009a, 174-175.
<b>El Oficio</b>	Cuevas de Almanzora	Almería	OxA-4969	Hueso humano	Tumba 37	3405	70	1800-1614	Castro et al. 1999b.
<b>El Oficio</b>	Cuevas de Almanzora	Almería	OxA-4970	Hueso humano	Cista Lajas. 1 Individuo adulto. Tumba 62	3635	60	2083-1922	Castro et al. 1994b, 82.
<b>El Picacho</b>	Oria	Almería	CSIC-156	Carbón	Nivel III del recinto E	3450	120	1916-1616	Hernyez y Dug 1975, 114.
<b>El Picacho</b>	Oria	Almería	CSIC-157	Semillas carbonizadas	Nivel III del recinto E	3390	120	1832-1543	Hernyez y Dug 1975, 114.
<b>Fuente Álamo</b>	Cuevas de Almanzora	Almería	B-3652	Carbón	Horizonte V. Fase 16. Corte 2. FA-233	3280	70	1635-1476	Castro et al. 1996, Apéndice VI.
<b>Fuente Álamo</b>	Cuevas de Almanzora	Almería	B-3653	Carbón	Horizonte V. Fase 16. Corte 2. FA-297	3250	70	1600-1447	Castro et al. 1996, Apéndice VI.

**Anexo I. Dataciones citadas en el capítulo 1. Programa de calibración CALIB 6.o.1.**

<b>Fuente Álamo</b>	Cuevas de Almanzora	Almería	B-3657	Carbón	Horizonte IV. Fase 15. Corte 2.. FA-569	3190	100	1578-1353	Castro et al. 1996, Apéndice VI.
<b>Fuente Álamo</b>	Cuevas de Almanzora	Almería	B-3659	Carbón	Horizonte IV. Fase 15b. Corte 2. FA-599	3290	80	1662-1480	Castro et al. 1996, Apéndice VI.
<b>Fuente Álamo</b>	Cuevas de Almanzora	Almería	B-3661	Carbón	Horizonte II. Fase 7d. Corte 12. FA-643	3680	70	2160-1967	Schubart y Arteaga, 1986; Castro et al. 1996, Apéndice VI.
<b>Fuente Álamo</b>	Cuevas de Almanzora	Almería	B-3662	Carbón	Horizonte V. Fase 16a. Corte 2. FA-664	3160	90	1536-1334	Castro et al. 1996, Apéndice VI.
<b>Fuente Álamo</b>	Cuevas de Almanzora	Almería	B-3663	Carbón	Horizonte II. Fase 7 (8). Corte 12. FA-665	3600	70	2058-1867	Schubart 1986, 230.
<b>Fuente Álamo</b>	Cuevas de Almanzora	Almería	B-3931	Carbón	Horizonte IV. Fase 15. Corte 2/6. FA-757	3350	50	1703-1577	Castro et al. 1996, Apéndice VI.
<b>Fuente Álamo</b>	Cuevas de Almanzora	Almería	B-3932	Carbón	Horizonte II. Fase 7d/8. Corte 12. FA-773/1221	3390	60	1757-1600	Schubart 1986, 230.
<b>Fuente Álamo</b>	Cuevas de Almanzora	Almería	B-3933	Carbón	Horizonte II. Fase 7d. Corte 12. FA-775	3690	70	2173-1978	Schubart 1986, 230.
<b>Fuente Álamo</b>	Cuevas de Almanzora	Almería	B-3938	Carbón	Horizonte I. Fase 5b. Corte 12/13. FA-1099	3590	50	2011-1884	Schubart 1986, 230.
<b>Fuente Álamo</b>	Cuevas de Almanzora	Almería	B-3940	Carbón	Horizonte II. Fase 8. Corte 12. FA-1226	3610	40	2012-1917	Schubart 1986, 230.
<b>Fuente Álamo</b>	Cuevas de Almanzora	Almería	B-3941	Carbón	Horizonte II. Fase 7d. Corte 12. FA-1228	3200	50	1517-1421	Schubart 1986, 230.
<b>Fuente Álamo</b>	Cuevas de Almanzora	Almería	B-3943	Carbón	Horizonte III. Fase 11. Corte-6. FA-1372	3970	90	2609-2346	Schubart 1986, 230.
<b>Fuente Álamo</b>	Cuevas de Almanzora	Almería	B-3945	Carbón	Horizonte I. Fase 1/6. Corte 2. FA-1382	3901	60	2470-2300	Schubart 1986, 230.
<b>Fuente Álamo</b>	Cuevas de Almanzora	Almería	Bln-4537	Carbón	Horizonte I. FA-2660	3368	80	1756-1557	Schubart 1986, 230.
<b>Fuente Álamo</b>	Cuevas de Almanzora	Almería	Bln-4772	Carbón	-	3738	39	2197-2071	Lull et al. 2011c, 82.
<b>Fuente Álamo</b>	Cuevas de Almanzora	Almería	KIA-22261	Huesos humanos	Inhumación doble en cista. Individuo masculino. Tumba 69	3760	25	2207-2140	Lull et al. 2011c, 83.
<b>Fuente Álamo</b>	Cuevas de Almanzora	Almería	OxA-4973	Huesos humanos	Covacha. 2 individuos. Mujer adulta. Tumba 75b	3635	50	2064-1928	Castro et al. 1994b, 82.

**Anexo I. Dataciones citadas en el capítulo 1. Programa de calibración CALIB 6.o.1.**

<b>Gatas</b>	Turre	Almería	KIK-50/UtC-1432=KIK-62/UtC-1422	Carbón	S2-Contexto 024	3630	60	2077-1917	Castro et al. 1994a, 291; Castro et al. 1996, Apéndice VI.
<b>Gatas</b>	Turre	Almería	KIK-56/UtC-1438	Carbón	LM II. S3-6A1	3790+-70	70	2330-2109	Castro et al. 1994, 290; Castro et al. 1996, Apéndice VI.
<b>Gatas</b>	Turre	Almería	KIK-63/UtC-1443	Madera	LM II. Sondeo 3. Conjunto 7A1	3420	110	1860-1588	Castro et al. 1996, Apéndice VI.
<b>Gatas</b>	Turre	Almería	OxA-10994	Hueso humano	Inhumación en Cista. 1 individuo mujer. Tumba 42	3765	38	2245-2125	Lull et al. 2004; Lull et al. 2009c, 226.
<b>Gatas</b>	Turre	Almería	OxA-2854	Semillas carbonizadas	LS. Sondeo 2. Contexto 008	3250	70	1600-1447	Castro et al. 1996, Apéndice VI.
<b>Gatas</b>	Turre	Almería	OxA-2855	Semillas carbonizadas	LS. Sondeo 2. Contexto 009	3230	70	1580-1431	Castro et al. 1996, Apéndice VI.
<b>Gatas</b>	Turre	Almería	OxA-2856	Semillas carbonizadas	LS. Sondeo 2. Contexto 010	3250	70	1600-1447	Castro et al. 1996, Apéndice VI.
<b>Gatas</b>	Turre	Almería	OxA-3962	Huesos humanos	Ladera Media II. Sondeo 3. Tumba 20. Inhumación en urna. Infantil	3260	60	1599-1464	Hedges et al. 1993, 319; Castro et al. 1996, Apéndice VI.
<b>Gatas</b>	Turre	Almería	OxA-3963	Huesos humanos	Ladera Media II. Sondeo 3. Tumba 21. Inhumación en urna. Infantil	3310	60	1661-1517	Castro et al. 1996, Apéndice VI.
<b>Gatas</b>	Turre	Almería	OxA-3964	Huesos humanos	Ladera Media II. Zona B. Tumba 23b. Inhumación en urna. Mujer	3285	60	1632-1492	Hedges et al. 1993, 319; Castro et al. 1996, Apéndice VI.
<b>Gatas</b>	Turre	Almería	OxA-3966	Huesos humanos	Ladera Media II. Zona B. Tumba 29. Inhumación en urna. Infantil	3300	60	1649-1506	Hedges et al. 1993, 319; Castro et al. 1996, Apéndice VI.
<b>Gatas</b>	Turre	Almería	Oxa-3970	Huesos humanos	LM II. Zona B.norte. Primera inhumación en cista.Tumba 33	3630	60	2077-1917	Castro et al. 1994b; Castro et al. 1996, Apéndice VI.
<b>Gatas</b>	Turre	Almería	Oxa-4473	Huesos humanos	Ladera Media II. Zona C. Inhumación en cista. Hombre. Tumba 37/2	3665	65	2134-1955	Castro et al. 1994b; Castro et al. 1996.

**Anexo I. Dataciones citadas en el capítulo 1. Programa de calibración CALIB 6.o.1.**

<b>Gatas</b>	Turre	Almería	OxA-4961	Huesos humanos	Cista lajas. Individuo Mujer?. Tumba 01	3690	65	2167-1987	Castro et al.1994b, 82.
<b>Gatas</b>	Turre	Almería	OxA-4962	Huesos humanos	Covacha. 1 individuo. Tumba 11	3890	55	2455-2297	Castro et al. 1994b, 82.
<b>Gatas</b>	Turre	Almería	OxA-4963	Huesos humanos	Covacha. 2 individuos. Tumba 13	3775	55	2284-2109	Castro et al. 1994b, 82.
<b>Gatas</b>	Turre	Almería	UtC-1434	Carbón	Ladera Media I. Sondeo I. Conjunto 4A1	3270	190	1784-1331	Castro et al. 1996, Apéndice VI.
<b>Gatas</b>	Turre	Almería	UtC-1436	Carbón	Ladera Media II. Sondeo 3. Conjunto 11A2	3280	60	1625-1486	Castro et al. 1996, Apéndice VI.
<b>Gatas</b>	Turre	Almería	UtC-2284	Carbón	LM II. Zona B. Conjunto 20A1. Poste de cabaña	3700	60	2170-2002	Castro et al. 1994a, 290; Castro et al. 1996, Apéndice VI.
<b>Gatas</b>	Turre	Almería	UtC-2290	Carbón	LM II. Zona B. Conjunto 28A1. Poste de cabaña	3630	60	2077-1917	Castro et al. 1994a, 291; Castro et al. 1996, Apéndice VI.
<b>Gatas</b>	Turre	Almería	UtC-2292	Carbón	LM II. Zona C. Conjunto 205 B4. Poste de cabaña	3720	60	2195-2019	Castro et al. 1994a, 290.
<b>La Ceñuela</b>	Mazarrón	Murcia	CSIC-140	Carbón	Casa B. Nivel 1. Viga o poste	4050	70	2543-2346	Alonso et al. 1978. González Marcén 1994, tabla 3; Castro et al. 1996, Apéndice VI.
<b>La Ceñuela</b>	Mazarrón	Murcia	CSIC-141	Carbón	Casa B. Nivel 2. (nivel de abandono del nivel de habitación la casa B)	3590	70	2041-1849	Alonso et al. 1978; Castro et al. 1996, Apéndice VI.
<b>Las Herrerías</b>	Cuevas de Almanzora	Almería	CSIC-248	Madera mango de arma	Interior cista	3670	70	2147-1955	Castro et al. 1994b; Castro et al. 1996, Apéndice VI.
<b>Los Castillejos</b>	Montefrío	Granada	Beta 135666	Carbón	Fase 20. Derrumbe sobre suelo	3770+ -70	70	2298-2082	Molina González et al. 2004, 148.
<b>Los Castillejos</b>	Montefrío	Granada	Beta 135667	Carbón	Fase 22. Suelo.	3910	40	(2468-2390) 65%; (2385-2345) 34%	Molina González et al. 2004, 148.
<b>Los Castillejos</b>	Montefrío	Granada	Beta 135668	Carbón	Fase 22. Derrumbe sobre suelo	3640	120	2175-1846	Molina González et al. 2004, 148.
<b>Los Castillejos</b>	Montefrío	Granada	Beta 145303	Carbón	Fase 22. Derrumbe sobre suelo	3960	50	(2545-2410) 96%; (2404-2396) 3%	Molina González et al. 2004, 148.
<b>Los Castillejos</b>	Montefrío	Granada	GrN-7287	Carbón	Fase V-b, estrato VIII	3840	35	2359-2221	De la Torre 1978, 152; Castro et al. 1996, Apéndice VI.




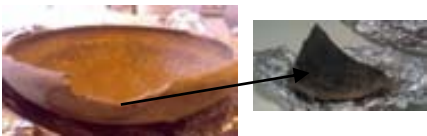

**Anexo I. Dataciones citadas en el capítulo 1. Programa de calibración CALIB 6.o.1.**

<b>Madres Mercedarias</b>	Lorca	Murcia	IRPA-1209	Carbón	UE 828, derrumbe de habitación por incendio	3655	30	(2112-2097) 10%; (2052-1966) 89%	Martínez y Ponce 2002b:110.
<b>Madres Mercedarias</b>	Lorca	Murcia	IRPA-1209	Poster carbonizado	UE 828, derrumbe de habitación por incendio	3655	30	(2112-2097)10%; (2052-1966) 89%	Martínez y Ponce, 2002b:110
<b>Peñalosa</b>	Baños de la Encina	Jaén	Beta 167222	Carbón	Fase IIIA	3800	70	2350-2129	Contreras et al. 2004, 35.
<b>Peñalosa</b>	Baños de la Encina	Jaén	Beta 167223	Carbón	Fase IIIA	3630	70	2091-1902	Contreras et al. 2004, 35.
<b>Peñalosa</b>	Baños de la Encina	Jaén	Beta 167224	Carbón	Fase IIIA	3490	60	1890-1730	Contreras et al. 2004, 35.
<b>Peñalosa</b>	Baños de la Encina	Jaén	Beta 167225 (AMS)	Carbón	-	3470	40	1854-1737	Contreras et al. 2004, 35.
<b>Peñalosa</b>	Baños de la Encina	Jaén	Beta 167226	Carbón	Fase IIIA	3300	70	1661-1498	Contreras et al. 2004, 35.
<b>Peñalosa</b>	Baños de la Encina	Jaén	I-15184	Carbón	Area superior cerro, Corte 9. Torre. Nivel abandono. Viga o poste	3390	100	1814-1568	Contreras et al. 1991, 235.
<b>Peñalosa</b>	Baños de la Encina	Jaén	I-16063	Carbón	Fase IIIA. Ladera baja norte. Corte 14. Nivel Doméstico. Viga o poste	3680	100	2209-1928	Contreras et al. 1991, 235.
<b>Peñalosa</b>	Baños de la Encina	Jaén	I-16064	Carbón	Ladera superior. Corte 15. Taller. Nivel abandono. Viga o Poste	3420	100	1849-1600	Contreras et al. 1991, 235.
<b>Peñalosa</b>	Baños de la Encina	Jaén	I-16352	Carbón	Fase IIIA. Ladera baja norte. Corte 20. Nivel Doméstico. Viga o poste	3640	100	2144-1869	Contreras et al. 1991, 235.
<b>Qurénima</b>	Antas	Almería	OxA-5028	Huesos humanos	Tumba 25	3200	65	1543-1408	<a href="https://c14.arch.ox.ac.uk/databases/db.php">https://c14.arch.ox.ac.uk/databases/db.php</a>
<b>Rincón de Almendricos</b>	Lorca	Murcia	UGRA-146	Carbón	Casa D: hogar en patio	3680	100	2209-1928	Castro et al. 1996, Apéndice VI; Eiroa 2004, 165.
<b>Rincón de Olvera</b>	Úbeda	Jaén	UGRA-54	Carbón	Estrato base asentamiento. Relleno de cista	3380	110	1810-1545	Castro et al. 1996, Apéndice VI.
<b>Rincón de Olvera</b>	Úbeda	Jaén	UGRA-73=UGRA-345	Carbón	-	3327	75	1699-1522	Castro et al. 1996, Apéndice VI.

**Anexo I. Dataciones citadas en el capítulo 1. Programa de calibración CALIB 6.o.1.**

Rincón de Olvera	Úbeda	Jaén	UGRA-74	Carbón	Casa del "bronce tardío". Primer nivel de incendio	3310	150	1777-1426	Castro et al. 1996, Apéndice VI.
------------------	-------	------	---------	--------	---	------	-----	-----------	----------------------------------

## Anexo II. Síntesis del protocolo de muestreo cerámico destinado al análisis de residuos orgánicos en contextos arqueológicos

Tipo de muestra	Definición	Características de la muestra	Procedimiento	Almacenaje
RES-1 (en campo o laboratorio)	Sedimento en contacto con el interior de la pared cerámica.	5-6 gramos de sedimento. 	<ol style="list-style-type: none"> <li>1. Recoger con el paletín el sedimento.</li> <li>2. Guardar la muestra en un trozo de papel de aluminio.</li> <li>3. Trasladar al museo/laboratorio.</li> </ol>	Caja de porexpan o refrigerador.
RES-2 (tomar siempre en campo)	Sedimento de contraste del mismo contexto de deposición de la pieza.		<ol style="list-style-type: none"> <li>1. Tomar a 40 cm. de distancia de la pieza.</li> <li>2. Guardar la muestra en un trozo de papel de aluminio.</li> <li>3. Trasladar al museo/laboratorio.</li> </ol>	Caja de porexpan o refrigerador.
RES-3 (tomar en campo o laboratorio)	Muestra cerámica procedente de una pieza completa o fragmentada.	<p>-Si la pieza está entera y se ha decidió analizar, se tomará una muestra de la cara interna directamente con el taladro.</p> <p>-Si la pieza está fragmentada, se tomará un fragmento informe de 3x5cm. que conserve ambas caras (externa/interna).</p> 	<ol style="list-style-type: none"> <li>1. Recoger la pieza con guantes de nitrilo/papel aluminio.</li> <li>2. No tocar la pieza con las manos/no guardar en bolsa de plástico directamente.</li> <li>3. Trasladar al museo/laboratorio donde se muestreará.</li> </ol>	Caja de porexpan o refrigerador.
RES-4 (tomar en campo o laboratorio)	Muestra cerámica procedente de una pieza incompleta/fragmentada (conserva + del 50% de la pieza).	<p>-Fragmento informe de 3x5 cm. que conserve ambas caras (externa/interna).</p> 	<ol style="list-style-type: none"> <li>1. La pieza se extraerá envuelta en papel aluminio y se trasladará al laboratorio.</li> <li>2. Recoger la pieza con guantes de nitrilo/papel aluminio.</li> <li>3. No tocar la pieza con las manos/no guardar en bolsa de plástico directamente.</li> <li>4. Trasladar al museo/laboratorio donde se muestreará.</li> </ol>	Caja de porexpan o refrigerador.

## Anexo II. Síntesis del protocolo de muestreo cerámico destinado al análisis de residuos orgánicos en contextos arqueológicos

<b>RES-5</b> (tomar en campo o laboratorio)	Residuo orgánico asociado a la pieza cerámica.	Materia orgánica procedente de la sustancia originaria que contenía la pieza en el momento de su último uso. Generalmente suele conservarse carbonizado.	<ol style="list-style-type: none"><li>1. Eliminar posibles elementos externos (sedimento) previamente.</li><li>2. Recoger todo el residuo con bisturí y guardar en papel de aluminio o un vial de vidrio, previamente limpiado.</li><li>2. Guardar en el refrigerador a la espera de su análisis.</li></ol>	Caja de porexpan o refrigerador.
--	--	--	---	----------------------------------

**Anexo III.**  
**Protocolo para la extracción de compuestos orgánicos en muestras arqueológicas**  
**(Universidad de Bradford)**

Procedimiento para la extracción y derivatización de compuestos orgánicos con BSTFA+1% TMCS de muestras cerámicas pulverizadas y de sedimento arqueológico para análisis (GC-MS).

- o. Todo el material de vidrio que se utiliza durante el procedimiento se ha de limpiar previamente para asegurar que está libre de compuestos orgánicos. La limpieza se realiza con disolución diclorometano/metanol (DCM/MeOH) 2:1.
1. Pesar en un vial de 20 ml de vidrio entre 1-2 g de muestra cerámica pulverizada.
2. Añadir 10 ml de DCM/MeOH 2:1 (v/v).
3. Sonicar esta mezcla durante 15 minutos en baño de ultrasonidos.
4. Hacer una pausa de 15 minutos una vez se ha terminado el sonicado.
5. Sonicar 15 minutos adicionales en baño de ultrasonidos.
6. Centrifugar el vial cerrado a 2200 rpm durante 2 minutos.
7. Transferir el líquido sobrenadante a un vial cónico con ayuda de una pipeta Pasteur.
8. Iniciar la evaporación a sequedad de la fracción líquida bajo corriente de nitrógeno sobre placa calefactora a 40°C.
9. Añadir 1 ml de DCM/MeOH 2:1 (v/v) y volver a calentar en la placa calefactora para disolver el extracto en el disolvente y concentrar la muestra.
10. Evaporar el disolvente bajo corriente de nitrógeno sobre placa calefactora a 40°C.
11. Derivatización de la muestra:
  - o Añadir 50 µL de reactivo de derivatización (BSTFA + 1% TMSC).
  - o Añadir 50 µL de disolvente diclorometano
  - o Tapar el vial con tapón y aplicar vórtex al tubo durante 1 minuto para homogeneizar.
  - o Calentar en placa calefactora durante 10 minutos a 60 °C.
12. Transferir a un vial con inserto.
13. Añadir 5 µl de disolución de patrón interno de tetratriacontano (C<sub>34</sub>H<sub>70</sub>) en iso octano<sup>1</sup> (con una concentración de 500 ng/µl).

---

<sup>1</sup> El patrón interno sólo se añadió en un 9,6% del total de las muestras analizadas en este laboratorio.

**Anexo III.**  
**Protocolo para la extracción de compuestos orgánicos en muestras arqueológicas**  
**(Universidad de Bradford)**

14. Inyectar en el cromatógrafo de gases - espectrómetro de masas.

## Anexo IV.

### Protocolo para la extracción de compuestos orgánicos en muestras arqueológicas (Servei d'Anàlisi Química. UAB)

Procedimiento para la extracción y derivatización de compuestos orgánicos con BSTFA+1% TMCS de muestras cerámicas pulverizadas y de sedimento arqueológico para análisis (GC-MS).

- o. Todo el material de vidrio que se utilice durante el procedimiento tiene que haberse limpiado previamente para asegurar que está libre de compuestos orgánicos. La limpieza se realiza con disolución diclorometano/metanol (DCM/MeOH) 2:1.
1. Pesar en un vial de 20 ml de vidrio entre 1-2 g de muestra cerámica pulverizada<sup>1</sup>.
2. Añadir 10 µl de DCM/MeOH 2:1 (v/v) con probeta de vidrio.
3. Añadir 10 µl de disolución de patrón interno de Tetratriacontano (C<sub>34</sub>H<sub>70</sub>) en hexano (concentración ca. 2.5 µg/ml) con una jeringa de 10 µl. Es importante limpiar previamente con disolución patrón la jeringa y verificar que no hay burbujas de aire en el interior al hacer la adición.
4. Tapar herméticamente con tapón de rosca con recubrimiento interno libre de plástico.
5. Sonicar durante 15 minutos en baño de ultrasonidos, cambiando el agua del baño si se calienta demasiado. El agua del baño debe cubrir el nivel de líquido de la muestra.
6. Hacer una pausa de 15 minutos una vez se ha terminado el sonicado.
7. Sonicar 15 minutos adicionales en baño de ultrasonidos.
8. Centrifugar el vial cerrado a 4000 rpm durante 10 minutos.
9. Transferir el líquido sobrenadante a un tubo de vidrio cónico de 15 ml con pipeta Pasteur sin apurar el líquido sobre la muestra.
10. Iniciar la evaporación a sequedad bajo corriente de nitrógeno sobre placa calefactora a 50°C.
11. Añadir 3ml adicionales de DCM/MeOH 2:1 v/v en el vial de 20 ml con el residuo de la cerámica pulverizada ya extractada anteriormente.

---

<sup>1</sup> Cada tanda de muestras extraídas contenía un blanco de proceso preparado igual que la muestra en vial de vidrio cónico (10 ml de DCM/MeOH 2:1 + 10 µl de patrón interno tetratriacontano de concentración c. 2.5 µg/ml) y seguir desde aquí el mismo procedimiento de preparación que la muestra. El blanco aportará información sobre posibles contaminantes presentes en el sistema.

#### Anexo IV.

### Protocolo para la extracción de compuestos orgánicos en muestras arqueológicas (Servei d'Anàlisi Química. UAB)

12. Sonicar esta mezcla durante 5 minutos en el baño de ultrasonidos.
13. Centrifugar el vial cerrado a 4000 rpm durante 10 minutos.
14. Para cada muestra transferir el sobrenadante con pipeta Pasteur al mismo tubo cónico de 15 ml. del punto 9.
15. Evaporar a sequedad el disolvente bajo corriente de nitrógeno sobre placa calefactora.
16. Añadir 1 ml de DCM/MeOH 2:1 v/v con pipeta Pasteur (medido con probeta) intentando arrastrar el residuo de las paredes al fondo del vial cónico.
17. Evaporar de nuevo a sequedad con corriente de nitrógeno sobre placa calefactora a 50°C.
18. Sobre el residuo obtenido en el tubo de vidrio cónico añadir 50 µL de reactivo de derivatización BSTFA + 1% TMSC en jeringa de 50 µl.
19. Aplicar vórtex al tubo de vidrio cónico durante 1 minuto (para homogeneizar).
20. Tapar el vial con tapón de matraz y calentar en placa calefactora durante 15 minutos a 60°C.
21. Dejar enfriar.
22. Añadir 250 µl de disolución DCM/MeOH 2:1 v/v con jeringa de 500 µl para reconstruir la muestra.
23. Aplicar vórtex al tubo de vidrio cónico durante 1 minuto.
24. En caso de presencia de sólido, transferir la cantidad imprescindible del sobrenadante más limpio a un inserto de vidrio en un vial de 1.5 ml y encapsular.
25. Inyectar la muestra en el cromatógrafo de gases-detector de espectrometría de masas.



## Anexo V.

### Protocolo para la extracción de compuestos orgánicos en muestras arqueológicas (Institut de Ciència i Tecnologia Ambientals. UAB)

Procedimiento para la extracción y derivatización de compuestos orgánicos con BSTFA+1% TMCS de muestras cerámicas pulverizadas y de sedimento arqueológico para análisis (GC-FID/GC-MS/GC-C-IRMS).

- o. Todo el material de vidrio que se utilice durante el procedimiento tiene que haberse limpiado previamente para asegurar que está libre de compuestos orgánicos. La limpieza se realiza en un horno de mufla y se calcina el material de vidrio a 450°C durante 6 horas.
1. Pesar en un tubo de centrifuga de vidrio de (16x100 mm) entre 1-2 g de muestra cerámica pulverizada<sup>1</sup>.
2. Añadir 40 µl de disolución de patrón interno de tetratriacontano (C<sub>34</sub>H<sub>70</sub>) en isooctano<sup>2</sup> (con una concentración de 0,625 mg/µl).
3. Añadir 5 ml de DCM/MeOH 3:1 (v/v).
4. Sonicar esta mezcla durante 15 minutos en baño de ultrasonidos.
5. Centrifugar el tubo cerrado a 2200 rpm durante 10 minutos.
6. Transferir el líquido sobrenadante a un tubo de centrifuga limpio de 16x 100 mm con ayuda de una pipeta Pasteur.
7. Iniciar la evaporación a sequedad de la fracción líquida en el concentrador centrífugo a vacío (Centrivap).
8. Repetir los pasos 3 al 7 con el vial que contiene la muestra sólida dos veces más, incluyendo la transferencia al mismo tubo del paso 7, para recuperar el máximo posible de muestra<sup>3</sup>.
9. Una vez terminado el proceso de concentrado del extracto orgánico, eliminar las trazas de agua que pueda contener la muestra, eluyendo el extracto por una

---

<sup>1</sup> Cada tanda de muestras extraídas contenía un blanco de proceso que siguió el mismo procedimiento de preparación de las muestras con el fin de documentar posibles contaminaciones durante el proceso. En algunos casos además se preparó un segundo blanco que, además de contener tetratriacontano como patrón interno, incluía también una cantidad conocida (1000-1250 ng) de ácido oleico y ácido tetracosanoico.

<sup>2</sup> La concentración de patrón interno añadido se redujo a 25,49 mg/µl en las 27 últimas muestras, añadiéndose 50 µl, tras comprobar que la concentración utilizada era desproporcionada en relación a la cuantía de los compuestos identificados en las muestras.

<sup>3</sup> Como método alternativo para la extracción se puede utilizar el microondas; tras añadir a la muestra el patrón interno se traspasa a los tubos utilizados en el microondas añadiendo a la muestra 15 ml de DCM/MeOH 3:1 v/v. Los tubos se calentará durante 5 minutos a 70°C en el microondas, para realizar a continuación una centrifugación (2200 rpm, 10 minutos).

## Anexo V.

### Protocolo para la extracción de compuestos orgánicos en muestras arqueológicas (Institut de Ciència i Tecnologia Ambientals. UAB)

pipeta Pasteur rellena con sulfato de sodio. Utilizar para eluir la muestra DCM y recogerla en un vial de 2 ml.

10. Evaporar a sequedad el extracto de la muestra en el concentrador centrífugo a vacío (Centrivap) o bajo un flujo de nitrógeno.
11. Traspasar la muestra seca a un vial con inserto utilizando como disolvente diclorometano.
12. Evaporar a sequedad el disolvente bajo corriente de nitrógeno.
13. Derivatización de la muestra:
  - Añadir 50  $\mu$ L de disolvente DCM
  - Añadir 50  $\mu$ L de reactivo de derivatización (BSTFA + 1% TMSC).
  - Tapar el vial con tapón.
  - Calentar en placa calefactora durante 60 minutos a 60 °C.
14. Llevar la muestra a sequedad en el concentrador centrífugo a vacío (Centrivap).
15. Añadir 40  $\mu$ L de isooctano para reconstituir la muestra.
16. Inyectar la muestra para el análisis correspondiente (GC-FID, GC-MS o GC-C-IRMS).

## Anexo VI

### Métodos instrumentales para el análisis de las muestras procesadas

#### **Cromatografía de gases-espectrometría de masas**

- **Laboratorio analítico:** "Department of Archaeological Sciences" (Universidad de Bradford)".

El análisis se realizó en un cromatógrafo de gases modelo Agilent 7890A Series GC acoplado a un espectro de masas Modelo 5975C Inert XL. Equipado con una columna Agilent DB5-MS de 15m x 0.25 mm x 0.25 µm. El inyector trabajó en modo "splitless" y el helio fue el gas portador. La ionización por impacto electrónico fue de 70eV y el rango de masas obtenido está comprendido entre 50 y 800 m/z. La temperatura del horno fue programada a 50°C durante 2 minutos, con una rampa de temperatura hasta 320°C, subiendo 10 °C/min, la temperatura se mantuvo a 320 °C durante 10 minutos.

#### **Cromatografía de gases-espectrometría de masas**

- **Laboratorio analítico:** "Servei d'Anàlisi Química" (UAB).

El análisis se realizó en un cromatógrafo de gases modelo Agilent 6890A Series GC acoplado a un espectro de masas Modelo 5973 Inert XL. Equipado con una columna Agilent HP5-MS de 30m x 0.25 mm x 0.25 µm. El inyector trabajó en modo "splitless" y el helio fue el gas portador. La ionización por impacto electrónico fue de 70eV y el rango de masas obtenido está comprendido entre 50 y 800 m/z. La temperatura del horno fue programada a 50°C durante 2 minutos, con una rampa de temperatura hasta 340°C, subiendo 10 °C/min, la temperatura se mantuvo a 340 °C durante 29 minutos

#### **Cromatografía de gases con detector de ionización de llama**

- **Laboratorio analítico:** "Institut de Ciència i Tecnologia Ambientals" (UAB).

La cuantificación se realizó en un cromatógrafo de gases modelo Agilent 7890A Series GC equipado con una columna HP1 de 60 m x 0.25 mm x 0.25 µm. El inyector trabajó en modo "splitless" y el helio fue el gas portador con un flujo constante de 2 °C/min. La ionización por impacto electrónico fue de 70eV. La temperatura del horno comenzó a 70°C durante 5 minutos, con una rampa de temperatura hasta 320°C, subiendo 2,30 °C/min, la temperatura se mantuvo a 320 °C durante 20 minutos.

## Anexo VI

### Métodos instrumentales para el análisis de las muestras procesadas

#### Cromatografía de gases-espectrometría de masas

- **Laboratorio analítico:** "Institut de Ciència i Tecnologia Ambientals" (UAB).

El análisis se realizó en un cromatógrafo de gases modelo Agilent 7890A Series GC acoplado a un espectro de masas Modelo 5975C Inert XL. Equipado con una columna Agilent DB5-MS de 15m x .25 mm x 0.25  $\mu$ m. El inyector trabajó en modo "splitless" y el helio fue el gas portador. La ionización por impacto electrónico fue de 70eV y el rango de masas obtenido está comprendido entre 50 y 800 m/z. La temperatura del horno fue programada a 50°C durante 2 minutos, con una rampa de temperatura hasta 340°C, subiendo 10 °C/min, la temperatura se mantuvo a 340 °C durante 29 minutos.

#### Espectrometría de masas de relaciones isotópicas

- **Laboratorio analítico:** "Institut de Ciència i Tecnologia Ambientals" (UAB).

El análisis se realizó en un cromatógrafo de gases modelo Thermo Trace GC Ultra acoplado a un espectrómetro IRMS modelo Thermo Delta V Advantage mediante una interface Thermo GC Combustion III. El cromatógrafo de gases estaba equipado con una columna Agilent H-1 de 30m x 0.25 mm x 0.25  $\mu$ m. El inyector trabajó en modo "splitless" y el helio fue el gas portador con un flujo constante de 1,5 ml/min. La temperatura del horno fue programada a 60°C durante 1 minuto, con una rampa de temperatura hasta 320°C, subiendo 6°C/min, la temperatura se mantuvo a 320°C durante 20 minutos. A medida que abandonaban el cromatógrafo de gases, los compuestos se sometían a combustión en un reactor a 940 °C con catalizadores de cobre, níquel y platino.

El valor de  $\delta_{13}\text{C}$  de la muestra se conoció a partir del cálculo de la diferencia entre el rango isotópico de la muestra y un patrón conocido (Evershed et al. 2002a). El valor de  $\delta_{13}\text{C}$  obtenido se expresó en relación al patrón "Viena Pee Dee Belemnite"

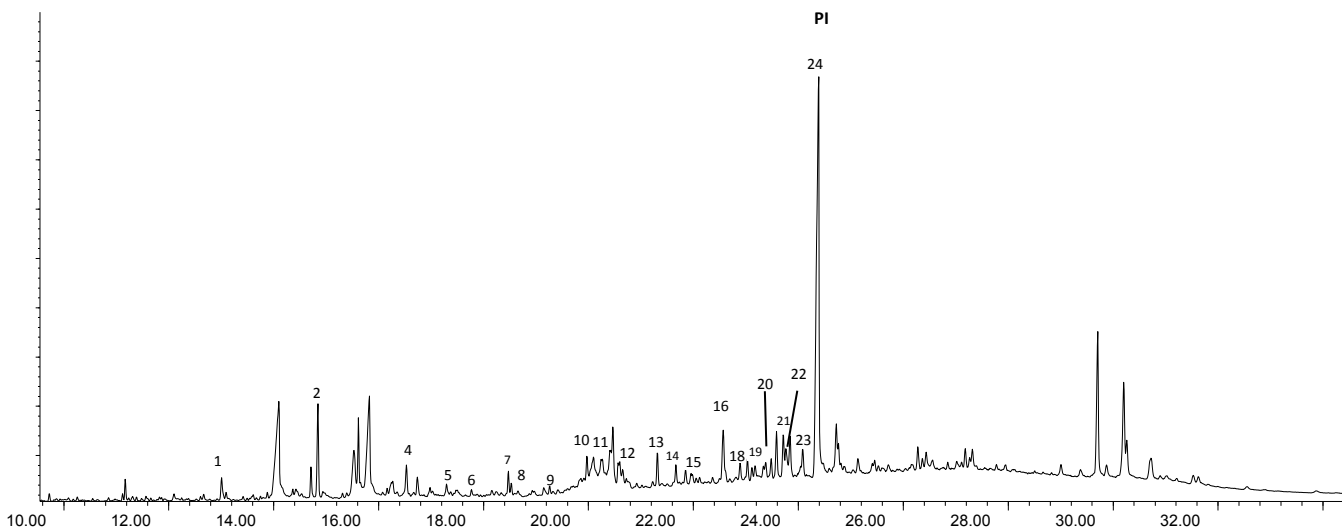
## Anexo VII. Cromatogramas obtenidos para las muestras analizadas.

### Información adicional:

- Los cromatogramas publicados se obtuvieron por GC/MS, salvo en 6 muestras (código 5, 8, 27 30, 32 y 33) que sólo se analizaron por GC-FID.
- El orden de los resultados obtenidos es el siguiente:
  - Cromatogramas de las muestras publicadas en la Tabla 5.19 (página 1 a 106).
  - Resultados de los alisadores analizado<sup>111s</sup> y recogidos en la Tabla 7.4 (página 107 a 111).
  - Resultados del estudio experimental con la cera de abeja y la miel (página 112 a 113).
  - Resultados de la pieza analizada como «muestra control» en los tres laboratorios analíticos (página 114 a 116).
  - Resultados adicionales de algunas piezas analizadas en varias ocasiones y referidas en el texto de investigación (página 117 a 120).
- El título de cada cromatograma responde al código de la muestra y en paréntesis el nº de inventario de la pieza. Con la abreviatura PI se indica el Patrón interno. Debajo del cromatograma se presenta la relación de compuestos identificados.
- Los cromatogramas a continuación reunidos muestran la abundancia relativa entre los diferentes compuestos de cada muestra. Sin embargo, los datos sobre la abundancia de cada compuesto no se refleja en los cromatogramas. La imposibilidad de cuantificar los compuestos en aquellas muestras sin patrón interno fue la razón principal. Aquellas muestras que presentaban un patrón interno conocido y permitieron realizar una cuantificación estimativa presentan los resultados en el Anexo VIII.

# 51 (AY-AY11-15)

Abundancia

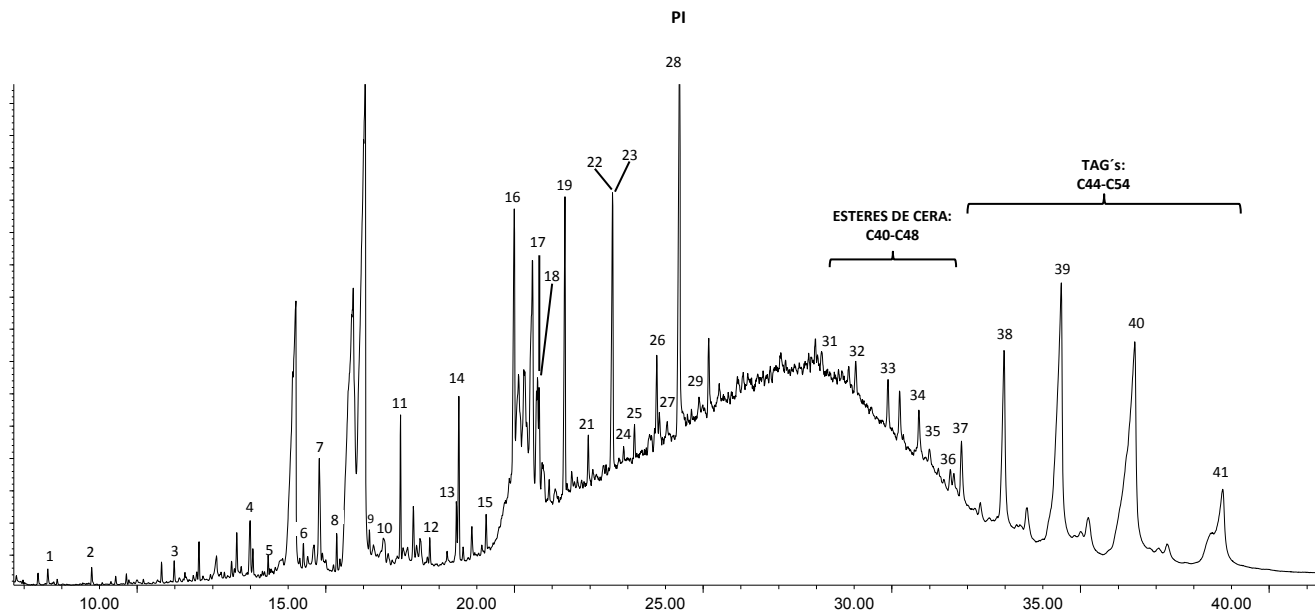


Tiempo de Retención-->

Cromatograma parcial de la muestra 51 (AY-AY11-15). Picos identificados: 1-C14:0; 2-C16:0; 4-C18:0; 5-C23 alcano; 6-C24 alcano; 7-Ftalato (m/z 149); 8-C25 alcano; 9-C26 alcano; 10-C27 alcano; 11-C24-OH; 12-C28 alcano; 13-C29 alcano; 14-C26-OH; 15-C30 alcano; 16-Colesterol (m/z 458); 18-C28-OH; 19-C32 alcano; 20-Estigmasterol (m/z 484); 21- $\beta$ -Sitosterol (m/z 486); 22-C33 alcano; 23-C30-OH; 24-Patrón interno (AL34: *n*-tetratriacontano).

# 53 (AY-AY17-12)

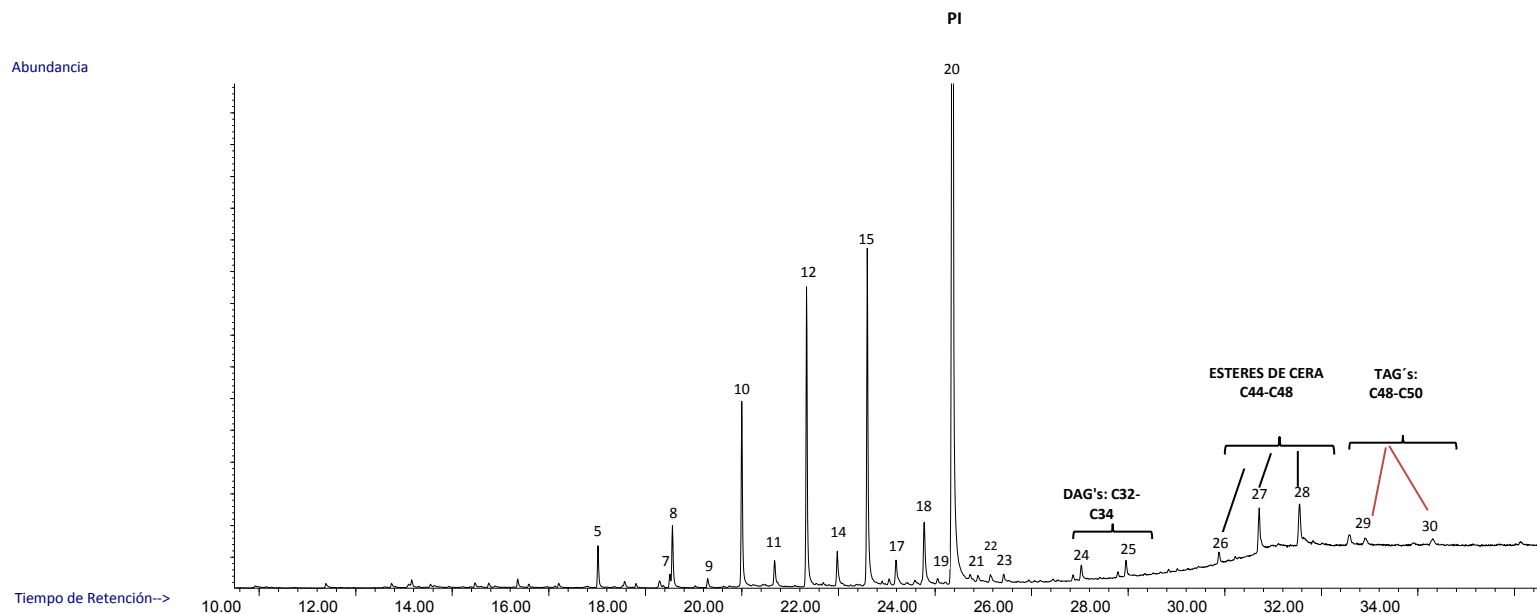
Abundancia



Tiempo de Retención-->

Cromatograma final de la muestra 53 (AY-AY17-12). Picos identificados: 1-C9:0; 2-C10:0; 3-C12:0; 4-C14:0; 5-C19 alcano; 6-C16:0; 7-C16:0; 8-C21 alcano; 9-C22 alcano; 10-C18:0; 11-C23 alcano; 12-C24 alcano; 13-Ftalato (m/z 149); 14-C25 alcano; 15-C26 alcano; 16-C27 alcano; 17-Escualeno (m/z 69); 18-C28 alcano; 19-C29 alcano; 21-C30 alcano; 22-Colesterol (m/z 458); 23-C31 alcano; 24-C28-OH; 25-C32 alcano; 26-C33 alcano; 27-C30-OH; 28-Patrón interno (AL34: *n*-tetratriacontano); 29-C35 alcano; 31-Estér de cera C40; 32-Estér de cera C42; 33-Estér de cera C44; 34-Estér de cera C46; 35-TAG's C44; 36-Estér de cera C48; 37-TAG's C46; 38-TAG's C48; 39-TAG's C50; 40-TAG's C52; 41-TAG's C54.

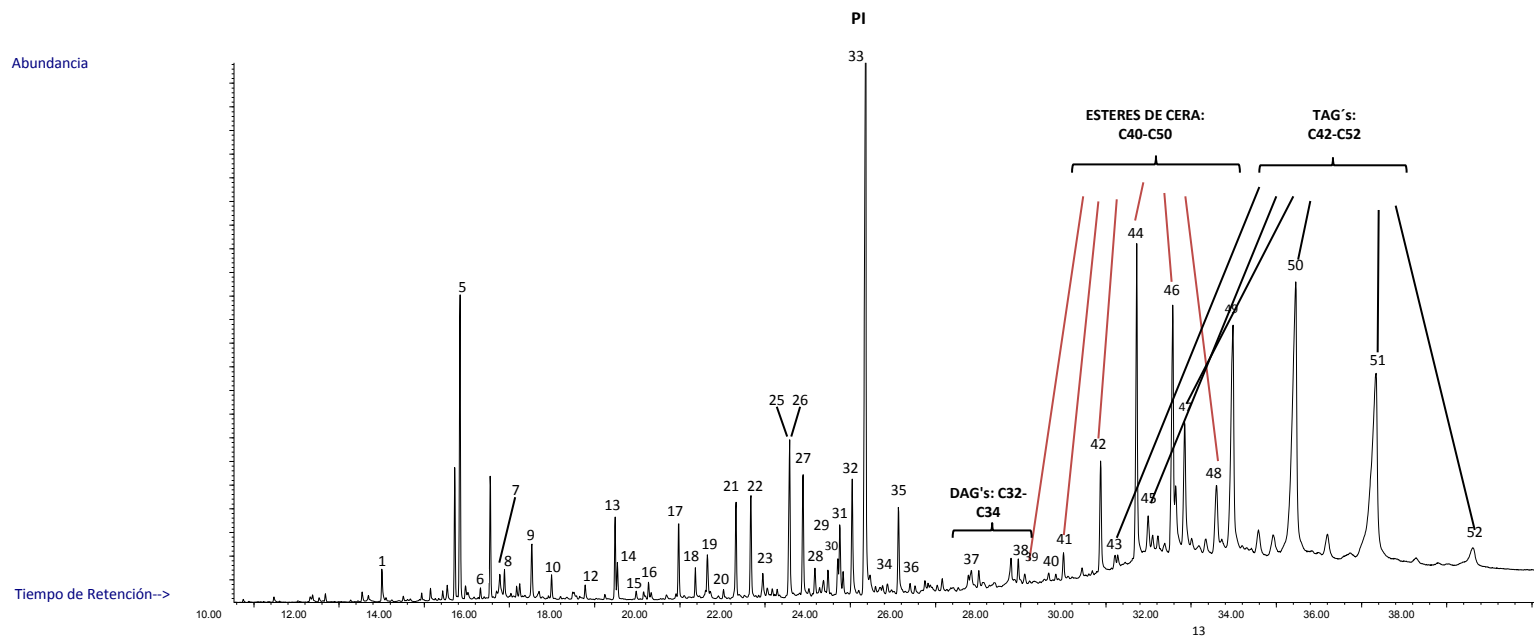
# 45 (AY-AY18-11)



Cromatograma parcial de la muestra 45 (AY-AY18-11). Picos identificados: 5-C23 alcano; 7-Ftalato (m/z 149); 8-C25 alcano; 9-C26 alcano; 10-C27 alcano; 11-C28 alcano; 12-C29 alcano; 14-C30 alcano; 15-C31 alcano; 17-C32 alcano; 18-C33 alcano; 19-C30-OH; 20-Patrón interno (AL34: *n*-tetratriacontano); 21-C35 alcano; 22-C32-OH; 23-C36 alcano; 24-DAG's C32; 25-DAG's C34; 26-Estér de cera C44; 27-Estér de cera C46; 28-Estér de cera C48; 29-TAG's C48; 30-TAG's C50.

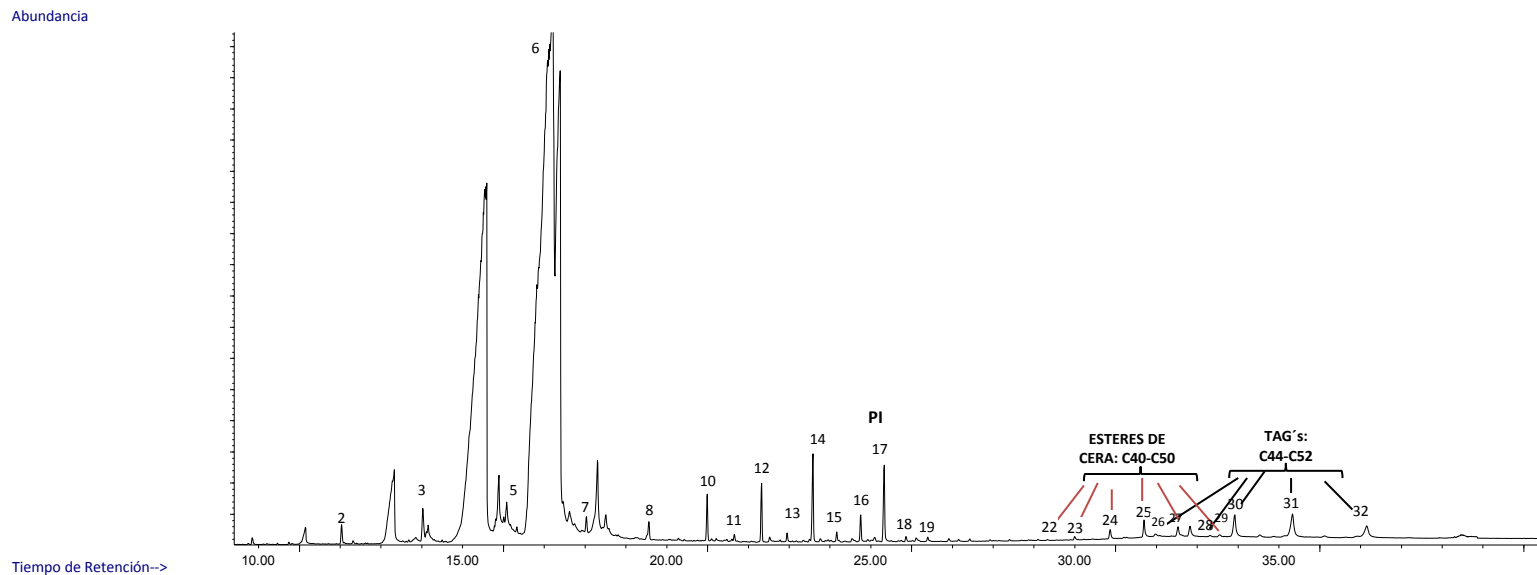


# 44 (AY-AY18-11)



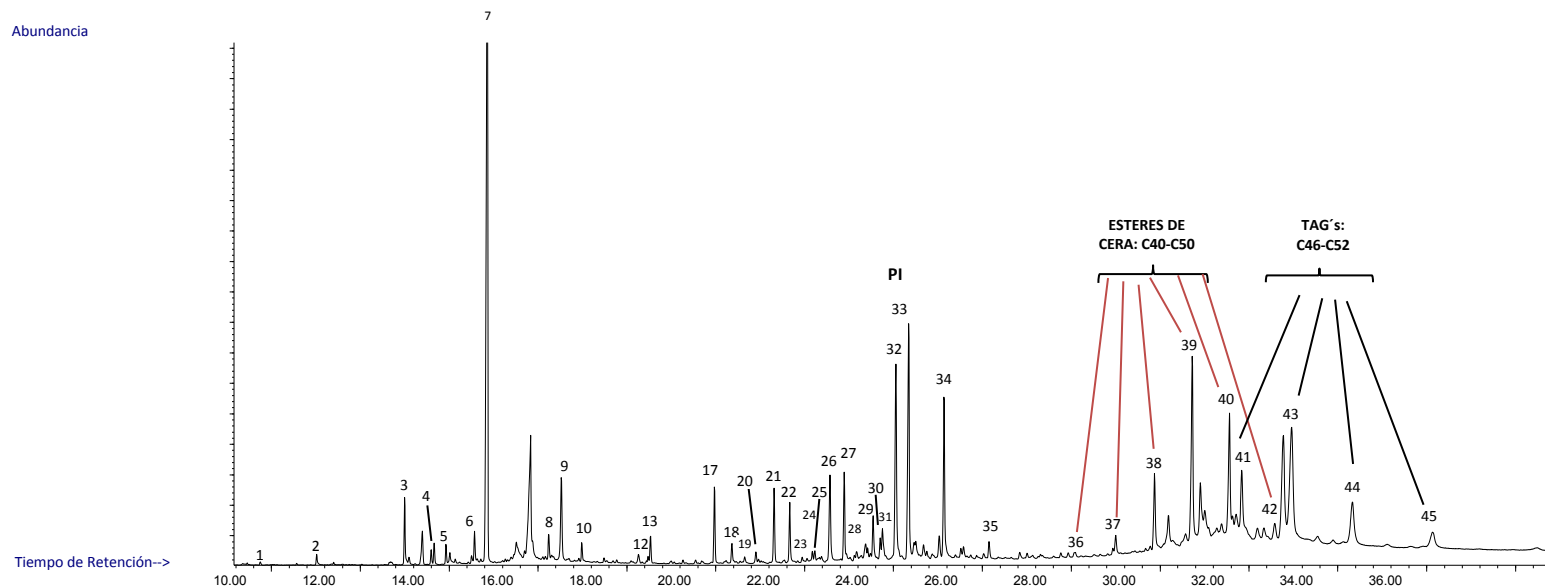
Cromatograma parcial de la muestra 44 (AY-AY18-11). Picos identificados: 1-C14:0; 5-C16:0; 6-C21 alcano; 7-C18:1; 8-C18-OH; 9-C18:0; 10-C23 alcano; 12-C24 alcano; 13-Ftalato (m/z 149); 14-C25 alcano; 15-C22-OH; 16-C26 alcano; 17-C27 alcano; 18-C24-OH; 19-Escualeno (m/z 69); 20-C25-OH; 21-C29 alcano; 22-C26-OH; 23-C30 alcano; 25-Colesterol (m/z 458); 26-C31 alcano; 27-C28-OH; 28-C32 alcano; 29-Estigmasterol (m/z 484); 30- $\beta$ -Sitosterol (m/z 486); 31-C33 alcano; 32-C30-OH; 33-Patrón interno (AL34: *n*-tetratriacontano); 34-C35 alcano; 35-C32-OH; 36-C36 alcano; 37-DAG's C32; 38-DAG's C34; 39-Estér de cera C40; 40-DAG's C36; 41-Estér de cera C42; 42-Estér de cera C44; 43-TAG's C42; 44-Estér de cera C46; 45-TAG's C44; 46-Estér de cera C48; 47-TAG's C46; 48-Estér de cera C50; 49-TAG's C48; 50-TAG's C50; 51-TAG's C52; 52-TAG's C54.

# 47 (AY-AY18-13)



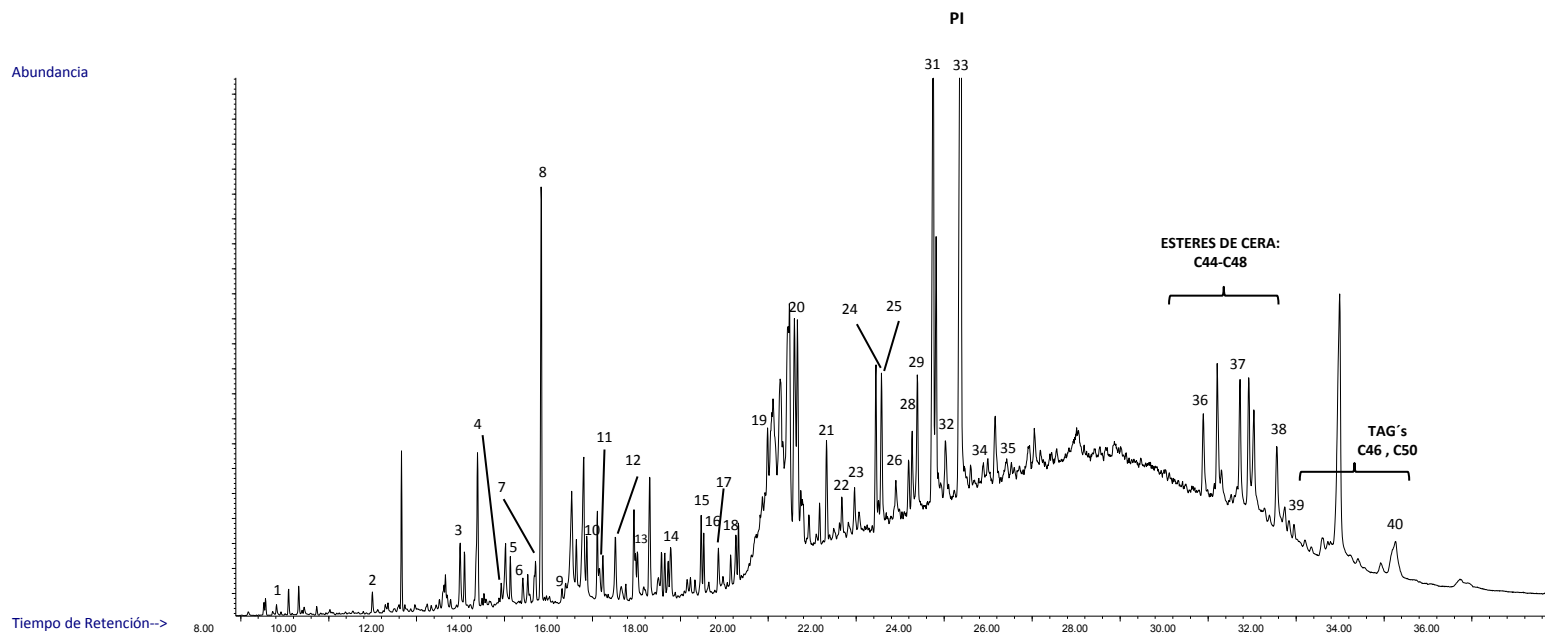
Cromatograma parcial de la muestra 47 (AY-AY18-13). Picos identificados: 2-C12:0; 3-C14:0; 5-C21 alcano; 6-C22 alcano; 7-C23 alcano; 8-C25 alcano; 10-C27 alcano; 11-C28 alcano; 12-C29 alcano; 13-C30 alcano; 14-C31 alcano; 15-C32 alcano; 16-C33 alcano; 17-Patrón interno (AL34: *n*-tetratriacontano); 18-C35 alcano; 19-C36 alcano; 22-Estér de cera C40; 23-Estér de cera C42; 24-Estér de cera C44; 25-Estér de cera C46; 26-TAG's C44; 27-Estér de cera C48; 28-TAG's C46; 29-Estér de cera C50; 30-TAG's C48; 31-TAG's C50; 32-TAG's C52.

# 46 (AY-AY18-13)



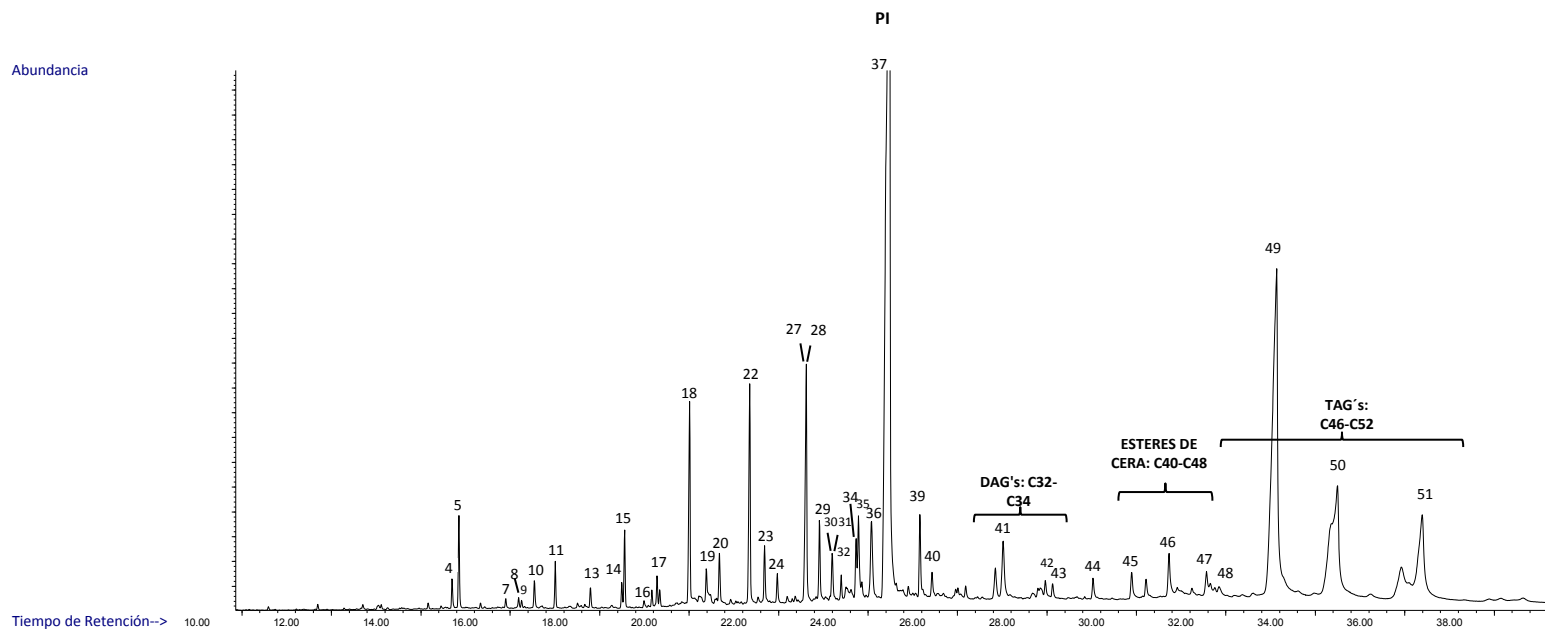
Cromatograma parcial de la muestra 46 (AY-AY18-13). Picos identificados: 1-C10:0; 2-C12:0; 3-C14:0; 4-C15:1; 5-C15:0; 6-C16:1; 7-C16:0; 8-C18:1; 9-C18:0; 10-C23 alcano; 12- Ftalato (m/z 149); 13-C25 alcano; 17-C27 alcano; 18-C24-OH; 19-C28 alcano; 20-C24:0; 21-C29 alcano; 22-C26-OH; 23-C30 alcano; 24-Colesterol (m/z 458); 25-C26:0; 26-C31 alcano; 27-C28-OH; 28-C32 alcano; 29-Estigmasterol (m/z 484); 30-β-Sitosterol (m/z 486); 31-C33 alcano; 32-C30-OH; 33-Patrón interno (AL34: *n*-tetratriacontano); 34-C32-OH; 35-C34-OH; 36-Estér de cera C40; 37-Estér de cera C42; 38-Estér de cera C44; 39-Estér de cera C46; 40-Estér de cera C48; 41-TAG's C46; 42-Estér de cera C50; 43-TAG's C48; 44-TAG's C50; 45-TAG's C52.

# 50 (AY-AY3-19)



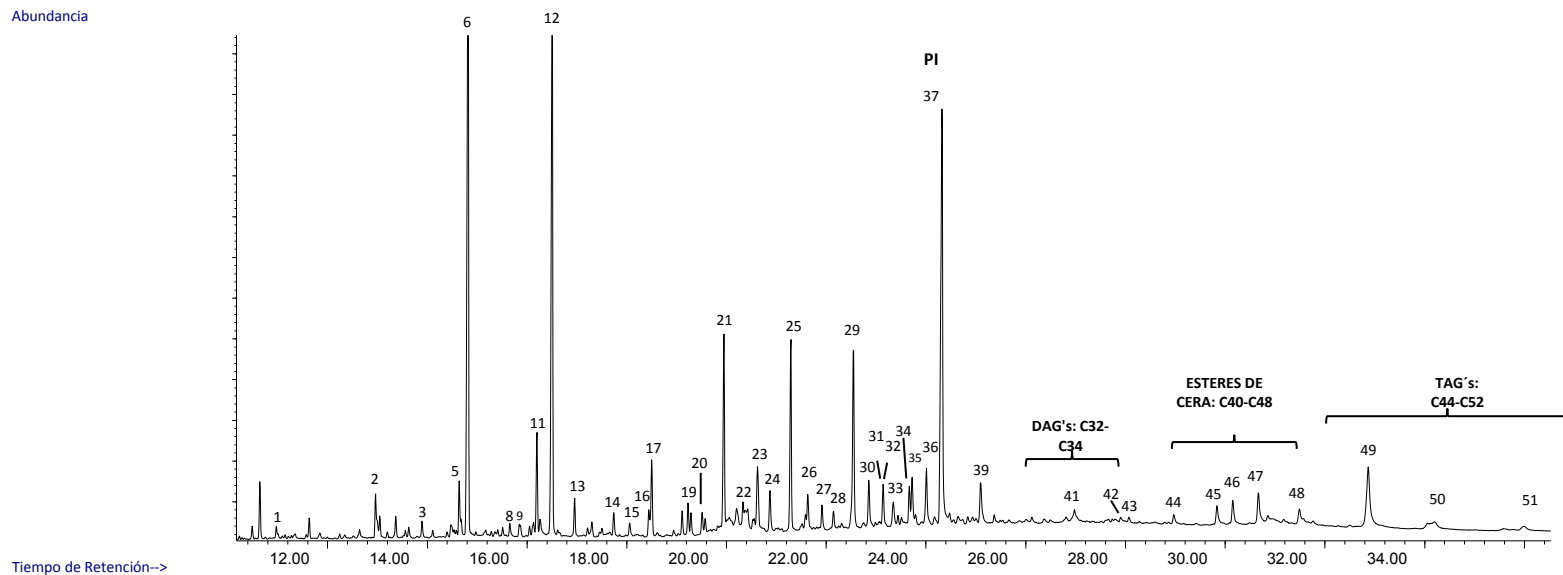
Cromatograma parcial de la muestra 50 (AY-AY3-19). Picos identificados: 1-C10:0; 2-C12:0; 3-C14:0; 4-C15:0; 5-C16-OH; 6-C20 alcano; 7-C16:1; 8-C16:0; 9-C21 alcano; 10-C18-OH; 11-C18:1; 12-C18:0; 13-C23 alcano; 14-C24 alcano; 15-Ftalato (m/z 149); 16-C25 alcano; 17-C22-OH; 18-C26 alcano; 19-C27 alcano; 20-Escualeno (m/z 69); 21-C29 alcano; 22-C26-OH; 23-C30 alcano; 24-Colesterol (m/z 458); 25-C31 alcano; 26-C28-OH; 28-Campesterol (m/z 472); 29-Estigmasterol (m/z 484); 31- $\beta$ -Sitosterol (m/z 486); 32-C30-OH; 33-Patrón interno (AL34: *n*-tetratriacontano); 34-C35 alcano; 35-C36 alcano; 36-Estér de cera C44; 37-Estér de cera C46; 38-Estér de cera C48; 39-TAG's C46; 40-TAG's C50.

# 71 (AY-H10-208)



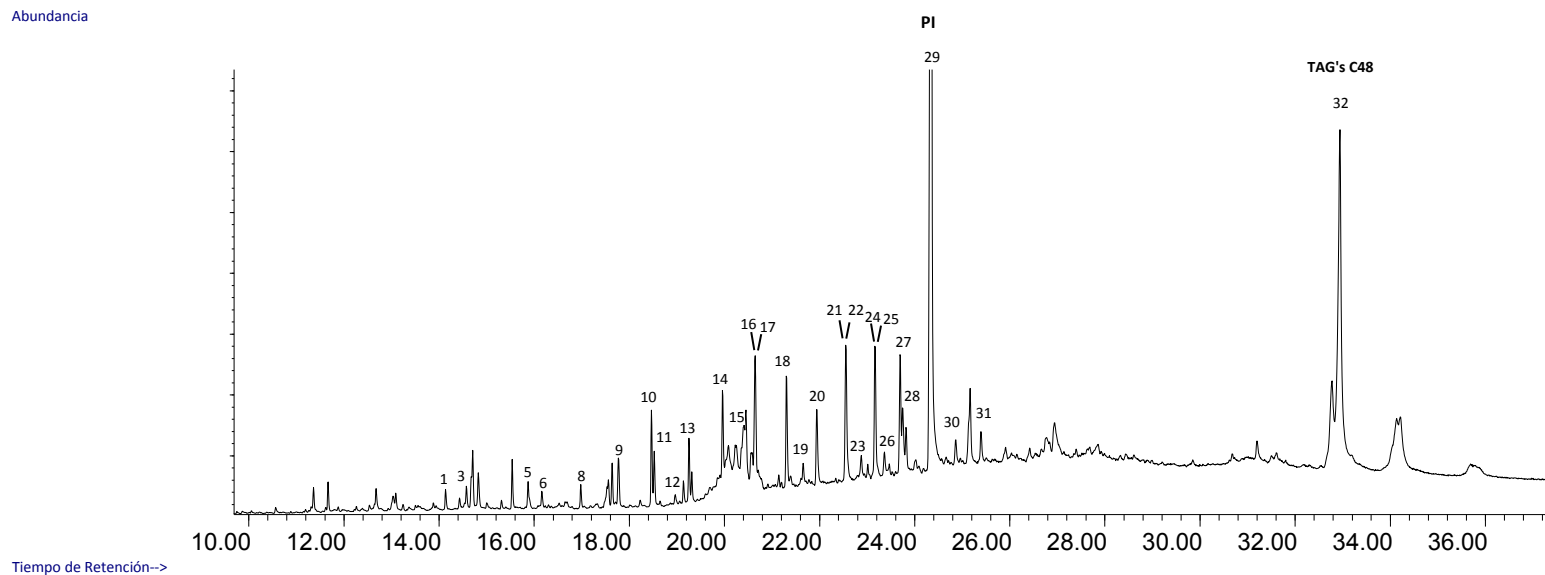
Cromatograma parcial de la muestra 71 (AY-H10-208). Picos identificados: 4-C16:1; 5-C16:0; 7-C18-OH; 8-C22 alcano; 9-C18:1; 10-C18:0; 11-C23 alcano; 13-C24 alcano; 14-Ftalato (m/z 149); 15-C25 alcano; 16-C22-OH; 17-C26 alcano; 18-C27 alcano; 19-C24-OH; 20-C28 alcano; 22-C29 alcano; 23-C26-OH; 24-C30 alcano; 27-Colesterol (m/z 458); 28-C31 alcano; 29-C28-OH; 30-C32 alcano; 31-Campesterol (m/z 472); 32-Estigmasterol (m/z 484); 34- $\beta$ -Sitosterol (m/z 486); 35-C33 alcano; 36-C30-OH; 37-Patrón interno (AL34: *n*-tetratriacontano); 39-C32-OH; 40-C36 alcano; 41-DAG's C32; 42-DAG's C34; 43-Estér de cera C40; 44-Estér de cera C42; 45-Estér de cera C44; 46-Estér de cera C46; 47-Estér de cera C48; 48-TAG's C46; 49-TAG's C48; 50-TAG's C50; 51-TAG's C52.

# 56 (AY-H10-208)



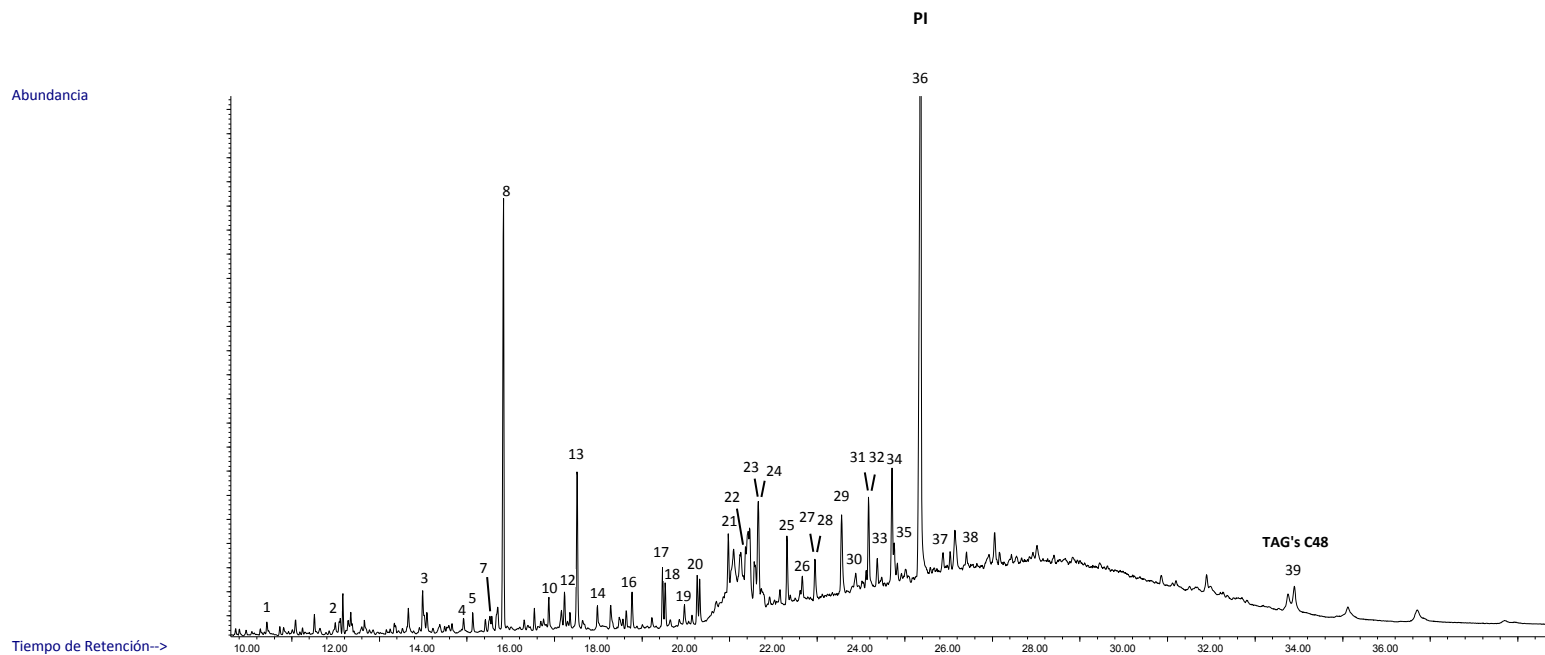
Cromatograma parcial de la muestra 56 (AY-H10-208). Picos identificados: 1-C12:0; 2-C14:0; 3-C15:0; 5-C16:1; 6-C16:0; 8-C17:0; 9-C18-OH; 11-C18:1; 12-C18:0; 13-C23 alcano; 14-C24 alcano; 15-C20:0; 16-Ftalato (m/z 149); 17-C25 alcano; 19-C26 alcano; 20-C22:0; 21-C27 alcano; 22-C24-OH; 23-C28 alcano; 24-C24:0; 25-C29 alcano; 26-C26-OH; 27-C30 alcano; 28-C26:0; 29-C31 alcano; 30-C28-OH; 31-C32 alcano; 32-Campesterol (m/z 472); 33-Estigmasterol (m/z 484); 34- $\beta$ -Sitosterol (m/z 486); 35-C33 alcano; 36-C30-OH; 37-Patrón interno (AL34: *n*-tetratriacontano); 39-C32-OH; 41-DAG's C32; 42-DAG's C34; 43-Estér de cera C40; 44-Estér de cera C42; 45-Estér de cera C44; 46-TAG's C44; 47-Estér de cera C46; 48-Estér de cera C48; 49-TAG's C48; 50-TAG's C50; 51-TAG's C52.

# 59 (AY-H10-298)



Cromatograma parcial de la muestra 59 (AY-H10-298). Picos identificados: 1-C16-OH; 3-C16:1; 5-C18-OH; 6-C22 alcano; 8-C23 alcano; 9-C24 alcano; 10-Ftalato (m/z 149); 11-C25 alcano; 12-C22-OH; 13-C26 alcano; 14-C27 alcano; 15-C24-OH; 16-Escualeno (m/z 69); 17-C28 alcano; 18-C29 alcano; 19-C26-OH; 20-C30 alcano; 21-Colesterol (m/z 458); 22-C31 alcano; 23-C28-OH; 24-Campesterol (m/z 472); 25-C32 alcano; 26-Stigmasterlo (m/z 484); 27- $\beta$ -Sitosterol (m/z 486); 28-C33 alcano; 29-Patrón interno (AL34: *n*-tetratriacontano); 30-C35 alcano; 31-C36 alcano; 32-TAG's C48.

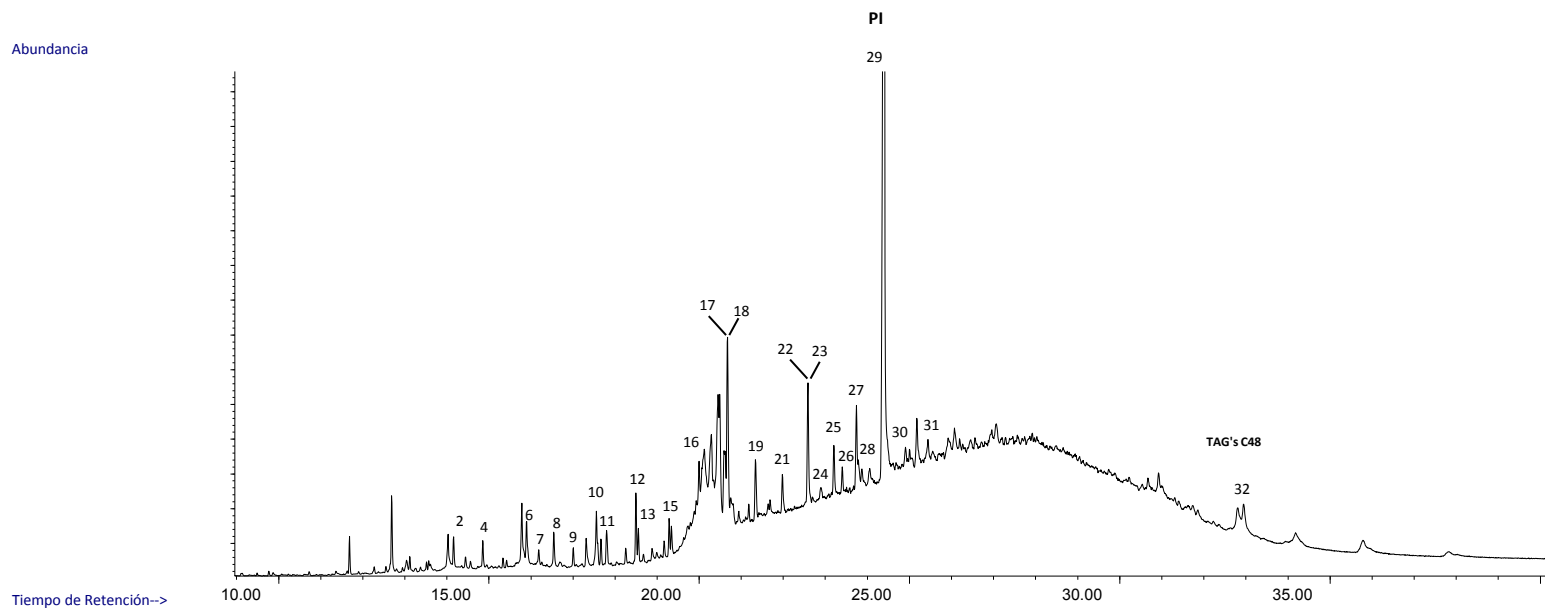
# 55 (AY-H10-300)



Cromatograma parcial de la muestra 55 (AY-H10-300). Picos identificados: 1-C10:0; 2-C12:0; 3-C14:0; 4-C15:0; 5-C16:OH; 7-C16:1; 8-C16:0; 10-C18:OH; 12-C18:1; 13-C18:0; 14-C23 alcano; 16-C24 alcano; 17-Ftalato (m/z 149); 18-C25 alcano; 19-C22:OH; 20-C26 alcano; 21-C27 alcano; 22-C24:OH; 23-Escualeno (m/z 69); 24-C28 alcano; 25-C29 alcano; 26-C26:OH; 27-Colesterol (m/z 458); 28-C30 alcano; 29-C31 alcano; 30-C28:OH; 31-Campesterol (m/z 472); 32-C32 alcano; 33-Estigmasterol (m/z 484); 34- $\beta$ -Sitosterol (m/z 486); 35-C33 alcano; 36-Patrón interno (AL34: *n*-tetratriacontano); 37-C35 alcano; 38-C36 alcano; 39- TAG's C48.

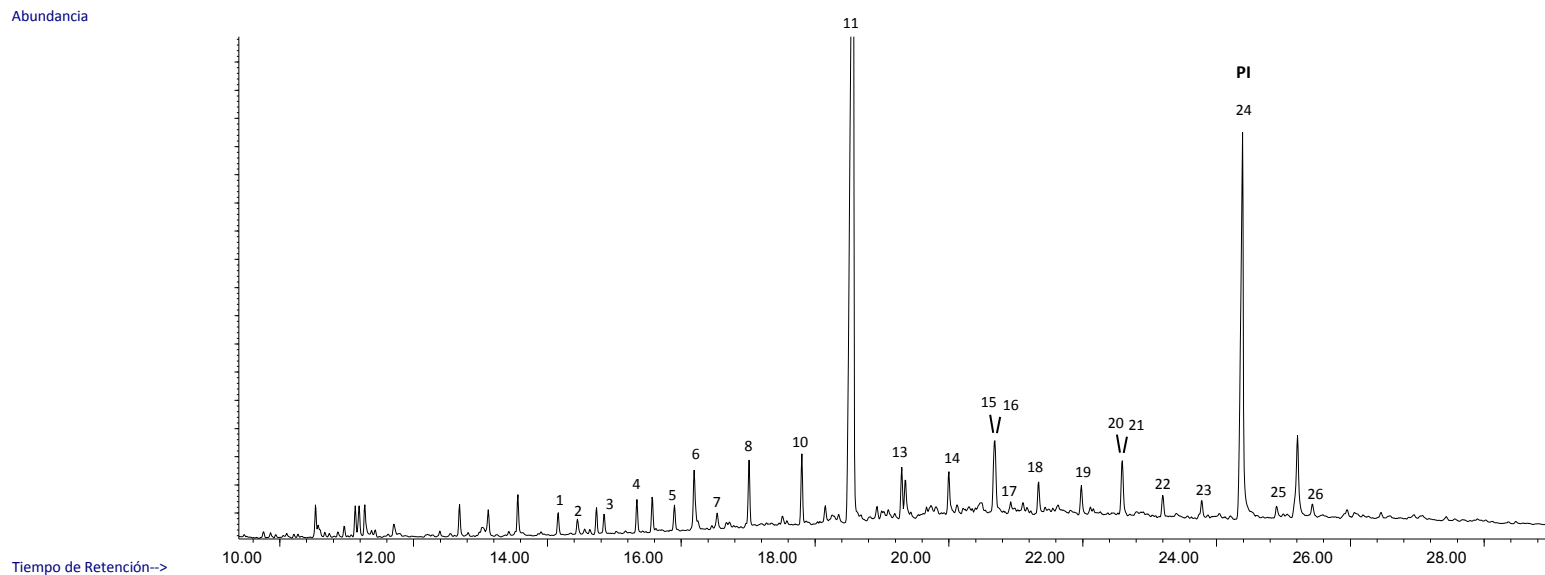


# 54 (AY-H10-301)



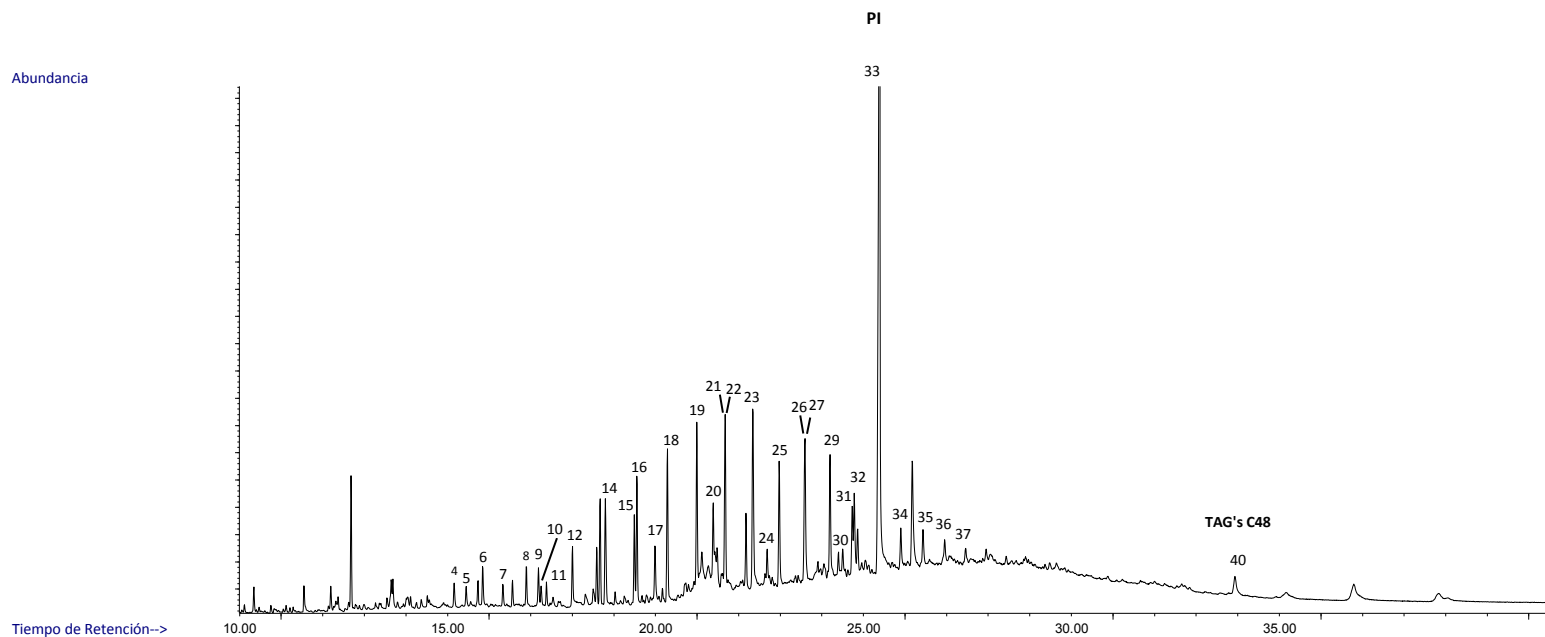
Cromatograma parcial de la muestra 54 (AY-H10-301). Picos identificados: 2-C16-OH; 4-C16:0; 6-C18-OH; 7-C22 alcano; 8-C18:0; 9-C23 alcano; 10-C20-OH; 11-C24 alcano; 12-Ftalato (m/z 149); 13-C25 alcano; 15-C26 alcano; 16-C27 alcano; 17-Escualeno (m/z 69); 18-C28 alcano; 19-C29 alcano; 21-C30 alcano; 22-Colesterol (m/z 458); 23-C31 alcano; 24-C28-OH; 25-C32 alcano; 26-Estigmasterol (m/z 484); 27- $\beta$ -Sitosterol (m/z 486); 28-C33 alcano; 29-Patrón interno (AL34: *n*-tetratriacontano); 30-C35 alcano; 31-C36 alcano; 32-TAG's C48.

# 61 (AY-H11-1)



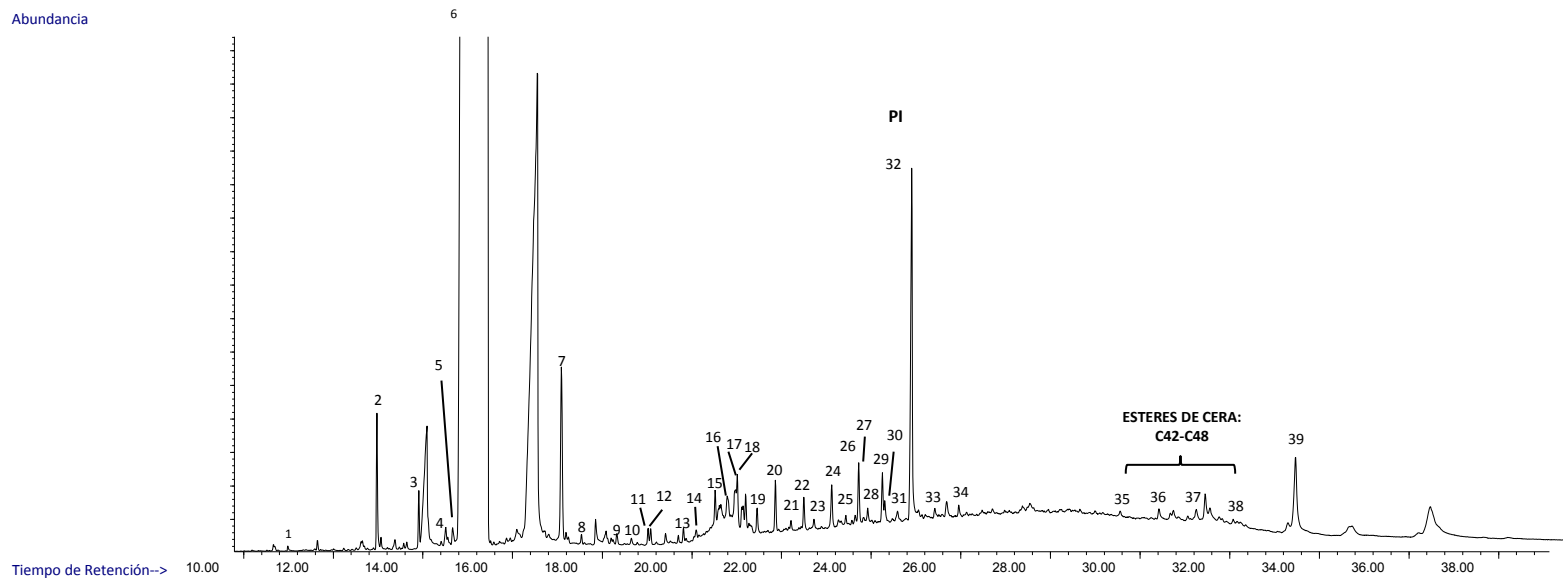
Cromatograma parcial de la muestra 61 (AY-H11-1). Picos identificados: 1-C16-OH; 2-C20 alcano; 3-C16:0; 4-C21 alcano; 5-C18-OH; 6-C22 alcano; 7-C18:0; 8-C23 alcano; 10-C24 alcano; 11-Ftalato (m/z 149); 13-C26 alcano; 14-C27 alcano; 15-Escualeno (m/z 69); 16-C28 alcano; 17-C24:0; 18-C29 alcano; 19-C30 alcano; 20-Colesterol (m/z 458); 21-C31 alcano; 22-C32 alcano; 23-C33 alcano; 24-Patrón interno (AL34: *n*-tetratriacontano); 25-C35 alcano; 26-C36 alcano.

# 57 (AY-H11-58)



Cromatograma parcial de la muestra 57 (AY-H11-58). Picos identificados: 4-C16-OH; 5-C20 alcano; 6-C16:0; 7-C21 alcano; 8-C18-OH; 9-C22 alcano; 10-C18:1; 11-C18:0; 12-C23 alcano; 14-C24 alcano; 15-Ftalato (m/z 149); 16-C25 alcano; 17-C22-OH; 18-C26 alcano; 19-C27 alcano; 20-C24-OH; 21-Escualeno (m/z 69); 22-C28 alcano; 23-C29 alcano; 24-C26-OH; 25-C30 alcano; 26-Colesterol (m/z 458); 27-C31 alcano; 29-C32 alcano; 30-Estigmasterol (m/z 484); 31- $\beta$ -Sitosterol (m/z 486); 32-C33 alcano; 33-Patrón interno (AL34: *n*-tetratriacontano); 34-C35 alcano; 35-C36 alcano; 36-C37 alcano; 37-C38 alcano; 40-TAG's C48.

# 52 (AY-H11-87)

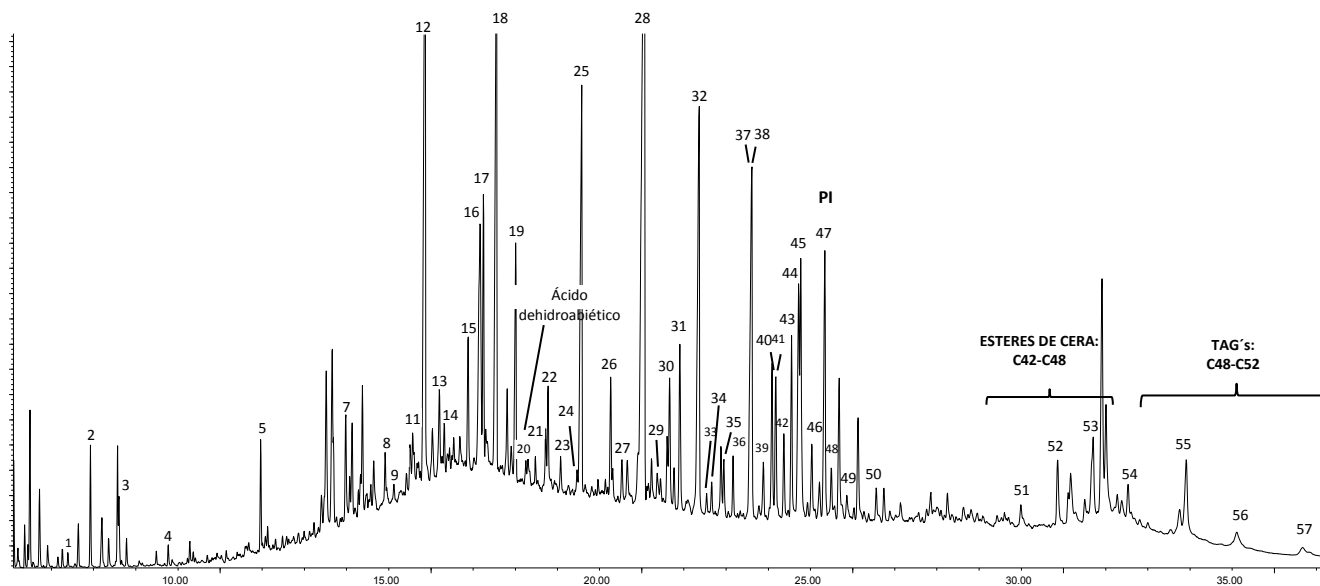


Cromatograma parcial de la muestra 52 (AY-H11-87). Picos identificados: 1-C12:0; 2-C14:0; 3-C15:0; 4-C20 alcano; 5-C16:1; 6-C16:0; 7-C18:0; 8-C23 alcano; 9-C24 alcano; 10-C20:0; 11-Ftalato (m/z 149); 12-C25 alcano; 13-C26 alcano; 14-C22:0; 15-C27 alcano; 16-C24-OH; 17-Escualeno (m/z 69); 18-C28 alcano; 19-C24:0; 20-C29 alcano; 21-C26-OH; 22-C30 alcano; 23-C26:0; 24-C31 alcano; 25-C28-OH; 26-C32 alcano; 27-Campesterol (m/z 472); 28-Estigmasterol (m/z 484); 29- $\beta$ -Sitosterol (m/z 486); 30-C33 alcano; 31-C30-OH; 32-Patrón interno (AL34: *n*-tetratriacontano); 33-C35 alcano; 34-C36 alcano; 35-Estér de cera C42; 36-Estér de cera C44; 37-Estér de cera C46; 38-Estér de cera C48; 39-TAG's C48.

# 66 (AY-H11-92)

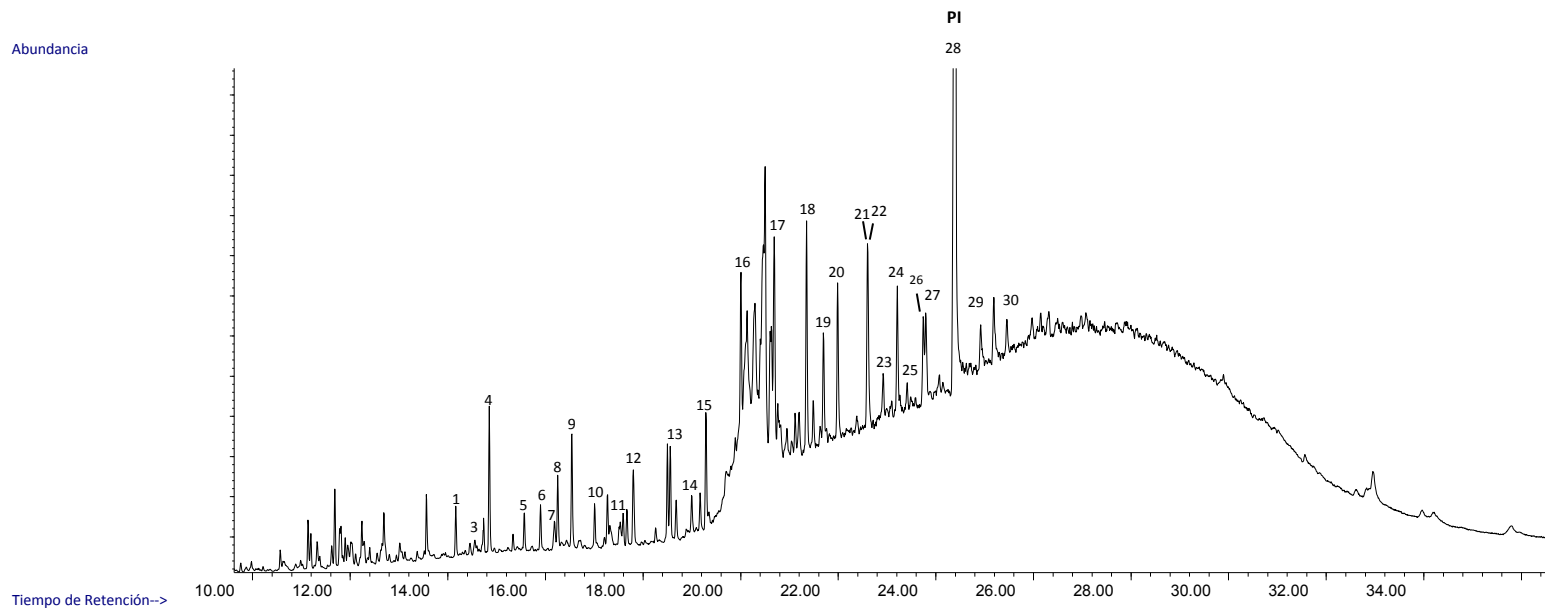
Abundancia

Tiempo de Retención-->



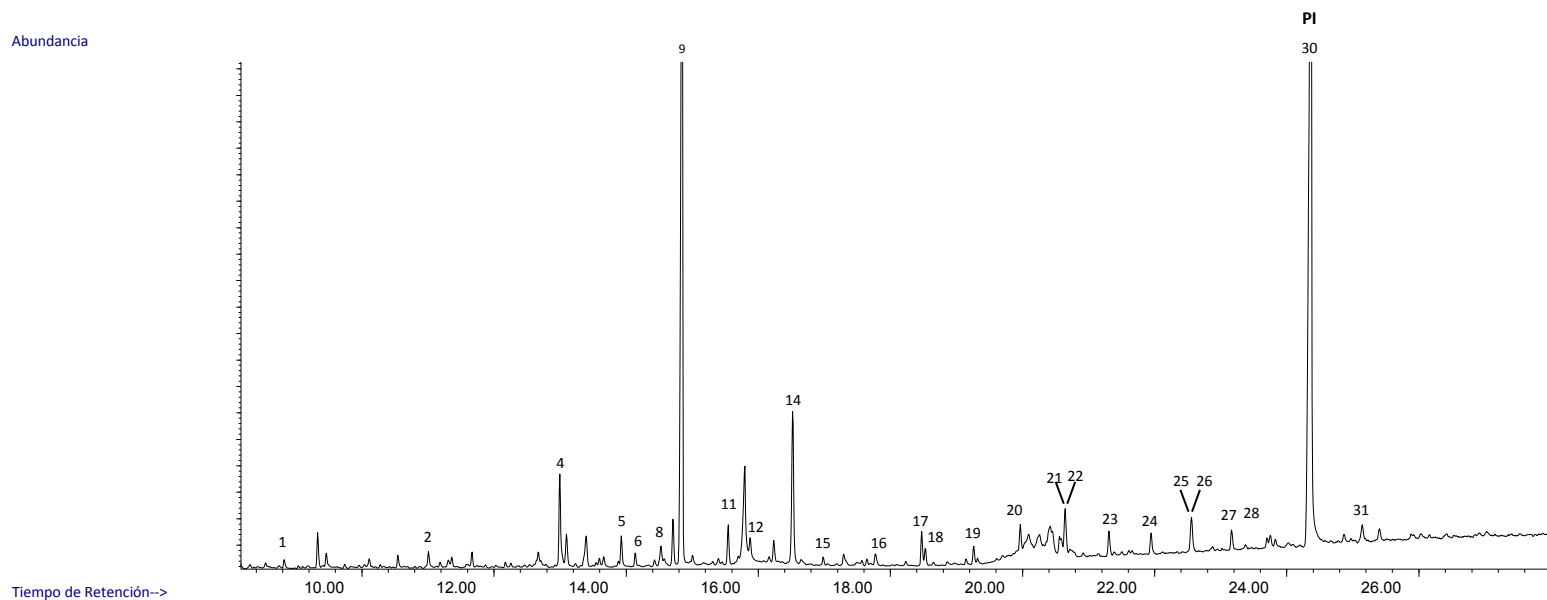
**Cromatograma parcial de la muestra 66 (AY-H11-92). Picos identificados: 1-C8:0; 3-C9:0; 4-C10:0; 5-C12:0; 7-C14:0; 8-C15:0; 9-C16-OH; 11-C16:1; 12-C16:0; 13-C17:0; 14-C21 alcano; 15-C18-OH; 16-C22 alcano; 17-C18:1; 18-C18:0; 19-C23 alcano; 20-Ácido dehidroabiético; 21-C20-OH; 22-C24 alcano; 23-C20:0; 24-Ftalato (m/z 149); 25-C25 alcano; 26-C26 alcano; 27-C22:0; 28-C27 alcano; 29-C24-OH; 30-C28 alcano; 31-C24:0; 32-C29 alcano; 33-C25:0; 34-C26-OH; 35-C30 alcano; 36-C26:0; 37-Colesterol (m/z 458); 38-C31 alcano; 39-C28-OH; 40-C32 alcano; 41-Campesterol (m/z 472); 42-C28:0; 43-Estigmasterol (m/z 484); 44-β-Sitosterol (m/z 486); 45-C33 alcano; 46-C30-OH; 47-Patrón interno (AL34: *n*-tetratriacontano); 48-C30:0; 49-C35 alcano; 50-C32:0; 51-Estér de cera C42; 52-Estér de cera C44; 53-Estér de cera C46; 54-Estér de cera C48; 55-TAG's C48; 56-TAG's C50; 57-TAG's C52.**

# 65 (AY-H1-8)



Cromatograma parcial de la muestra 65 (AY-H1-8). Picos identificados: 1-C16-OH; 3-C16:1; 4-C16:0; 5-C21 alcano; 6-C18-OH; 7-C22 alcano; 8-C18:1; 9-C18:0; 10-C23 alcano; 11-C20-OH; 12-C24 alcano; 13-C25 alcano; 14-C22-OH; 15-C26 alcano; 16-C27 alcano; 17-C28 alcano; 19-C29 alcano; 20-C30 alcano; 21-Colesterol (m/z 458); 22-C31 alcano; 23-C28-OH; 24-C32 alcano; 25-Stigmasterlo (m/z 484); 26- $\beta$ -Sitosterol (m/z 486); 27-C33 alcano; 28-Patrón interno (AL34: *n*-tetratriacontano); 29-C35 alcano; 30-C36 alcano .

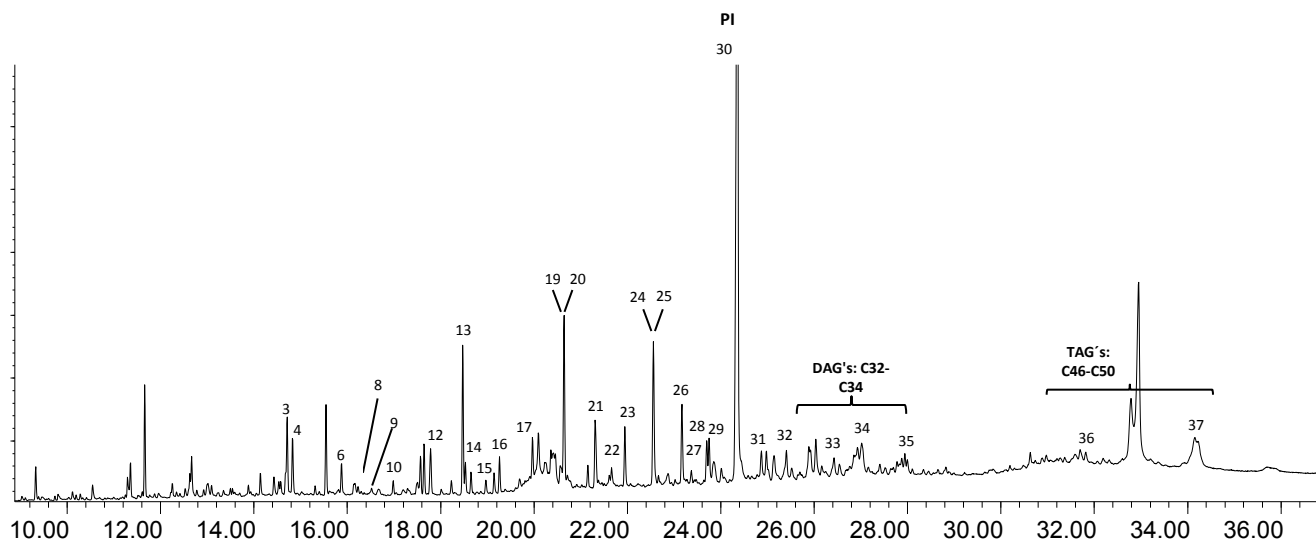
# 49 (AY-H9-64)



Cromatograma parcial de la muestra 49 (AY-H9-64). Picos identificados: 1-C10:0; 2-C12:0; 4-C14:0; 5-C15:0; 6-C16-OH; 8-C16:1; 9-C16:0; 11-C17:0; 12-C18-OH; 14-C18:0; 15-C23 alcano; 16-C24 alcano; 17-Ftalato (m/z 149); 18-C25 alcano; 19-C26 alcano; 20-C27 alcano; 21-Escualeno (m/z 69); 22-C28 alcano; 23-C29 alcano; 24-C30 alcano; 25-Colesterol (m/z 458); 26-C31 alcano; 27-C32 alcano; 28- $\beta$ -Sitosterol (m/z 486); 30-Patrón interno (AL34: *n*-tetratriacontano); 31-C36 alcano .

# 48 (AY-H9-98)

Abundancia



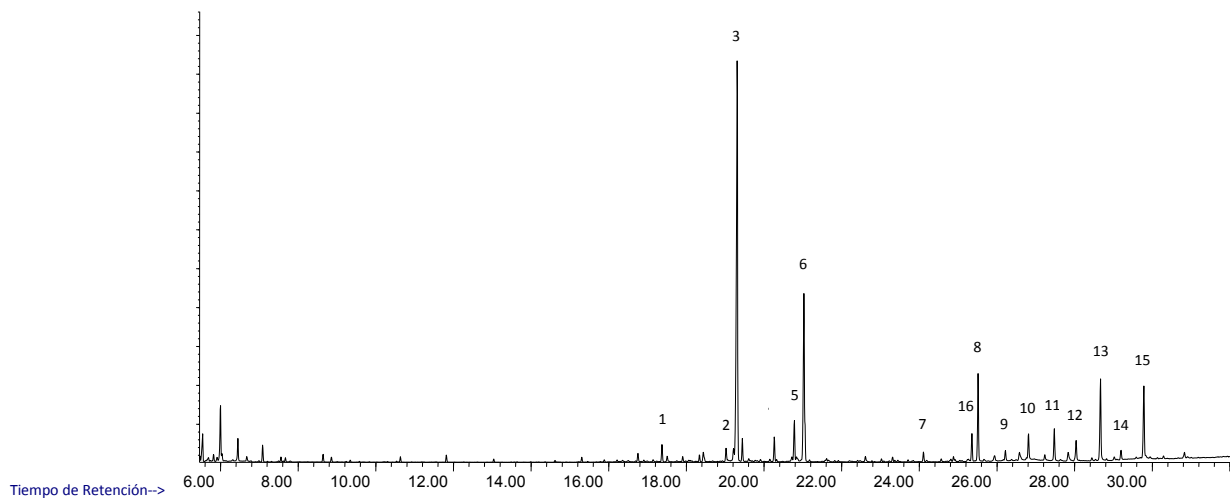
Tiempo de Retención-->

**Cromatograma parcial de la muestra 48 (AY-H9-98). Picos identificados: 3-C16:1; 4-C16:0; 6-C18-OH; 8-C18:1; 9-C18:0; 10-C23 alcano; 12-C24 alcano; 13-Ftalato (m/z 149); 14-C25 alcano; 15-C22-OH; 16-C26 alcano; 17-C27 alcano; 19-Escualeno (m/z 69); 20-C28 alcano; 21-C29 alcano; 22-C26-OH; 23-C30 alcano; 24-Colesterol (m/z 458); 25-C31 alcano; 26-C32 alcano; 27-Estigmasterol (m/z 484); 28- $\beta$ -Sitosterol (m/z 486); 29-C33 alcano; 30-Patrón interno (AL34: *n*-tetratriacontano); 31-C35 alcano; 32-C36 alcano; 33-C38 alcano; 34-DAG's C32; 35-DAG's C34; 36-TAG's C46; 37-TAG's C50.**



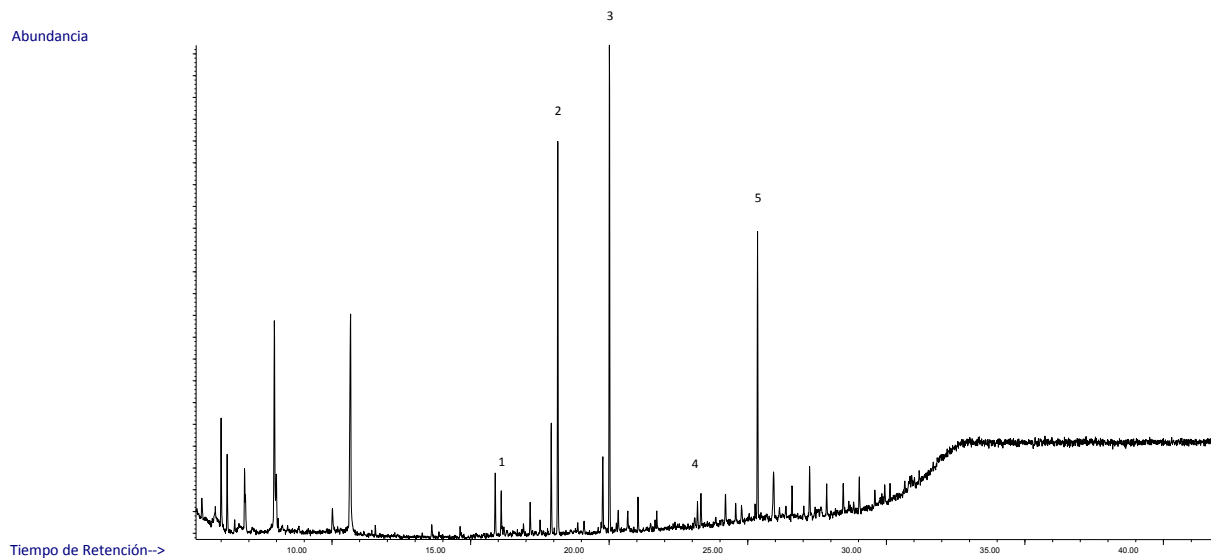
# BRA1 (BA-BA14-6)

Abundancia



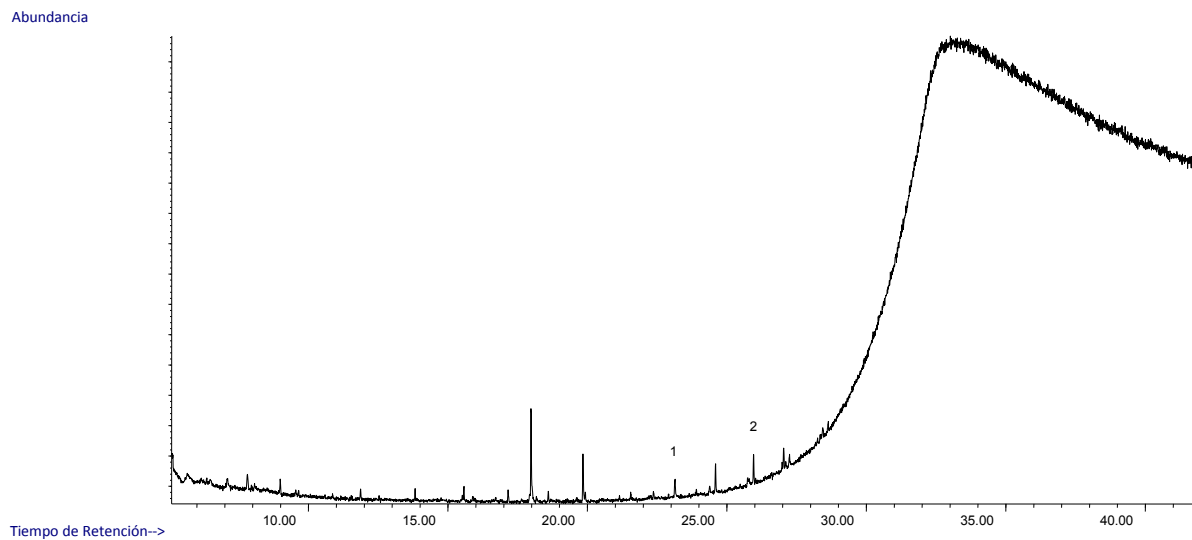
Cromatograma parcial de la muestra BRA1 (BA-BA14-6). Picos identificados: 1-C14:0; 2-C16:1; 3-C6:0; 4-C18-OH; 5-C18:1; 6-C18:0; 7-C22:0; 8-C24:0; 9-C26-OH; 10-C26:0; 11-C28-OH; 12-C28:0; 13-C30-OH; 14-C30:0; 15-C32-OH; 16-Escualeno (m/z 69).

# BRA2 (BA-BA18-43)



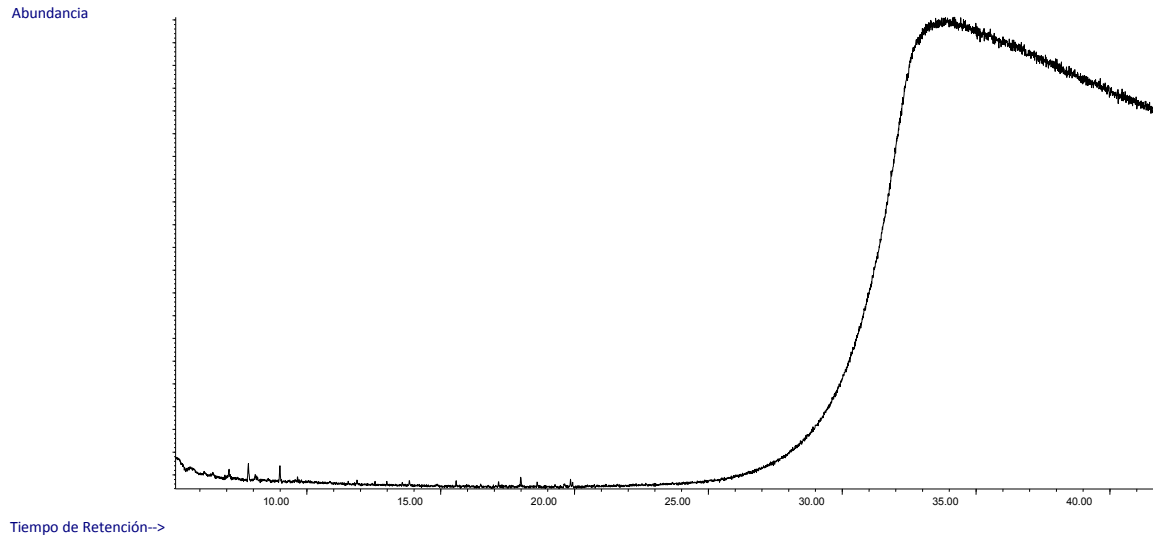
Cromatograma parcial de la muestra BRA2 (BA-BA18-43). Picos identificados: 1-C18:1; 2-C16:0; 3-C18:0; 4-Ftalato (m/z 149); 5-Escualeno (m/z 69).

# BRA3 (BA-BA33-6)



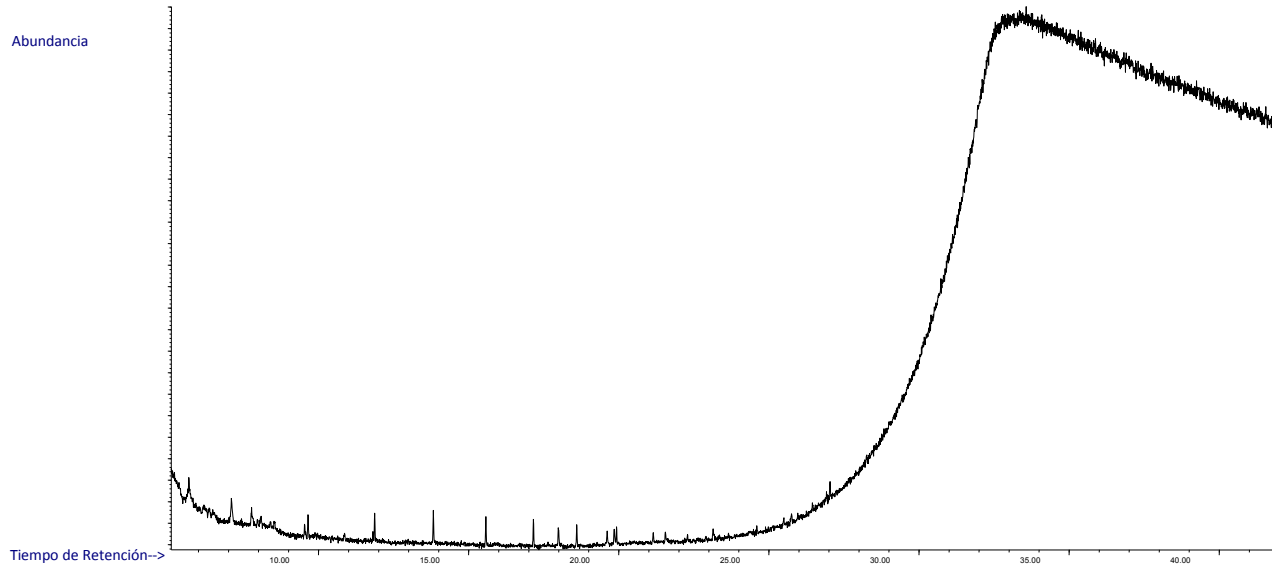
Cromatograma parcial de la muestra BRA3 (BA-BA33-6). Picos identificados: 1-Ftalato ( $m/z$  149); 2-Escualeno ( $m/z$  69).

# BRA4 (BA-BA40-10)



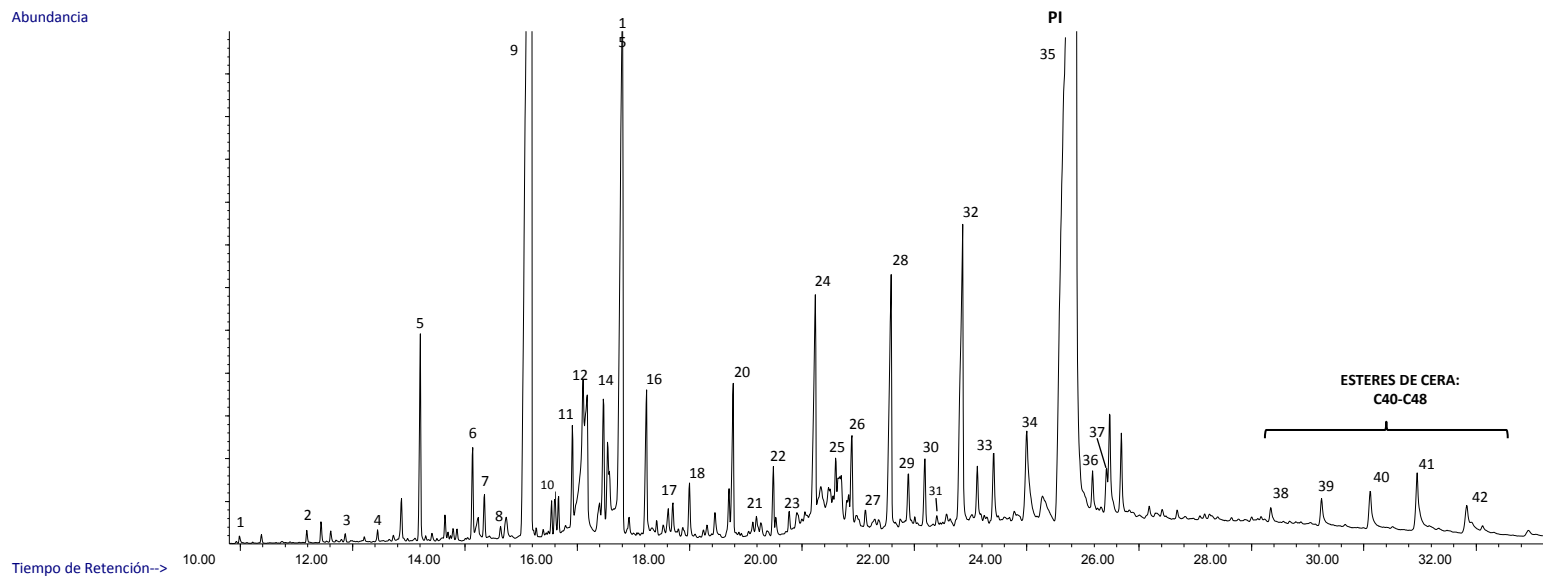
**Cromatograma parcial de la muestra BRA4 (BA-BA40-10). Sin presencia de compuestos orgánicos en la muestra.**

# BRA5 (BA-BA40-9)



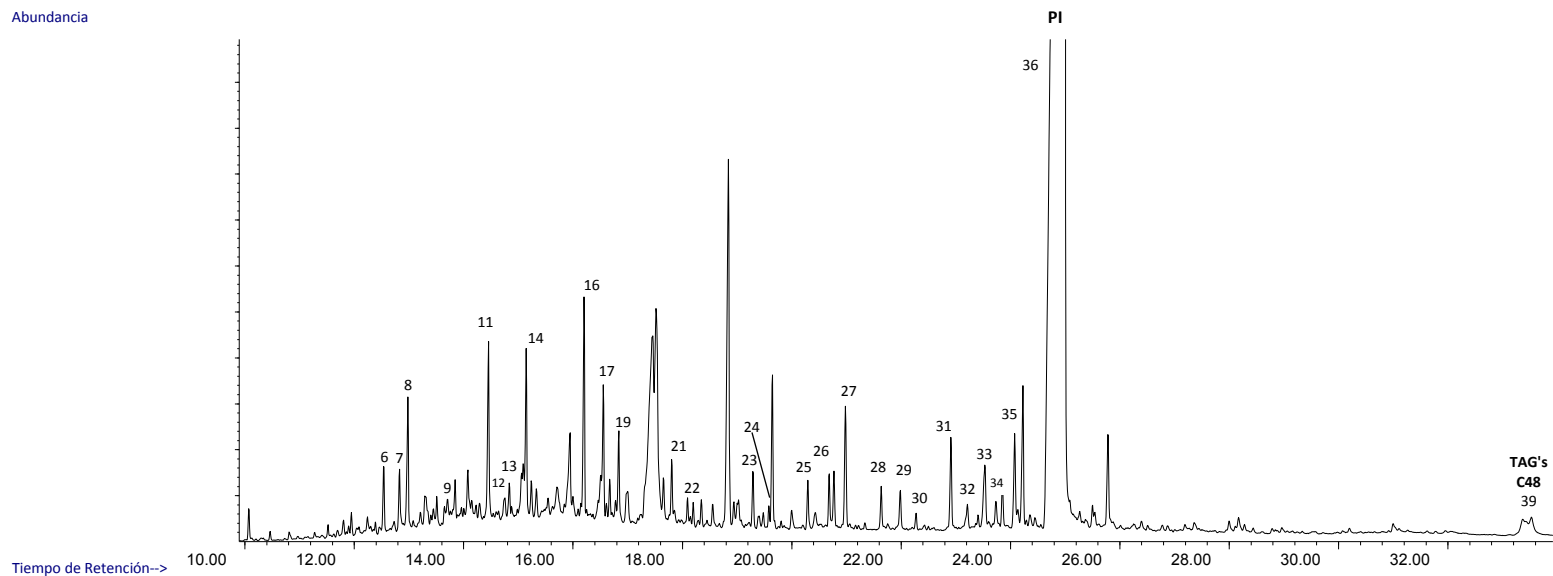
**Cromatograma parcial de la muestra BRA5 (BA-BA40-9). Sin presencia de compuestos orgánicos en la muestra.**

# 39 (BA-BA40-9)



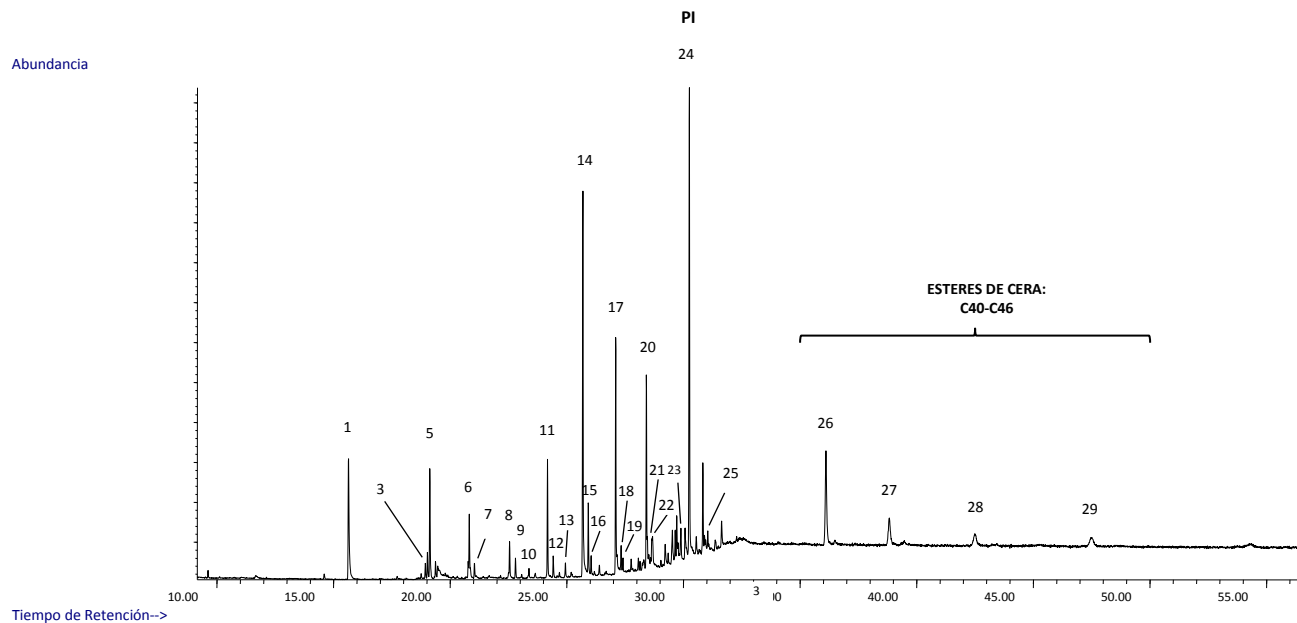
Cromatograma parcial de la muestra 39 (BA-BA40-9). Picos identificados: 1-Ftalato (m/z 149); 2-C12:0; 3-C13:0; 4-C14-OH; 5-C14:0; 6-C15:0; 7-C16-OH; 8-C20 alcano; 9-C16:0; 10-C21 alcano; 11-C17:0; 12-C18-OH; 14-C18:1; 15-C18:0; 16-C23 alcano; 17-C20-OH; 18-C24 alcano; 20-C25 alcano; 21-C22-OH; 22-C26 alcano; 23-C22:0; 24-C27 alcano; 25-C24-OH; 26-C28 alcano; 27-C24:0; 28-C29 alcano; 29-C26-OH; 30-C30 alcano; 31-C26:0; 32-C31 alcano; 33-C28-OH; 34-C33 alcano; 35-Patrón interno (AL34: *n*-tetratriacontano); 36-C35 alcano; 37-C32-OH; 38-Estér de cera C40; 39-Estér de cera C42; 40-Estér de cera C44; 41-Estér de cera C46; 42-Estér de cera C48.

## 29 (BA-BA58-1)



Cromatograma parcial de la muestra 29 (BA-BA58-1). Picos identificados: 6-C14-OH; 7-C18 alcano; 8- Ftalato (m/z 149); 9-C19 alcano; 11-C16-OH; 12-C20 alcano; 13-C16:1; 14-C16:0; 16-C18-OH; 17-C18:1; 19-C18:0; 21-C20-OH; 22-C24 alcano; 23-C22-OH; 24-C26 alcano; 25- C27 alcano; 26-C24-OH; 27-Escualeno (m/z 69); 28-C29 alcano; 29-C26-OH; 30-C30 alcano; 31-Colesterol (m/z 458); 32-C28-OH; 33-Campesterol (m/z 472); 34-Estigmasterol (m/z 484); 35- $\beta$ -Sitosterol (m/z 486); 36-Patrón interno (AL34: *n*-tetratriacontano); 39-TAG's C48.

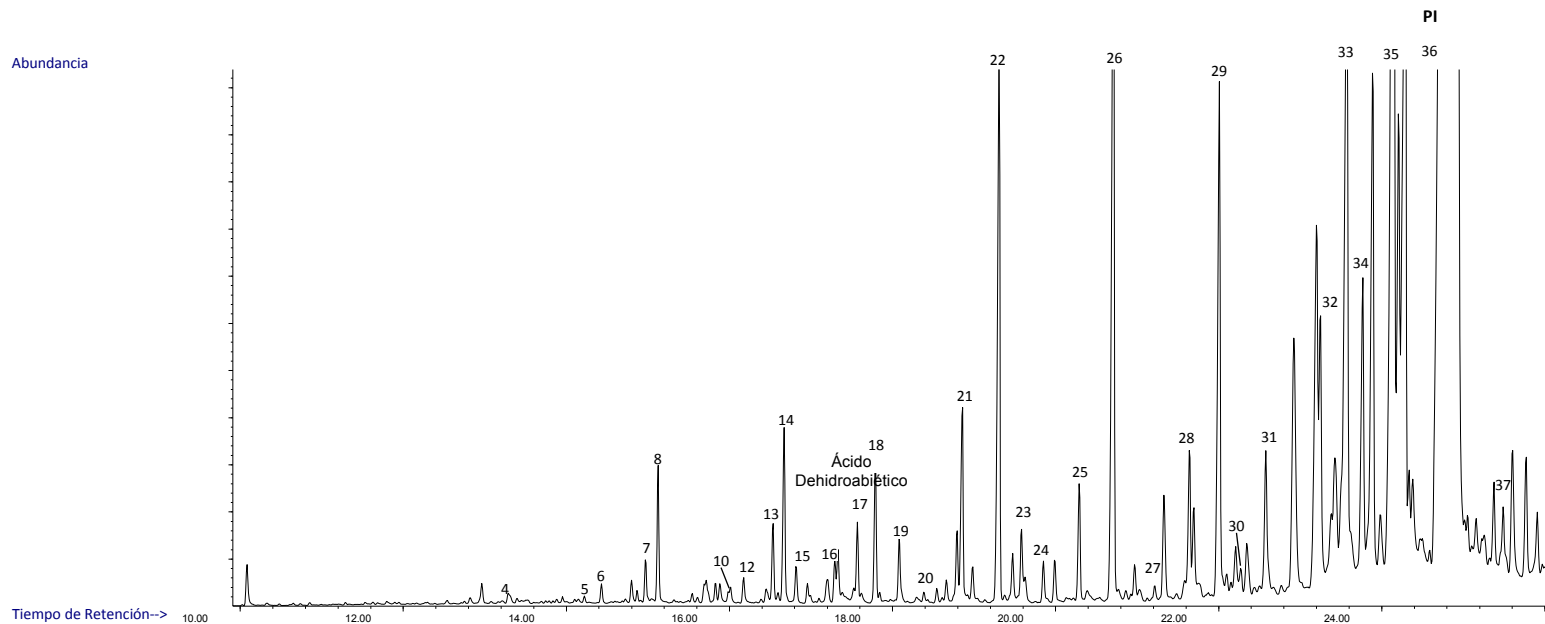
# EMM013 (BA-BA60-1)



Cromatograma parcial de la muestra EMM013 (BA-BA60-1). Picos identificados: 1-Ftalato ( $m/z$  149); 3-C16:1; 5-C16:0; 6-C18:1; 7-C18:0; 8-C23 alcano; 9-C20:0; 10-C24 alcano; 11-C25 alcano; 12-C22:0; 13-C26 alcano; 14-C27 alcano; 15-C24:0; 16-C24-OH; 17-C29 alcano; 18-C26:0; 19-C26-OH; 20-C31 alcano; 21-C28:0; 22-C28-OH; 23-C30-OH; 24-Patrón interno (AL34: *n*-tetratriacontano); 25-C32-OH; 26- Estér de cera C40; 27-Estér de cera C42; 28-Estér de cera C44; 29-Estér de cera C46.

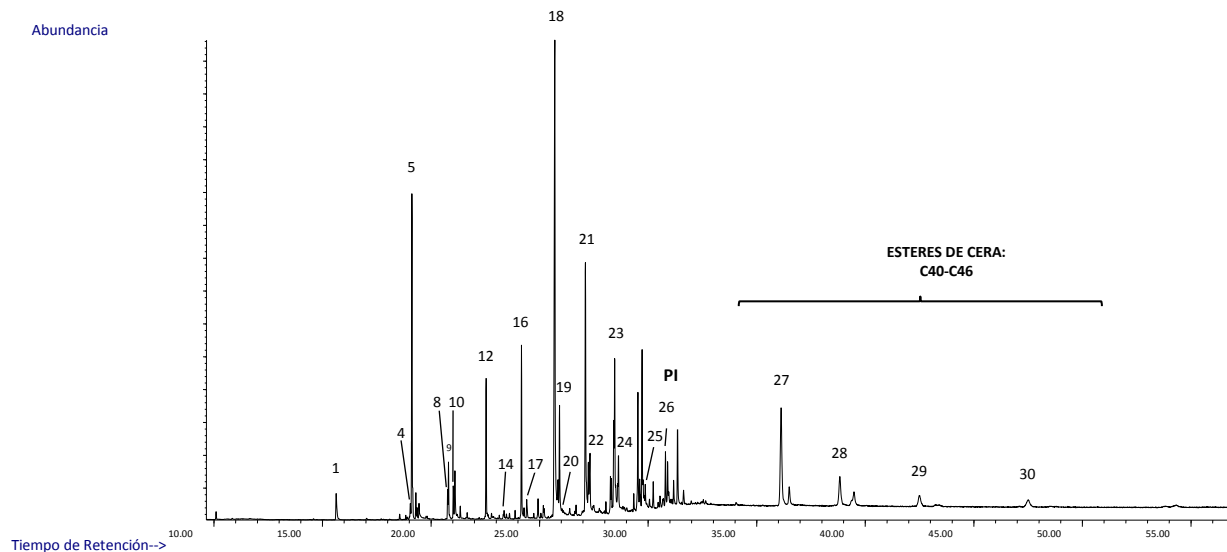


## 26 (BA-BA60-1)



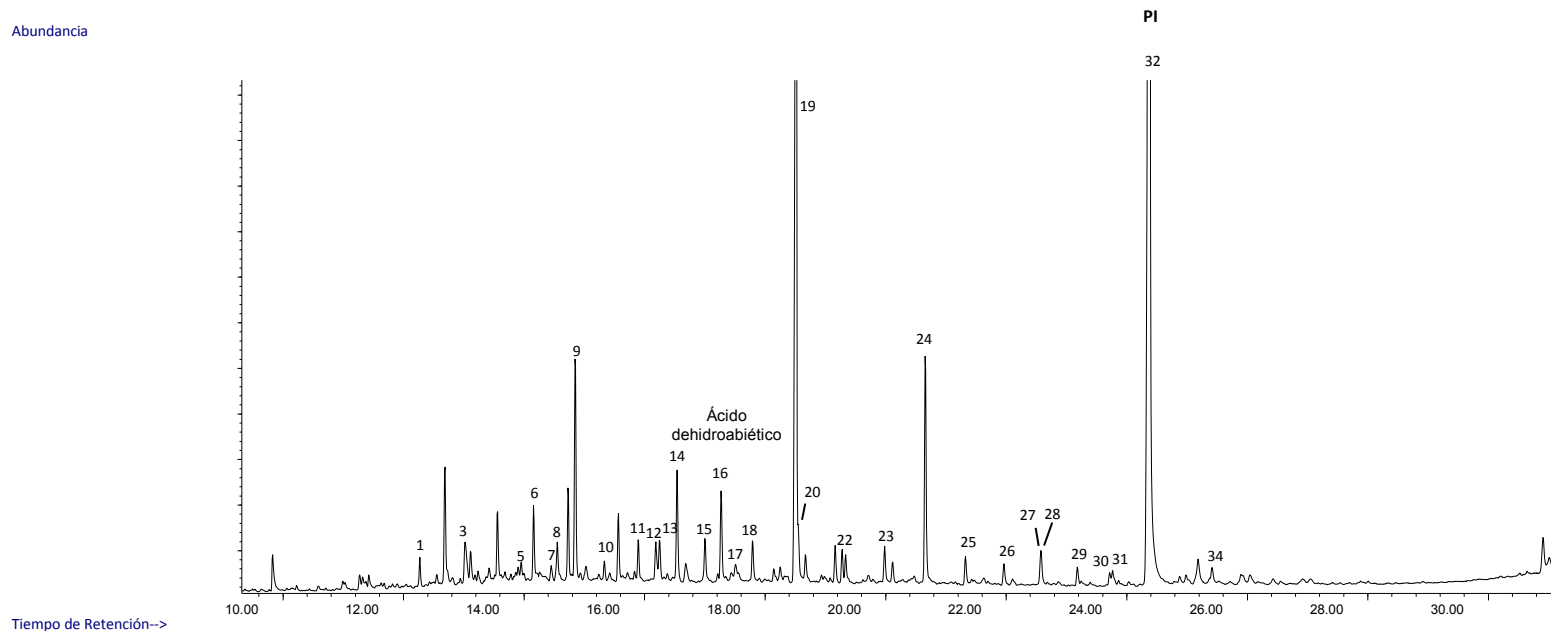
Cromatograma parcial de la muestra 26 (BA-BA60-1). Picos identificados: 4-C14:0; 5-C15:0; 6-C16-OH; 7-C16:1; 8-C16:0; 10-C17:0; 12-C18-OH; 13-C18:1; 14-Ftalato (m/z 149); 15-C18:0; 16-C23 alcano; 17-Ácido Dehidroabiético; 18-C20-OH; 19-C24 alcano; 20-C20:0; 21-C25 alcano; 22-C22-OH; 23-C26 alcano; 24-C22:0; 25-C27 alcano; 26-C24-OH; 27-C24:0; 28-C29 alcano; 29-C26-OH; 30-C30 alcano; 31-C31 alcano; 32-C28-OH; 33-Campesterol (m/z 472); 34-Estigmasterol (m/z 484); 35- $\beta$ -Sitosterol (m/z 486); 36-Patrón interno (AL34: *n*-tetratriacontano); 37-C32-OH.

# EMM015 (BA-BA60-1)



Cromatograma parcial de la muestra EMM015 (BA-BA60-1). Picos identificados: 1-Ftalato ( $m/z$  149); 4-C16:1; 5-C16:0; 8-C21 alcano; 9-C18:1; 10-C18:0; 12-C23 alcano; 14-C24 alcano; 16-C25 alcano; 17-C22:0; 18-C27 alcano; 19-C24:0; 20-C24-OH; 21-C29 alcano; 22-C26:0; 23-C31 alcano; 24-C28:0; 25-C30:0; 26-Patrón interno (AL34: *n*-tetratriacontano); 27-Estér de cera C40; 28-Estér de cera C42; 29-Estér de cera C44; 30-Estér de cera C46.

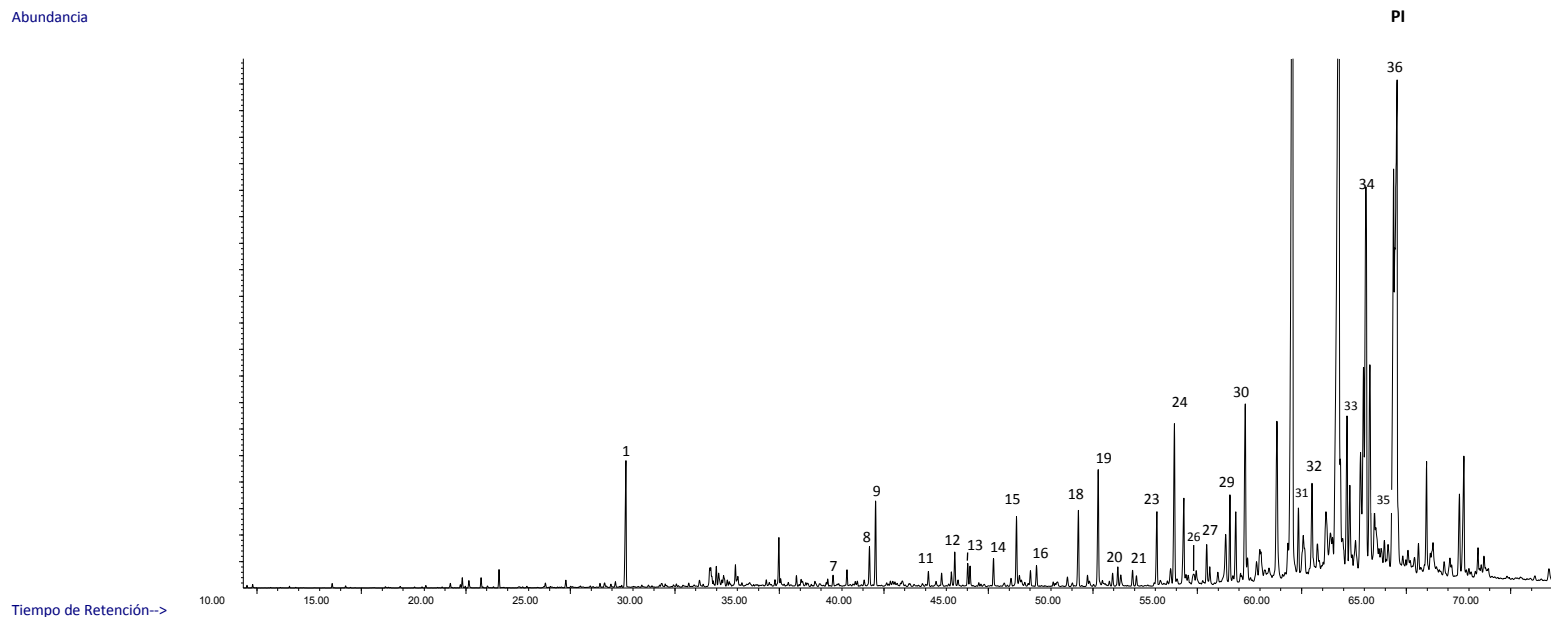
# 60 (BA-BA60-31)



Cromatograma parcial de la muestra 60 (BA-BA60-31). Picos identificados: 1-C14-OH; 3-C14:0; 5-C15:0; 6-C16-OH; 7-C20 alcano; 8-C16:1; 9-C16:0; 10-C21 alcano; 11-C18-OH; 12-C22 alcano; 13-C18:1; 14-C18:0; 15-C23 alcano; 16-Ácido dehidroabiético; 17-C20-OH; 18-C24 alcano; 19-Ftalato (m/z 149); 20-C25 alcano; 22-C26 alcano; 23-C27 alcano; 24-Escualeno (m/z 69); 25-C29 alcano; 26-C30 alcano; 27-Colesterol (m/z 458); 28-C31 alcano; 29-C32 alcano; 30-β-Sitosterol (m/z 486); 31-C33 alcano; 32-Patrón interno (AL34: *n*-tetratriacontano); 34-C36 alcano.

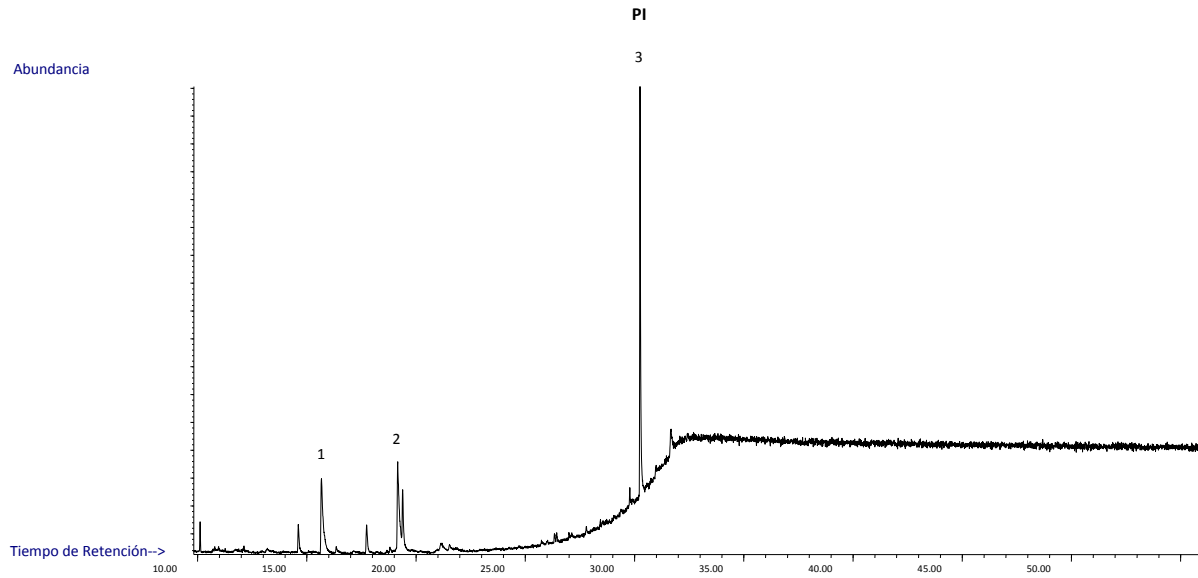
## 9 (BA-BA60-31)

Abundancia



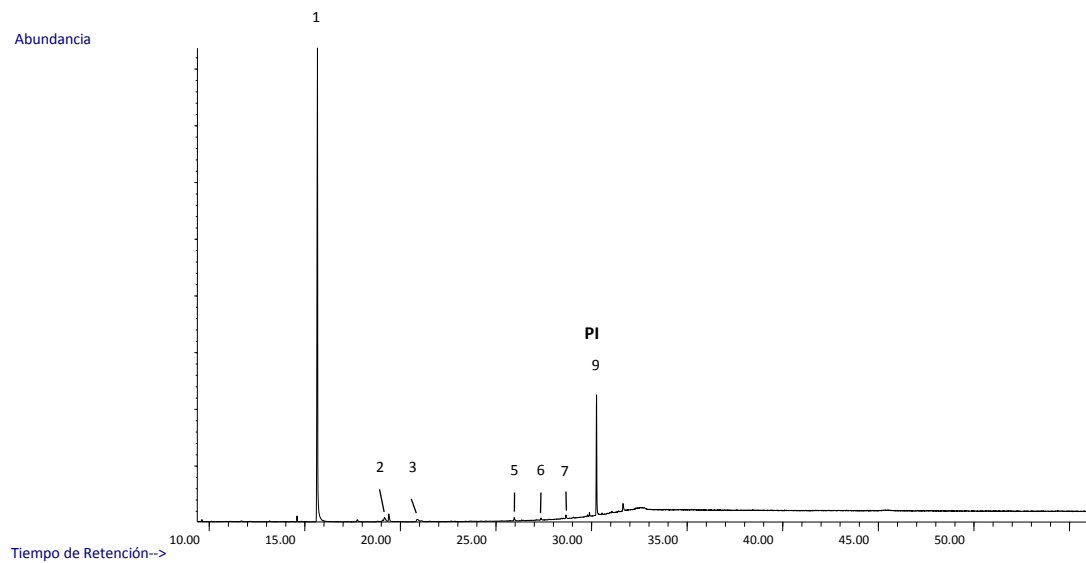
Cromatograma parcial de la muestra 9 (BA-BA60-31). Picos identificados: 1-Ftalato ( $m/z$  149); 7-C16-OH; 8-C16:1; 9-C16:0; 11-C18-OH; 12-C18:1; 13-C18:0; 14-C23 alcano; 15-C20-OH; 16-C24 alcano; 18-C25 alcano; 19-C22-OH; 20-C26 alcano; 21-C22:0; 23-C27 alcano; 24-C24-OH; 26-C28 alcano ; 27-C24:0; 29-C29 alcano; 30-C26-OH; 31-C31 alcano; 32-C28-OH; 33-Estigmasterol; 34- $\beta$ -Sitosterol; 35-C30-OH; 36-Patrón interno (AL34: *n*-tetratriacontano).

# EMM011 (BA-BA63-23)



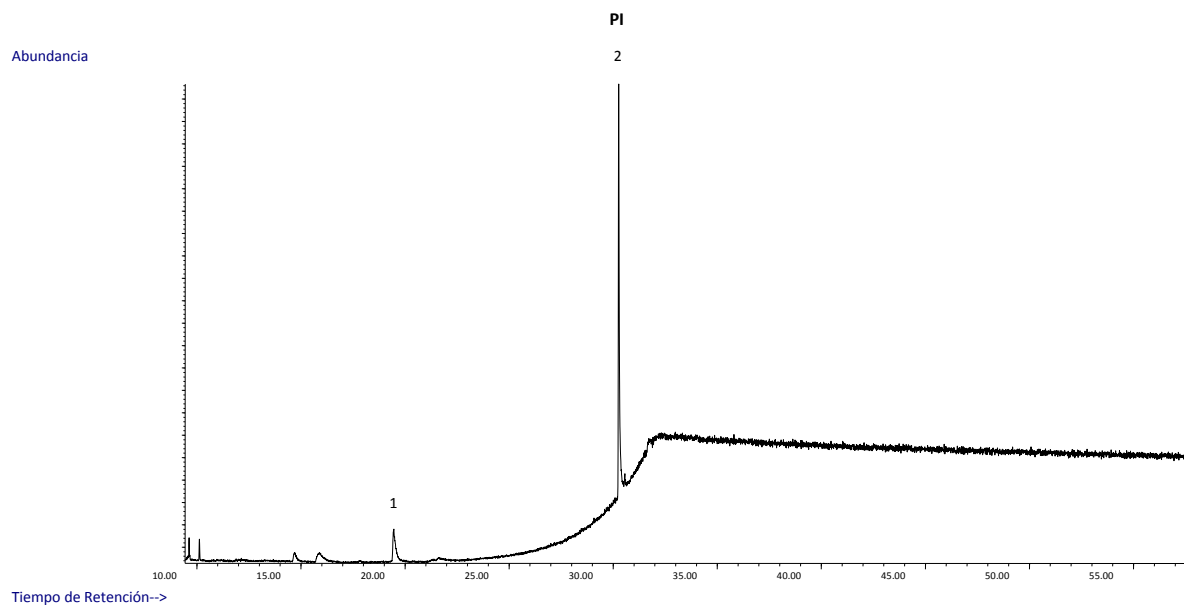
Cromatograma parcial de la muestra EMM011 (BA-BA63-23) Picos identificados: 1-Ftalato (m/z 149); 2-C16:0; 3-Patrón interno (AL34: n-tetatriacontano).

# EMM012 (BA-BA63-23)



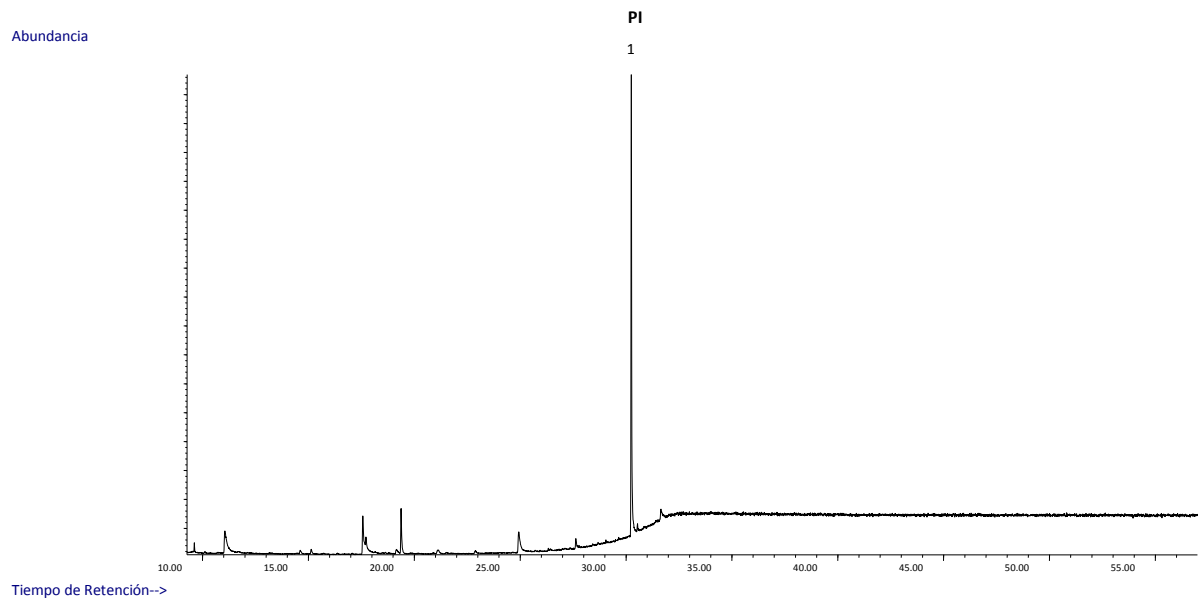
Cromatograma parcial de la muestra EMM012 (BA-BA63-23). Picos identificados: 1-Ftalato (m/z 149); 2-C16:0; 3-C18:1; 5-C24:0; 6-C26:0; 7-C28:0; 9-Patrón interno (AL34: *n*-tetratriacontano).

# EMM020 (BA-BA65-9)



Cromatograma parcial de la muestra EMM020 (BA-BA65-9). Picos identificados: 1-Ftalato ( $m/z$  149); 2-Patrón interno (AL34: *n*-tetratriacontano).

# EMM021 (BA-BA65-9)

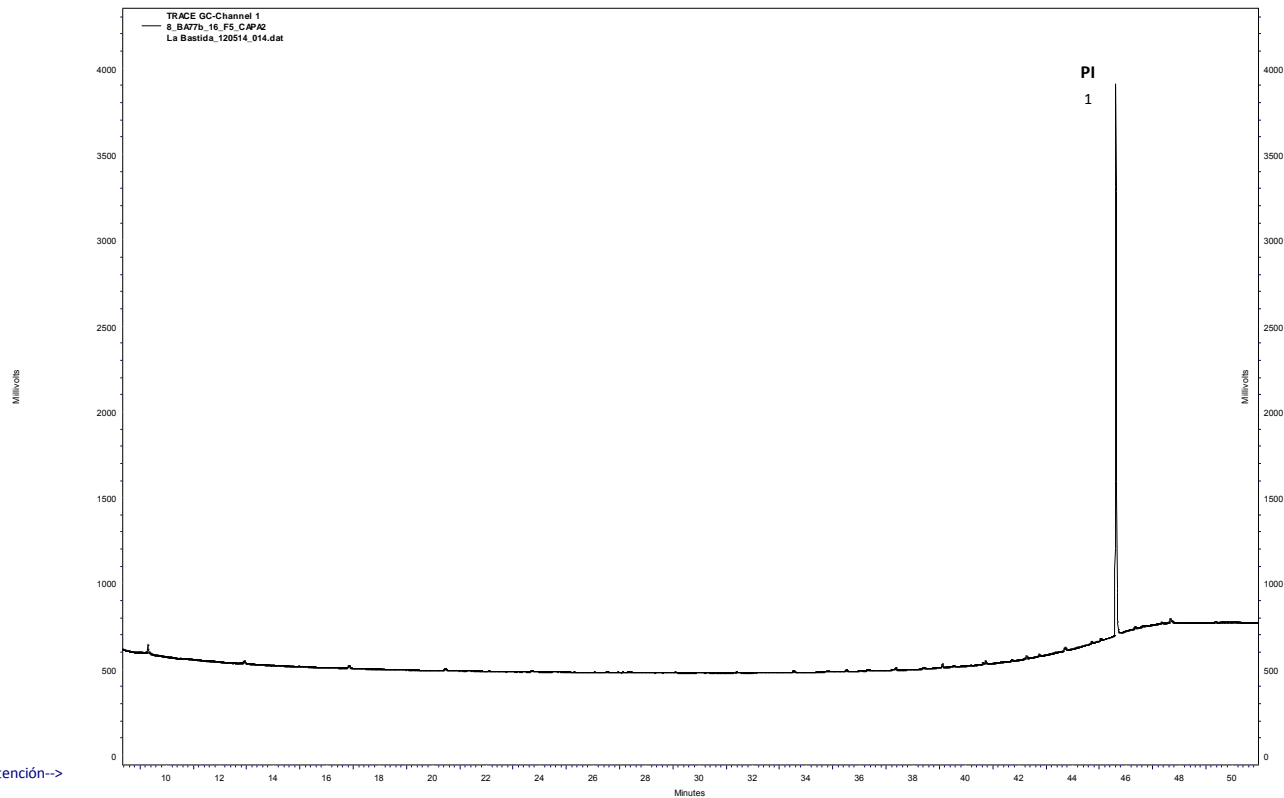


Cromatograma parcial de la muestra EMM021 (BA-BA65-9). Picos identificados: 1-Patrón interno (AL34 *n*-tetratriacontano). Sin presencia de compuestos orgánicos.



# 8 (BA-BA77b-16)

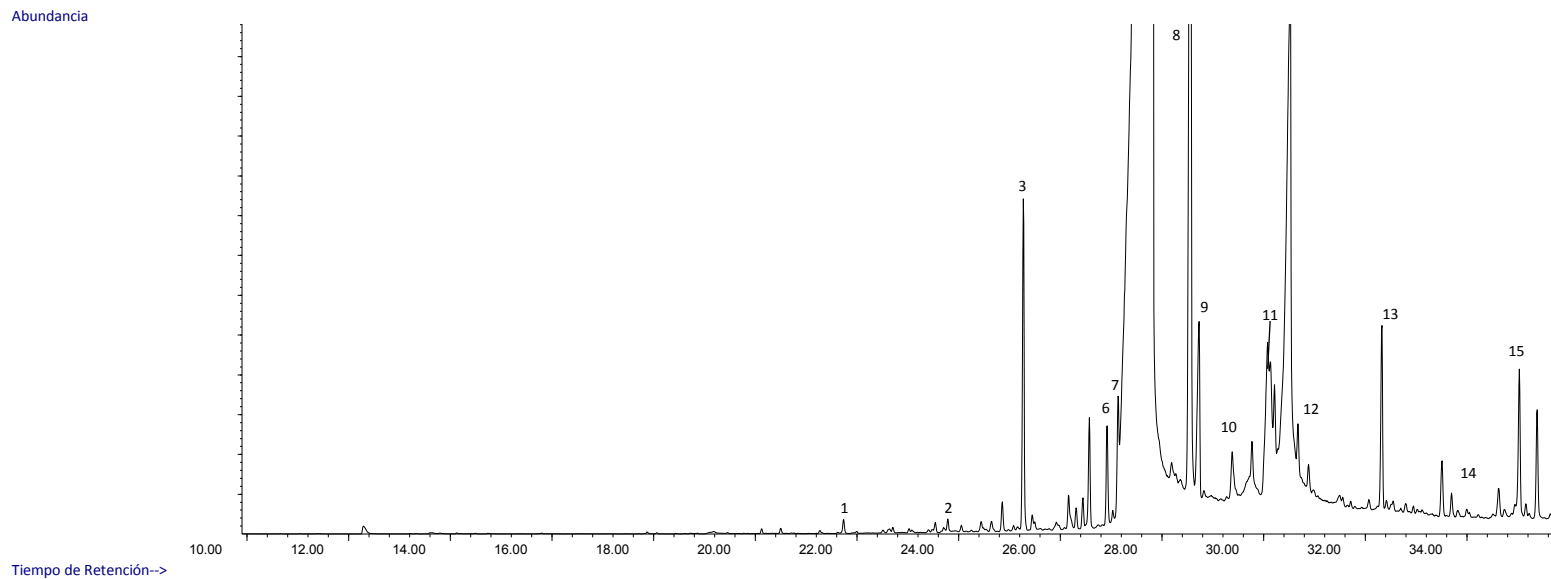
Abundancia



Tiempo de Retención-->

Cromatograma parcial de la muestra 8 (BA-BA77b-16). 1-Patrón interno (AL34 *n*-tetratriacontano). Sin presencia de compuestos orgánicos.

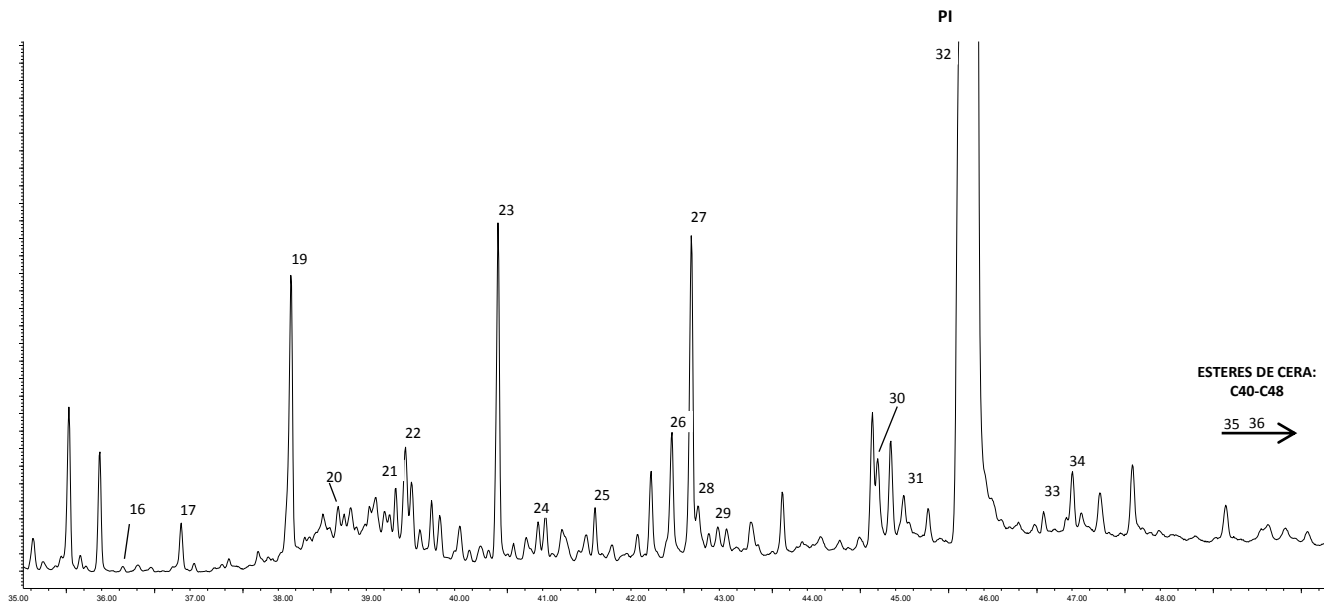
# 11 (BA-BA78-10)(1)



**Cromatograma parcial de la muestra 11 (BA-BA78-10). Picos identificados: 1-C12:0; 2-C14-OH; 3-C14:0; 6-C15:0; 7-C16-OH; 8-C16:0; 9-Azufre; 10-C20 alcano; 11-C18-OH; 12-C21 alcano; 13-C22 alcano; 14-C24 alcano; 15-C25 alcano.**

# 11 (BA78-10) (2)

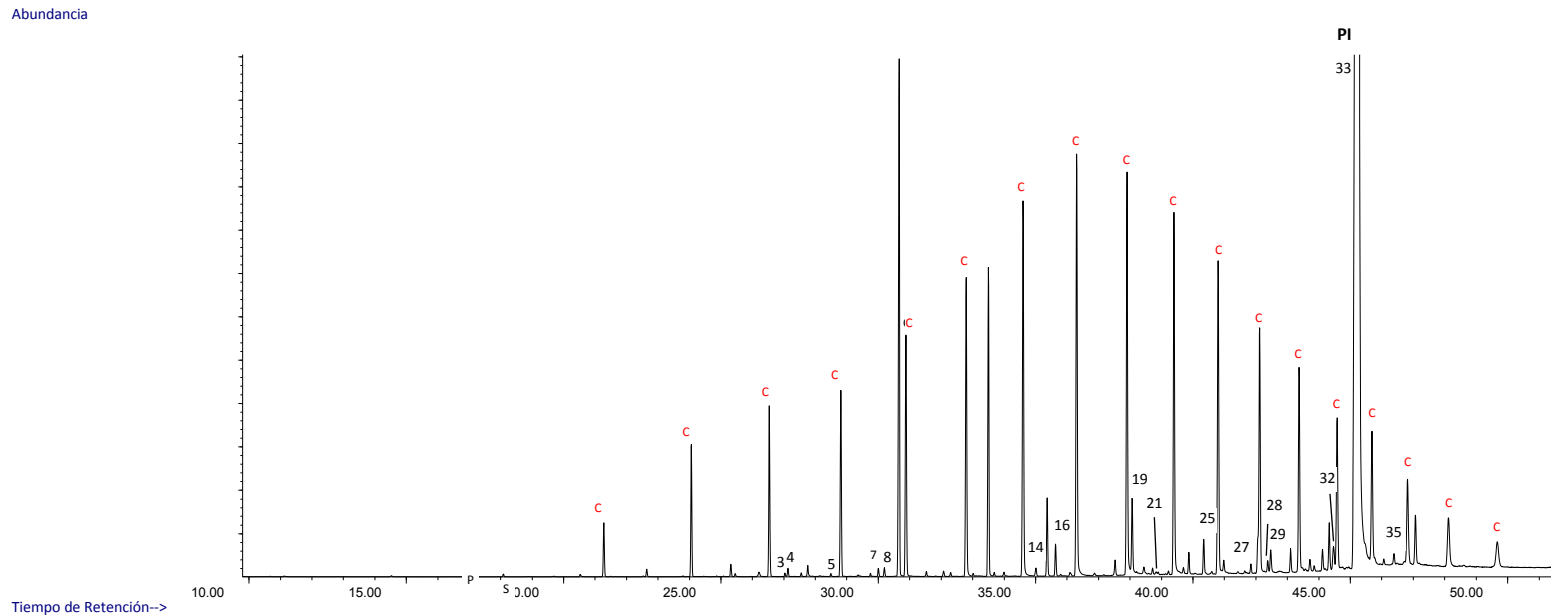
Abundancia



Tiempo de Retención-->

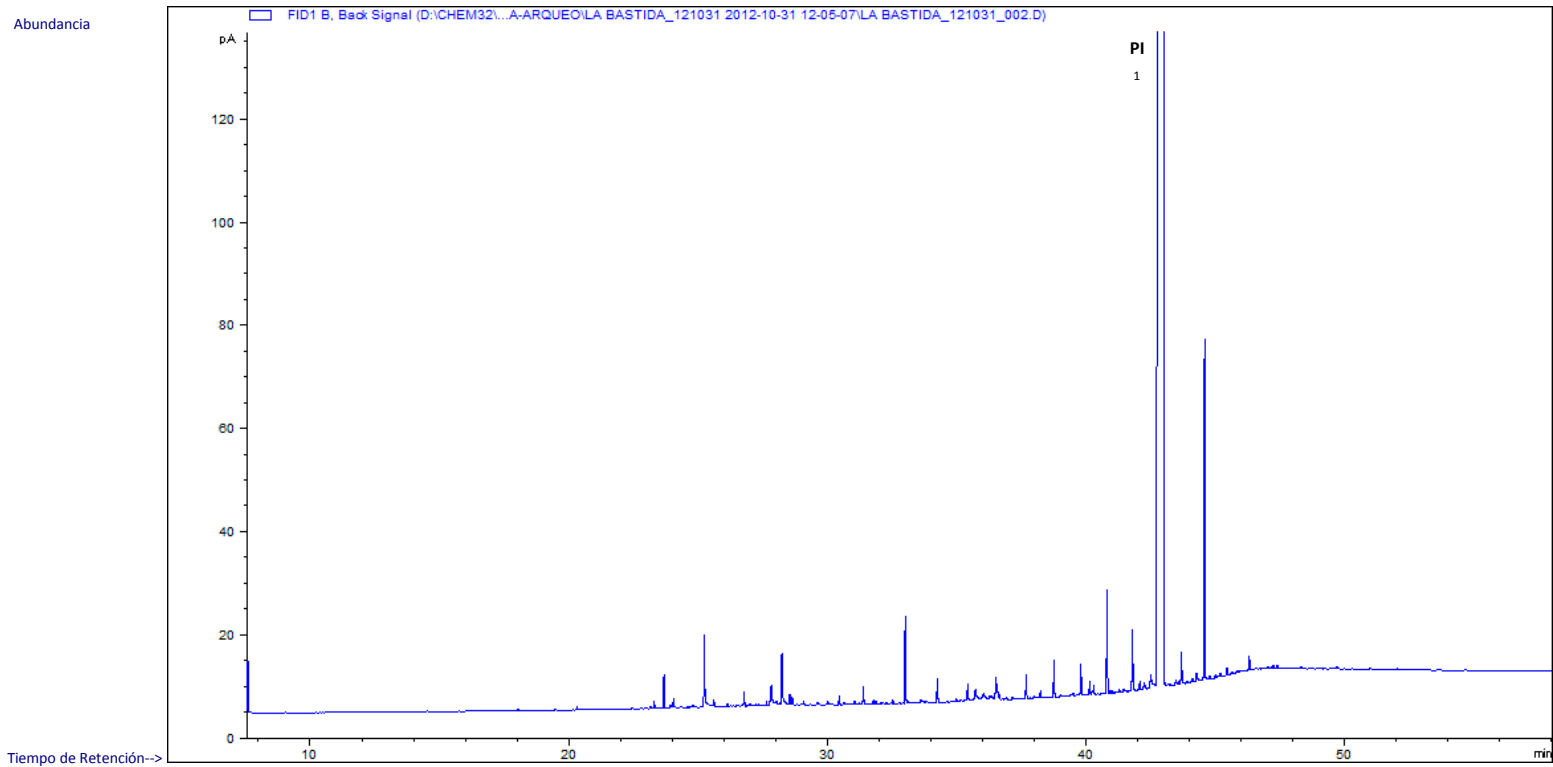
Cromatograma parcial de la muestra 11 (BA-BA78-10). Picos identificados: 16-C22-OH; 17-C26 alcano; 19-C27 alcano; 20-C24-OH; 21-C28 alcano; 22-Escualeno (m/z 69); 23-C39 alcano; 24-C26-OH; 25-C30 alcano; 26-Estigmasterol (m/z 484); 27-C31 alcano; 28-Colesterol (m/z 458); 29-C28-OH; 30-  $\beta$ -Sitosterol (m/z 486); 31-C30-OH; 32-Patrón interno (AL34: *n*-tetratriacontano); 33-C35 alcano; 34-C32-OH; 35-Estér de cera C40; 36-Estér de cera C48.

## 4 (BA-BA78-33)



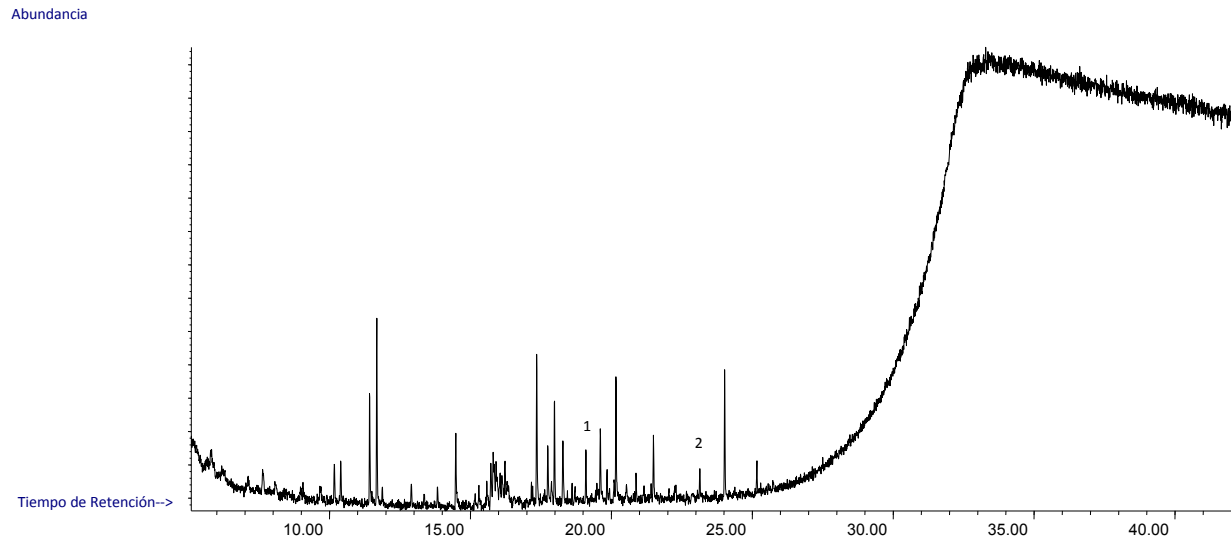
Cromatograma parcial de la muestra 4 (BA-BA78-33). Picos identificados: 3-Ftalato (m/z 149); 4-C16-OH; 5-C16:0; 7-C18:0; 8-C18-OH; 14-C26 alcano; 16-C22-OH; 19-C24-OH; 21-Escualeno (m/z 69); 25-C26-OH; 27-C31 alcano; 28-Colesterol (m/z 458); 29-C28-OH; 32-C30-OH; 33- Patrón interno (AL34: *n*-tetratriacontano); 35-C32-OH; C- Contaminación analítica.

# 33 (BA-BA80-11)



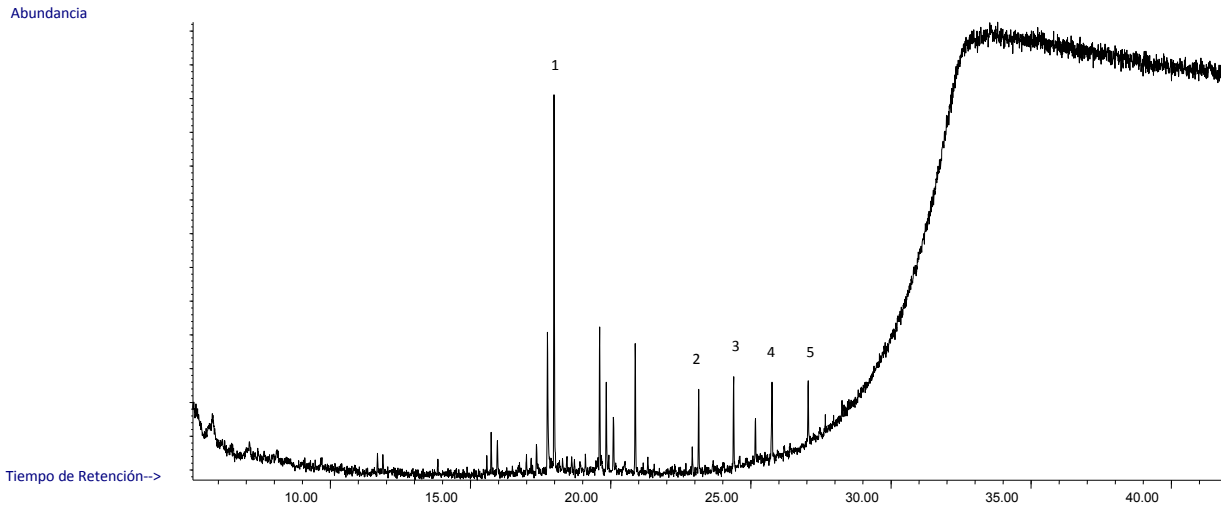
**Cromatograma parcial de la muestra 33 (BA-BA80-11). 1-Patrón interno (AL34 *n*-tetratriacontano). La muestra no se seleccionó por no presentar una relación de compuestos significativa.**

# BRA6 (BA-H10-1)



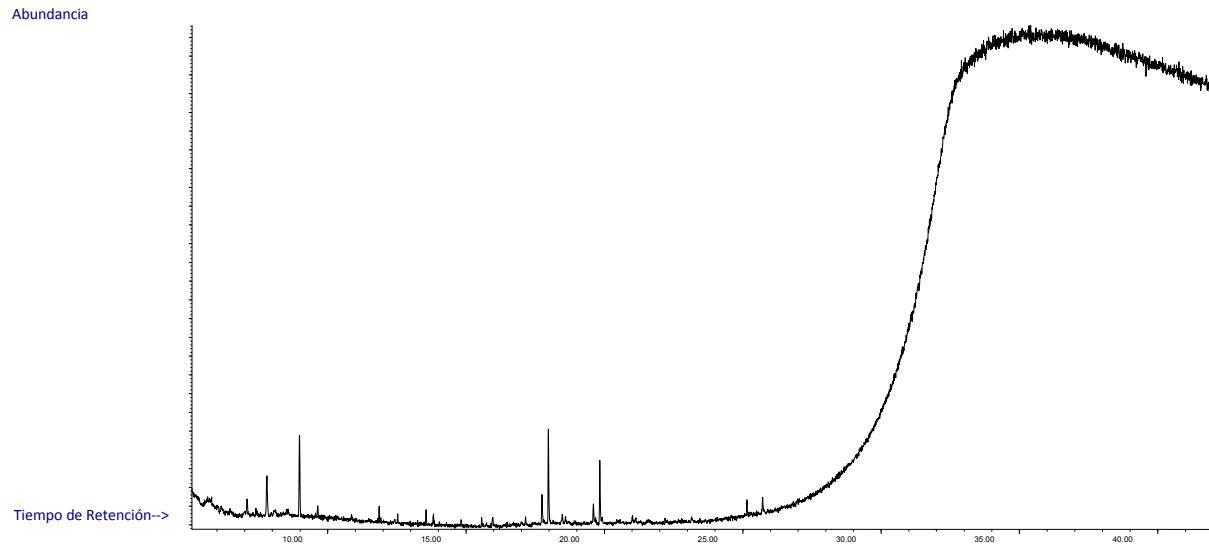
Cromatograma parcial de la muestra BRA6 (BA-H10-1). Picos identificados: 1-C16:0; 2-Ftalato (m/z 149).

# BRA7 (BA-H10-42)



Cromatograma parcial de la muestra BRA7 (BA-H10-42). Picos identificados: 1-C16:0; 2-Ftalato (m/z 149); 3-C27 alcano; 4-C29 alcano; 5-C31 alcano.

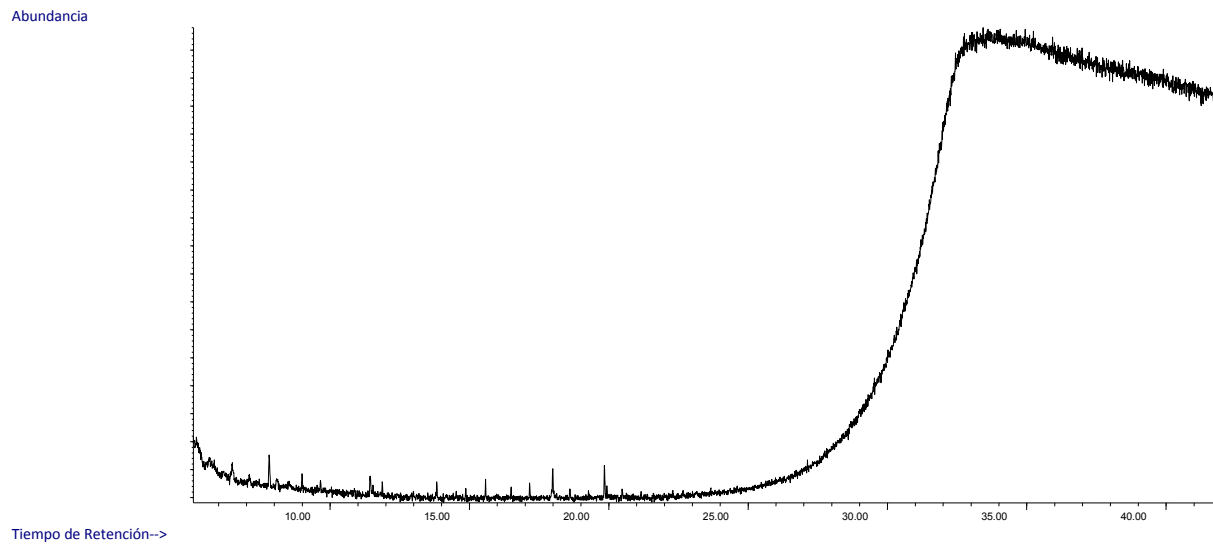
# BRA8 (BA-H12-124)



**Cromatograma parcial de la muestra BRA8 (BA-H12-124). Sin presencia de compuestos orgánicos.**

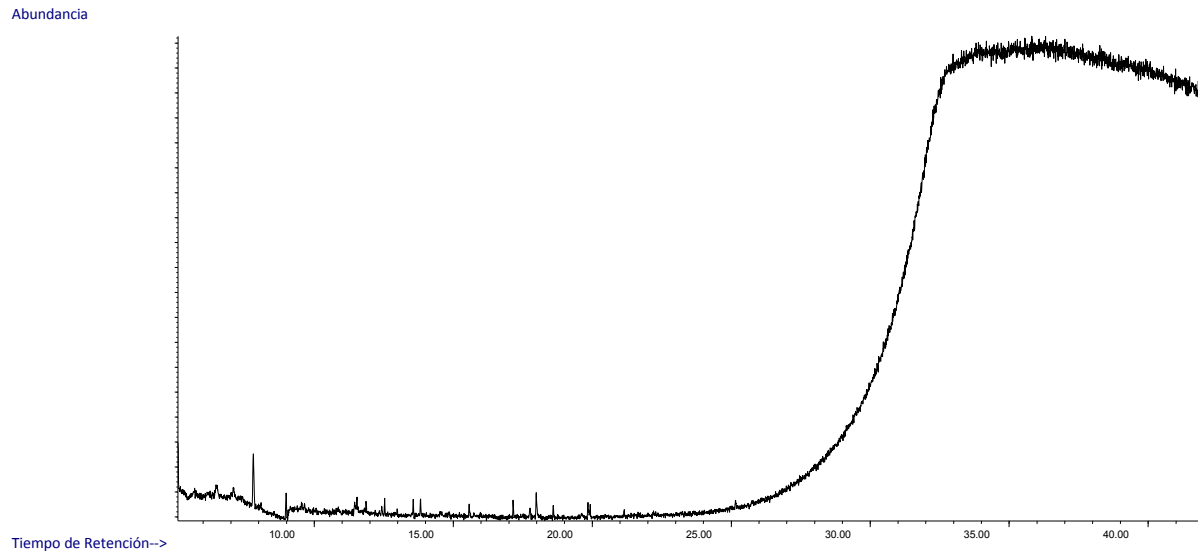


# BRA9 (BA-H12-8)



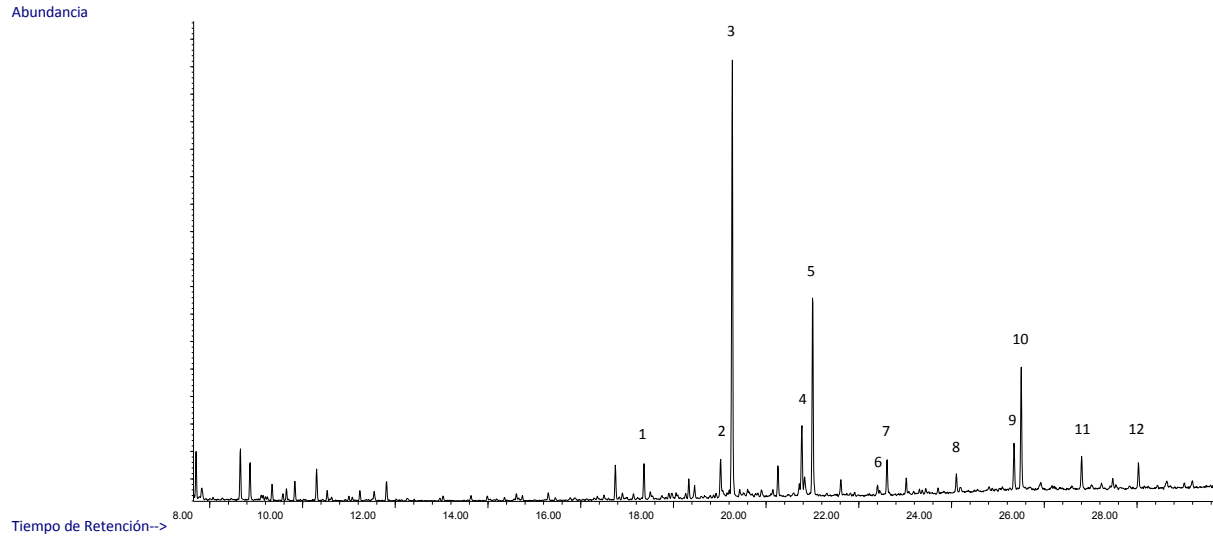
**Cromatograma parcial de la muestra BRA9 (BA-H12-8). Sin presencia de compuestos orgánicos.**

# BRA10 (BA-H12-8)



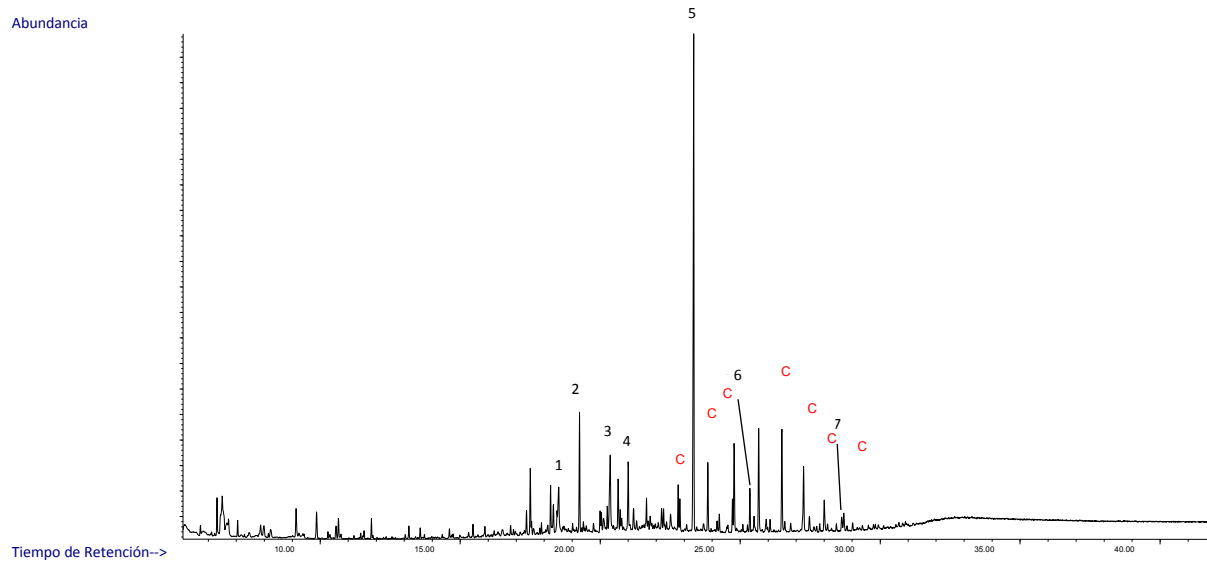
**Cromatograma parcial de la muestra BRA10 (BA-H12-8). Sin presencia de compuestos orgánicos.**

# BRA11 (BA-H2-140.2)



**Cromatograma parcial de la muestra BRA11 (BA-H2-140.2). Picos identificados: 1-C14:0; 2-C16:1; 3-C16:0; 4-C18:1; 5-C18:1; 6-C20:1; 7-C20:0; 8-C22:0; 9-Escualeno (m/z 69); 10-C24:0; 11-C26:0; 12-C28:0.**

# BRA12 (BA-H2-148.2)

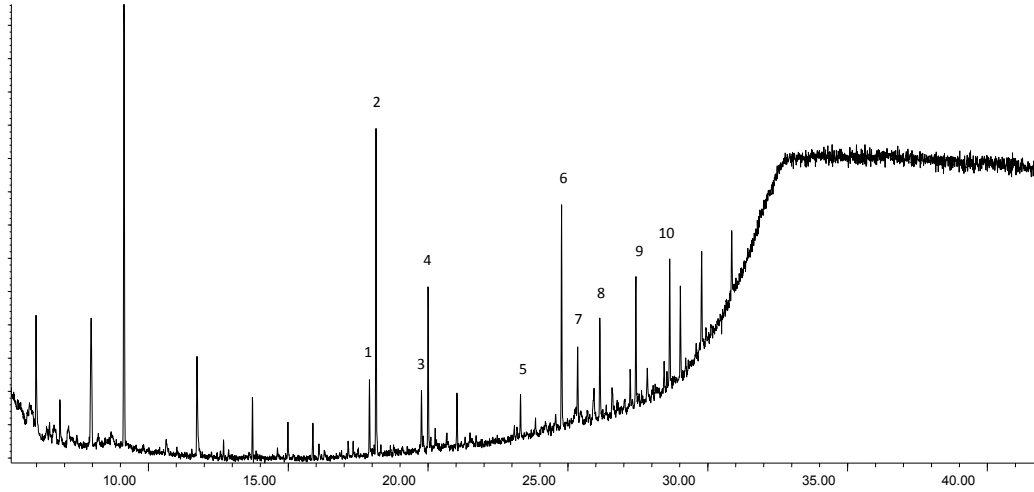


**Cromatograma parcial de la muestra BRA10 (BA-H12-8). Picos identificados: 1-C14:0; 2-C16:0; 3-C18:0; 4-C18:0; 5- Ftalato (m/z 149); 6-Escualeno (m/z 69); 7-β-Sitosterol (m/z 486); C-Contaminación analítica.**

# BRA13 (BA-H2-137)

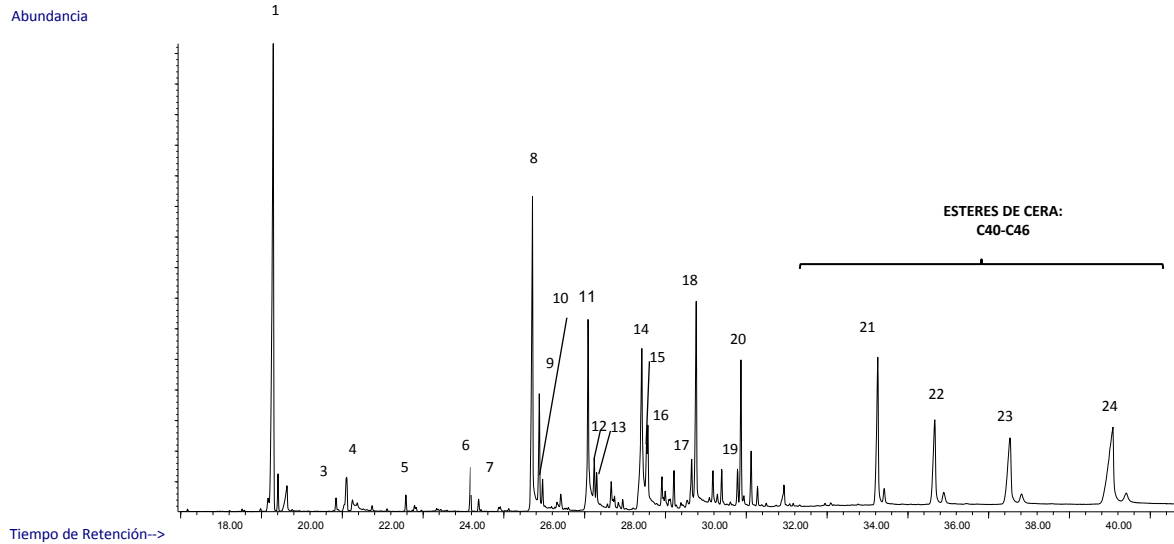
Abundancia

Tiempo de Retención-->



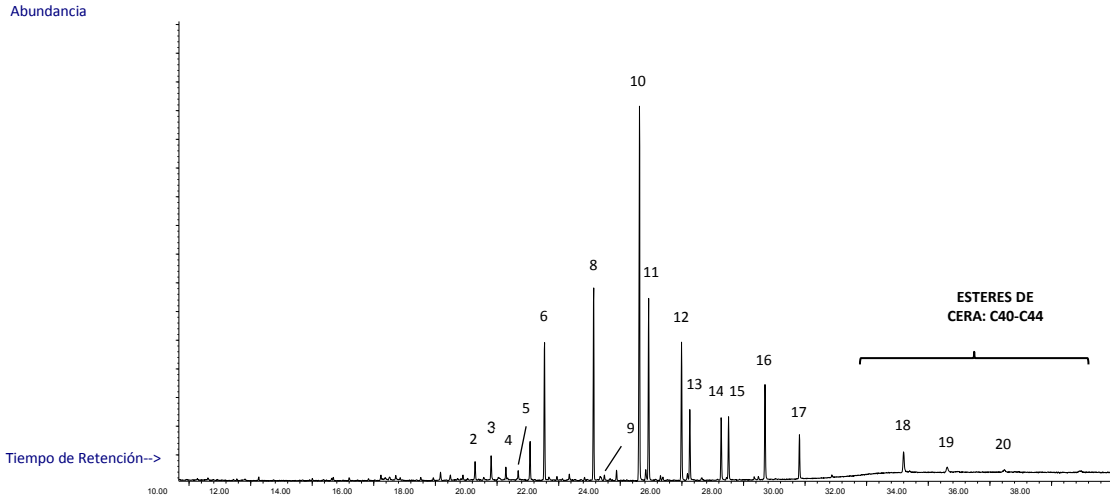
**Cromatograma parcial de la muestra BRA13 (BA-H12-137). Picos identificados: 1-C16:1; 2-C16:0; 3-C18:1; 4-C18:1; 5-Ftalato (m/z 149); 6-C24:0; 7-Escualen (m/z 69); 8-C26:0; 9-C28:0; 10-C30:0.**

# BRA14 (BA-H2-167)



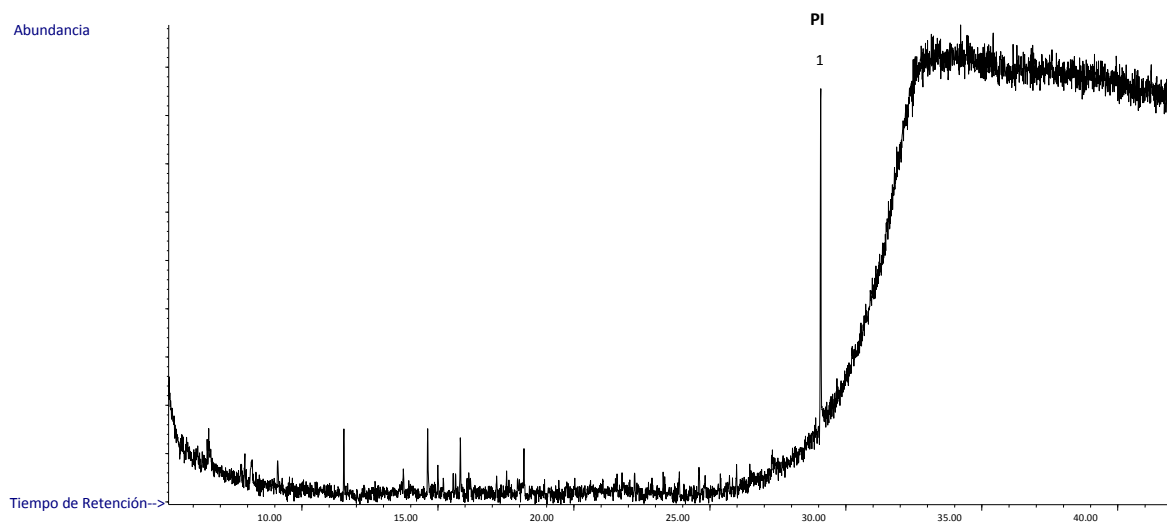
**Cromatograma parcial de la muestra BRA13 (BA-H12-137). Picos identificados: 1-C16:0; 3-C18:1; 4-C18:0; 5-C23 alcano; 6-C25 alcano; 7-C22:0; 8-C27 alcano; 9-C24:0; 10-C24-OH; 11-C29 alcano; 12-C26:0; 13-C26-OH; 14-C31 alcano; 15-C28:0; 16-C28-OH; 17-C33 alcano; 18-C30-OH; 19-C35 alcano; 20-C32-OH; 21-Estér de cera C40; 22-Estér de cera C42; 23-Estér de cera C44; 24-Estér de cera C46.**

# BRA15 (BA-H2-167)



**Cromatograma parcial de la muestra BRA15 (BA-H2-167). Picos identificados: 2-C16:0; 3-C21 alcano; 4-C18-OH; 5-C22 alcano; 6-C23 alcano; 8-C25 alcano; 9-C22-OH; 10-C27 alcano; 11-C24-OH; 12-C29 alcano; 13-C26-OH; 14-C31 alcano; 15-C28-OH; 16-C30-OH; 17-C32-OH; 18-Estér de cera C40; 19-Estér de cera C42; 20-Estér de cera C44.**

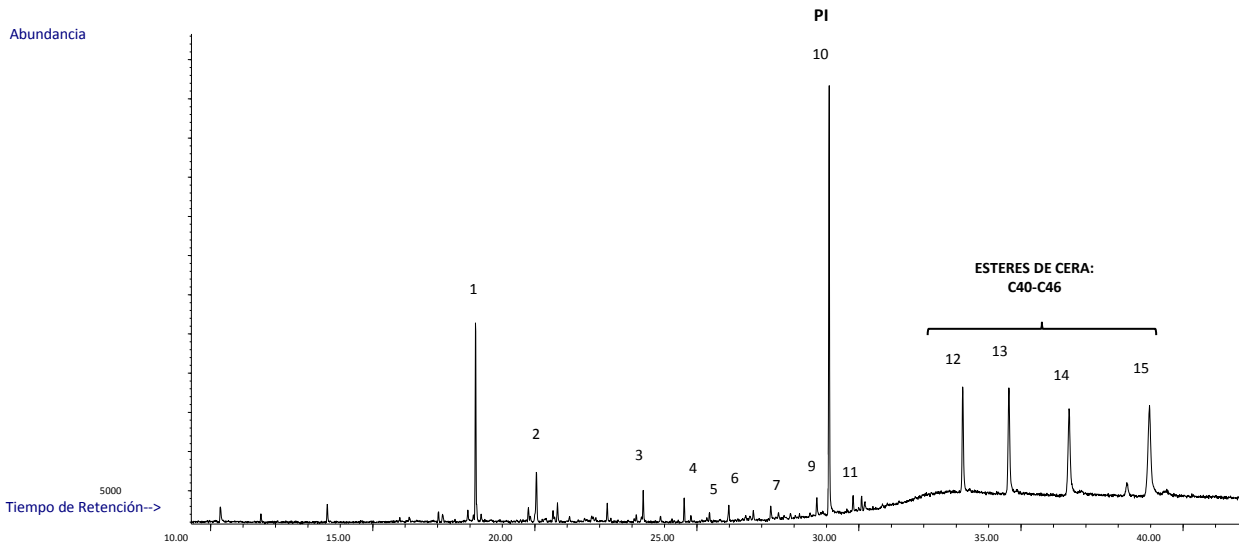
## BRA16 (BA-H2-175.22)



Cromatograma parcial de la muestra BRA16 (BA-H2-175.22). Picos identificados: 1-Patrón interno (AL34: *n*-tetratriacontano). Sin presencia de compuestos orgánicos.

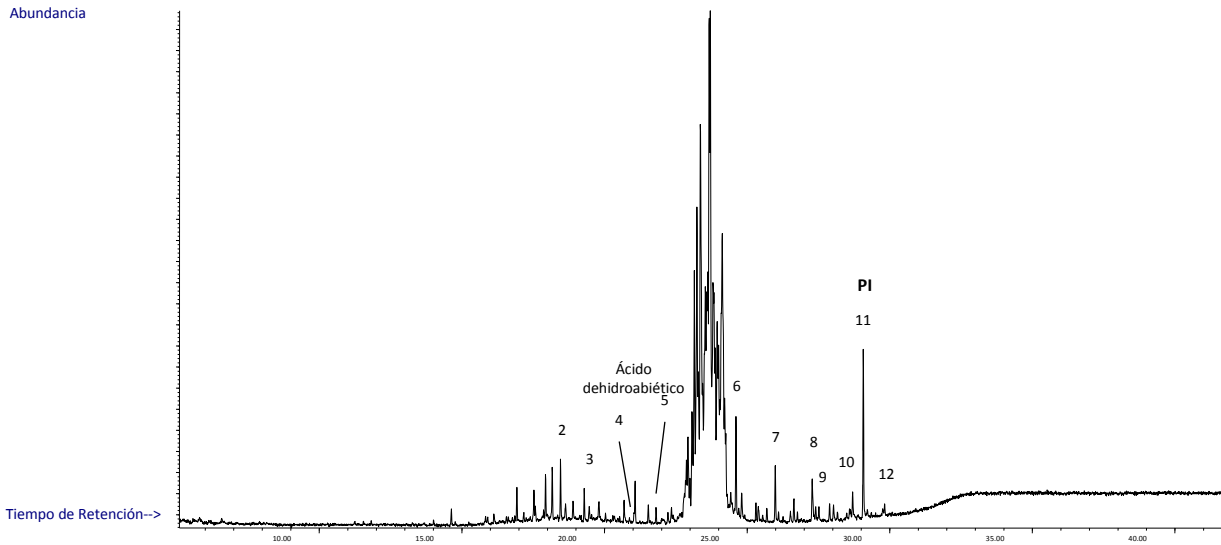


# BRA17 (BA-H2-175.9)



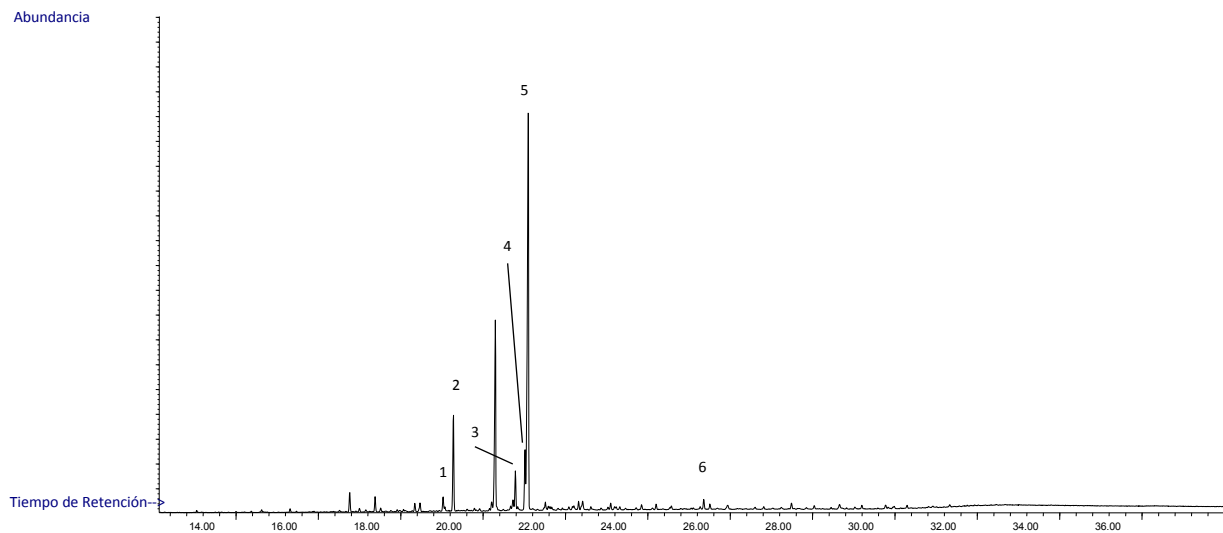
Cromatograma parcial de la muestra BRA17 (BA-H2-175.9). Picos identificados: 1-C16:0; 2-C18:0; 3-C22:0; 4-C27 alcano; 5-Escualeno ( $m/z$  69); 6-C29 alcano; 7-C31 alcano; 9-C30-OH; 10-Patrón interno (AL34: *n*-tetratriacontano); 11-C32-OH; 12-Estér de cera C40; 13-Estér de cera C42; 14-Estér de cera C44; 15-Estér de cera C46.

# BRA18 (BA-H2-224)



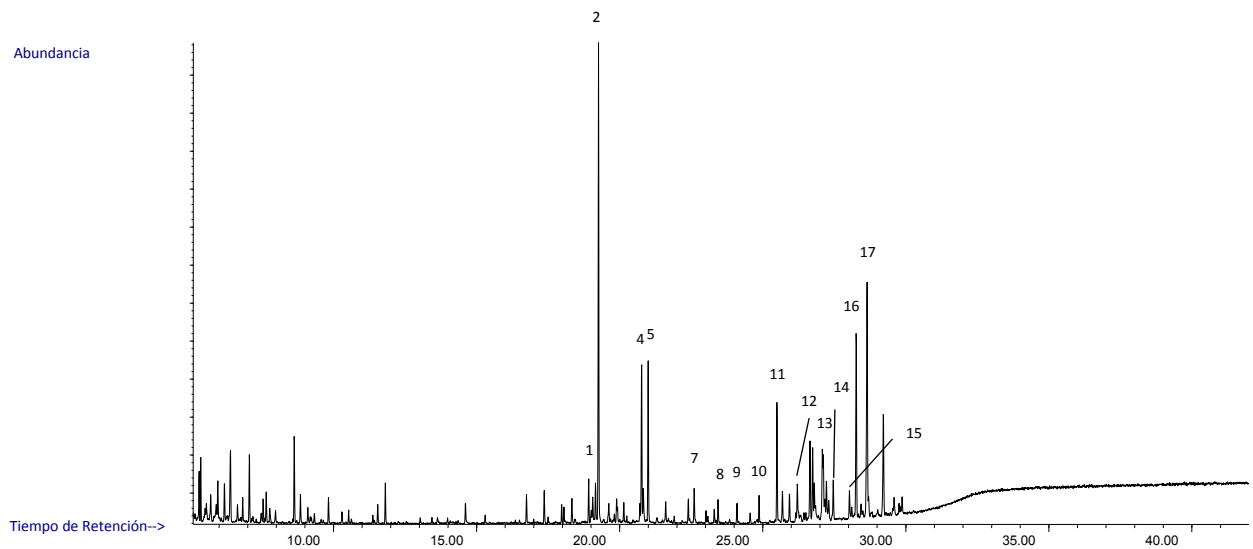
Cromatograma parcial de la muestra BRA18 (BA-H2-224). Picos identificados: 2-Ftalato ( $m/z$  149); 3-C16:0; 4-C18:0; 5-Ácido dehidroabiético; 6-C27 alcano; 7-C29 alcano; 8-C31 alcano; 9-C28-OH; 10-C30-OH; 11-Patrón interno (AL34: *n*-tetratriacontano); 12-C32-OH.

# BRA19 (BA-H2-316)



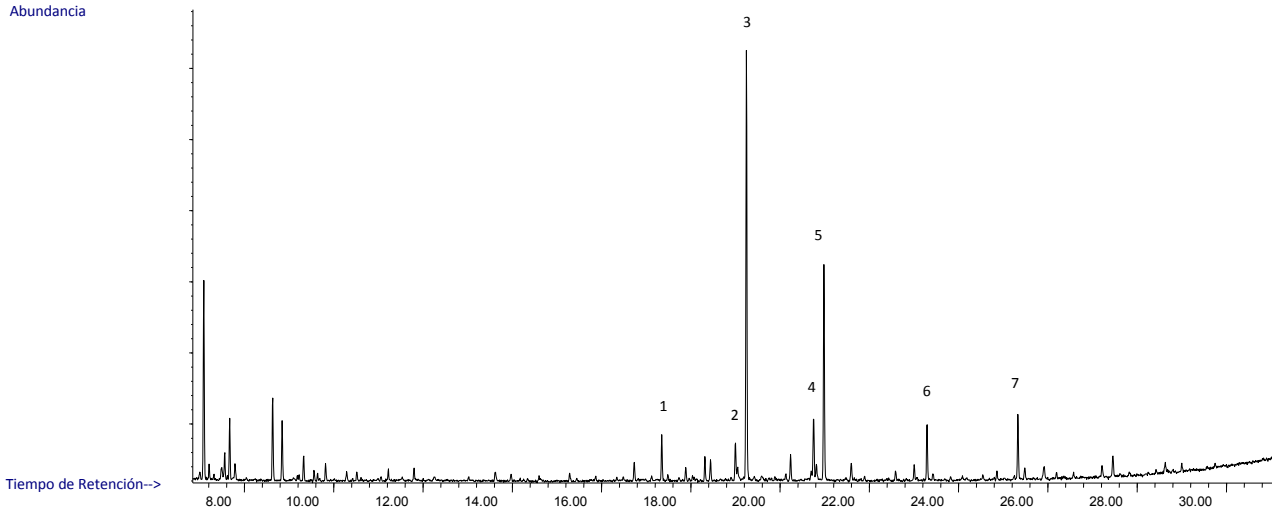
**Cromatograma parcial de la muestra BRA19 (BA-H2-316). Picos identificados: 1-C16:1; 2-C16:0; 3-C18:1; 4-C18:0; 5-Ftalato (m/z 149); 6-Escualeno (m/z 69).**

# BRA20 (BA-H2-82)



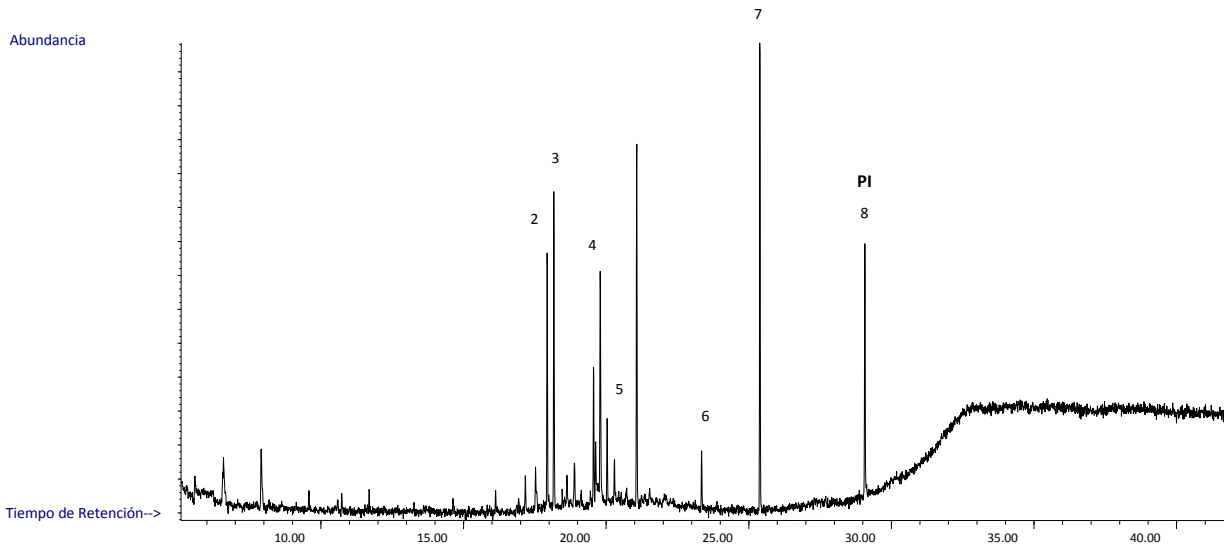
Cromatograma parcial de la muestra BRA20 (BA-H2-82). Picos identificados: 1-C16:1; 2-C16:0; 4-C18:1; 5-C18:0; 7-C20:0; 8-C22-OH; 9-C22:0; 10-C24-OH; 11-C24:0; 12-C26-OH; 13-C27 alcano; 14-C28-OH; 15-C28:0; 16- $\beta$ -Sitosterol (m/z 486).

# BRA21 (BA-H2-82)



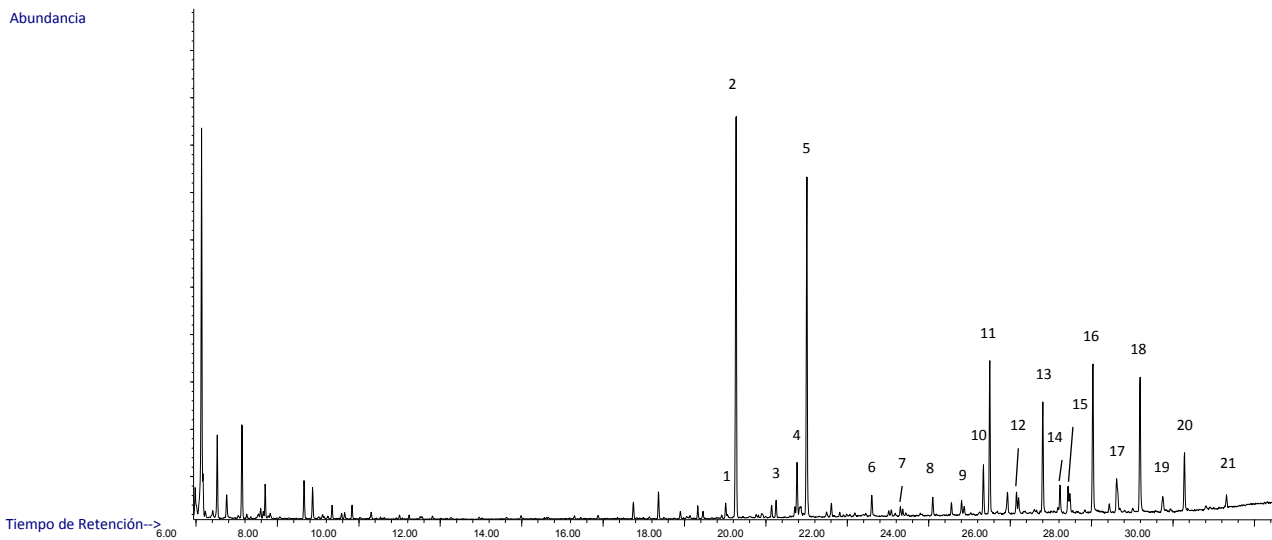
**Cromatograma parcial de la muestra BRA21 (BA-H2-82). Picos identificados: 1-C14:0; 2-C16:1; 3-C16:0; 4-C18:1; 5-C18:0; 6-Ftalato (m/z 149); 7-Escualeno (m/z 69).**

# BRA22 (BA-H3-108.7)



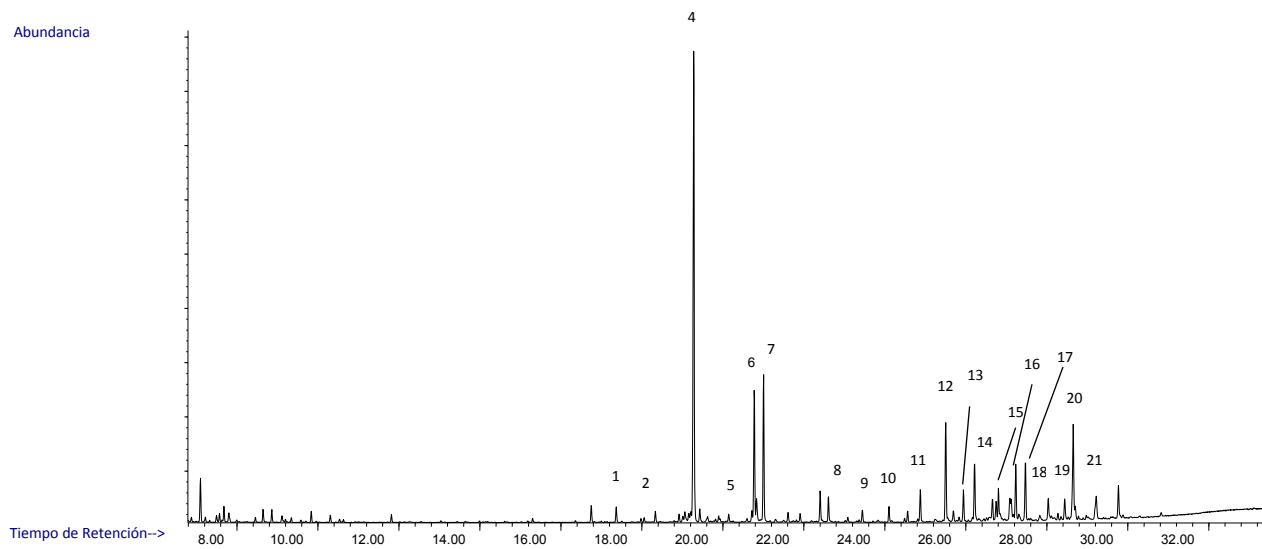
Cromatograma parcial de la muestra BRA22 (BA-H3-108.7). Picos identificados: 2-C16:1; 3-C16:0; 4-C18:1; 5-C18:0; 6-Ftalato (m/z 149); 7-Escualeno (m/z 69); 8-Patrón interno (AL34: *n*-tetratriacontano).

# BRA23 (BA-H3-89)



**Cromatograma parcial de la muestra BRA23 (BA-H3-89). Picos identificados: 1-C16:1; 2-C16:0; 3-C18-OH; 4-C18:1; 5-C18:0; 6-C20:0; 7-Ftalato (m/z 149); 8-C22:0; 9-C24-OH; 10-Escualeno (m/z 69); 11-C24:0; 12-C26-OH; 13-C26:0; 14-C28 alcano; 15-C28-OH; 16-C28:0; 17-C30-OH; 18-C30:0; 19-C32-OH; 20-C32:0; 21-C34:0.**

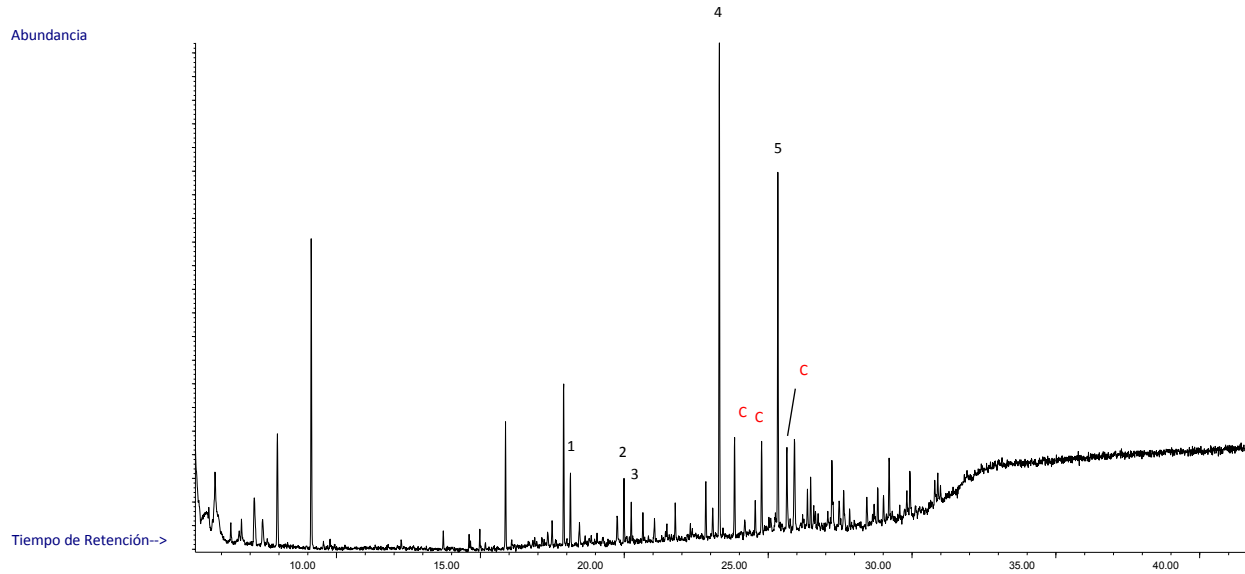
# BRA24 (BA-H3-83)



**Cromatograma parcial de la muestra BRA24 (BA-H3-83). Picos identificados: 1-C16:1; 2-C16:0; 3-C18-OH; 4-C18:1; 5-C18:0; 6-C20:0; 7-Ftalato (m/z 149); 8-C22:0; 9-C24-OH; 10-Escualeno (m/z 69); 11-C24:0; 12-C26-OH; 13-C26:0; 14-C28 alcano; 15-C28-OH; 16-C28:0; 17-C30-OH; 18-C30:0; 19-C32-OH; 20-C32:0; 21-C34:0.**

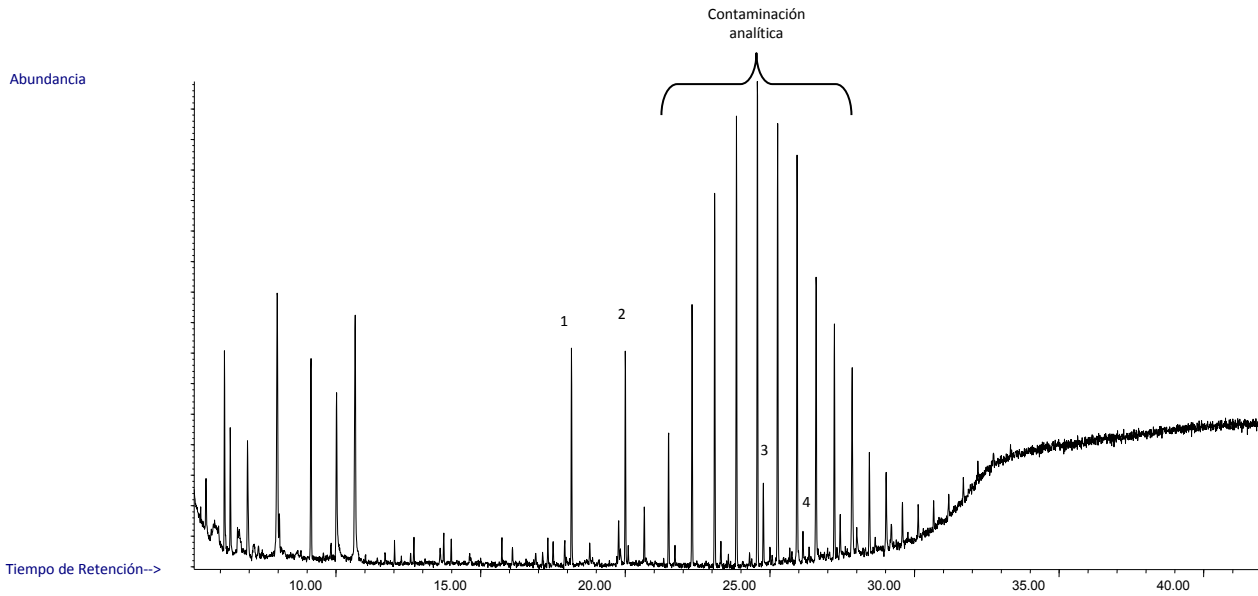


# BRA25 (BA-H3-83)



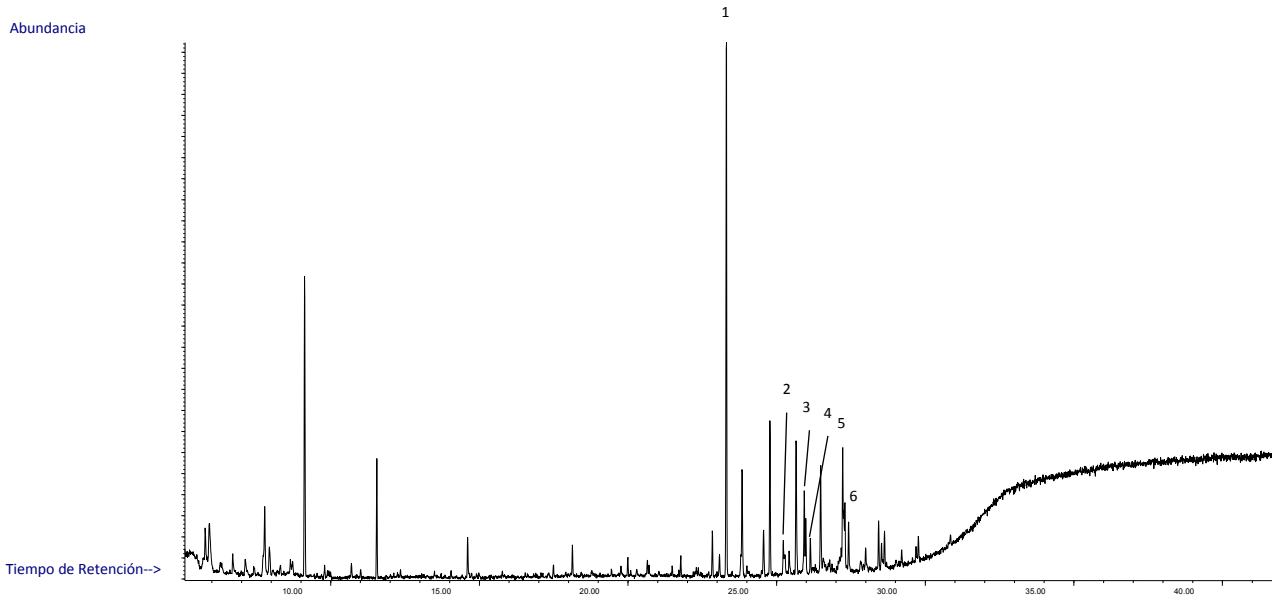
Cromatograma parcial de la muestra BRA25 (BA-H3-83). Picos identificados: : 1-C16:0; 2-C18:0; 3-C18-OH; 4-Ftalato (m/z 149) plasticizer contamination arising from the contact with the type of storage sample; 5-Escualeno (m/z 69); C-Contaminación analítica.

# BRA26 (BA-H3-160)



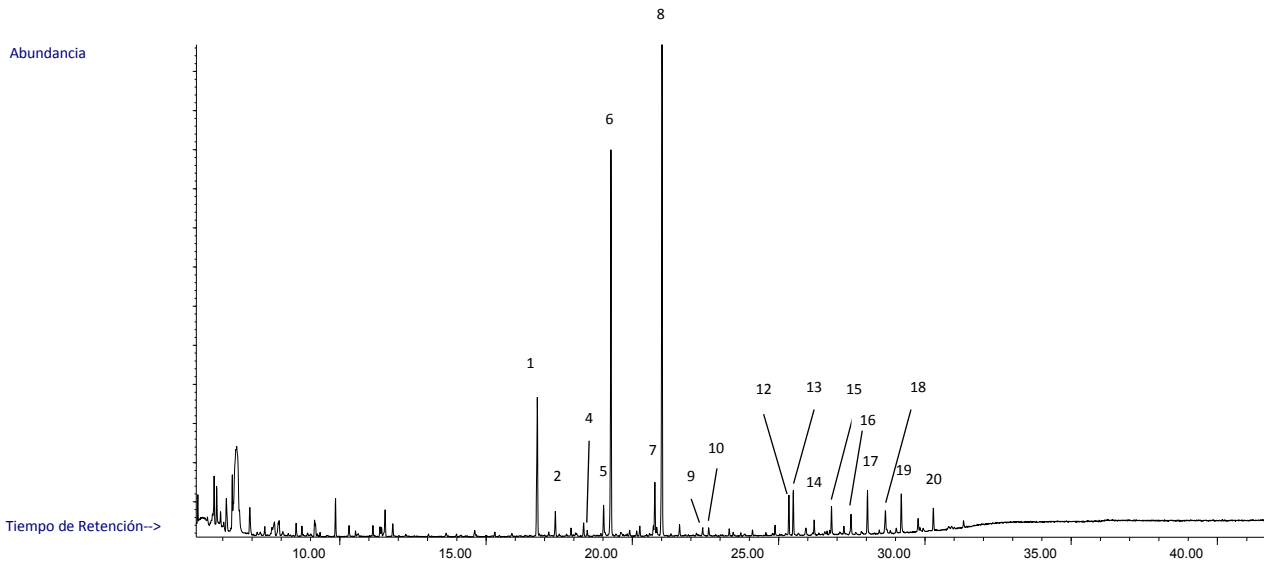
Cromatograma parcial de la muestra BRA26 (BA-H3-160). Picos identificados: : 1-C16:0; 2-C18:0; 3-C24:0; 4-C26:0.

# BRA27 (BA-H3-72)



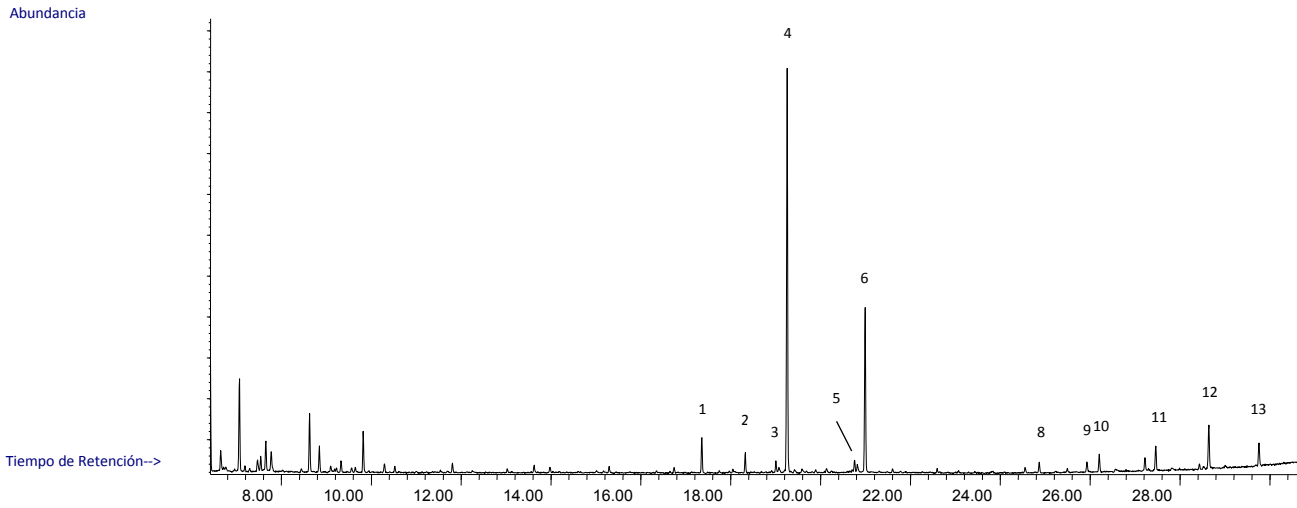
**Cromatograma parcial de la muestra BRA27 (BA-H3-72). Picos identificados: 1-Escualeno (m/z 69); 2-C27 alcano; 3-C20 alcano; 4-C24-OH; 5-AL22 alcano; 6-C26-OH.**

# BRA28 (BA-H3-72)



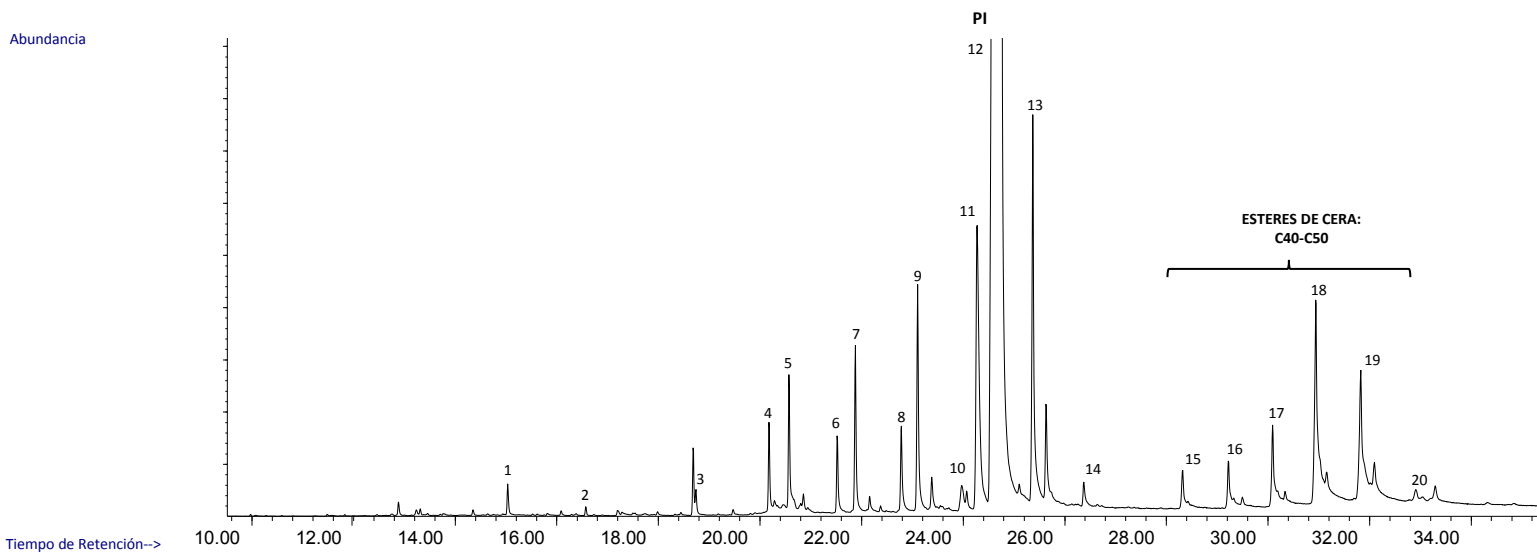
Cromatograma parcial de la muestra BRA28 (BA-H3-72). Picos identificados: 1-C14:0; 2-C18 alcano; 4-C16-OH; 5-C16:1; 6-C16:0; 7-C18:1; 8-C18:0; 9-C20:1; 10-C20:0; 12-Escualeno (m/z 69); 13-C24:0; 14-C26-OH; 15-C26:0; 16-C28-OH; 17-C28:0; 18-C30-OH; 19-C30:0; 20-C32:0.

# BRA29 (BA-H3-92)



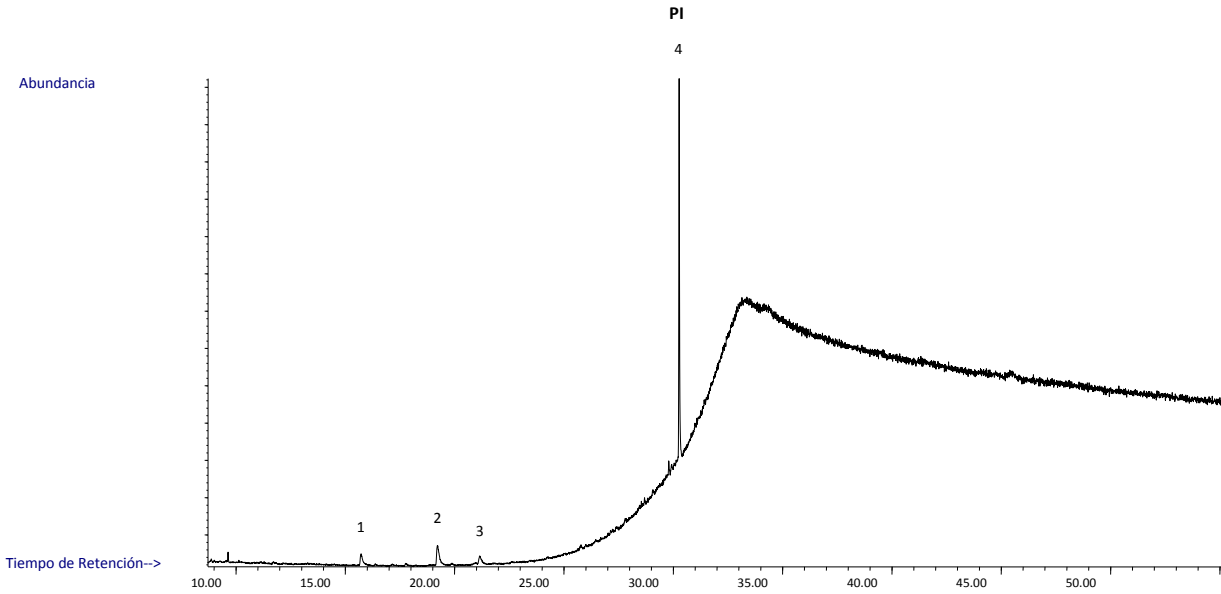
**Cromatograma parcial de la muestra BRA29 (BA-H3-92). Picos identificados: 1-C14:0; 2-C15:0; 3-C16:1; 4-C16:0; 5-C18:1; 6-C18:0; 8-C24 alcano; 9-C27 alcano; 10-C26-OH; 11-C28-OH; 12-C30-OH; 13-C32-OH**

## 38 (BA-H3-92)



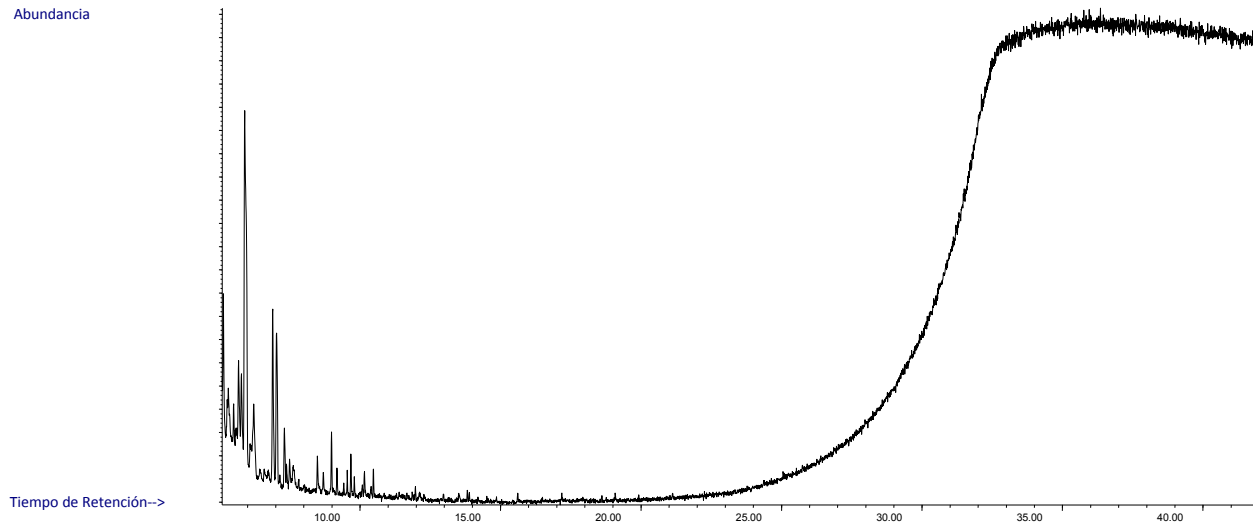
Cromatograma parcial de la muestra 38 (BA-H3-92). Picos identificados: 1-C16:0; 2-Ftalato (m/z 149); 3-C25 alcano; 4-C27 alcano; 5-C24-OH; 6-C29 alcano; 7-C26-OH; 8-C31 alcano; 9-C28-OH; 10-C33 alcano; 11-C30-OH; 12- Patrón interno (AL34: *n*-tetratriacontano); 13-C32-OH; 14-C34-OH; 15-Estér de cera C40; 16-Estér de cera C42; 17-Estér de cera C44; 18-Estér de cera C46; 19-Estér de cera C48; 20-Estér de cera C50.

# EMM008 (BA-H3-21)



Cromatograma parcial de la muestra EMM008 (BA-H3-21). Picos identificados: 1-Ftalato (m/z 149); 2-C16:0; 3-C18:0; 4-Patrón interno (AL34: *n*-tetatriacontano).

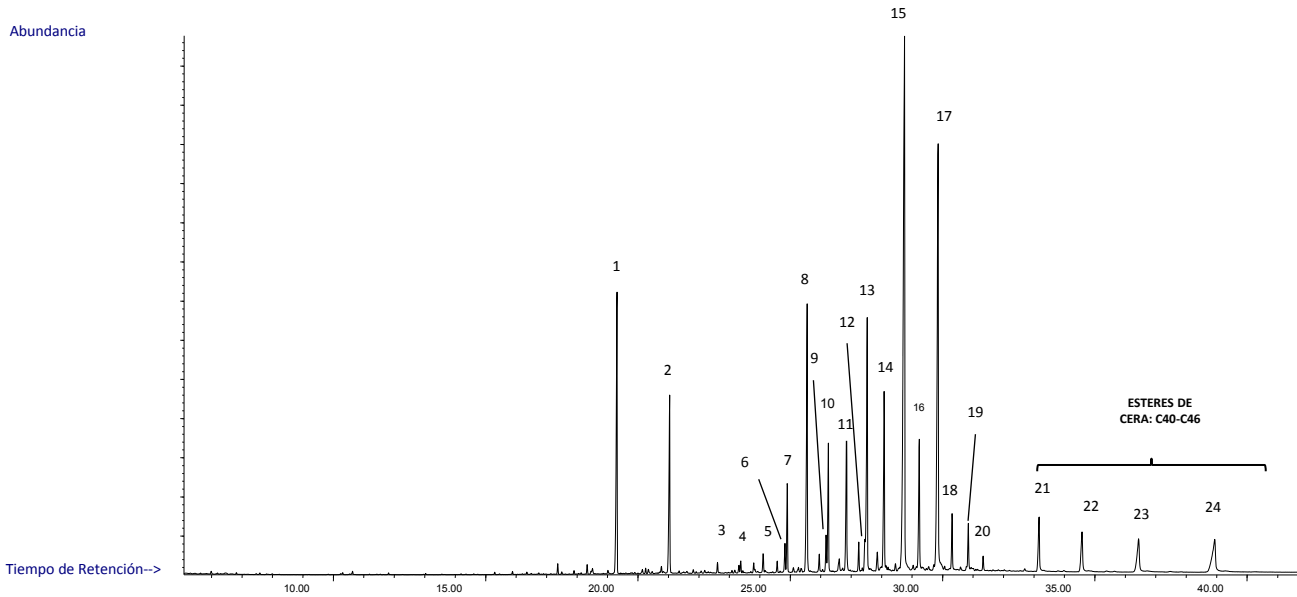
# BRA30 (BA-H3-29)



**Cromatograma parcial de la muestra BRA30 (BA-H3-29). Sin presencia de compuestos orgánicos.**

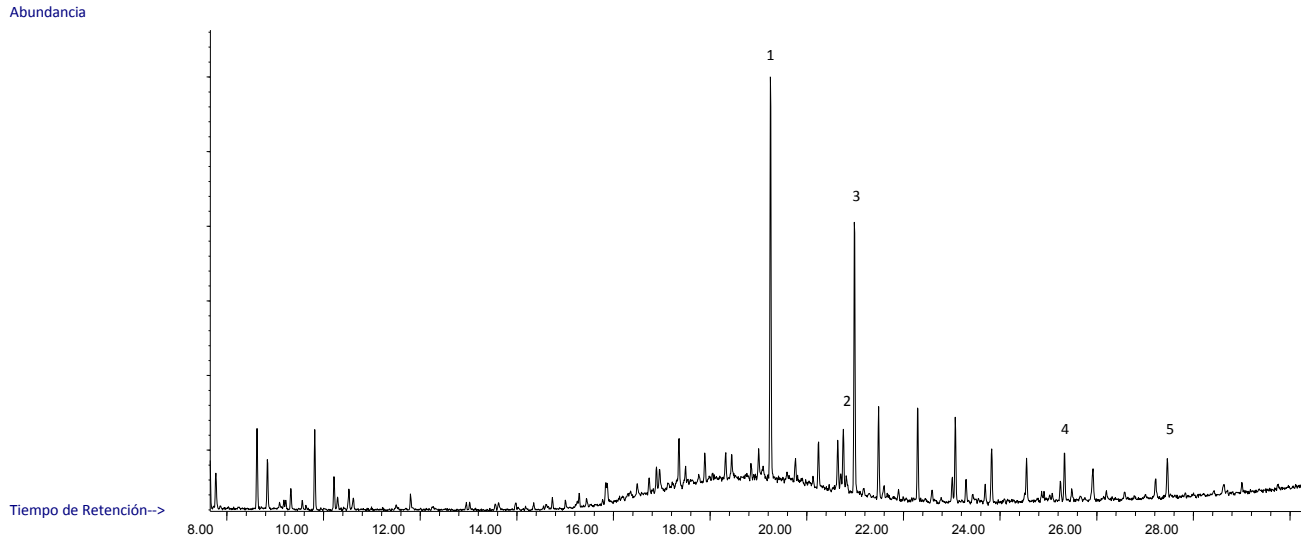


# BRA31 (BA-H3-54)



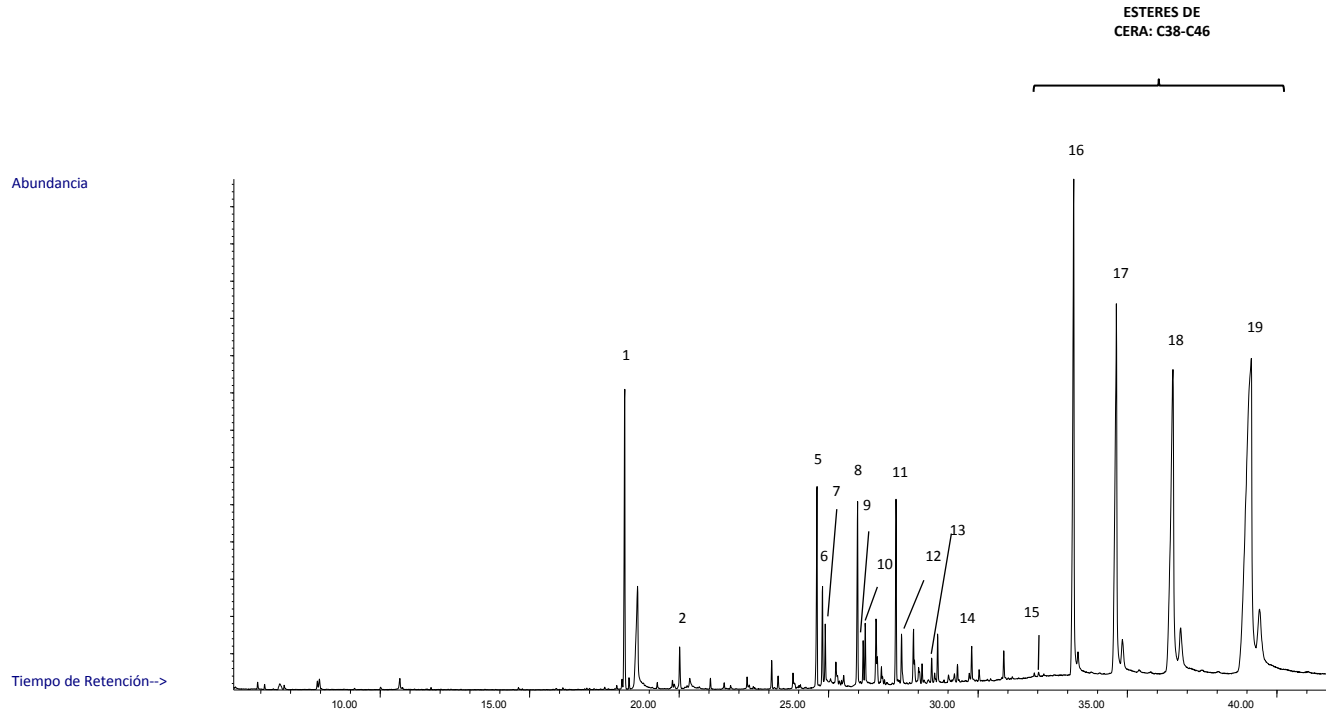
**Cromatograma parcial de la muestra BRA31 (BA-H3-54). Picos identificados: 1-C16:0; 2-C18:0; 3-C20:0; 4-C21 alcano; 5-C22:0; 6-C23 alcano; 7-C24-OH; 8-C24:0; 9-C25 alcano; 10-C26-OH; 11-C26:0; 12-C27 alcano; 13-C28-OH; 14-C28:0; 15-C30-OH; 16-C29 alcano; 17-C32-OH; 18-C30:0; 19-C34-OH; 20-C31 alcano; 21-Estér de cera C40; 22-Estér de cera C42; 23-Estér de cera C44; 24-Estér de cera C46.**

# BRA32 (BA-H3-59)



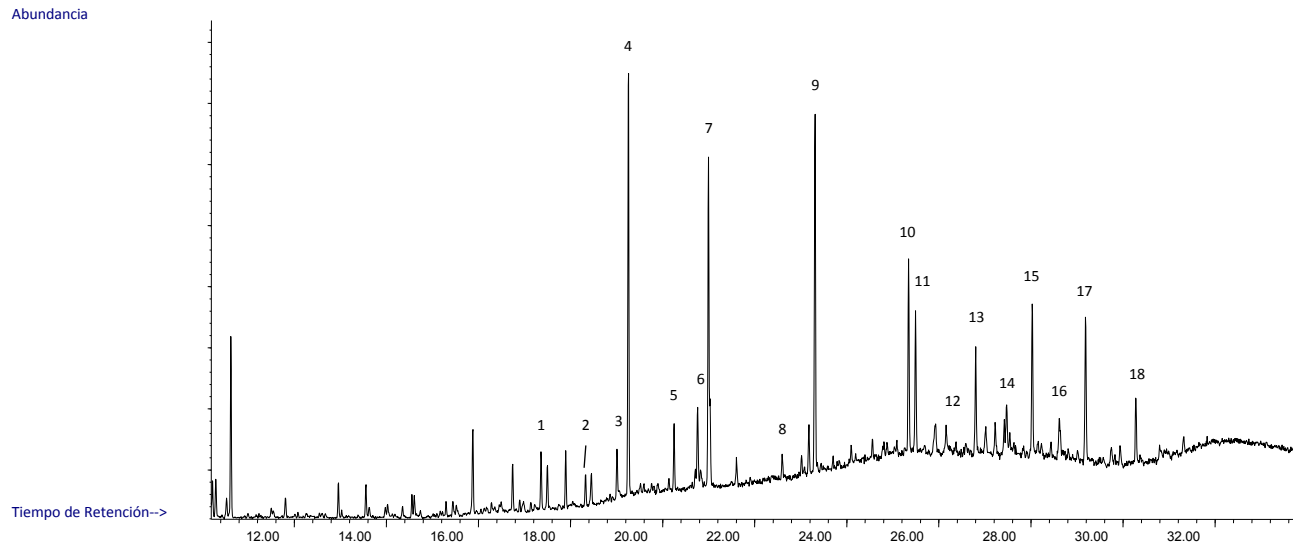
**Cromatograma parcial de la muestra BRA32 (BA-H3-59). Picos identificados: 1-C16:0; 2-C18:1; 3-C18:0; 4-Colesterol (458 m/z); 5-Escualeno (m/z 69).**

# BRA33 (BA-H3-60)



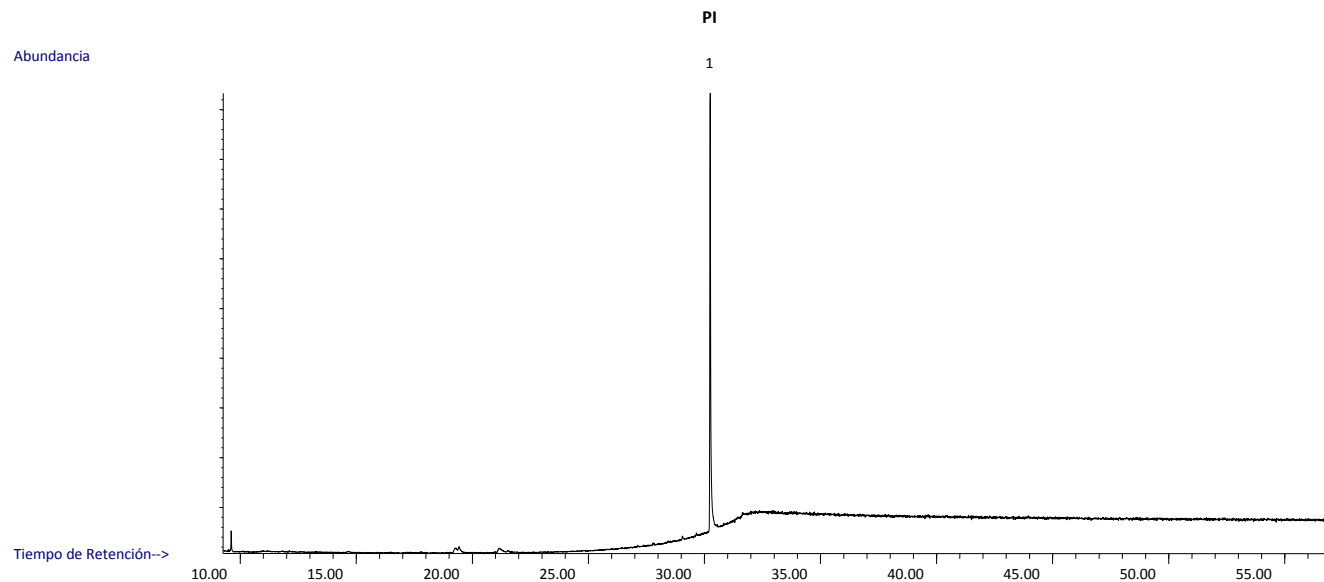
**Cromatograma parcial de la muestra BRA33 (BA-H3-60). Picos identificados: 1-C16:0; 2-C18:0; 5-C27 alcano; 6-C24:0; 7-C24-OH; 8-C29 alcano; 9-C26:0; 10-C26-OH; 11-C31 alcano; 12-C28:0; 13-C33 alcano; 14-C30-OH; 15-Estér de cera C38; 16-Estér de cera C40; 17-Estér de cera C42; 18-Estér de cera C44; 19-Estér de cera C46.**

# BRA34 (BA-H35-477)



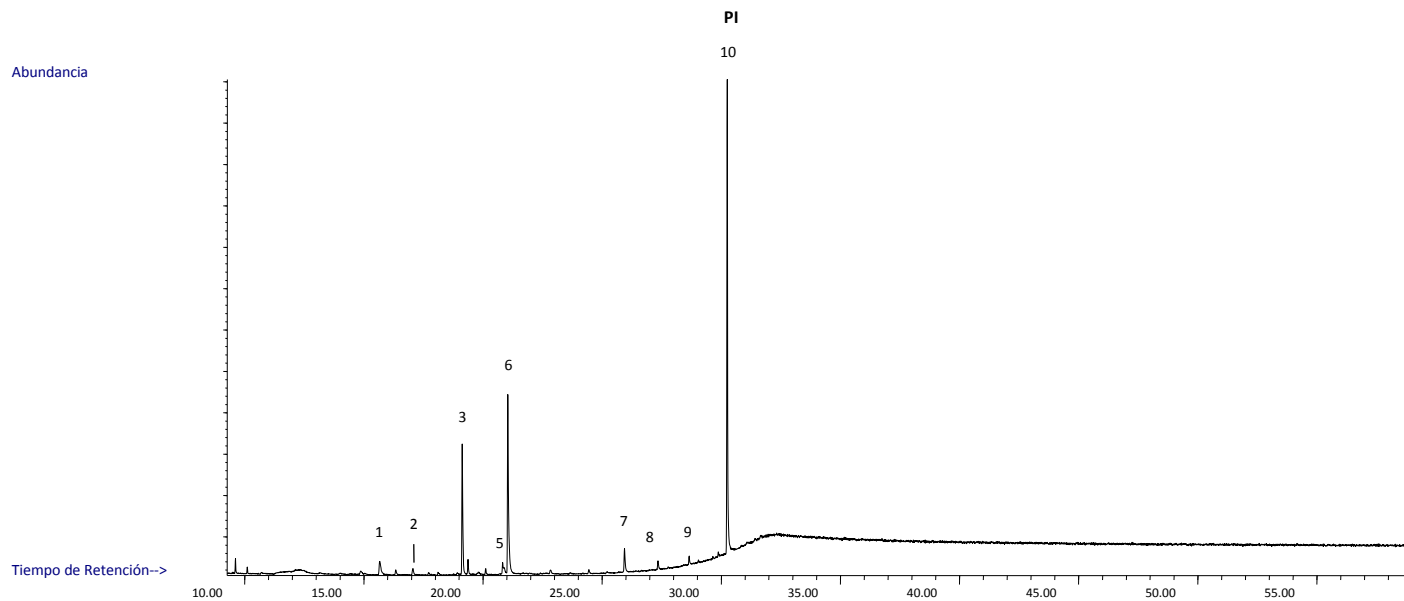
**Cromatograma parcial de la muestra BRA34 (BA-H35-477). Picos identificados: 1-C14:0; 2-C15:0; 3-C16:1; 4-C16:0; 5-C18-OH; 6-C18:1; 7-C18:0; 8-C20:0; 9-Ftalato (m/z 149); 10-Escualeno (m/z 69); 11-C24:0; 12-C26-OH; 13-C26:0; 14-C28-OH; 15-C28:0; 16-C30-OH; 17-C30:0; 18-C32:0.**

# EMM019 (BA-H3-65.10)



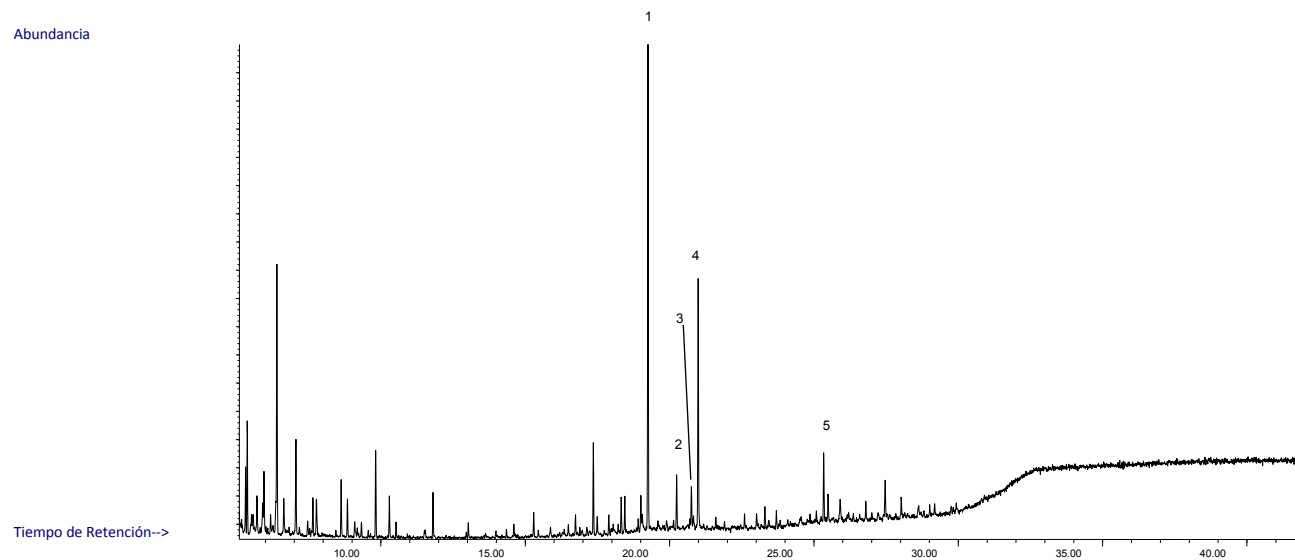
**Cromatograma parcial de la muestra EMM019 (BA-H3-65.10). Picos identificados: 1-Patrón interno (AL34: *n*-tetratriacontano). Sin presencia de compuestos orgánicos.**

# EMM016 (BA-H3-78)



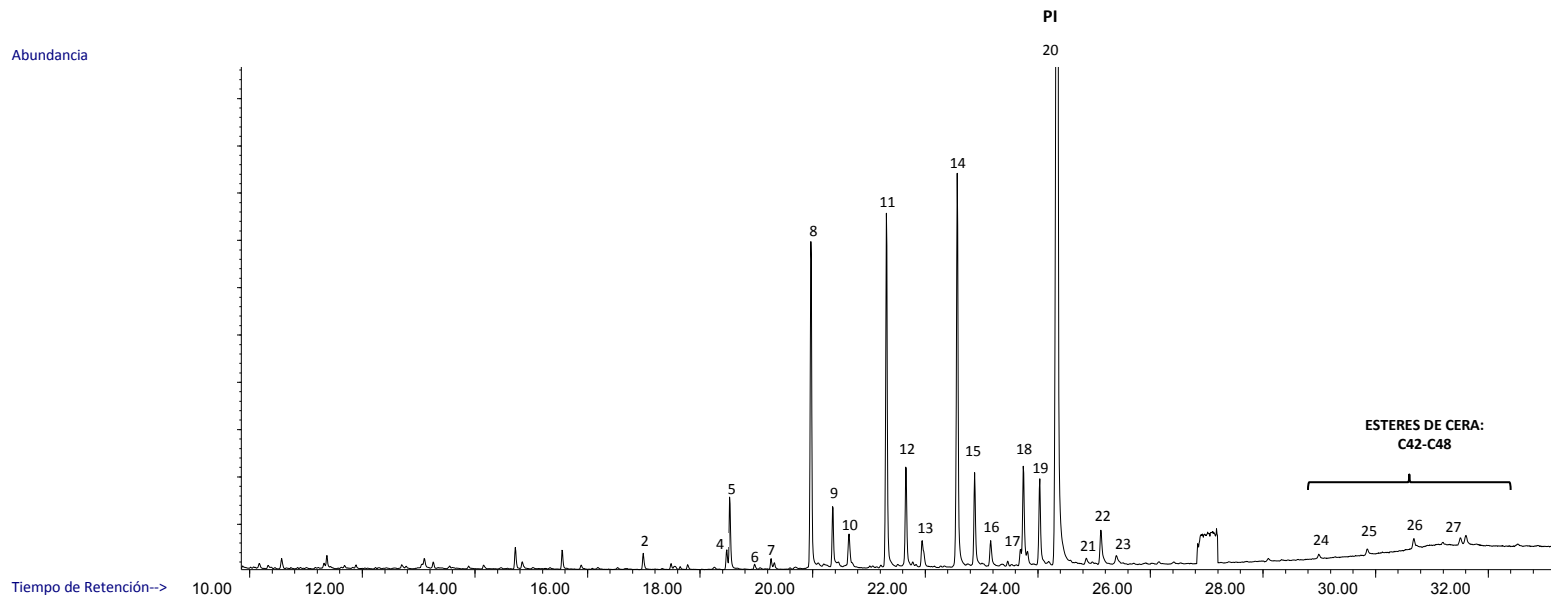
Cromatograma parcial de la muestra EMM016 (BA-H3-78). Picos identificados: 1-Ftalato (m/z 149); 2-C14:0; 3-C16:0; 5-C18:1; 6-C18:0; 7-C24:0; 8-C26:0; 9-C28:0; 10- Patrón interno (AL34: *n*-tetratriacontano)

# BRA35 (BA-H3-9)



Cromatograma parcial de la muestra BRA35 (BA-H3-9). Picos identificados: 1-C16:0; 2-C18-OH; 3-C18:1; 4-C18:0; 5-Escualeno (m/z 69).

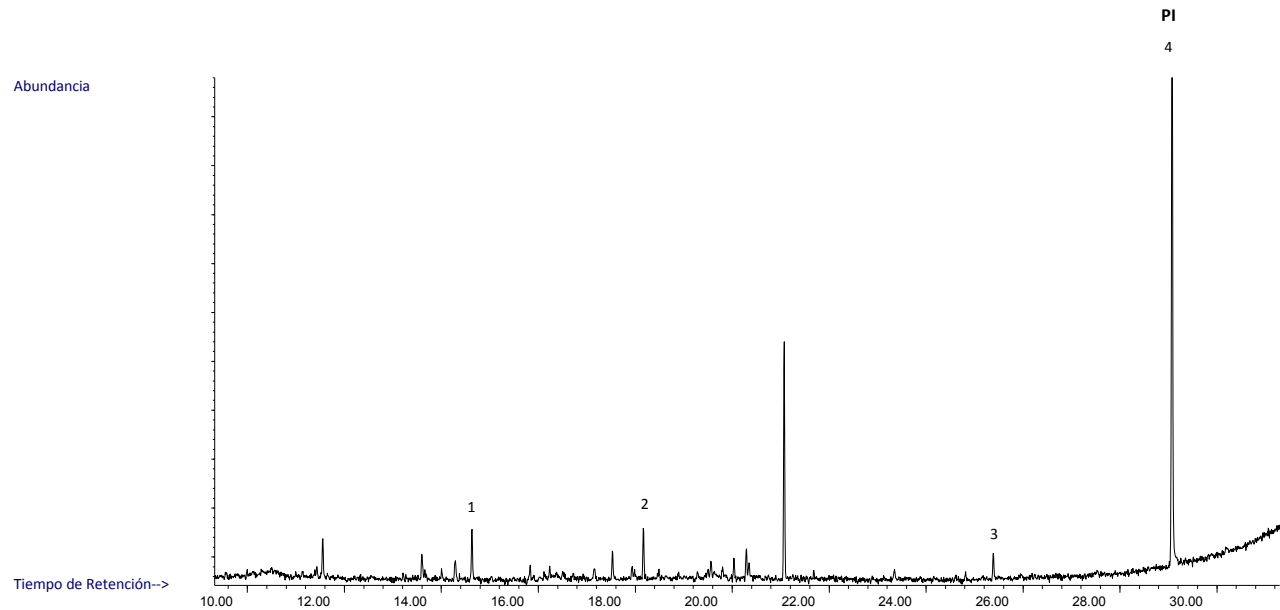
# 58 (BA-H54-174)



Cromatograma parcial de la muestra 58 (BA-H54-174). Picos identificados: 2-C23 alcano; 4-Ftalato (m/z 149); 5-C25 alcano; 6-C22-OH; 7-C26 alcano; 8-C27 alcano; 9-C24-OH; 10-C28 alcano; 11-C29 alcano; 12-C26-OH; 13-C30 alcano; 14-C31 alcano; 15-C28-OH; 16-C32 alcano; 17- $\beta$ -Sitosterol (m/z 486); 18-C33 alcano; 19-C30-OH; 20-Patrón interno (AL34: *n*-tetratriacontano); 21-C35 alcano; 22-C32-OH; 23-C36 alcano; 24-Estér de cera C42; 25-Estér de cera C44; 26-Estér de cera C46; 27-Estér de cera C48.

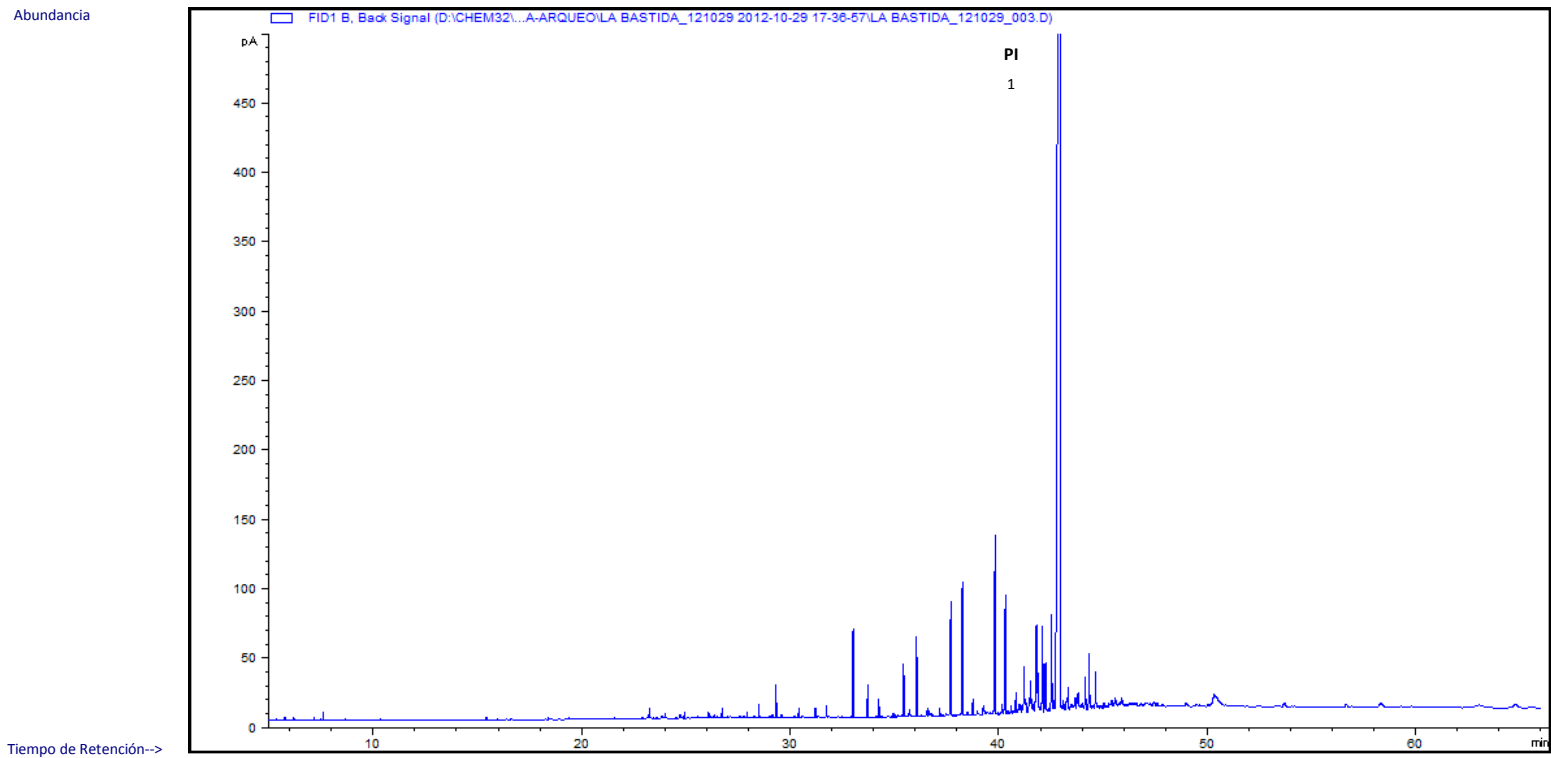


# BRA36 (BA-H5-51)



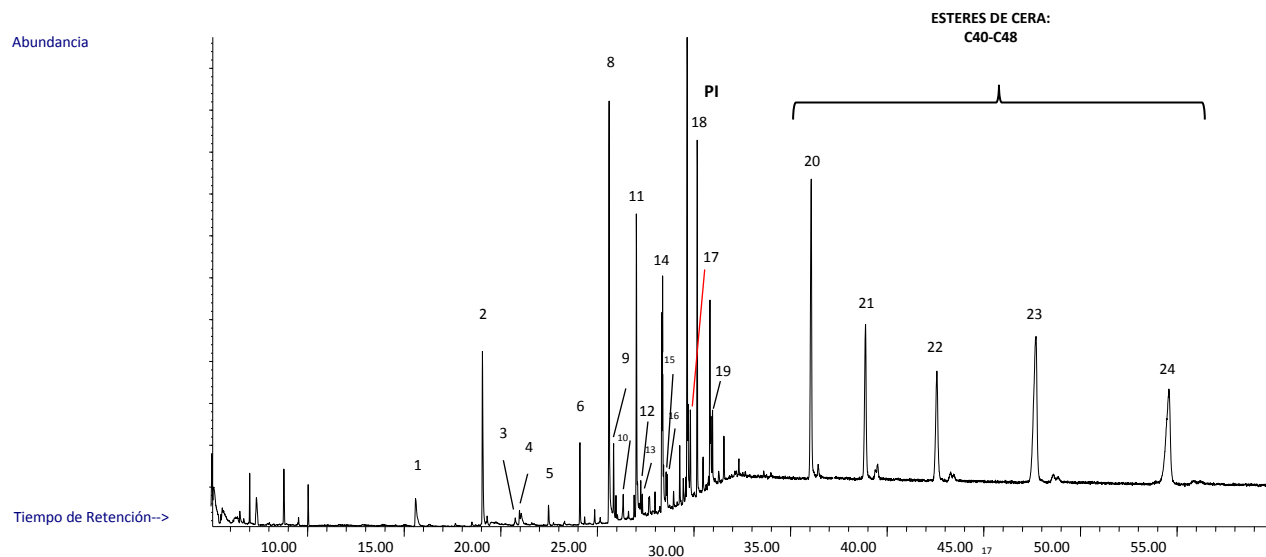
Cromatograma parcial de la muestra BRA36 (BA-H5-51). Picos identificados: 1-Ftalato (m/z 149); 2-C16:0; 3-Escualeno (m/z 69); 4-Patrón interno (AL34: *n*-tetratriacontano).

## 27 (BA-H59-35)



Cromatograma parcial de la muestra 27 (BA-H59-35). 1-Patrón interno (AL34: n-tetratriacontano). Muestra de control (RES2) tomado del contexto de la pieza. Presenta un perfil de compuestos característico a los restos vegetales que se conservan en los contextos sedimentarios.

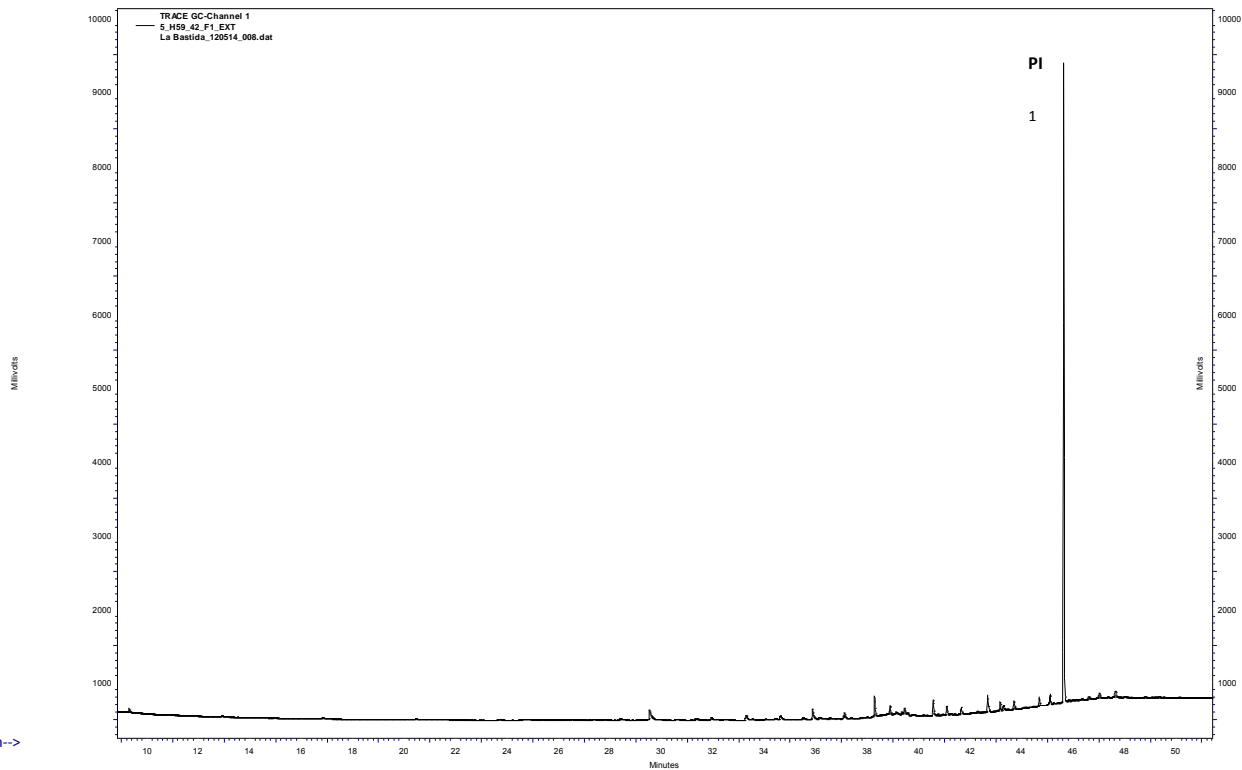
# EMM009 (BA-H59-35)



**Cromatograma parcial de la muestra EMM009 (BA-H59-35). Picos identificados: 1-Ftalato (m/z 149); 2-C16:0; 3-C18:1; 4-C18:0; 5-C23 alcano; 6-C25 alcano; 8-C27 alcano; 9-C24:0; 11-C29 alcano; 12-C26:0; 13-C26-OH; 14-C31 alcano; 15-C28:0; 16-C28-OH; 17-C30-OH; 18-Patrón interno (AL34: *n*-tetratriacontano); 19-C32-OH; 20-Estér de cera C40; 21-Estér de cera C42; 22-Estér de cera C44; 23-Estér de cera C46; 24-Estér de cera C48.**

# 5 (BA-H59-42-ext)

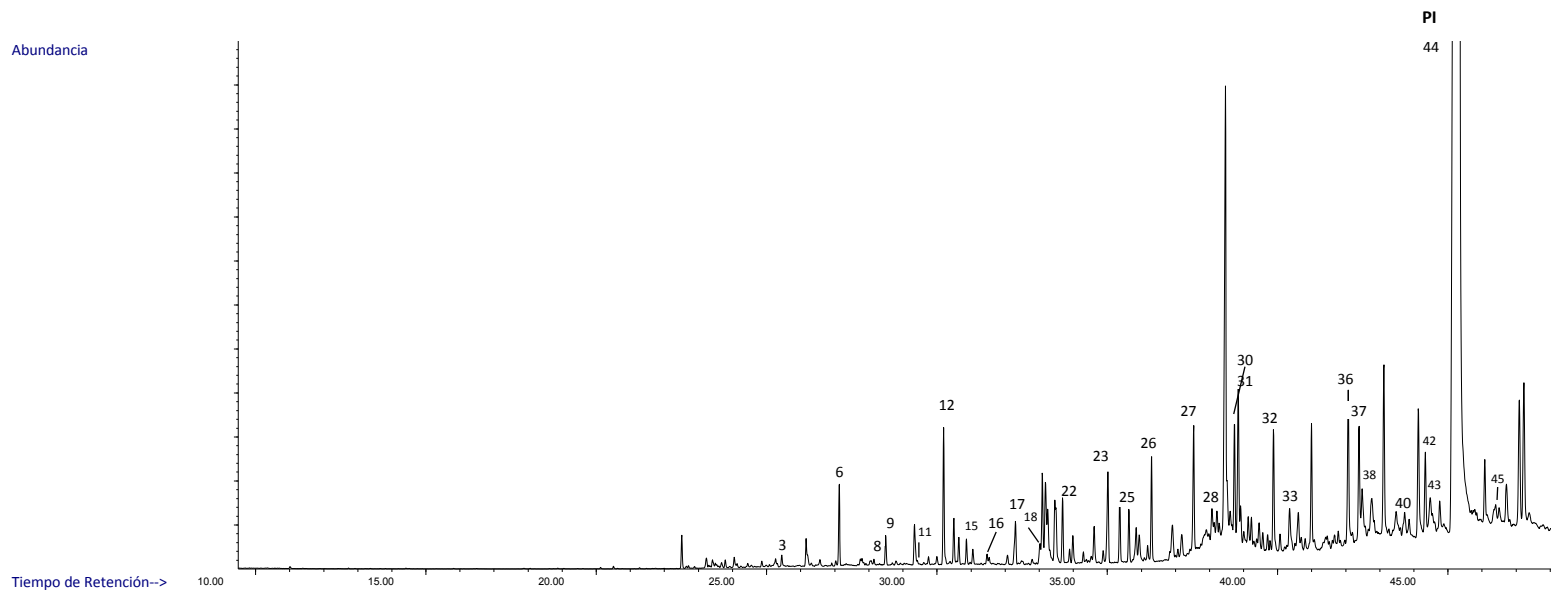
Abundancia



Tiempo de Retención-->

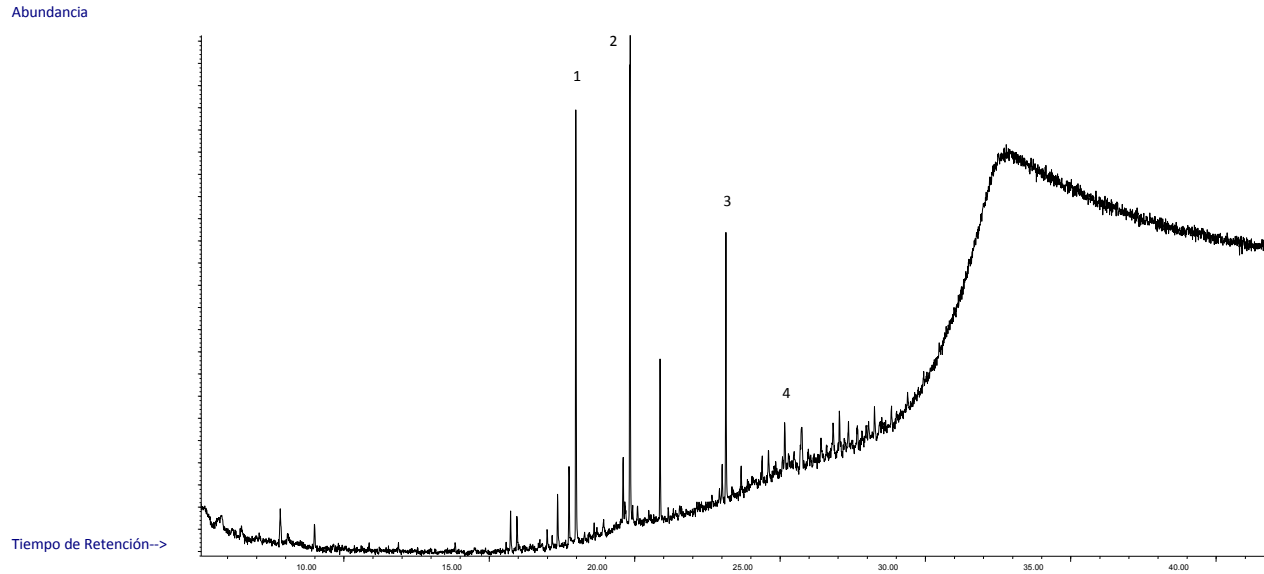
Cromatograma parcial de la muestra 5 (BA-H59-42-ext). 1-Patrón interno (AL34: *n*-tetratriacontano). La muestra no ofrece una presencia de compuestos significativa como para realizar una identificación de los mismos.

## 6 (BA-H59-42-int)



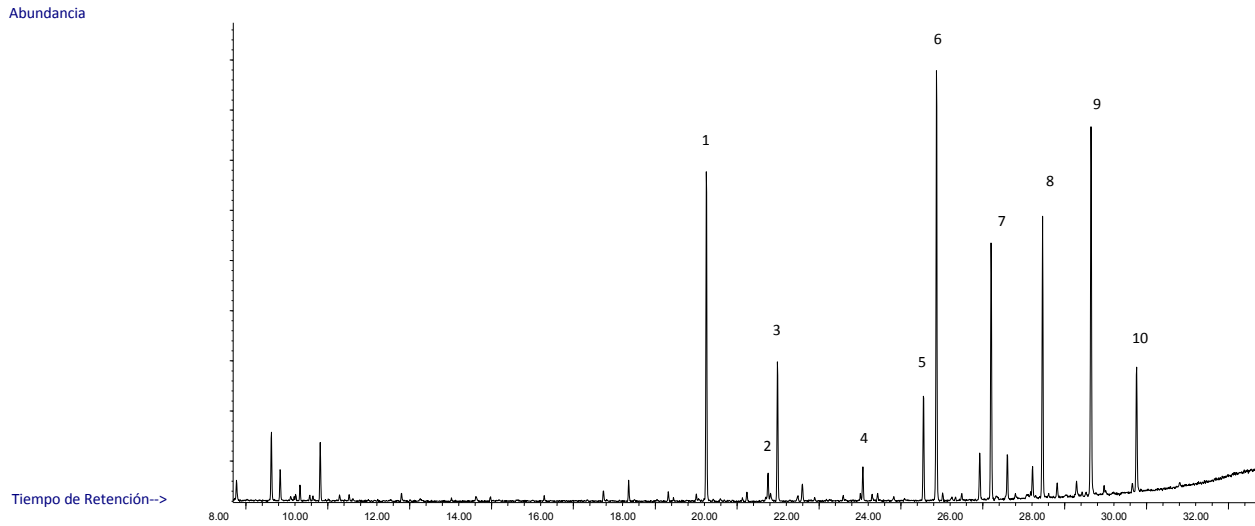
Cromatograma parcial de la muestra 6 (BA-H59-42-int). Picos identificados: 3-Ftalato (m/z 149); 6-C16-OH; 8-C16:1; 9-C16:0; 11-C21 alcano; 12-C18-OH; 15-C22 alcano ; 16-C18:1; 17-C23 alcano ; 18-C20-OH; 22-C24 alcano; 23-C25 alcano; 25-C22-OH; 26-C26 alcano; 27-C27 alcano; 28-C24-OH; 30-C28 alcano; 31-Escualeno; 32-C29 alcano; 33-C26-OH; 36-C31 alcano; 37-Colesterol (m/z 458); 38-C28-OH; 40-Estigmasterol (m/z 484); 42- $\beta$ -Sitosterol (m/z 486); 43-C30-OH; 44- Patrón interno (AL34: *n*-tetratriacontano); 45-C32-OH.

# BRA37 (BA-H7-62.2)



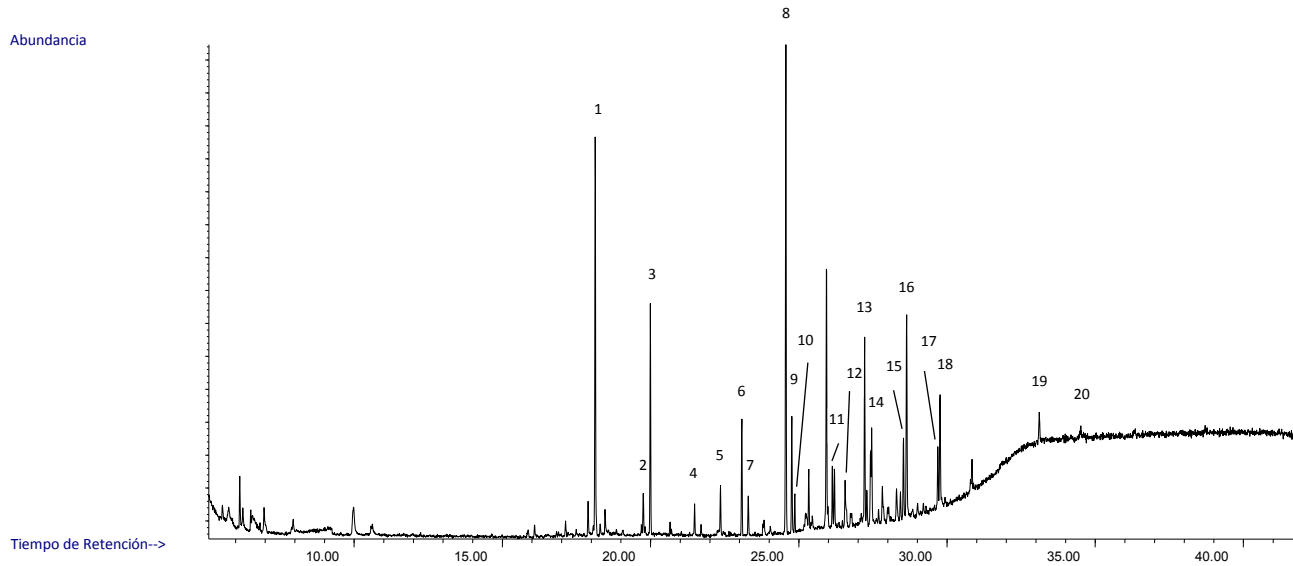
Cromatograma parcial de la muestra BRA37 (BA-H7-62.2). Picos identificados: 1-C16:0; 2-C18:0; 3-Ftalato (m/z 149); 4-Escualeno (m/z 69).

# BRA38 (BA-H7-68)



**Cromatograma parcial de la muestra BRA38 (BA-H7-68). Picos identificados: 1-C16:0; 2-C18:1; 3-C18:0; 4-C25 alcano; 5-C29 alcano; 6-C24-OH; 7-C26-OH; 8-C28-OH; 9-C30-OH; 10-C32-OH.**

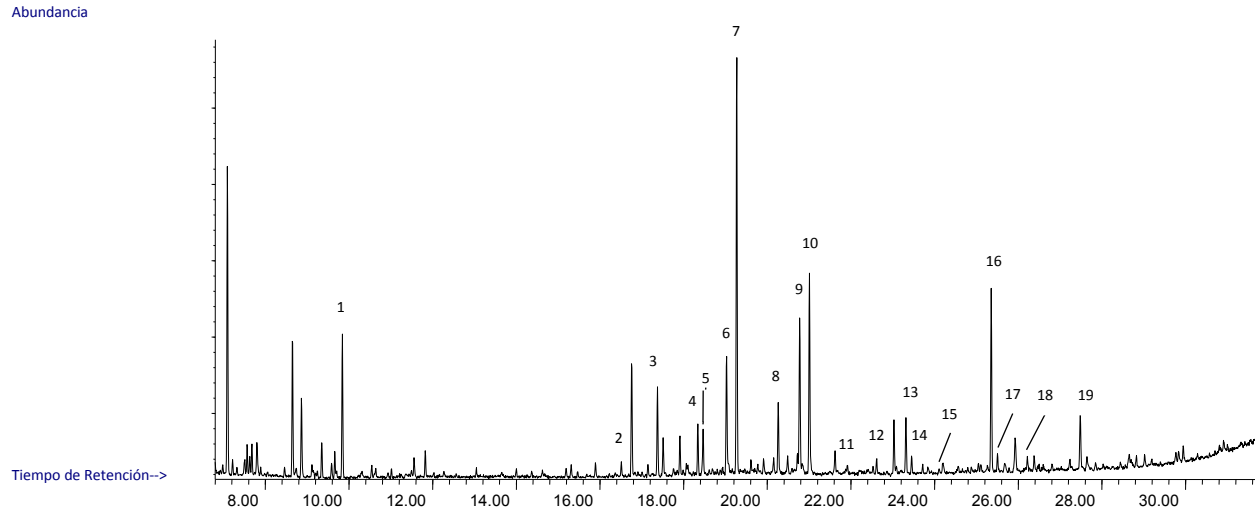
# BRA39 (BA-H7-68)



Cromatograma parcial de la muestra BRA39 (BA-H7-68). Picos identificados: 1-C16:0; 2-C18:1; 3-C18:0; 4-C23 alcano; 5-Colesterol (484 m/z); 6-C25 alcano; 7; Ftalato (149 m/z); 8-C27 alcano; 9-C24:0; 10-C24-OH; 11-C26:0; 12-C26-OH; 13-C29 alcano; 14-C28-OH; 15-C33 alcano; 16-C30-OH; 17-C35 alcano; 18-C32-OH; 19-Estér de cera C38; 20-Estér de cera C40.

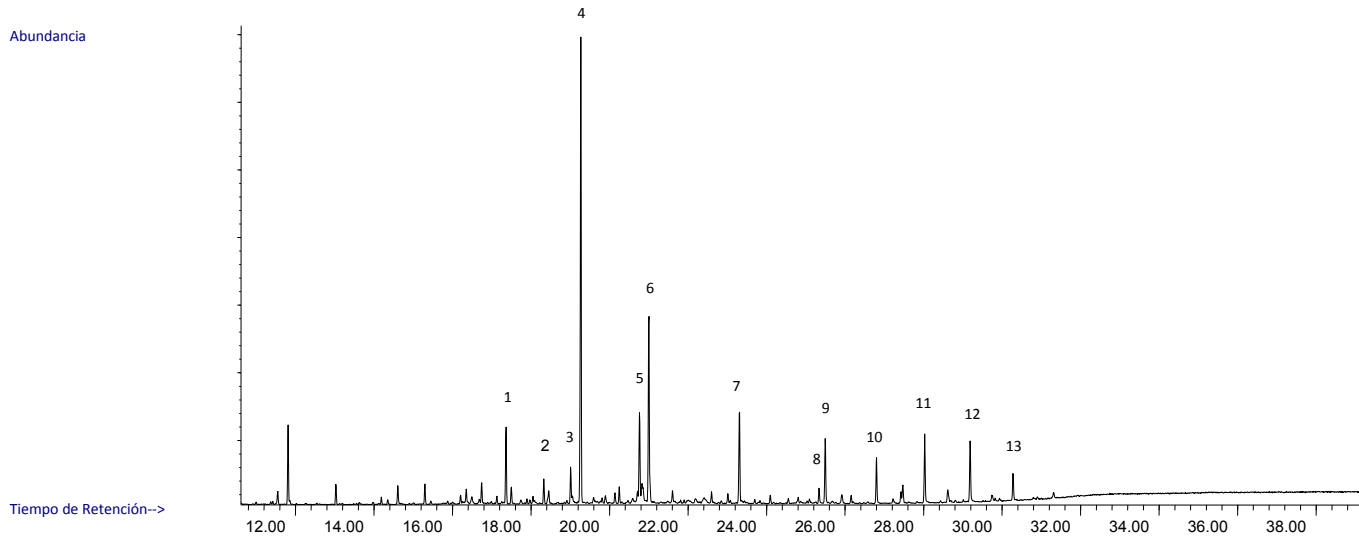


# BRA40 (BA-H7-73.5)



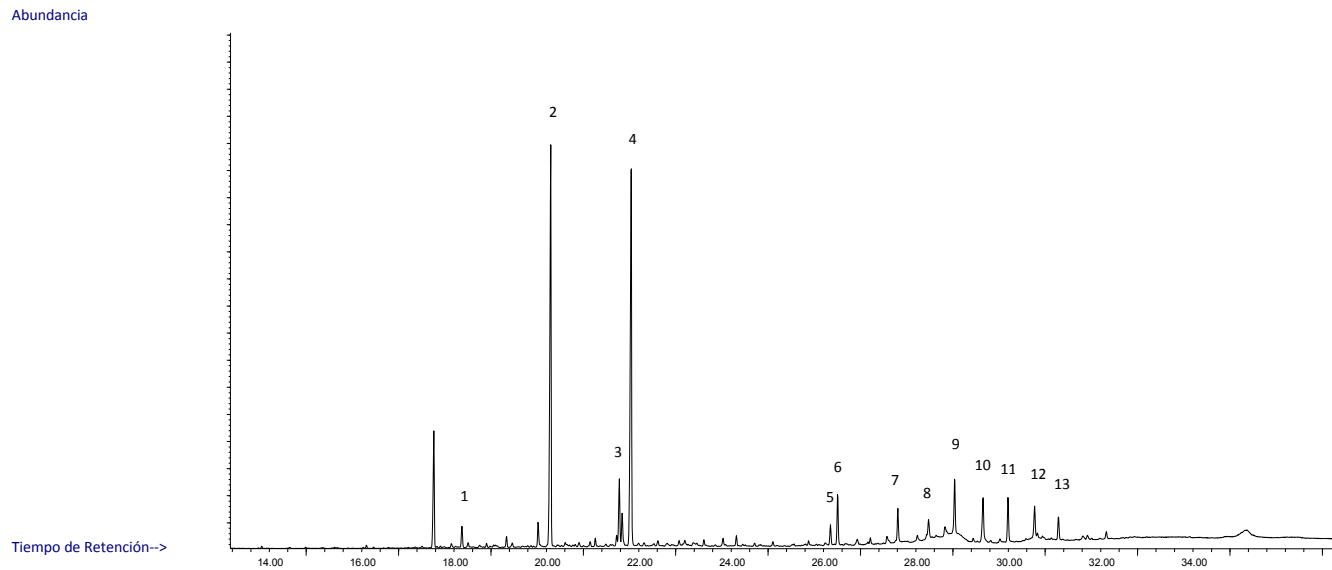
**Cromatograma parcial de la muestra BRA40 (BA-H7-73.5). Picos identificados: 1-OH10; 2-C14-OH; 3-C14:0; 4-C15:0; 5-C16-OH; 6-C16:1; 7-C16:0; 8-C18-OH; 9-C18:1; 10-C18:0; 11-C20-OH; 12-C20:0; 13-Ftalato (m/z 149); 14-C22-OH; 15-C22:0; 16-Escualeno (m/z 69); 17-C24:0; 18-C26-OH; 19-C28-OH.**

# BRA41 (BA-H7-80.2)



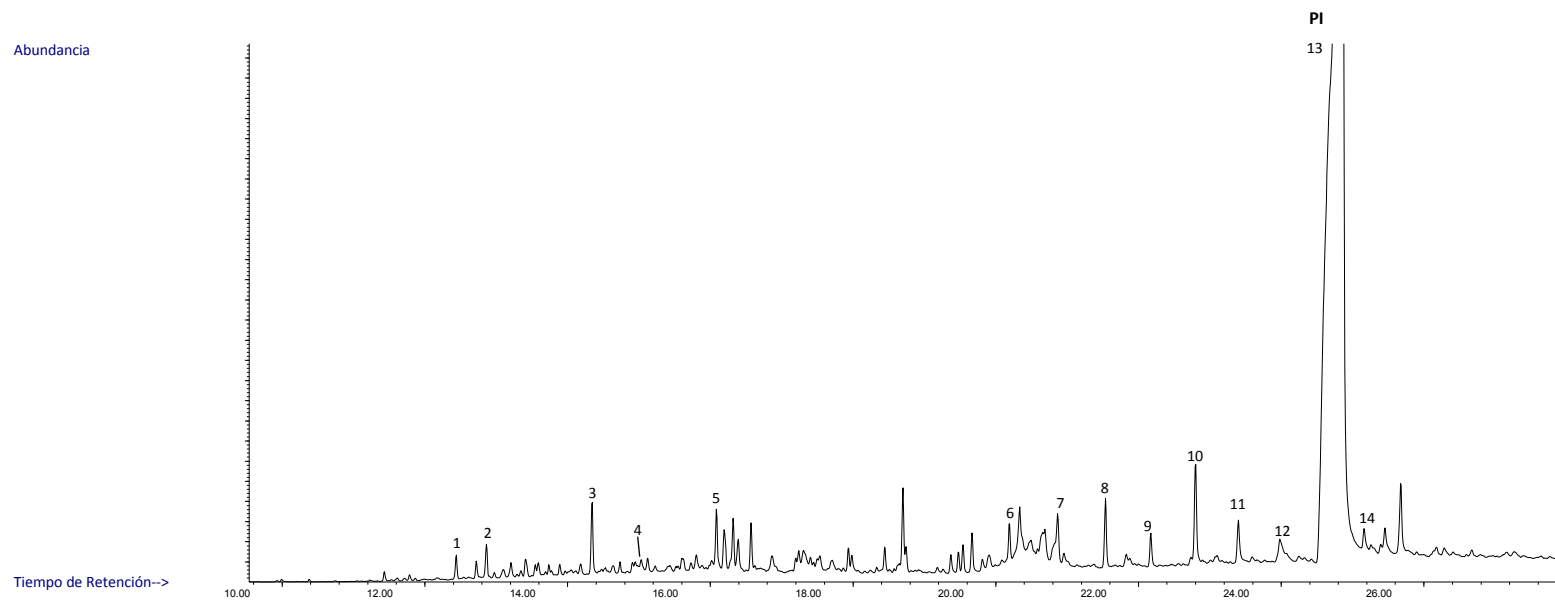
Cromatograma parcial de la muestra BRA41 (BA-H7-80.2). Picos identificados: 1-C14:0; 2-C15:0; 3-C16:1; 4-C16:0; 5-C18:1; 6-C18:0; 7-Ftalato (m/z 149); 8-Escualeno (m/z 69); 9-C24:0; 10-C25:0; 11-C26:0; 12-C27:0; 13-C28:0.

# BRA42 (BA-H7-92.2)



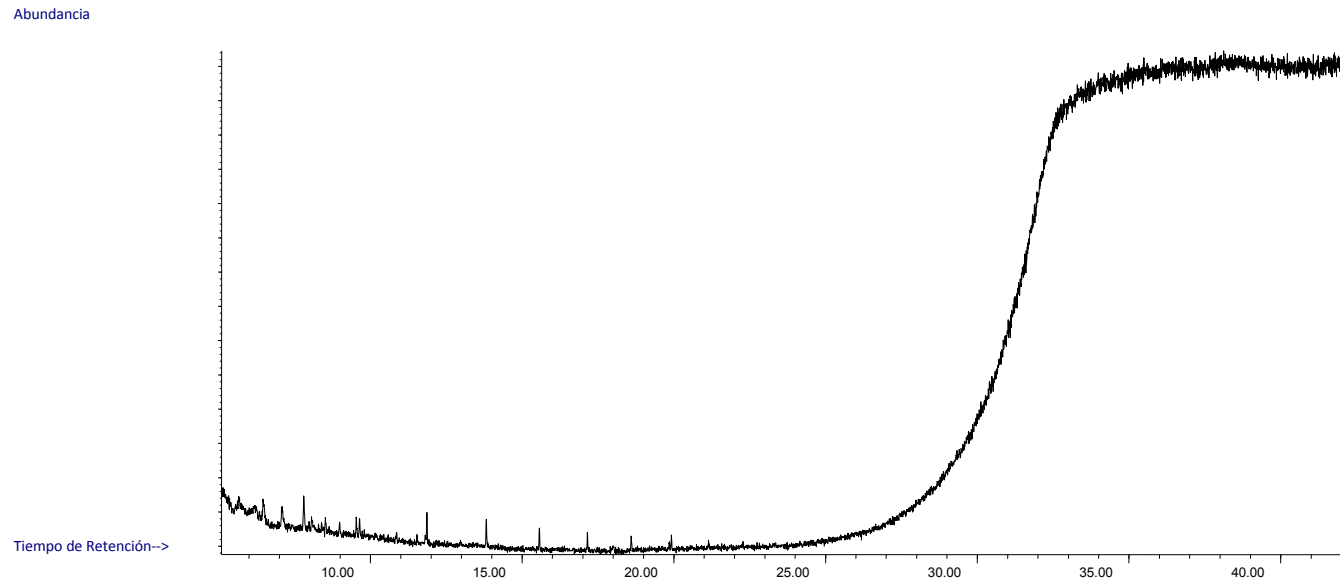
Cromatograma parcial de la muestra BRA42 (BA-H7-92.2). Picos identificados: 1-C14:0; 2-C16:0; 3-C16:1; 4-C18:0; 5-Escualeno (m/z 69); 6-C24:0; 7-C26:0; 8-C28-OH; 9-C28:0; 10-C30-OH; 11-C30:0; 12-C32-OH; 13-C32:0.

## 40 (BA-H9-50.5)



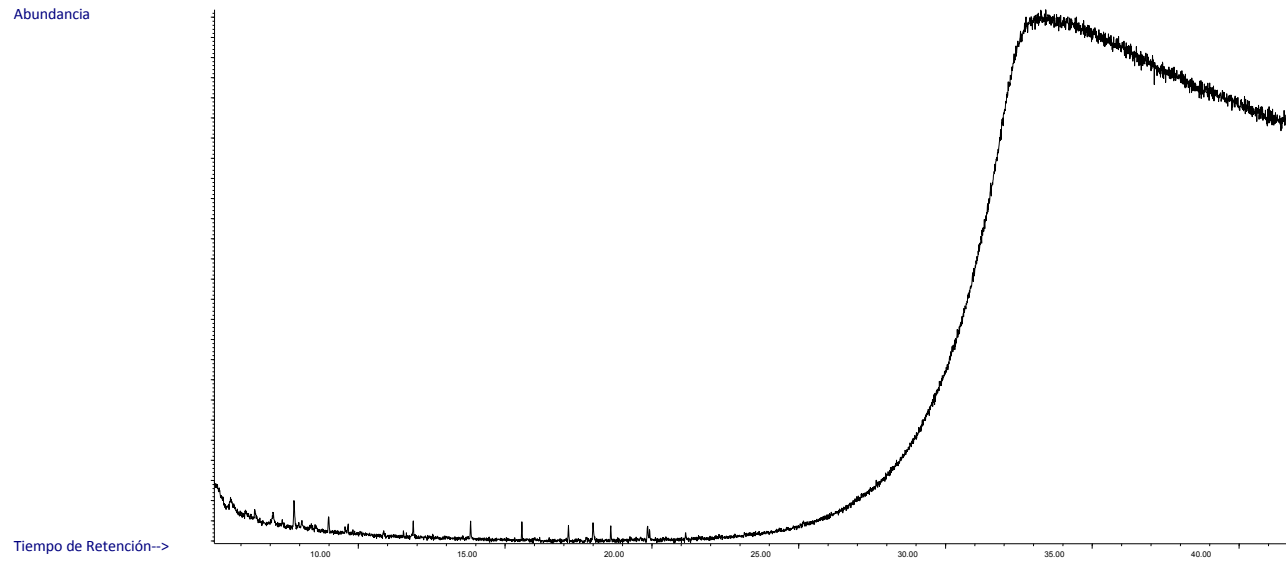
Cromatograma parcial de la muestra BRA42 (BA-H7-92.2). Picos identificados: 1-C14-OH; 2-Ftalato (m/z 149); 3-C16-OH; 4-C16:0; 5-C18-OH; 6-C27 alcano ; 7-Escualeno (m/z 69); 8-C29 alcano; 9-C30 alcano; 10-C31 alcano; 11-C32 alcano; 12-C33 alcano; 13-Patrón interno (AL34: *n*-tetratriacontano); 14-C35 alcano.

# BRA43 (BA-H9-85)



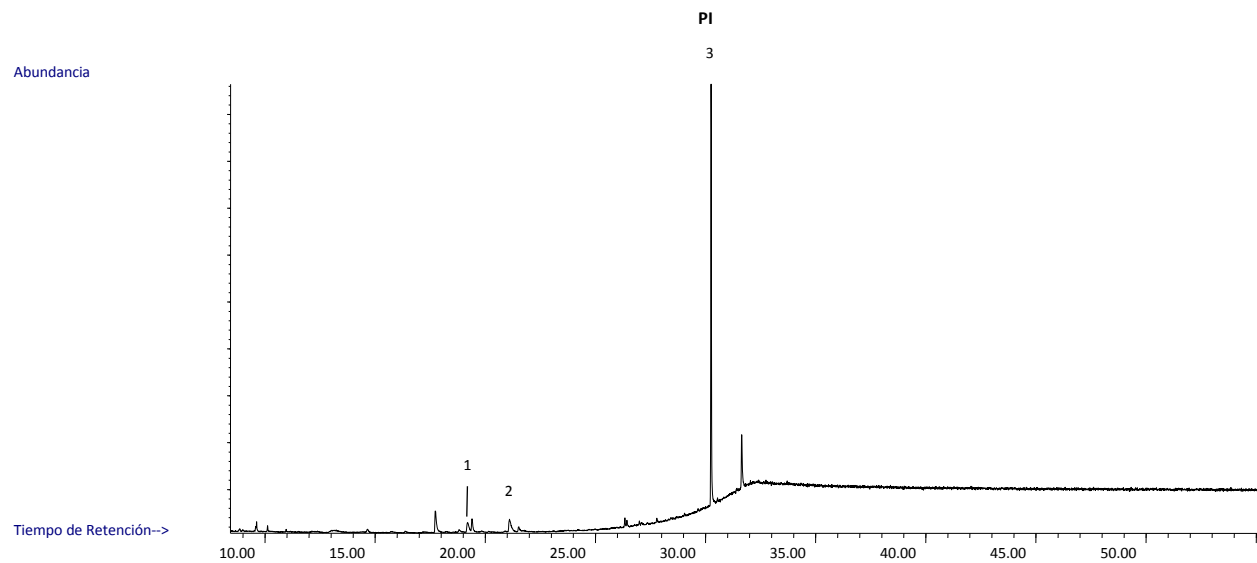
**Cromatograma parcial de la muestra BRA43 (BA-H9-85). Sin presencia de compuestos orgánicos.**

# BRA44 (BA-H9-85)



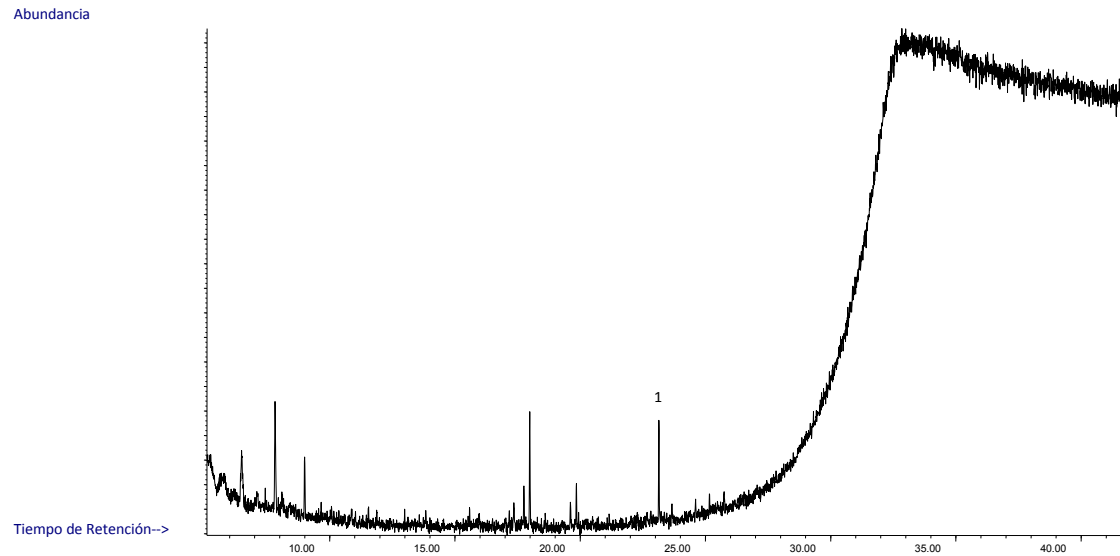
**Cromatograma parcial de la muestra BRA44 (BA-H9-85). Sin presencia de compuestos orgánicos.**

# EMM002 (BA-H9-90)



Cromatograma parcial de la muestra EMM002 (BA-H9-90). Picos identificados: 1-C16:0; 2-C18:0; 3-Patrón interno (AL34: *n*-tetratriacontano).

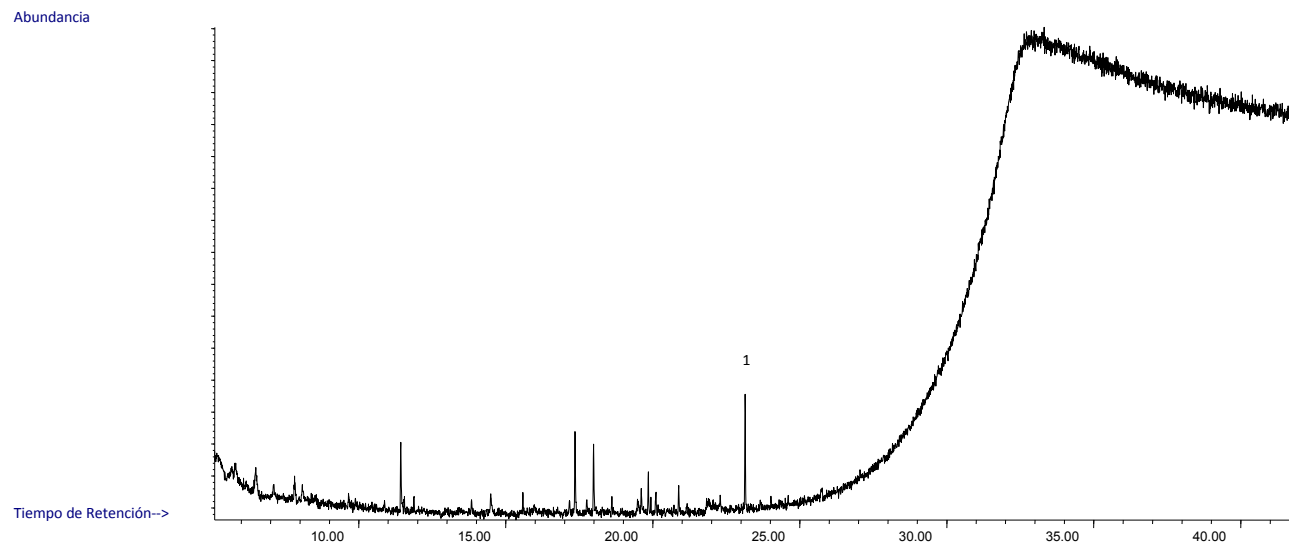
# BRA45 (BA-H9-91)



Cromatograma parcial de la muestra BRA45 (BA-H9-91). Picos identificados: 1-Ftalato (m/z 149).

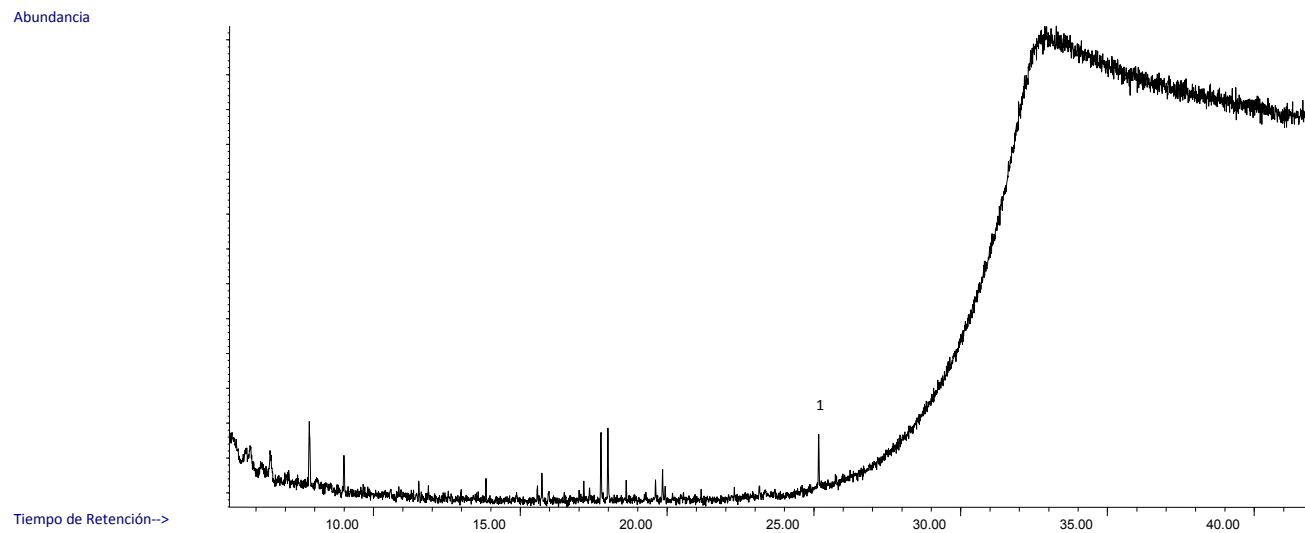


# BRA46 (BA-H9-99)



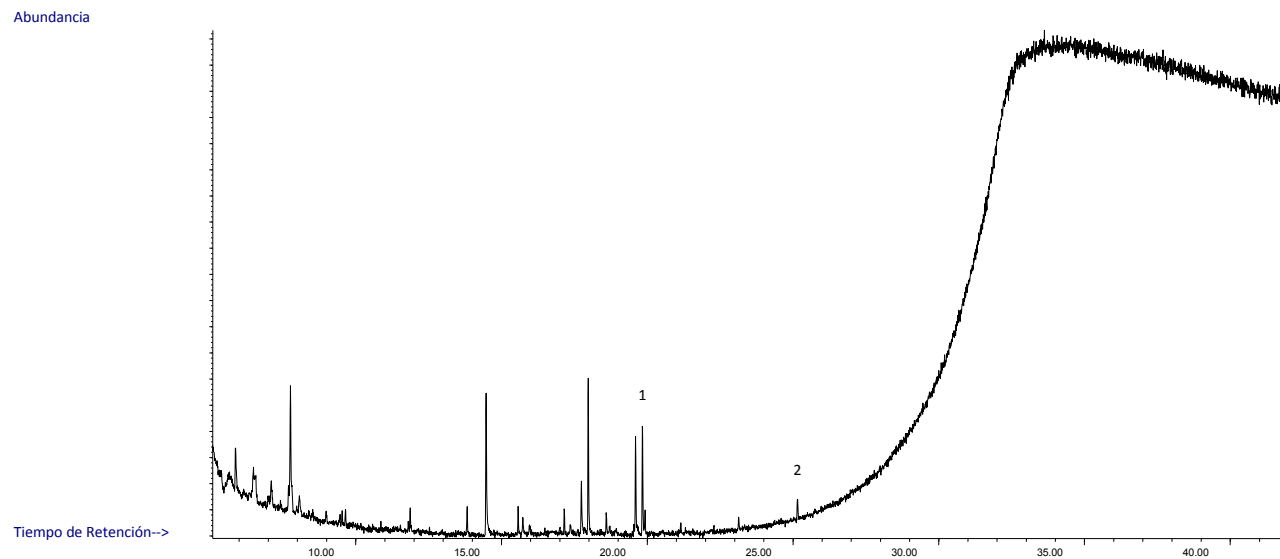
Cromatograma parcial de la muestra BRA46 (BA-H9-99). Picos identificados: 1-Ftalato (m/z 149).

# BRA47 (BA-H9-99)



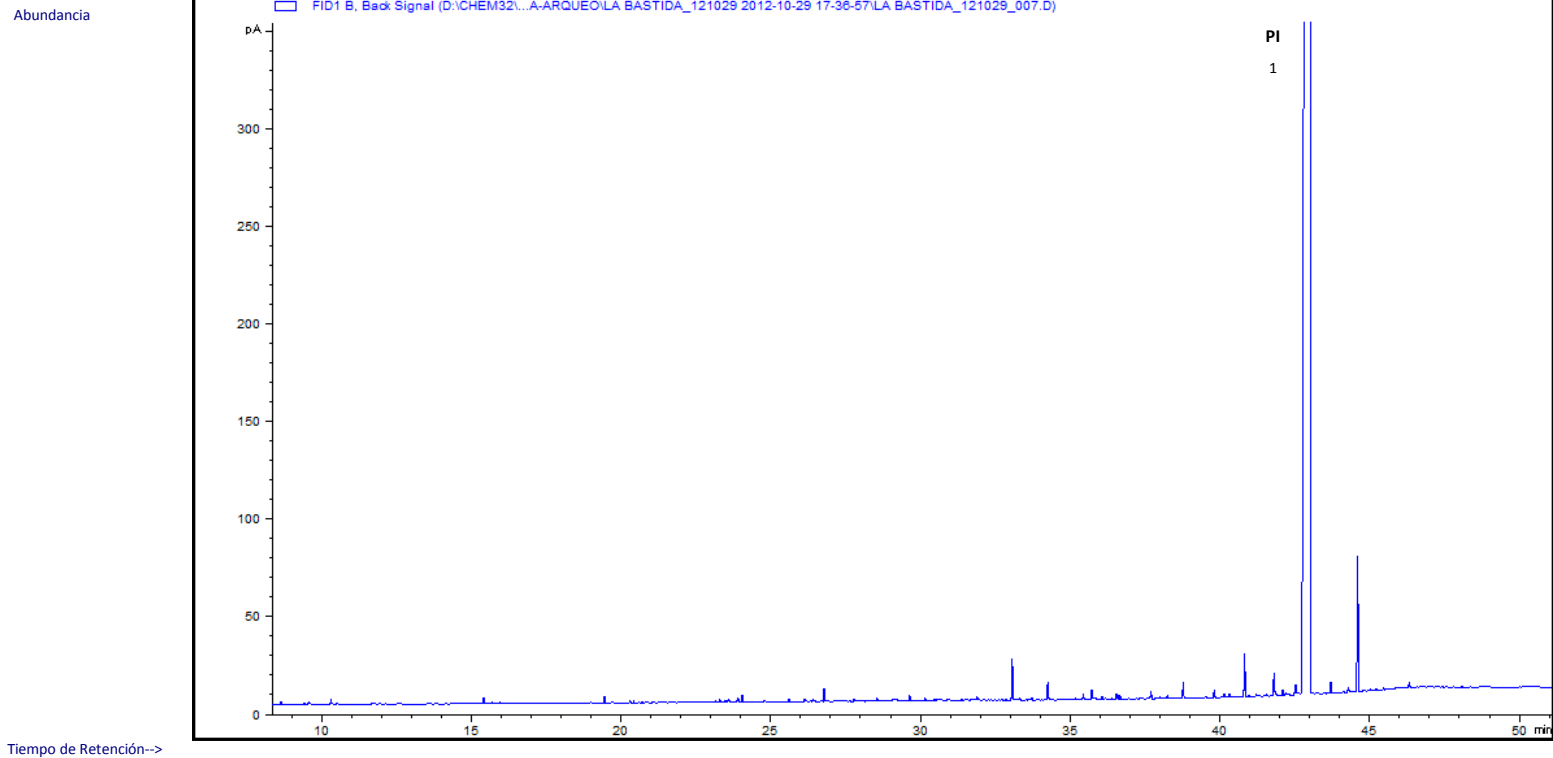
Cromatograma parcial de la muestra BRA47 (BA-H9-99). Picos identificados: 1-Escualeno (m/z 69).

# BRA48 (BA-III-014)



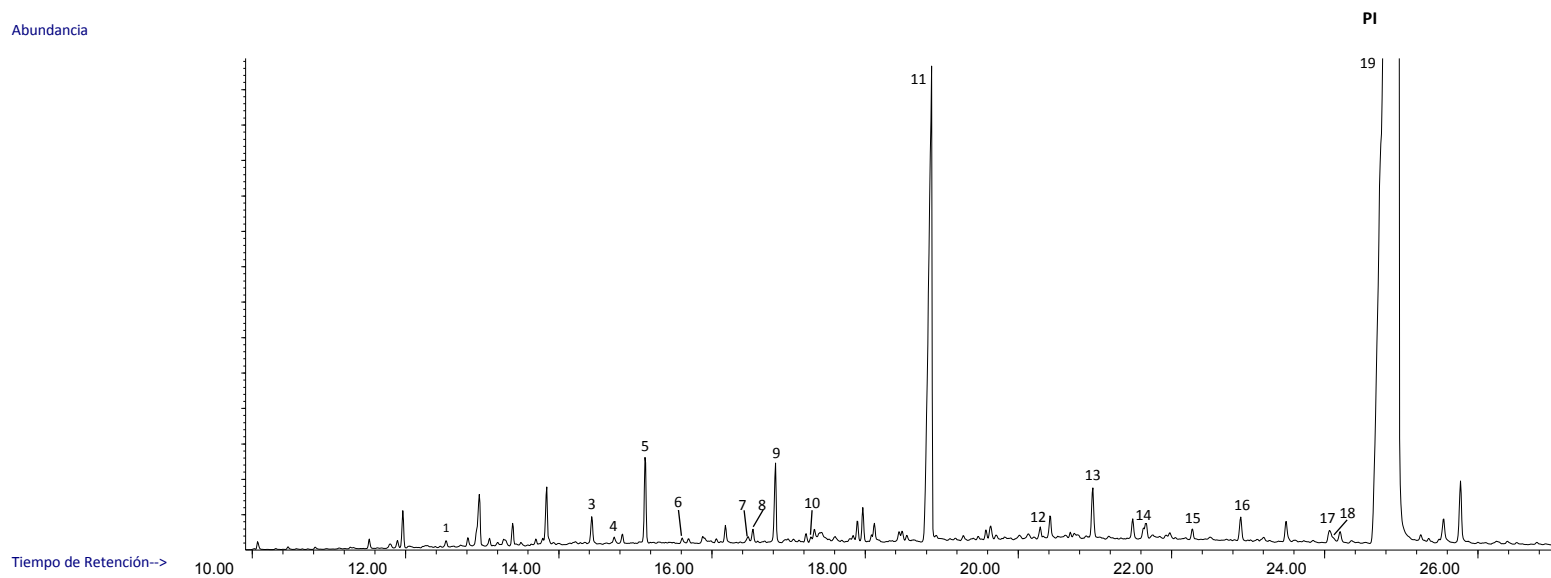
Cromatograma parcial de la muestra BRA48 (BA-III-014). Picos identificados: 1-C18:0; 2-Escualeno (m/z 69).

## 30 (BAR-H76-1)



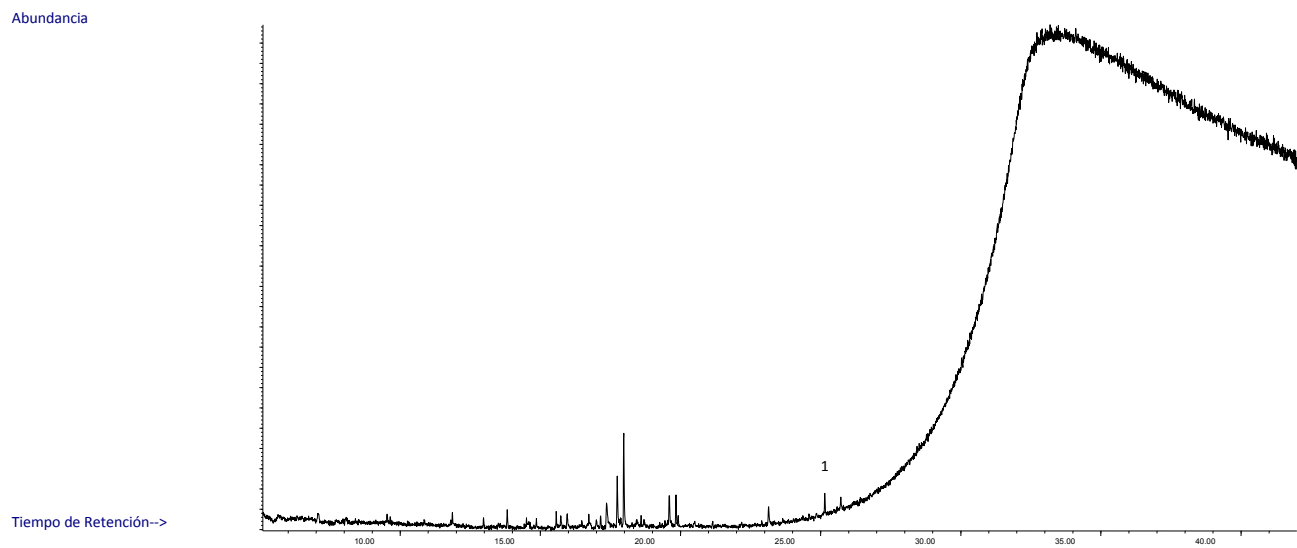
**Cromatograma parcial de la muestra 30 (BAR-H76-1). 1-Patrón interno (AL34: n-tetrtatriacontano). Muestra de sedimento en contacto con el interior de la pieza (RES1). No ofrece una presencia de compuestos significativa como para realizar una identificación de los mismos.**

## 28 (BAR-H76-1)



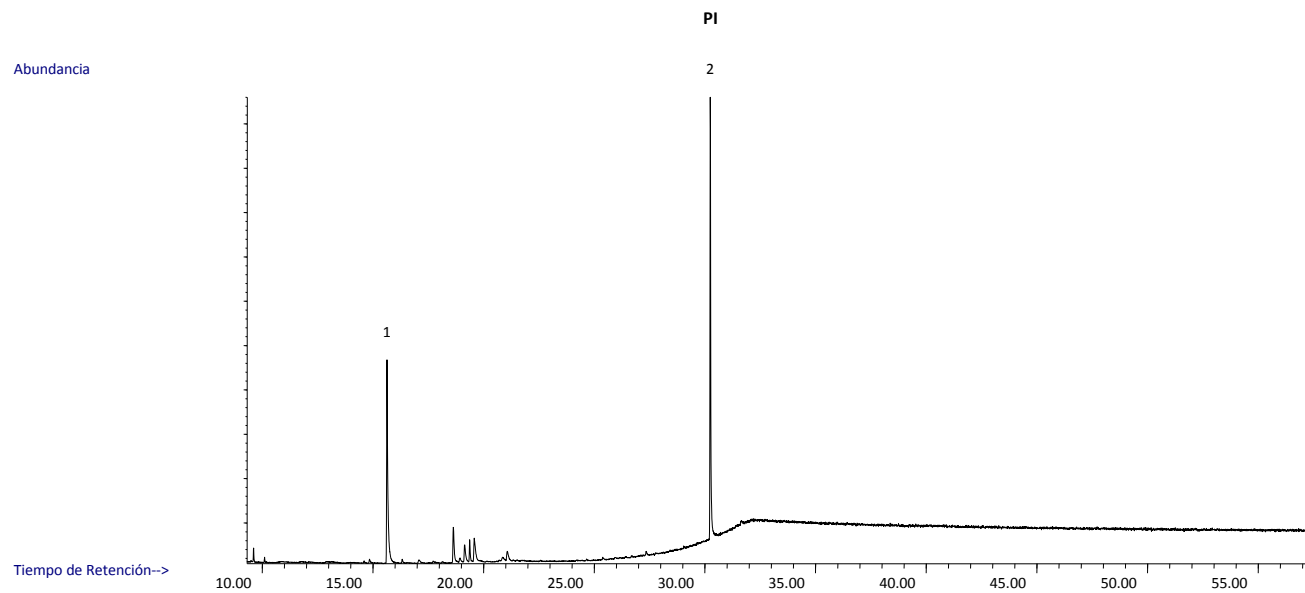
Cromatograma parcial de la muestra 28 (BAR-H76-1). Picos identificados: 1-C14-OH; 3-C16-OH; 4-C20 alcano; 5-C16:0; 6-C21 alcano; 7-C22 alcano; 8-C18:1; 9-C18:0; 10-C23 alcano; 11-Ftalato (m/z 149); 12-C27 alcano; 13-Escualeno (m/z 69); 14-C29 alcano; 15-C30 alcano; 16-Colesterol (m/z 458); 17- $\beta$ -Sitosterol (m/z 486); 18-C33 alcano; 19-Patrón interno (AL34: *n*-tetratriacontano).

# BRA49 (BA-V-038)



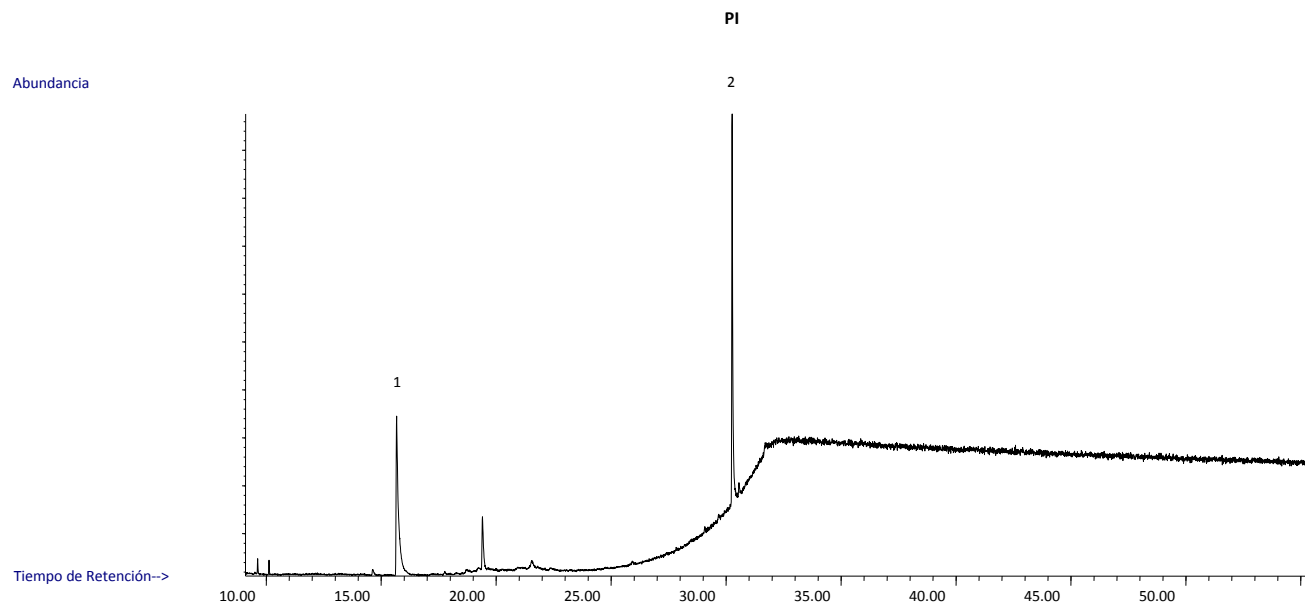
Cromatograma parcial de la muestra BRA49 (BA-V-038). Picos identificados: 1-Escualeno (m/z 69).

# EMM017 (G-MS-188)



Cromatograma parcial de la muestra EMM017 (G-MS-188). Picos identificados: 1-Ftaltao ( $m/z$  149); 2-Patrón interno (AL34: *n*-tetratriacontano).

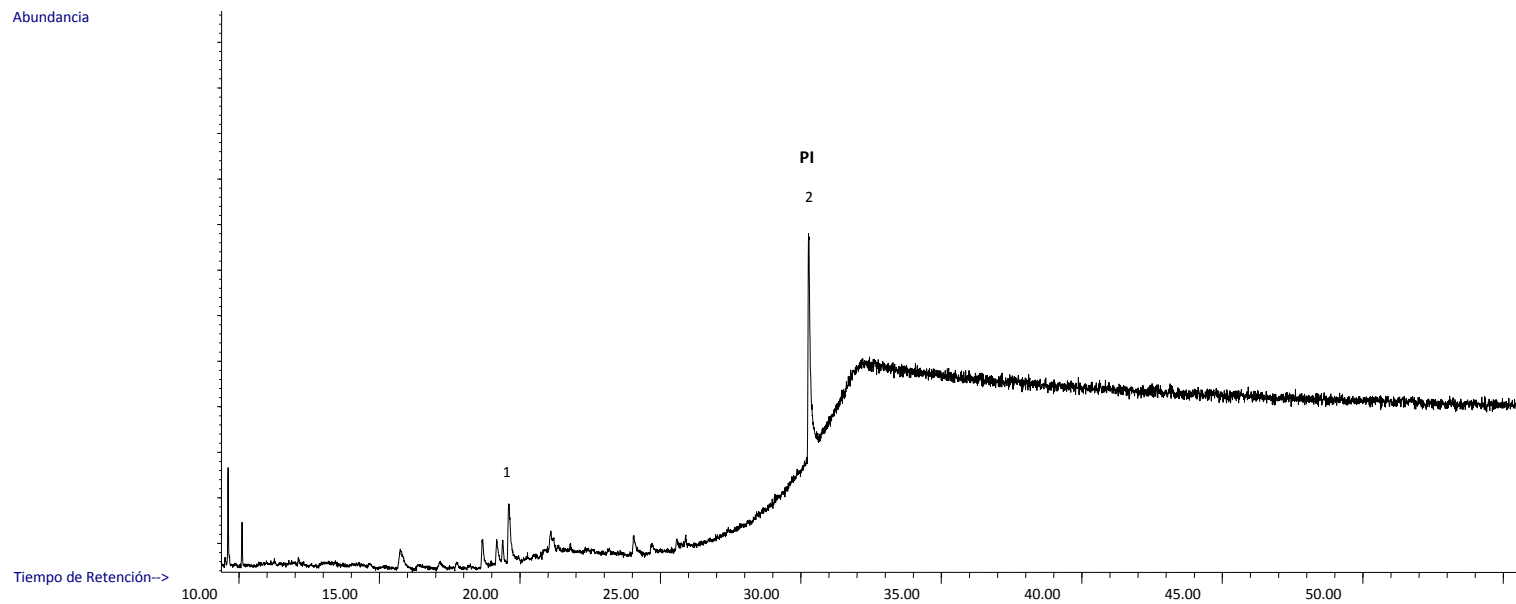
# EMM004 (G-MS-316)



Cromatograma parcial de la muestra EMM004 (G-MS-316). Picos identificados: 1-Ftalato (m/z 149); 2-Patrón interno (AL34: *n*-tetradecano).

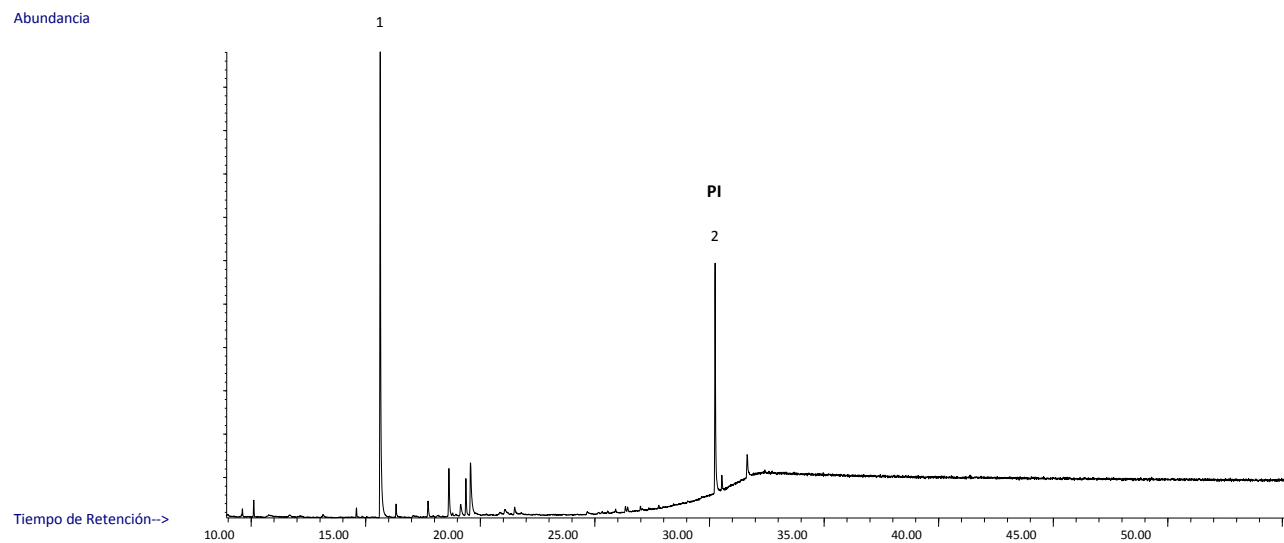


# EMM018 (G-ZB-2881-RES4)



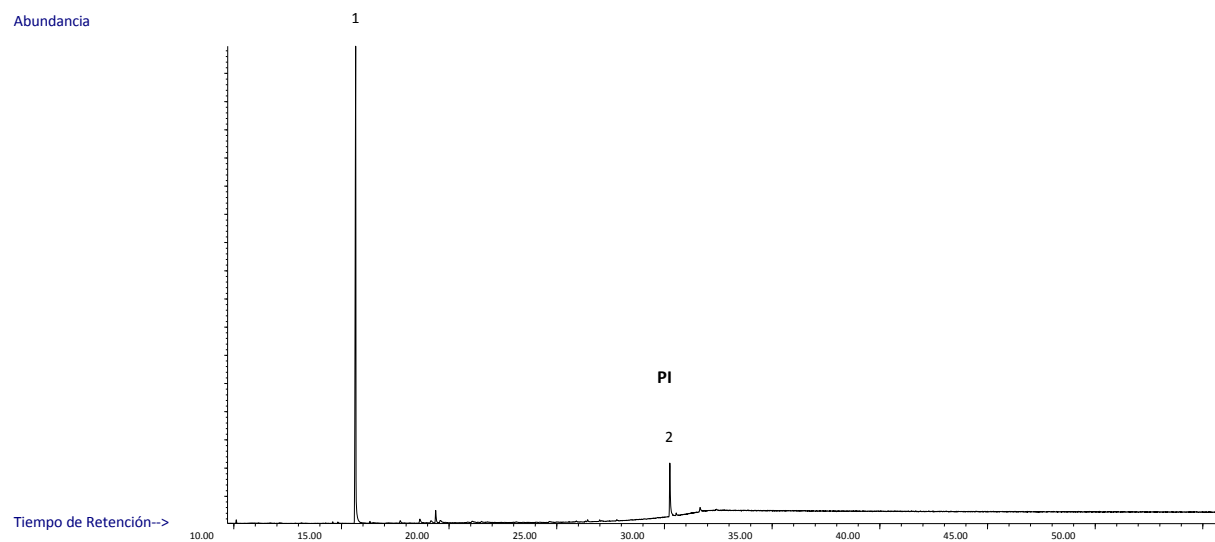
Cromatograma parcial de la muestra EMM018 (G-ZB-2881). Picos identificados: 1-Ftalato ( $m/z$  149); 2-Patrón interno (AL34: *n*-tetratriacontano).

# EMM006 (G-ZC-1030)



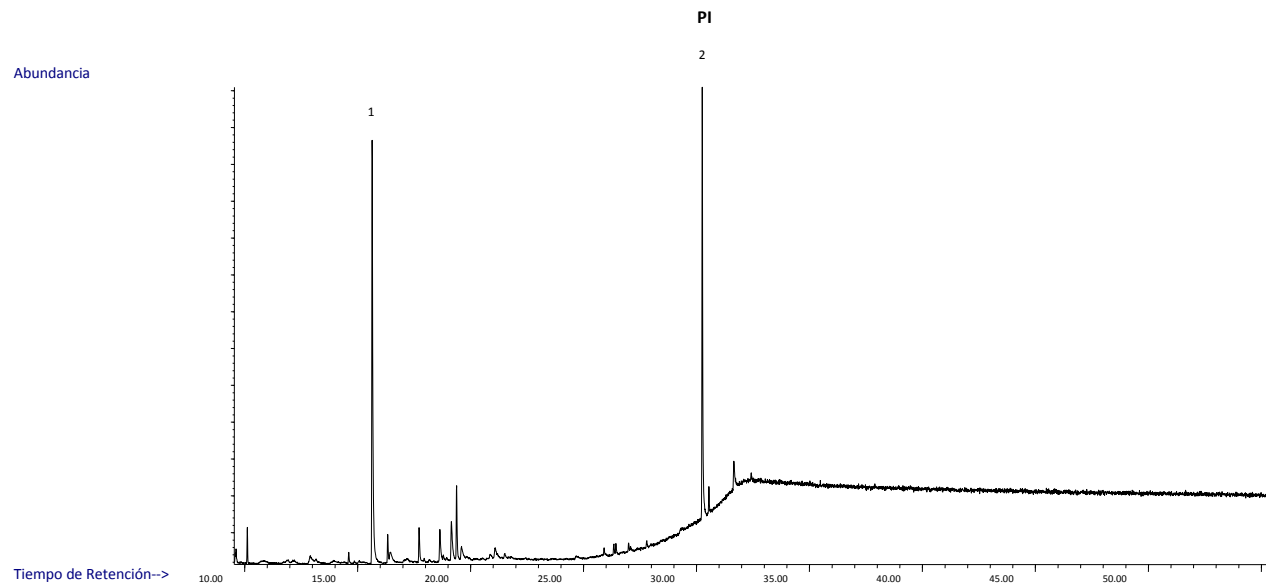
Cromatograma parcial de la muestra EMM006 (G-ZC-1030). Picos identificados: 1-Ftalato (m/z 149); 2- Patrón interno (AL34: *n*-tetatriacontano).

# EMM007 (G-ZC-1195)



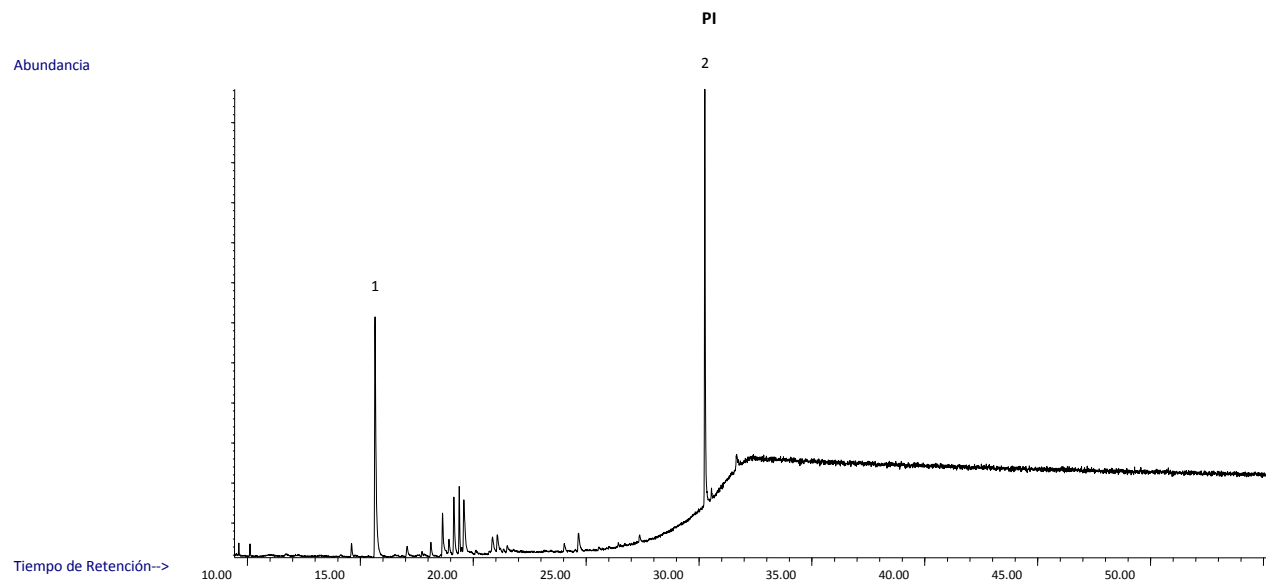
Cromatograma parcial de la muestra EMM007 (G-ZC-1195). Picos identificados: 1-Ftalato ( $m/z$  149); 2- Patrón interno (AL34: *n*-tetratriacontano).

# EMM003 (G-ZC-209A1)



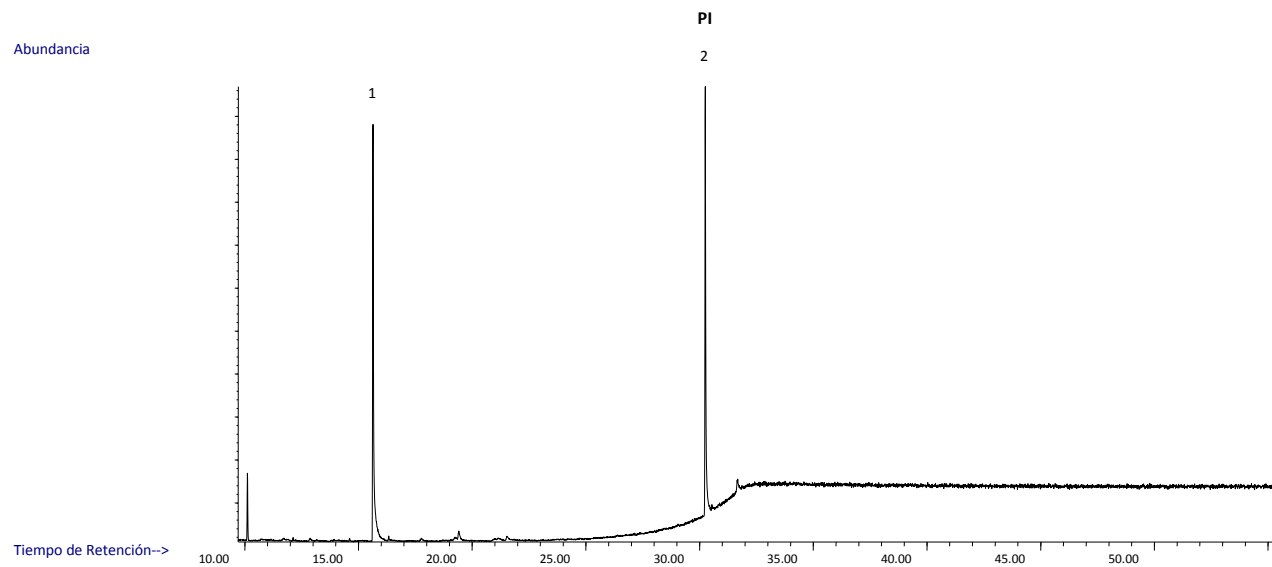
Cromatograma parcial de la muestra EMM003 (G-ZC-209A1). Picos identificados: 1-Ftalato ( $m/z$  149); 2- Patrón interno (AL34: *n*-tetratriacontano).

# EMM005 (G-ZB-876)



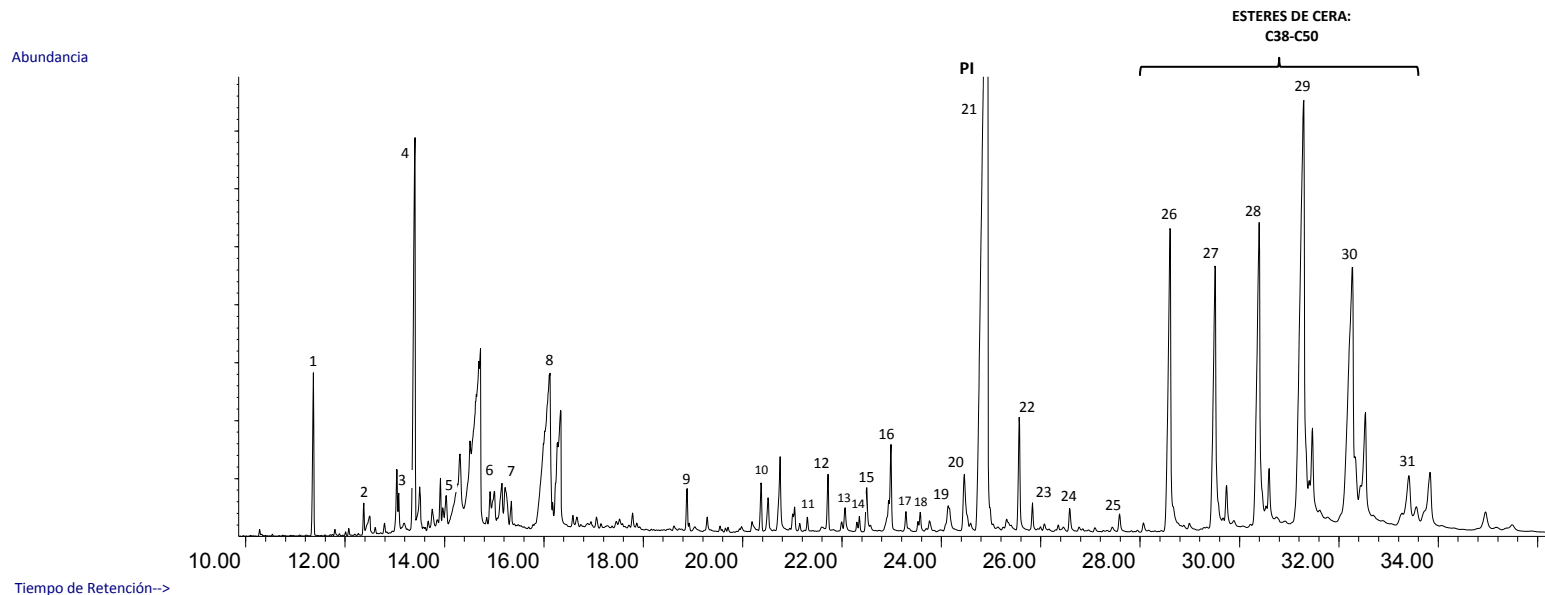
Cromatograma parcial de la muestra EMM005 (G-ZB-876). Picos identificados: 1-Ftalato ( $m/z$  149); 2- Patrón interno (AL34: *n*-tetratriacontano).

# EMM010 (TL-H7-115)



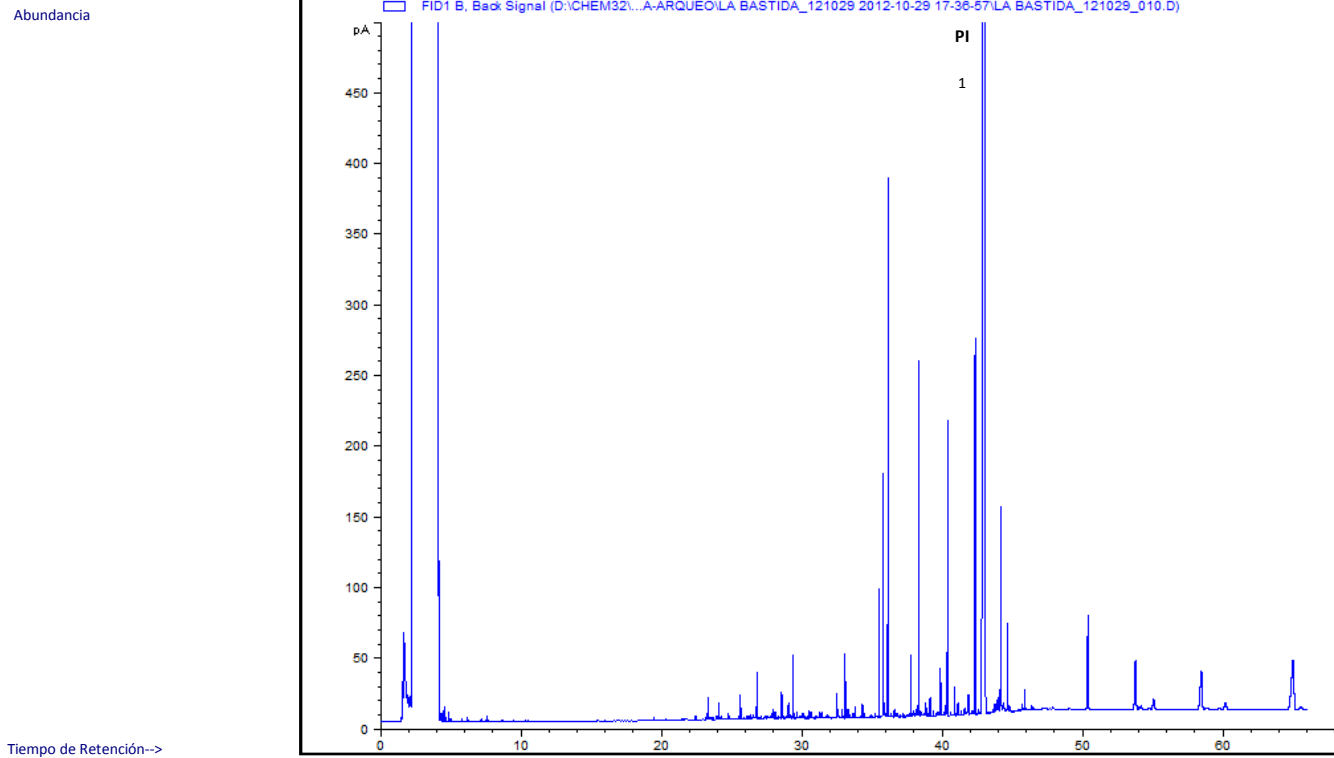
Cromatograma parcial de la muestra EMM010 (TL-H7-115). Picos identificados: 1-Ftalato ( $m/z$  149); 2- Patrón interno (AL34: *n*-tetratriacontano).

# P1 (AR91/L-9)



Cromatograma parcial de la muestra P1 (AR91/L-9). Picos identificados: 1-C12:0; 2-C13:0; 3-C14:1; 4-C14:0; 5-C15:0; 6-C16:1; 7-C16:0; 8-C20 alcano; 9-Ftalato (m/z 149); 10-C27 alcano; 11-C24:0; 12-C29 alcano; 13-C26-OH; 14-C30 alcano; 15- Colesterol (m/z 458); 16-C31 alcano; 17-C28-OH; 18-C32 alcano; 19-C33 alcano; 20-OH30; 21-Patrón interno (AL34: *n*-tetratriacontano); 22-C32-OH; 23-C36 alcano; 24-OH34; 25-Estér de cera C38; 26-Estér de cera C40; 27-Estér de cera C42; 28-Estér de cera C44; 29-Estér de cera C46; 30-Estér de cera C48; 31-Estér de cera C50.

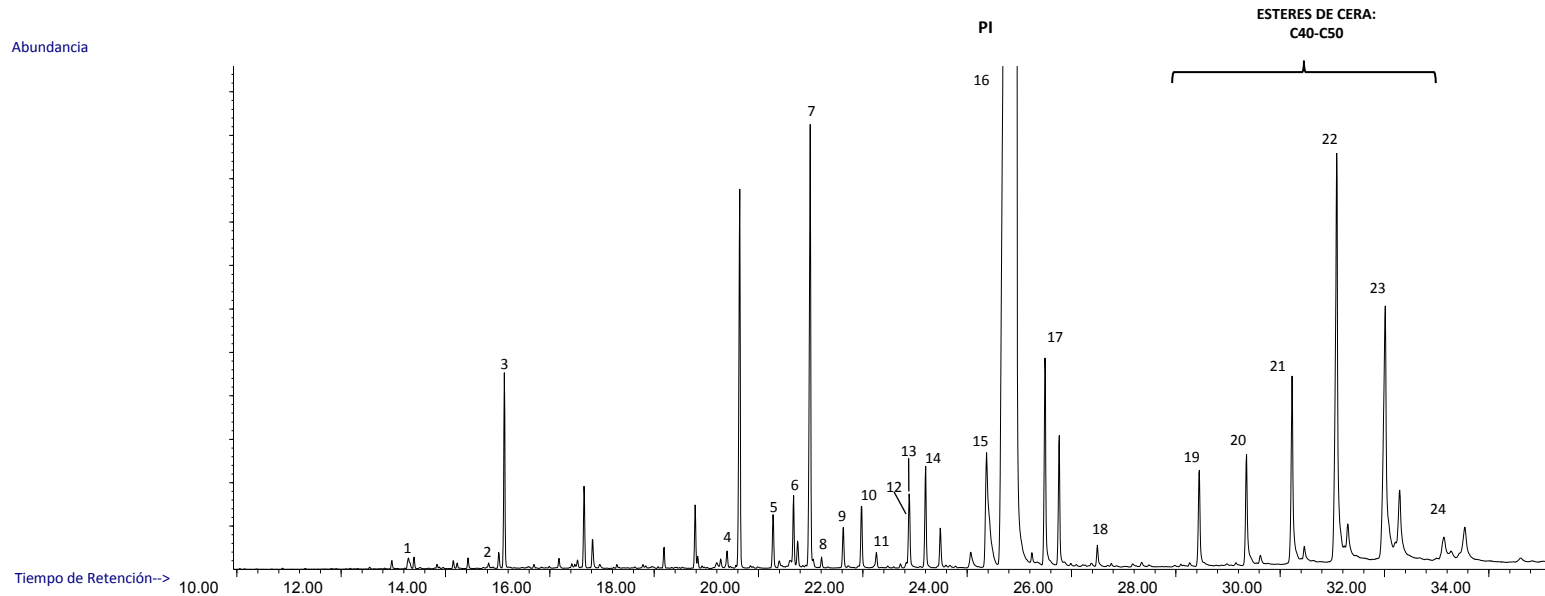
## 32 (BA-H3-154)



Cromatograma parcial de la muestra 32 (BA-H3-154). 1-Patrón interno (AL34: *n*-tetratriacontano). La muestra ofrece un perfil de compuestos característico a la cera de abeja.

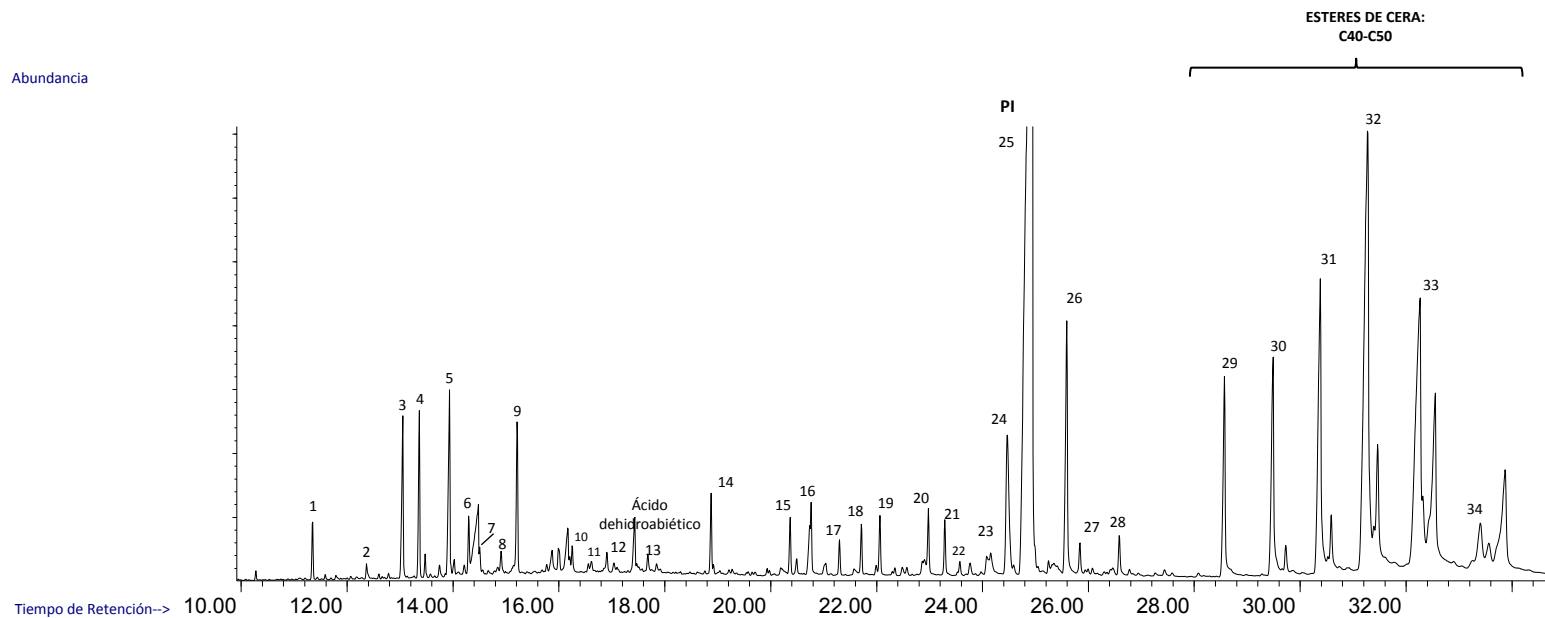


# 31 (BA-H3-75)



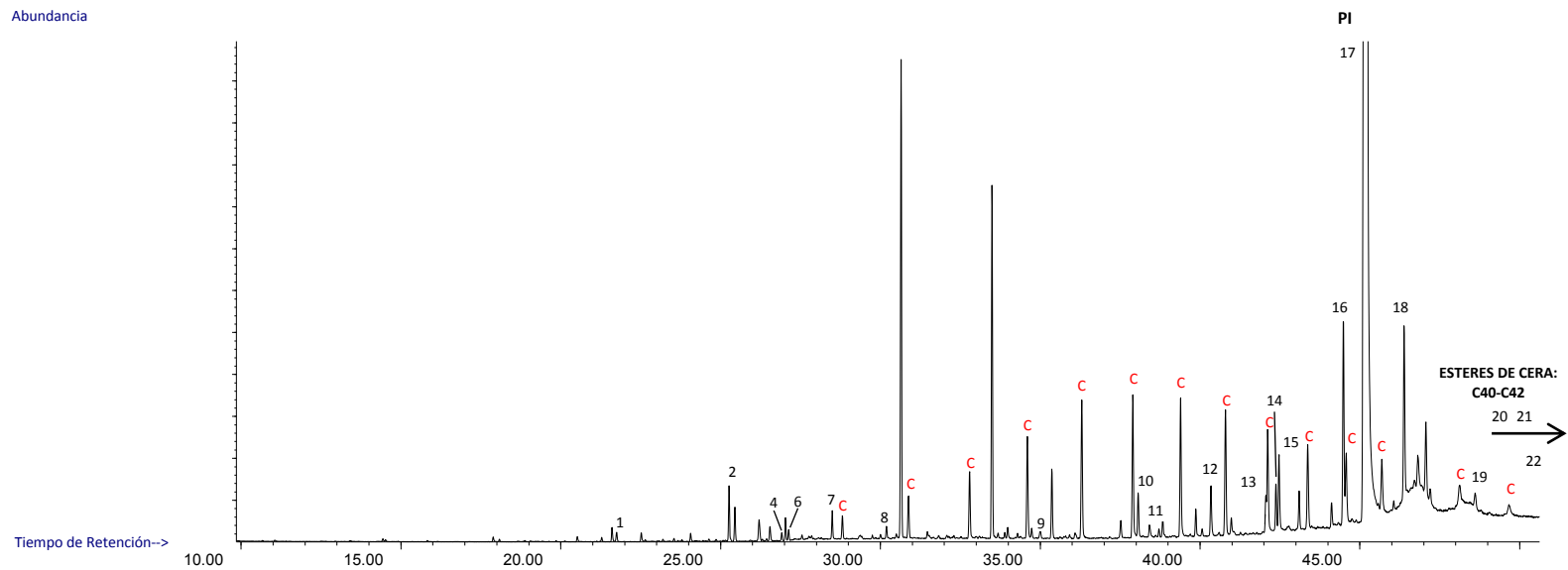
Cromatograma parcial de la muestra 31 (BA-H3-75). Picos identificados: 1-C14:0; 2-C16:1; 3-C16:0; 4-C26 alcano; 5-C27 alcano; 6-C24-OH; 7-C18:0; 8-C24:0; 9-C29 alcano; 10-C26-OH; 11- C30 alcano; 12- C31 alcano; 13-Colesterol (m/z 458); 14-C28-OH; 15-C30-OH; 16- Patrón interno (AL34: *n*-tetratriacontano); 17-C32-OH; 18-C34-OH; 19-Estér de cera C40; 20-Estér de cera C42; 21-Estér de cera C44; 22-Estér de cera C46; 23-Estér de cera C48; 24-Estér de cera C50.

## P2 (FA-3342)



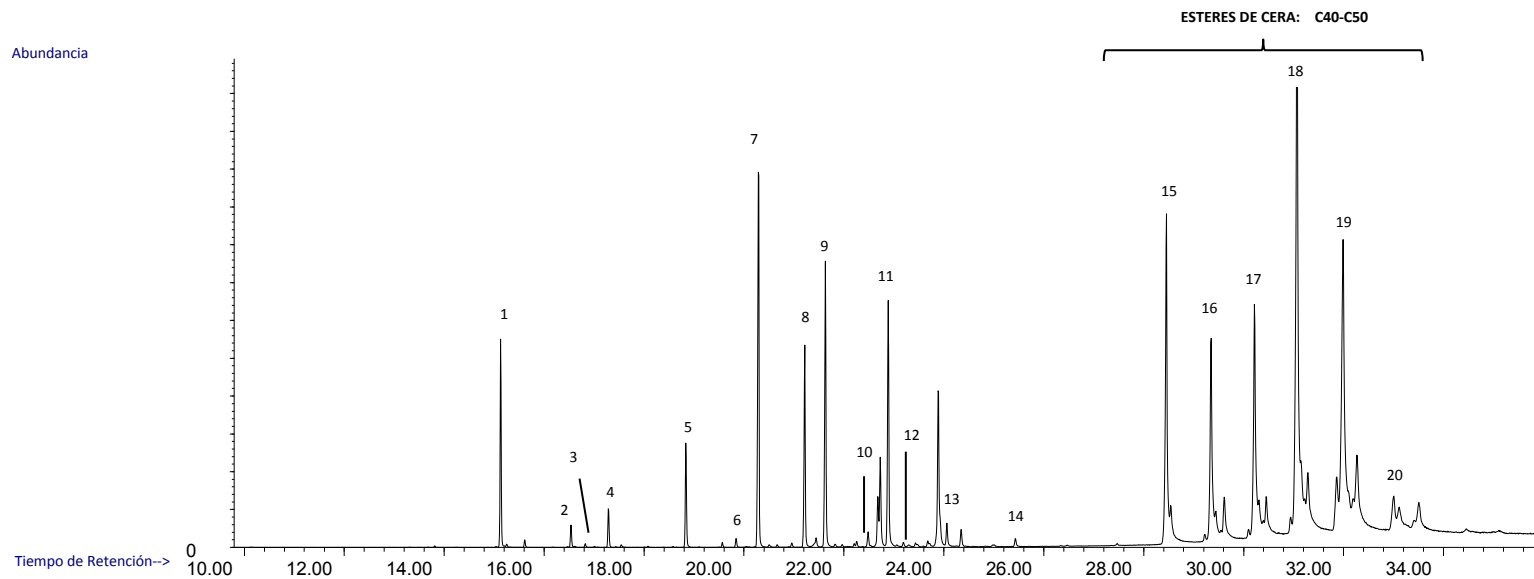
Cromatograma parcial de la muestra P1 (FA-3342). Picos identificados: 1-C12:0; 2-C13:0; 6-C14-OH; 3-Ftalato (m/z 149); 4-C14:0; 5-Ftalato (m/z 149); 6-C15:0; 7-C16-OH; 8-C16:1; 9-C16:0; 10-C18-OH; 11-C18:1; 12-C18:0; 13-Ácido dehidroabiético; 14-Ftalato (m/z 149); 15-C27 alcano; 16-C24-OH; 17-C24:0; 18-C29 alcano; 19-C26-OH; 20-C31 alcano; 21-C28-OH; 22-C32 alcano; 23-C33 alcano; 24-C30-OH; 25-Patrón interno (AL34: n-tetraatriacontano); 26-C32-OH; 27-C36 alcano; 28-OH34; 29-Estér de cera C40; 30-Estér de cera C42; 31-Estér de cera C44; 32-Estér de cera C46; 33-Estér de cera C48; 34-Estér de cera C50.

# 10 (FA-3933)



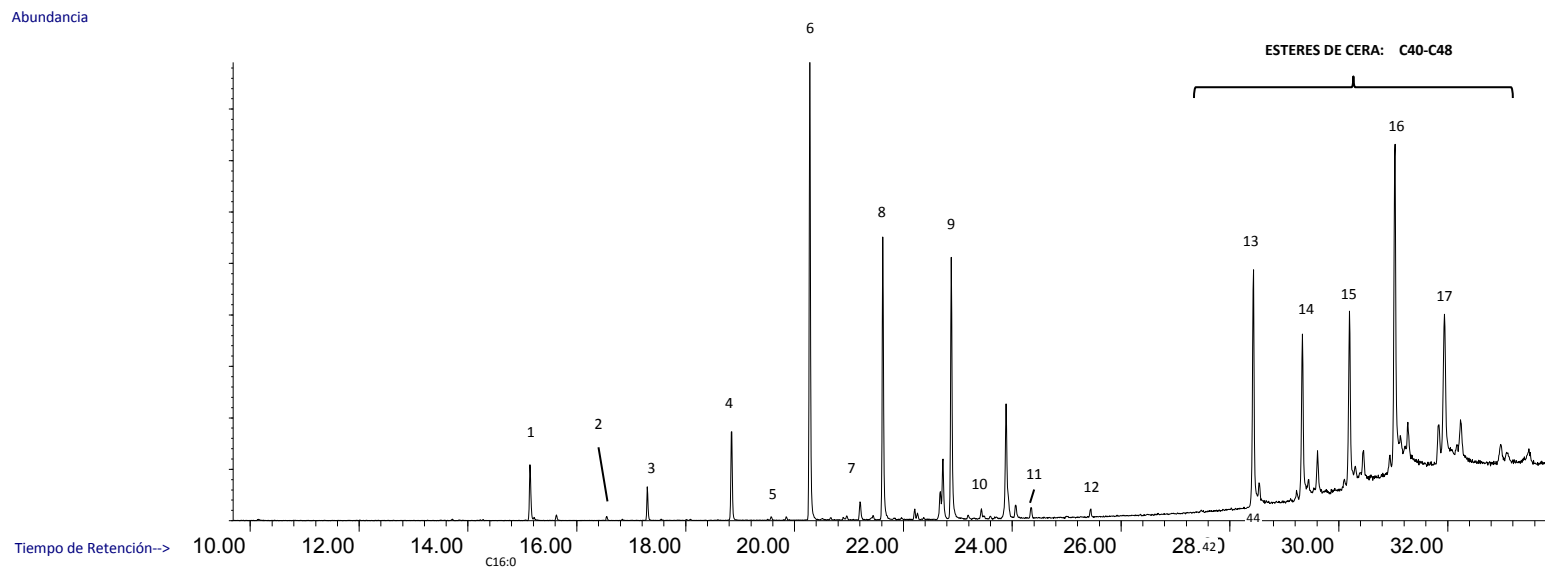
**Cromatograma parcial de la muestra 10 (FA-3933). Picos identificados: 1-C12:0; 2-C14:0; 4-C15:0; 6-C16-OH; 7-C16:0; 8-C18-OH; 9-C25 alcano; 10-C24-OH; 11-C28 alcano; 12-C26-OH; 13-C31 alcano; 14-Colesterol (m/z 458); 15-C28-OH; 16-OH38; 17-Patrón Interno (AL34: *n*-tetratriacontano); 18-C32-OH; 19-C34-OH; 20-Estér de cera C40; 21-Estér de cera C42; 22-Escualeno (m/z 69); C-Contaminación analítica.**

## Vial 4 (Cera de abeja sobrenadante)



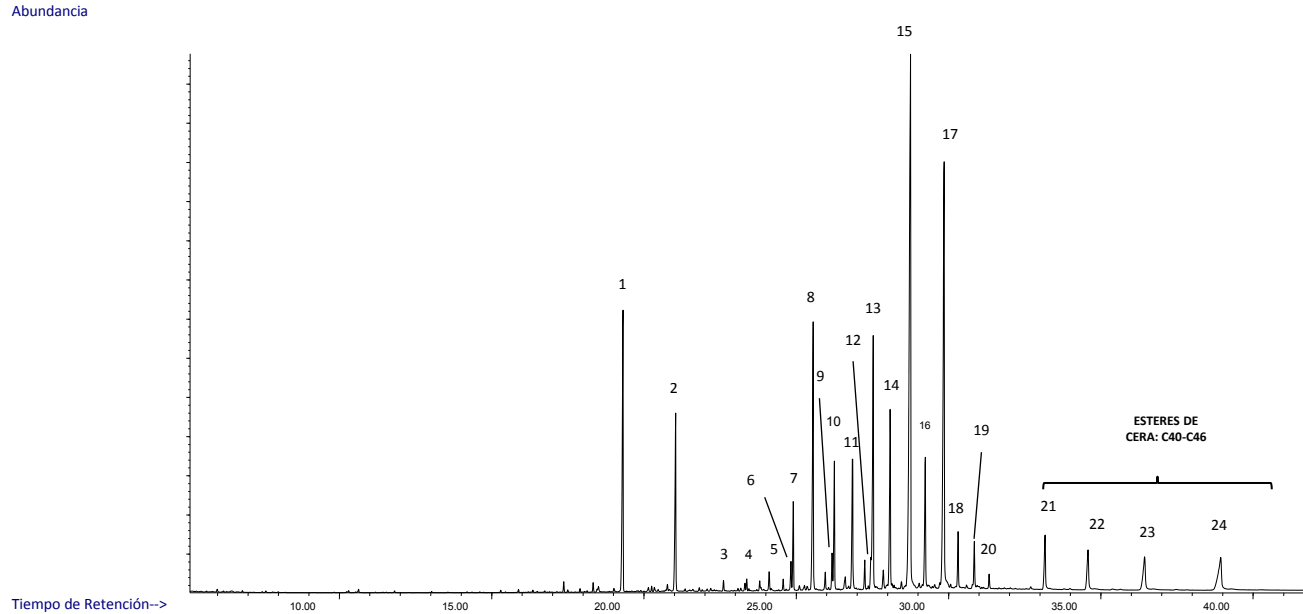
Cromatograma parcial de la muestra Vial 4 (Cera de abeja sobrenadante). Picos identificados: 1-C16:0; 2-C18:1; 3-C18:0; 4-C23 alcano; 5-C25 alcano; 6-C26 alcano; 7-C27 alcano; 8-C24:0; 9-C29 alcano; 10-C26:0; 11-C31 alcano; 12-C28-OH; 13-C30-OH; 14-C32-OH; 15-Ester de cera C40; 16-Estér de cera C42; 17-Estér de cera C44; 18-Estér de cera C46; 19-Estér de cera C48; 20-Estér de cera C50.

## Vial 3.1 (Miel extracción experimentación)



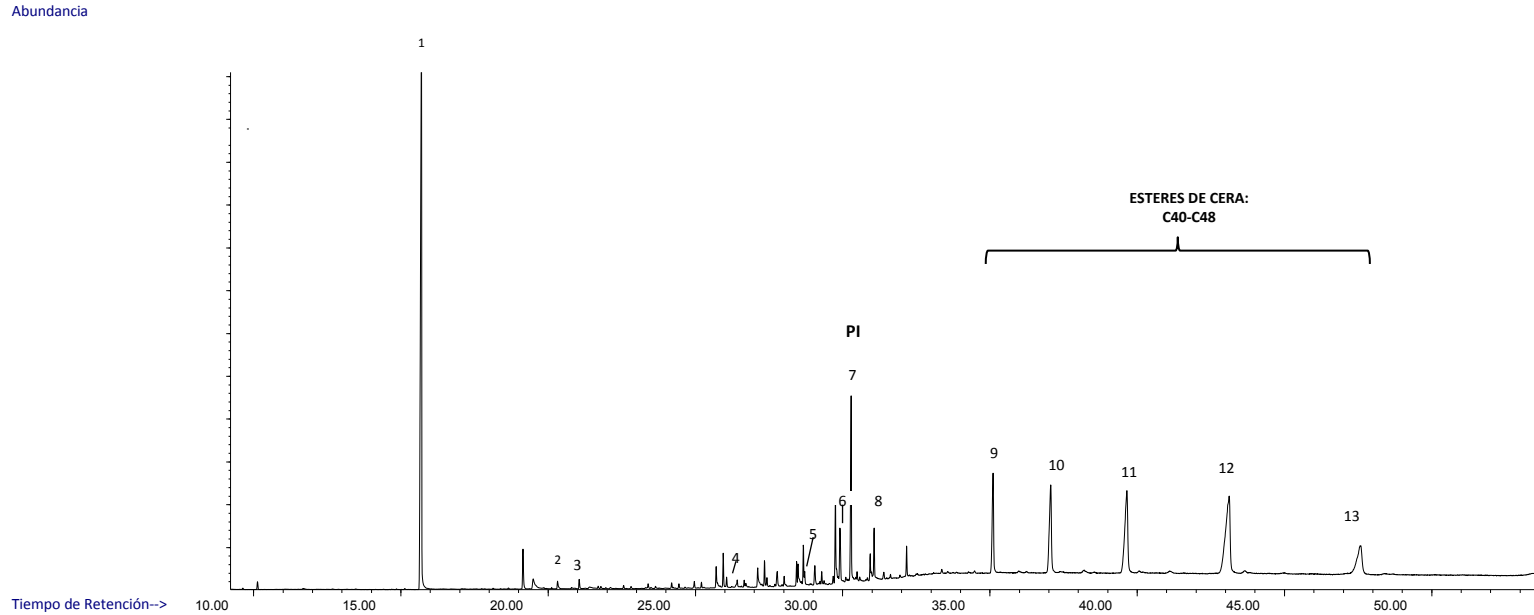
Cromatograma parcial de la muestra Vial 3.1 (Miel extracción experimentación). Picos identificados: 1-C16:0; 2-C18:0; 3-C23 alcano; 4-C25 alcano; 5-C22:0; 6-C27 alcano; 7-C24:0; 8-C29 alcano; 9-C31 alcano; 10-C28-OH; 11-C30-OH; 12-C32-OH; 13-Ester de cera C40; 14-Estér de cera C42; 15-Estér de cera C44; 16-Estér de cera C46; 17-Estér de cera C48.

# BA-H3-54-RES3.1



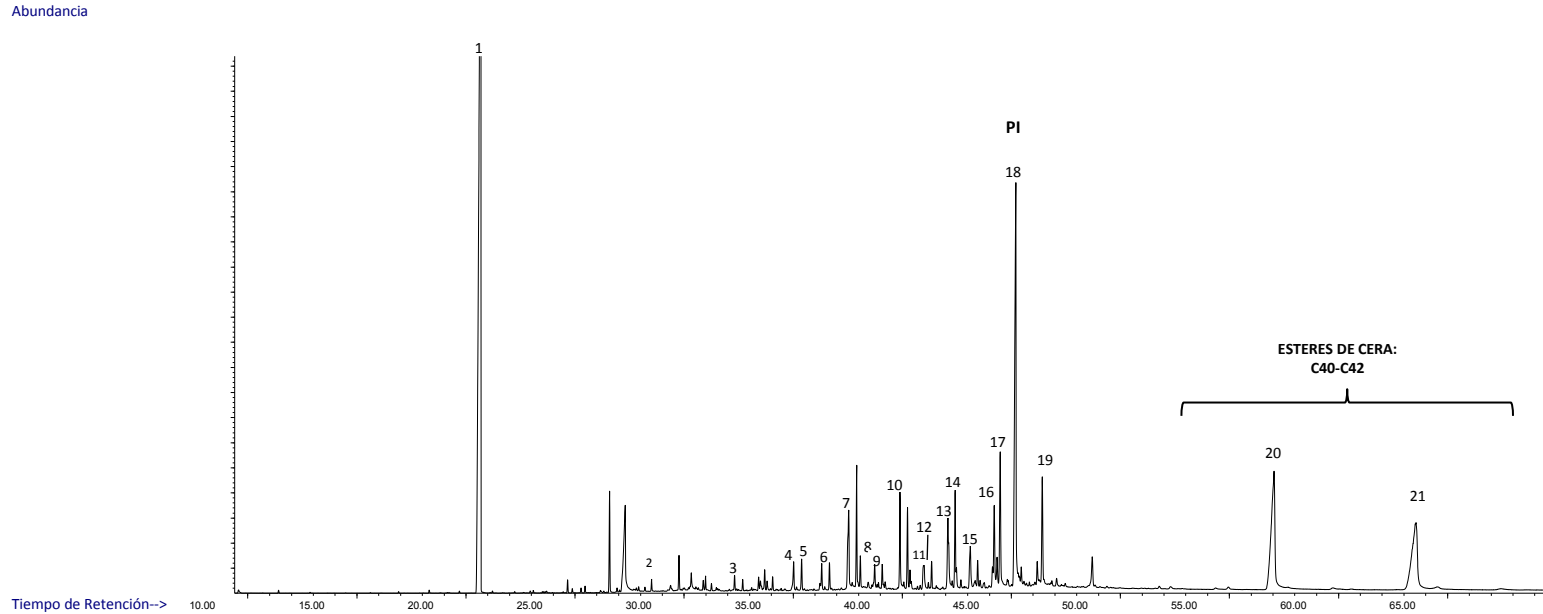
Cromatograma parcial la muestra BA-H3-54-RES3.1. Muestra analizada en el laboratorio de la Universidad de Bradford. Picos identificados: 1-C16:0; 2-C18:0; 3-C20:0; 4-C21 alcano; 5-C22:0; 6-C23 alcano; 7-C24-OH; 8-C24:0; 9-C25 alcano; 10-C26-OH; 11-C26:0; 12-C27 alcano; 13-C28-OH; 14-C28:0; 15-C30-OH; 16-C29 alcano; 17-C32-OH; 18-C30:0; 19-C34-OH; 20-C31 alcano; 21-Estér de cera C40; 22-Estér de cera C42; 23-Estér de cera C44; 24-Estér de cera C46.

# BA-H3-54-RES3.2



Cromatograma parcial de la muestra BA-H3-54-RES3.2. Muestra analizada en el laboratorio del SAQ. Picos identificados: 1. Ftalato (m/z 149); 2-C16:0; 3-C18:0; 4-C26-OH; 5-C28-OH; 6-C30-OH; 7-Patrón interno (AL34: *n*-tetratriacontano); 8-C32-OH; 9-Estér de cera C40; 10-Estér de cera C42; 11-Estér de cera C44; 12-Estér de cera C46. 13-Estér de cera C48.

# BA-H3-54-RES3.3

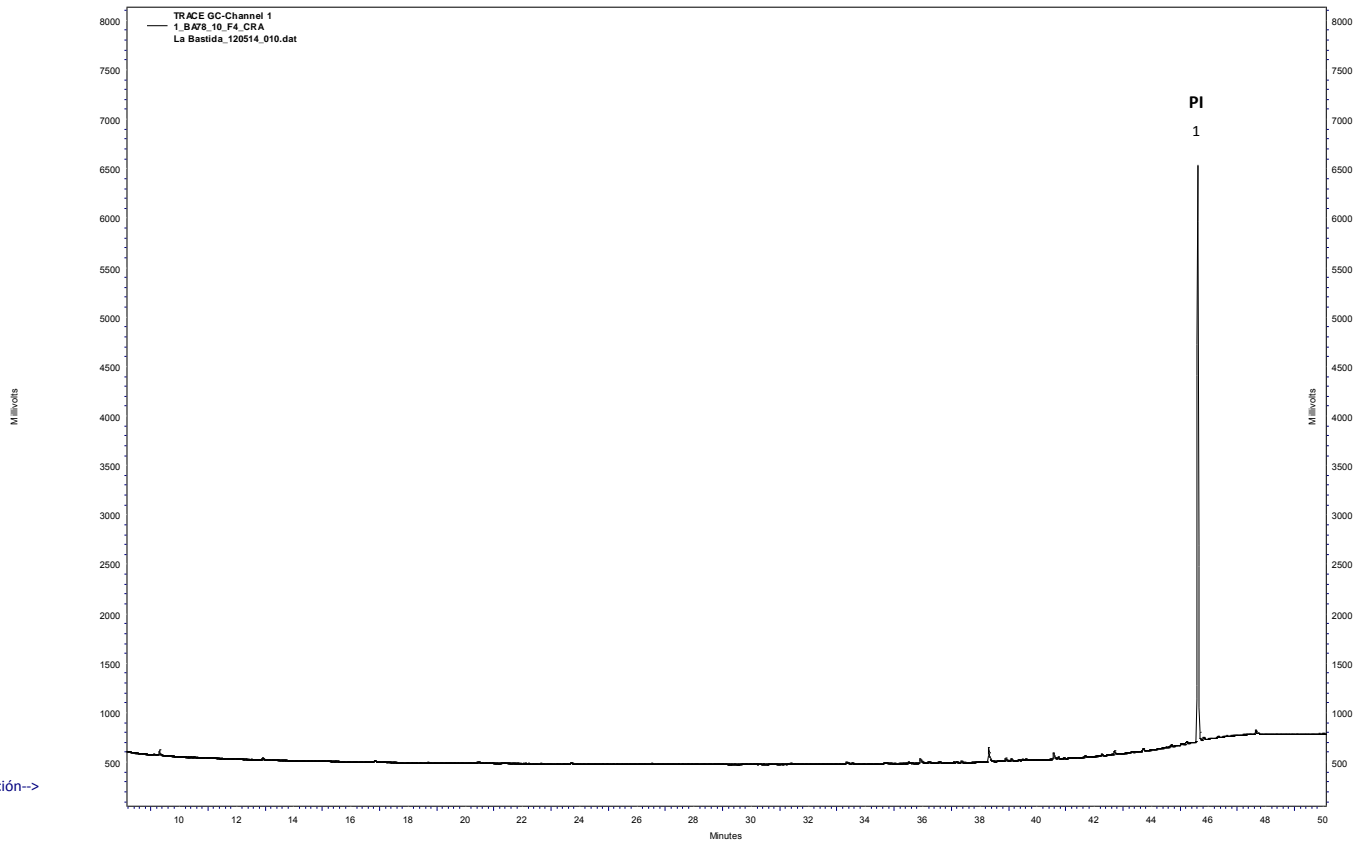


Cromatograma parcial de la muestra BA-H3-54-RES3.3. Muestra analizada en el laboratorio del ICTA. Picos identificados: 1. Ftalato (m/z 149); 2-C16:0; 3-C27 alcano; 4-C25 alcano; 5-C20-OH; 6-C26 alcano; 7-C27 alcano; 8-C24-OH; 9- C28 alcano; 10-C29 alcano; 11-C26-OH; 12-C30 alcano; 13-C31 alcano; 14-C28-OH; 15-C32 alcano; 16-C33 alcano; 17-C30-OH; 18- Patrón interno C34 alcano (tetracontano); 19- C32-OH; 20-Estér de cera C40; 21-Estér de cera C42.



# 1 (BA-BA78-10)

Abundancia

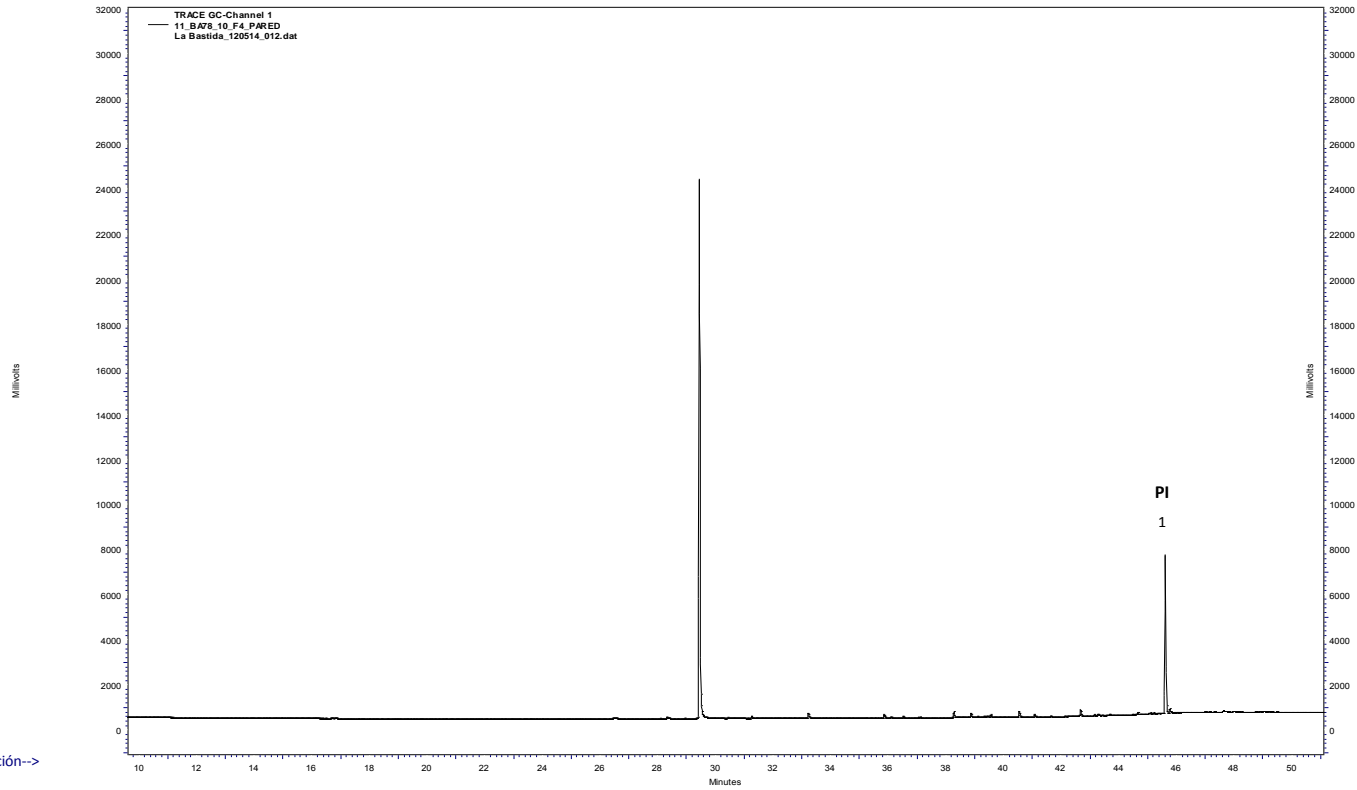


Tiempo de Retención-->

Cromatograma parcial de la muestra 1 (BA-BA78-10). 1-Patrón interno (AL34: *n*-tetratriacontano). La muestra no presenta contenido orgánico.

# 11 (BA-78-10)

Abundancia

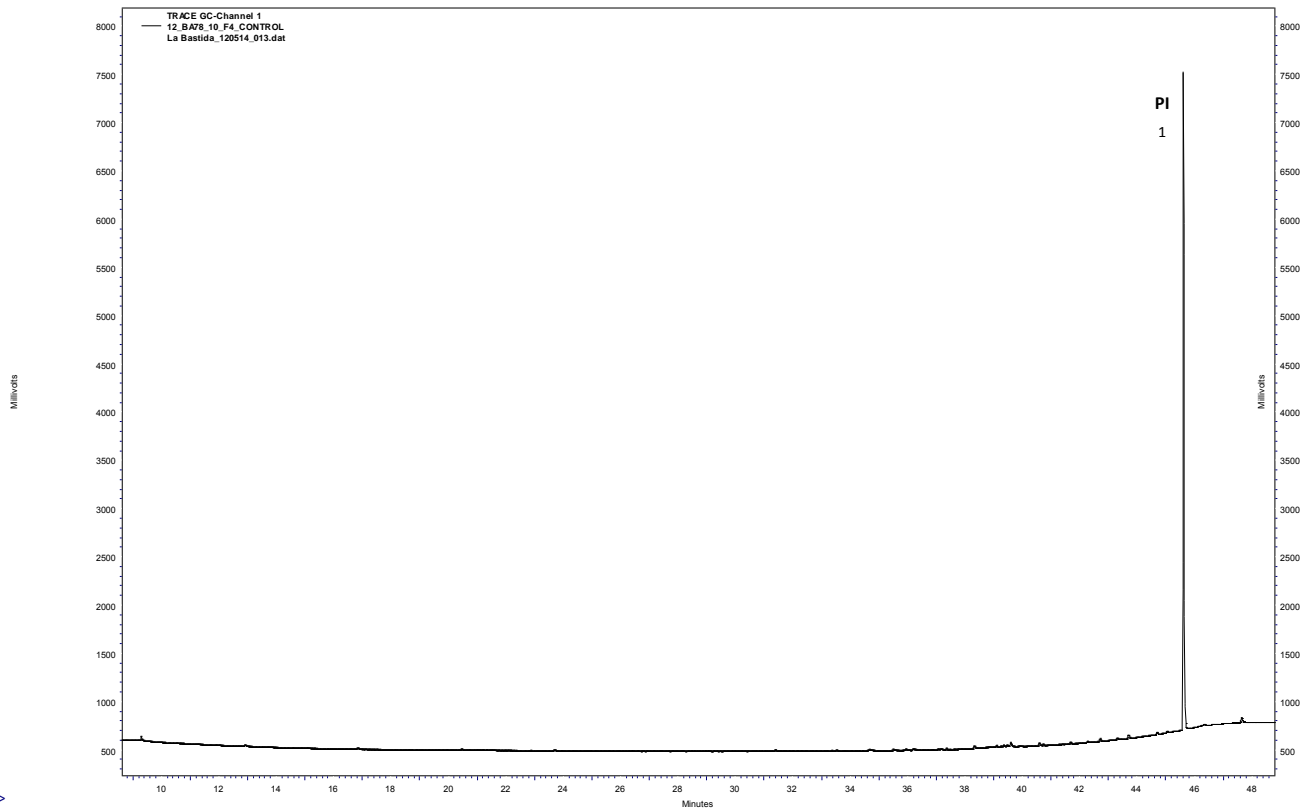


Tiempo de Retención-->

Cromatograma parcial de la muestra 11 (BA-BA78-10). 1-Patrón interno (AL34: *n*-tetratriacontano). La muestra presenta compuestos orgánicos.

# 12 (BA-BA78-10)

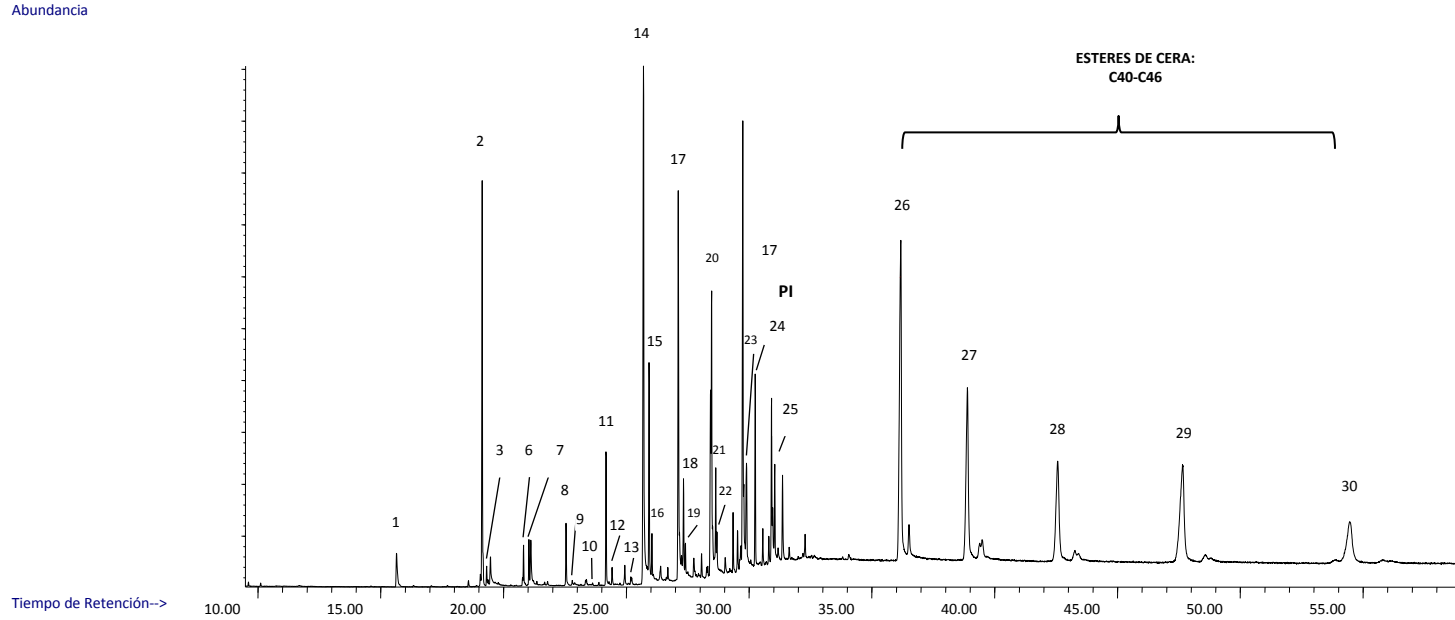
Abundancia



Tiempo de Retención-->

**Cromatograma parcial de la muestra 12 (BA-BA78-10). 1-Patrón interno (AL34: *n*-tetratriacontano). La muestra no presenta compuestos orgánicos.**

# EMM014 (BA-BA60-1)



Cromatograma parcial de la muestra EMM014 (BA-BA60-1). Picos identificados: 1. Ftalato ( $m/z$  149); 2-C16:0; 3-C16:1; 6-C18:1; 7-C18:0; 8-C23 alcano; 9-C20:0; 10-C24 alcano; 11-C25 alcano; 12-C22:0; 13-C26 alcano; 14-C27 alcano; 15-C24:0; 16-C24-OH; 17-C29 alcano; 18-C26:0; 19-C26-OH; 20-C31 alcano; 21-C28:0; 22-C28-OH; 23-C30-OH; 24- Patrón interno (AL34: *n*-tetratriacontano); 25-C32-OH; 26- Estér de cera C40; 27-Estér de cera C42; 28-Estér de cera C44; 29-Estér de cera C46.

Anexo VIII. Cuantificación de los compuestos detectados por GC/MS en las muestras analizadas

Código	Nº inventario pieza	Compuesto detectado	Numero de pico	Analito (extracto lipídico) µg g <sup>-1</sup>
51	AY-AY11-15	C14:0	1	0,046
51	AY-AY11-15	C16:0	2	0,164
51	AY-AY11-15	C18:0	4	0,057
51	AY-AY11-15	C23 alcano	5	0,019
51	AY-AY11-15	C24 alcano	6	0,008
51	AY-AY11-15	Ftalato	7	0,030
51	AY-AY11-15	C25 alcano	8	0,013
51	AY-AY11-15	C26 alcano	9	0,011
51	AY-AY11-15	C27 alcano	10	0,031
51	AY-AY11-15	C24-OH	11	0,018
51	AY-AY11-15	C28 alcano	12	0,010
51	AY-AY11-15	C29 alcano	13	0,053
51	AY-AY11-15	C26-OH	14	0,030
51	AY-AY11-15	C30 alcano	15	0,007
51	AY-AY11-15	Colesterol	16	0,041
51	AY-AY11-15	C31 alcano	17	0,006
51	AY-AY11-15	C28-OH	18	0,022
51	AY-AY11-15	C32 alcano	19	0,019
51	AY-AY11-15	Estigmasterol	20	0,013
51	AY-AY11-15	β-Sitosterol	21	0,039
51	AY-AY11-15	C33 alcano	22	0,022
51	AY-AY11-15	C30-OH	23	0,032
51	AY-AY11-15	Patrón interno C34H70	24	1,275
53	AY-AY17-12	C9:0	1	0,02616
53	AY-AY17-12	C10:0	2	0,03031
53	AY-AY17-12	C12:0	3	0,03236
53	AY-AY17-12	C14:0	4	0,12309
53	AY-AY17-12	C19 alcano	5	0,02775
53	AY-AY17-12	C20 alcano	6	0,04245
53	AY-AY17-12	C16:0	7	0,26172
53	AY-AY17-12	C21 alcano	8	0,058
53	AY-AY17-12	C22 alcano	9	0,031
53	AY-AY17-12	C18:0	10	0,077
53	AY-AY17-12	C23 alcano	11	0,241
53	AY-AY17-12	C24 alcano	12	0,041
53	AY-AY17-12	Ftalato	13	0,068
53	AY-AY17-12	C25 alcano	14	0,262
53	AY-AY17-12	C26 alcano	15	0,060
53	AY-AY17-12	C27 alcano	16	0,569
53	AY-AY17-12	Escualeno	17	0,006
53	AY-AY17-12	C28 alcano	18	0,070
53	AY-AY17-12	C29 alcano	19	0,640
53	AY-AY17-12	C30 alcano	21	0,078

Anexo VIII. Cuantificación de los compuestos detectados por GC/MS en las muestras analizadas

Código	Nº inventario pieza	Compuesto detectado	Numero de pico	Analito (extracto lipídico) $\mu\text{g g}^{-1}$
53	AY-AY17-12	Colesterol	22	0,568
53	AY-AY17-12	C31 alcano	23	0,182
53	AY-AY17-12	C28-OH	24	0,022
53	AY-AY17-12	C32 alcano	25	0,064
53	AY-AY17-12	C33 alcano	26	0,157
53	AY-AY17-12	C30-OH	27	0,032
53	AY-AY17-12	Patrón interno C34H70	28	1,275
53	AY-AY17-12	C35 alcano	29	0,053
53	AY-AY17-12	Estér de cera C40	31	0,067
53	AY-AY17-12	Estér de cera C42	32	0,081
53	AY-AY17-12	Estér de cera C44	33	0,123
53	AY-AY17-12	Estér de cera C46	34	0,113
53	AY-AY17-12	TAG's C44	35	0,038
53	AY-AY17-12	Estér de cera C48	36	0,050
53	AY-AY17-12	TAG's C46	37	0,195
53	AY-AY17-12	TAG's C48	38	0,849
53	AY-AY17-12	TAG's C50	39	2,172
53	AY-AY17-12	TAG's C52	40	3,062
53	AY-AY17-12	TAG's C54	41	0,460
45	AY-AY18-11	C23 alcano	5	0,032
45	AY-AY18-11	C24 alcano	6	0,003
45	AY-AY18-11	Ftalato	7	0,004
45	AY-AY18-11	C25 alcano	8	0,040
45	AY-AY18-11	C26 alcano	9	0,006
45	AY-AY18-11	C27 alcano	10	0,157
45	AY-AY18-11	C28 alcano	11	0,018
45	AY-AY18-11	C29 alcano	12	0,242
45	AY-AY18-11	C30 alcano	14	0,032
45	AY-AY18-11	C31 alcano	15	0,295
45	AY-AY18-11	C32 alcano	17	0,015
45	AY-AY18-11	C33 alcano	18	0,063
45	AY-AY18-11	C30-OH	19	0,004
45	AY-AY18-11	Patrón interno C34H70	20	1,275
45	AY-AY18-11	C35 alcano	21	0,003
45	AY-AY18-11	C32-OH	22	0,006
45	AY-AY18-11	C37 alcano	23	0,005
45	AY-AY18-11	DAG's C32	24	0,014
45	AY-AY18-11	DAG's C34	25	0,012
45	AY-AY18-11	Estér de cera C44	26	0,010
45	AY-AY18-11	Estér de cera C46	27	0,028
45	AY-AY18-11	Estér de cera C48	28	0,035
45	AY-AY18-11	TAG's C48	29	0,005
45	AY-AY18-11	TAG's C50	30	0,009

Anexo VIII. Cuantificación de los compuestos detectados por GC/MS en las muestras analizadas

Código	Nº inventario pieza	Compuesto detectado	Numero de pico	Analito (extracto lipídico) $\mu\text{g g}^{-1}$
44	AY-AY18-11	C14:0	1	0,051
44	AY-AY18-11	C16:0	5	0,458
44	AY-AY18-11	C21 alcano	6	0,013
44	AY-AY18-11	C18:1	7	0,023
44	AY-AY18-11	C18-OH	8	0,030
44	AY-AY18-11	C18:0	9	0,015
44	AY-AY18-11	C23 alcano	10	0,091
44	AY-AY18-11	C24 alcano	12	0,019
44	AY-AY18-11	Ftalato	13	0,098
44	AY-AY18-11	C25 alcano	14	0,031
44	AY-AY18-11	C22-OH	15	0,010
44	AY-AY18-11	C26 alcano	16	0,023
44	AY-AY18-11	C27 alcano	17	0,113
44	AY-AY18-11	C24-OH	18	0,041
44	AY-AY18-11	Escualeno	19	0,063
44	AY-AY18-11	C25-OH	20	0,011
44	AY-AY18-11	C29 alcano	21	0,147
44	AY-AY18-11	C26-OH	22	0,175
44	AY-AY18-11	C30 alcano	23	0,039
44	AY-AY18-11	Colesterol	25	0,137
44	AY-AY18-11	C31 alcano	26	0,114
44	AY-AY18-11	C28-OH	27	0,213
44	AY-AY18-11	C32 alcano	28	0,045
44	AY-AY18-11	Estigmasterol	29	0,023
44	AY-AY18-11	$\beta$ -Sitosterol	30	0,025
44	AY-AY18-11	C33 alcano	31	0,068
44	AY-AY18-11	C30-OH	32	0,222
44	AY-AY18-11	Patrón interno C34H70	33	1,275
44	AY-AY18-11	C35 alcano	34	0,017
44	AY-AY18-11	C32-OH	35	0,169
44	AY-AY18-11	C36 alcano	36	0,013
44	AY-AY18-11	DAG's C32	37	0,027
44	AY-AY18-11	DAG's C34	38	0,036
44	AY-AY18-11	Estér de cera C40	39	0,020
44	AY-AY18-11	DAG's C36	40	0,008
44	AY-AY18-11	Estér de cera C42	41	0,056
44	AY-AY18-11	Estér de cera C44	42	0,247
44	AY-AY18-11	TAG's C42	43	0,020
44	AY-AY18-11	Estér de cera C46	44	0,692
44	AY-AY18-11	TAG's C44	45	0,079
44	AY-AY18-11	Estér de cera C48	46	0,497
44	AY-AY18-11	TAG's C46	47	0,278
44	AY-AY18-11	Estér de cera C50	48	0,103

Anexo VIII. Cuantificación de los compuestos detectados por GC/MS en las muestras analizadas

Código	Nº inventario pieza	Compuesto detectado	Numero de pico	Analito (extracto lipídico) µg g <sup>-1</sup>
44	AY-AY18-11	TAG's C48	49	0,857
44	AY-AY18-11	TAG's C50	50	1,644
44	AY-AY18-11	TAG's C52	51	1,293
44	AY-AY18-11	TAG'S C54	52	0,072
47	AY-AY18-13	C22 alcano	6	9,811
47	AY-AY18-13	C23 alcano	7	0,228
47	AY-AY18-13	C25 alcano	8	0,283
47	AY-AY18-13	C27 alcano	10	0,700
47	AY-AY18-13	C28 alcano	11	0,075
47	AY-AY18-13	C29 alcano	12	0,851
47	AY-AY18-13	C30 alcano	13	0,102
47	AY-AY18-13	C31 alcano	14	1,351
47	AY-AY18-13	C32 alcano	15	0,105
47	AY-AY18-13	C33 alcano	16	0,417
47	AY-AY18-13	Patrón interno C34H70	17	1,275
47	AY-AY18-13	C35 alcano	18	0,077
47	AY-AY18-13	C36 alcano	19	0,057
47	AY-AY18-13	Estér de cera C40	22	0,010
47	AY-AY18-13	Estér de cera C42	23	0,055
47	AY-AY18-13	Estér de cera C44	24	0,169
47	AY-AY18-13	Estér de cera C46	25	0,344
47	AY-AY18-13	TAG's C44	26	0,045
47	AY-AY18-13	Estér de cera C48	27	0,181
47	AY-AY18-13	TAG's C46	28	0,229
47	AY-AY18-13	Estér de cera C50	29	0,036
47	AY-AY18-13	TAG's C48	30	0,734
47	AY-AY18-13	TAG's C50	31	0,946
47	AY-AY18-13	TAG's C52	32	0,547
46	AY-AY18-13	C10:0	1	0,01901
46	AY-AY18-13	C12:0	2	0,050
46	AY-AY18-13	C14:0	3	0,243
46	AY-AY18-13	C15:1	4	0,045
46	AY-AY18-13	C15:0	5	0,057
46	AY-AY18-13	C16:1	6	0,111
46	AY-AY18-13	C16:0	7	3,624
46	AY-AY18-13	C18:1	8	0,101
46	AY-AY18-13	C18:0	9	0,409
46	AY-AY18-13	C23 alcano	10	0,072
46	AY-AY18-13	Ftalato	12	0,012
46	AY-AY18-13	C25 alcano	13	0,105
46	AY-AY18-13	C27 alcano	17	0,348
46	AY-AY18-13	C24-OH	18	0,079
46	AY-AY18-13	C28 alcano	19	0,022



Anexo VIII. Cuantificación de los compuestos detectados por GC/MS en las muestras analizadas

Código	Nº inventario pieza	Compuesto detectado	Numero de pico	Analito (extracto lipídico) $\mu\text{g g}^{-1}$
46	AY-AY18-13	C24:0	20	0,039
46	AY-AY18-13	C29 alcano	21	0,339
46	AY-AY18-13	C26-OH	22	0,287
46	AY-AY18-13	C30 alcano	23	0,013
46	AY-AY18-13	Colesterol	24	0,008
46	AY-AY18-13	C26:0	25	0,029
46	AY-AY18-13	C31 alcano	26	0,484
46	AY-AY18-13	C28-OH	27	0,388
46	AY-AY18-13	C32 alcano	28	0,028
46	AY-AY18-13	Estigmasterol	29	0,045
46	AY-AY18-13	$\beta$ -Sitosterol	30	0,027
46	AY-AY18-13	C33 alcano	31	0,096
46	AY-AY18-13	C30-OH	32	1,046
46	AY-AY18-13	Patrón interno C34H70	33	1,275
46	AY-AY18-13	C32-OH	34	0,802
46	AY-AY18-13	C34-OH	35	0,082
46	AY-AY18-13	Estér de cera C40	36	0,017
46	AY-AY18-13	Estér de cera C42	37	0,080
46	AY-AY18-13	Estér de cera C44	38	0,443
46	AY-AY18-13	Estér de cera C46	39	1,210
46	AY-AY18-13	Estér de cera C48	40	0,743
46	AY-AY18-13	TAG's C46	41	0,395
46	AY-AY18-13	Estér de cera C50	42	0,125
46	AY-AY18-13	TAG's C48	43	1,174
46	AY-AY18-13	TAG's C50	44	0,561
46	AY-AY18-13	TAG's C52	45	0,185
50	AY-AY3-19	C10:0	1	0,008
50	AY-AY3-19	C12:0	2	0,020
50	AY-AY3-19	C14:0	3	0,072
50	AY-AY3-19	C15:0	4	0,013
50	AY-AY3-19	C16-OH	5	0,041
50	AY-AY3-19	C20 alcano	6	0,029
50	AY-AY3-19	C16:1	7	0,019
50	AY-AY3-19	C16:0	8	0,508
50	AY-AY3-19	C21 alcano	9	0,009
50	AY-AY3-19	C18-OH	10	0,041
50	AY-AY3-19	C18:1	11	0,036
50	AY-AY3-19	C18:0	12	0,087
50	AY-AY3-19	C23 alcano	13	0,007
50	AY-AY3-19	C24 alcano	14	0,051
50	AY-AY3-19	Ftalato	15	0,065
50	AY-AY3-19	C25 alcano	16	0,050
50	AY-AY3-19	C22-OH	17	0,007

Anexo VIII. Cuantificación de los compuestos detectados por GC/MS en las muestras analizadas

Código	Nº inventario pieza	Compuesto detectado	Numero de pico	Analito (extracto lipídico) $\mu\text{g g}^{-1}$
50	AY-AY3-19	C26 alcano	18	0,047
50	AY-AY3-19	C27 alcano	19	0,055
50	AY-AY3-19	Escualeno	20	0,086
50	AY-AY3-19	C29 alcano	21	0,139
50	AY-AY3-19	C26-OH	22	0,040
50	AY-AY3-19	C30 alcano	23	0,066
50	AY-AY3-19	Colesterol	24	0,121
50	AY-AY3-19	C31 alcano	25	0,073
50	AY-AY3-19	C28-OH	26	0,033
50	AY-AY3-19	Campesterol	28	0,031
50	AY-AY3-19	Estigmasterol	29	0,158
50	AY-AY3-19	$\beta$ -Sitosterol	31	0,260
50	AY-AY3-19	C30-OH	32	0,081
50	AY-AY3-19	Patrón interno C34H70	33	1,275
50	AY-AY3-19	C35 alcano	34	0,022
50	AY-AY3-19	C36 alcano	35	0,021
50	AY-AY3-19	Estér de cera C44	36	0,127
50	AY-AY3-19	Estér de cera C46	37	0,177
50	AY-AY3-19	Estér de cera C48	38	0,130
50	AY-AY3-19	TAG's C46	39	0,020
50	AY-AY3-19	TAG's C50	40	0,105
71	AY-H10-208	C16:1	4	0,014
71	AY-H10-208	C16:0	5	0,044
71	AY-H10-208	C18-OH	7	0,004
71	AY-H10-208	C22 alcano	8	0,005
71	AY-H10-208	C18:1	9	0,003
71	AY-H10-208	C18:0	10	0,014
71	AY-H10-208	C23 alcano	11	0,019
71	AY-H10-208	C24 alcano	13	0,010
71	AY-H10-208	Ftalato	14	0,008
71	AY-H10-208	C25 alcano	15	0,032
71	AY-H10-208	C22-OH	16	0,002
71	AY-H10-208	C26 alcano	17	0,012
71	AY-H10-208	C27 alcano	18	0,112
71	AY-H10-208	C24-OH	19	0,009
71	AY-H10-208	C28 alcano	20	0,028
71	AY-H10-208	C29 alcano	22	0,128
71	AY-H10-208	C26-OH	23	0,028
71	AY-H10-208	C30 alcano	24	0,014
71	AY-H10-208	Colesterol	27	0,093
71	AY-H10-208	C31 alcano	28	0,051
71	AY-H10-208	C28-OH	29	0,041
71	AY-H10-208	C32 alcano	30	0,005

Anexo VIII. Cuantificación de los compuestos detectados por GC/MS en las muestras analizadas

Código	Nº inventario pieza	Compuesto detectado	Numero de pico	Analito (extracto lipídico) $\mu\text{g g}^{-1}$
71	AY-H10-208	Campesterol	31	0,012
71	AY-H10-208	Estigmasterol	32	0,009
71	AY-H10-208	$\beta$ -Sitosterol	34	0,012
71	AY-H10-208	C33 alcano	35	0,026
71	AY-H10-208	C30-OH	36	0,063
71	AY-H10-208	Patrón interno C34H70	37	1,275
71	AY-H10-208	C32-OH	39	0,041
71	AY-H10-208	C36 alcano	40	0,011
71	AY-H10-208	DAG's C32	41	0,049
71	AY-H10-208	DAG's C34	42	0,007
71	AY-H10-208	Estér de cera C40	43	0,007
71	AY-H10-208	Estér de cera C42	44	0,009
71	AY-H10-208	Estér de cera C44	45	0,014
71	AY-H10-208	Estér de cera C46	46	0,030
71	AY-H10-208	Estér de cera C48	47	0,013
71	AY-H10-208	TAG's C46	48	0,004
71	AY-H10-208	TAG's C48	49	0,653
71	AY-H10-208	TAG's C50	50	0,109
71	AY-H10-208	TAG's C52	51	0,150
56	AY-H10-208	C12:0	1	0,017
56	AY-H10-208	C15:0	3	0,027
56	AY-H10-208	C14:0	2	0,060
56	AY-H10-208	C16:1	5	0,100
56	AY-H10-208	C16:0	6	1,601
56	AY-H10-208	C17:0	8	0,025
56	AY-H10-208	C18-OH	9	0,026
56	AY-H10-208	C18:1	11	0,187
56	AY-H10-208	C18:0	12	1,312
56	AY-H10-208	C23 alcano	13	0,073
56	AY-H10-208	C24 alcano	14	0,043
56	AY-H10-208	C20:0	15	0,024
56	AY-H10-208	Ftalato	16	0,017
56	AY-H10-208	C25 alcano	17	0,111
56	AY-H10-208	C26 alcano	19	0,048
56	AY-H10-208	C22:0	20	0,031
56	AY-H10-208	C27 alcano	21	0,425
56	AY-H10-208	C24-OH	22	0,021
56	AY-H10-208	C28 alcano	23	0,150
56	AY-H10-208	C24:0	24	0,089
56	AY-H10-208	C29 alcano	25	0,429
56	AY-H10-208	C26-OH	26	0,054
56	AY-H10-208	C30 alcano	27	0,049
56	AY-H10-208	C26:0	28	0,039

Anexo VIII. Cuantificación de los compuestos detectados por GC/MS en las muestras analizadas

Código	Nº inventario pieza	Compuesto detectado	Numero de pico	Analito (extracto lipídico) $\mu\text{g g}^{-1}$
56	AY-H10-208	C31 alcano	29	0,495
56	AY-H10-208	C28-OH	30	0,095
56	AY-H10-208	C32 alcano	31	0,050
56	AY-H10-208	Campesterol	32	0,041
56	AY-H10-208	Estigmasterol	33	0,050
56	AY-H10-208	$\beta$ -Sitosterol	34	0,051
56	AY-H10-208	C33 alcano	35	0,060
56	AY-H10-208	C30-OH	36	0,132
56	AY-H10-208	Patrón interno C34H70	37	1,275
56	AY-H10-208	C32-OH	39	0,122
56	AY-H10-208	DAG's C32	41	0,044
56	AY-H10-208	DAG's C34	42	0,009
56	AY-H10-208	Estér de cera C40	43	0,011
56	AY-H10-208	Estér de cera C42	44	0,021
56	AY-H10-208	Estér de cera C44	45	0,059
56	AY-H10-208	TAG's C44	46	0,061
56	AY-H10-208	Estér de cera C46	47	0,101
56	AY-H10-208	Estér de cera C48	48	0,036
56	AY-H10-208	TAG's C48	49	0,320
56	AY-H10-208	TAG's C50	50	0,013
56	AY-H10-208	TAG's C52	51	0,024
59	AY-H10-298	C16-OH	1	0,011
59	AY-H10-298	C16:1	3	0,007
59	AY-H10-298	C18-OH	5	0,008
59	AY-H10-298	C22 alcano	6	0,008
59	AY-H10-298	C23 alcano	8	0,011
59	AY-H10-298	C24 alcano	9	0,029
59	AY-H10-298	Ftalato	10	0,046
59	AY-H10-298	C25 alcano	11	0,021
59	AY-H10-298	C22-OH	12	0,005
59	AY-H10-298	C26 alcano	13	0,030
59	AY-H10-298	C27 alcano	14	0,041
59	AY-H10-298	C24-OH	15	0,009
59	AY-H10-298	Escualeno	16	0,027
59	AY-H10-298	C28 alcano	17	0,035
59	AY-H10-298	C29 alcano	18	0,073
59	AY-H10-298	C26-OH	19	0,008
59	AY-H10-298	C30 alcano	20	0,051
59	AY-H10-298	Colesterol	21	0,051
59	AY-H10-298	C31 alcano	22	0,039
59	AY-H10-298	C28-OH	23	0,011
59	AY-H10-298	Campesterol	24	0,046
59	AY-H10-298	C32 alcano	25	0,040

Anexo VIII. Cuantificación de los compuestos detectados por GC/MS en las muestras analizadas

Código	Nº inventario pieza	Compuesto detectado	Numero de pico	Analito (extracto lipídico) µg g <sup>-1</sup>
59	AY-H10-298	Stigmasterol	26	0,014
59	AY-H10-298	β-Sitosterol	27	0,046
59	AY-H10-298	C33 alcano	28	0,019
59	AY-H10-298	Patrón interno C34H70	29	1,275
59	AY-H10-298	C35 alcano	30	0,013
59	AY-H10-298	C36 alcano	31	0,016
59	AY-H10-298	TAG's C48	32	0,363
55	AY-H10-300	C10:0	1	0,005
55	AY-H10-300	C12:0	2	0,006
55	AY-H10-300	C14:0	3	0,030
55	AY-H10-300	C15:0	4	0,014
55	AY-H10-300	C16-OH	5	0,024
55	AY-H10-300	C16:1	7	0,008
55	AY-H10-300	C16:0	8	0,560
55	AY-H10-300	C18-OH	10	0,034
55	AY-H10-300	C18:1	12	0,038
55	AY-H10-300	C18:0	13	0,220
55	AY-H10-300	C23 alcano	14	0,020
55	AY-H10-300	C24 alcano	16	0,048
55	AY-H10-300	Ftalato	17	0,065
55	AY-H10-300	C25 alcano	18	0,042
55	AY-H10-300	C22-OH	19	0,026
55	AY-H10-300	C26 alcano	20	0,040
55	AY-H10-300	C27 alcano	21	0,066
55	AY-H10-300	C24-OH	22	0,029
55	AY-H10-300	Escualeno	23	0,050
55	AY-H10-300	C28 alcano	24	0,069
55	AY-H10-300	C29 alcano	25	0,090
55	AY-H10-300	C26-OH	26	0,022
55	AY-H10-300	Colesterol	27	0,008
55	AY-H10-300	C30 alcano	28	0,023
55	AY-H10-300	C31 alcano	29	0,140
55	AY-H10-300	C28-OH	30	0,023
55	AY-H10-300	Campesterol	31	0,014
55	AY-H10-300	C32 alcano	32	0,048
55	AY-H10-300	Stigmasterol	33	0,036
55	AY-H10-300	β-Sitosterol	34	0,102
55	AY-H10-300	C33 alcano	35	0,015
55	AY-H10-300	Patrón interno C34H70	36	1,275
55	AY-H10-300	C35 alcano	37	0,023
55	AY-H10-300	C36 alcano	38	0,016
55	AY-H10-300	TAG's C48	39	0,043
54	AY-H10-301	C16-OH	2	0,019

Anexo VIII. Cuantificación de los compuestos detectados por GC/MS en las muestras analizadas

Código	Nº inventario pieza	Compuesto detectado	Numero de pico	Analito (extracto lipídico) µg g <sup>-1</sup>
54	AY-H10-301	C16:0	4	0,020
54	AY-H10-301	C18-OH	6	0,017
54	AY-H10-301	C22 alcano	7	0,009
54	AY-H10-301	C18:0	8	0,023
54	AY-H10-301	C23 alcano	9	0,013
54	AY-H10-301	C20-OH	10	0,042
54	AY-H10-301	C24 alcano	11	0,032
54	AY-H10-301	Ftalato	12	0,046
54	AY-H10-301	C25 alcano	13	0,015
54	AY-H10-301	C26 alcano	15	0,018
54	AY-H10-301	C27 alcano	16	0,019
54	AY-H10-301	Escualeno	17	0,064
54	AY-H10-301	C28 alcano	18	0,069
54	AY-H10-301	C29 alcano	19	0,058
54	AY-H10-301	C30 alcano	21	0,023
54	AY-H10-301	Colesterol	22	0,047
54	AY-H10-301	C31 alcano	23	0,051
54	AY-H10-301	C28-OH	24	0,006
54	AY-H10-301	C32 alcano	25	0,036
54	AY-H10-301	Estigmasterol	26	0,020
54	AY-H10-301	β-Sitosterol	27	0,047
54	AY-H10-301	C33 alcano	28	0,005
54	AY-H10-301	Patrón interno C34H70	29	1,275
54	AY-H10-301	C35 alcano	30	0,016
54	AY-H10-301	C36 alcano	31	0,012
54	AY-H10-301	TAG's C48	32	0,028
61	AY-H11-1	C16-OH	1	0,042
61	AY-H11-1	C20 alcano	2	0,032
61	AY-H11-1	C16:0	3	0,036
61	AY-H11-1	C21 alcano	4	0,063
61	AY-H11-1	C18-OH	5	0,047
61	AY-H11-1	C22 alcano	6	0,115
61	AY-H11-1	C18:0	7	0,032
61	AY-H11-1	C23 alcano	8	0,118
61	AY-H11-1	C24 alcano	10	0,130
61	AY-H11-1	Ftalato	11	3,109
61	AY-H11-1	C26 alcano	13	0,087
61	AY-H11-1	C27 alcano	14	0,087
61	AY-H11-1	Escualeno	15	0,127
61	AY-H11-1	C28 alcano	16	0,084
61	AY-H11-1	C24:0	17	0,015
61	AY-H11-1	C29 alcano	18	0,059
61	AY-H11-1	C30 alcano	19	0,056

Anexo VIII. Cuantificación de los compuestos detectados por GC/MS en las muestras analizadas

Código	Nº inventario pieza	Compuesto detectado	Numero de pico	Analito (extracto lipídico) $\mu\text{g g}^{-1}$
61	AY-H11-1	Colesterol	20	0,058
61	AY-H11-1	C31 alcano	21	0,060
61	AY-H11-1	C32 alcano	22	0,048
61	AY-H11-1	C33 alcano	23	0,030
61	AY-H11-1	Patrón interno C34H70	24	1,275
61	AY-H11-1	C35 alcano	25	0,025
61	AY-H11-1	C36 alcano	26	0,027
57	AY-H11-58	C16-OH	4	0,028
57	AY-H11-58	C20 alcano	5	0,022
57	AY-H11-58	C16:0	6	0,043
57	AY-H11-58	C21 alcano	7	0,023
57	AY-H11-58	C18-OH	8	0,041
57	AY-H11-58	C22 alcano	9	0,034
57	AY-H11-58	C18:1	10	0,018
57	AY-H11-58	C18:0	11	0,005
57	AY-H11-58	C23 alcano	12	0,058
57	AY-H11-58	C24 alcano	14	0,135
57	AY-H11-58	Ftalato	15	0,067
57	AY-H11-58	C25 alcano	16	0,124
57	AY-H11-58	C22-OH	17	0,067
57	AY-H11-58	C26 alcano	18	0,169
57	AY-H11-58	C27 alcano	19	0,180
57	AY-H11-58	C24-OH	20	0,041
57	AY-H11-58	Escualeno	21	0,155
57	AY-H11-58	C28 alcano	22	0,093
57	AY-H11-58	C29 alcano	23	0,229
57	AY-H11-58	C26-OH	24	0,027
57	AY-H11-58	C30 alcano	25	0,144
57	AY-H11-58	Colesterol	26	0,113
57	AY-H11-58	C31 alcano	27	0,088
57	AY-H11-58	C32 alcano	29	0,138
57	AY-H11-58	Estigmasterol	30	0,024
57	AY-H11-58	$\beta$ -Sitosterol	31	0,033
57	AY-H11-58	C33 alcano	32	0,041
57	AY-H11-58	Patrón interno C34H70	33	1,275
57	AY-H11-58	C35 alcano	34	0,051
57	AY-H11-58	C36 alcano	35	0,046
57	AY-H11-58	C37 alcano	36	0,022
57	AY-H11-58	C38 alcano	37	0,017
57	AY-H11-58	TAG's C48	40	0,047
52	AY-H11-87	C12:0	1	0,009
52	AY-H11-87	C14:0	2	0,298
52	AY-H11-87	C15:0	3	0,095

Anexo VIII. Cuantificación de los compuestos detectados por GC/MS en las muestras analizadas

Código	Nº inventario pieza	Compuesto detectado	Numero de pico	Analito (extracto lipídico) µg g <sup>-1</sup>
52	AY-H11-87	C20 alcano	4	0,010
52	AY-H11-87	C16:1	5	0,041
52	AY-H11-87	C16:0	6	4,820
52	AY-H11-87	C18:0	7	0,597
52	AY-H11-87	C23 alcano	8	0,018
52	AY-H11-87	C24 alcano	9	0,027
52	AY-H11-87	C20:0	10	0,015
52	AY-H11-87	Ftalato	11	0,026
52	AY-H11-87	C25 alcano	12	0,021
52	AY-H11-87	C26 alcano	13	0,027
52	AY-H11-87	C22:0	14	0,019
52	AY-H11-87	C27 alcano	15	0,065
52	AY-H11-87	C24-OH	16	0,074
52	AY-H11-87	Escualeno	17	0,041
52	AY-H11-87	C28 alcano	18	0,030
52	AY-H11-87	C24:0	19	0,056
52	AY-H11-87	C29 alcano	20	0,107
52	AY-H11-87	C26-OH	21	0,017
52	AY-H11-87	C30 alcano	22	0,077
52	AY-H11-87	C26:0	23	0,020
52	AY-H11-87	C31 alcano	24	0,126
52	AY-H11-87	C28-OH	25	0,015
52	AY-H11-87	C32 alcano	26	0,045
52	AY-H11-87	Campesterol	27	0,071
52	AY-H11-87	Estigmasterol	28	0,030
52	AY-H11-87	β-Sitosterol	29	0,081
52	AY-H11-87	C33 alcano	30	0,019
52	AY-H11-87	C30-OH	31	0,029
52	AY-H11-87	Patrón interno C34H70	32	1,275
52	AY-H11-87	C35 alcano	33	0,026
52	AY-H11-87	C36 alcano	34	0,031
52	AY-H11-87	Estér de cera C42	35	0,010
52	AY-H11-87	Estér de cera C44	36	0,027
52	AY-H11-87	Estér de cera C46	37	0,036
52	AY-H11-87	Estér de cera C48	38	0,014
52	AY-H11-87	TAG's C48	39	0,385
66	AY-H11-92	C8:0	1	0,030
66	AY-H11-92	C10:0	4	0,058
66	AY-H11-92	C9:0	3	0,079
66	AY-H11-92	C12:0	5	0,299
66	AY-H11-92	C14:0	7	0,312
66	AY-H11-92	C15:0	8	0,114
66	AY-H11-92	C16-OH	9	0,047



Anexo VIII. Cuantificación de los compuestos detectados por GC/MS en las muestras analizadas

Código	Nº inventario pieza	Compuesto detectado	Numero de pico	Analito (extracto lipídico) µg g <sup>-1</sup>
66	AY-H11-92	C16:1	11	0,057
66	AY-H11-92	C16:0	12	3,175
66	AY-H11-92	C17:0	13	0,250
66	AY-H11-92	C21 alcano	14	0,126
66	AY-H11-92	C18-OH	15	0,438
66	AY-H11-92	C22 alcano	16	0,857
66	AY-H11-92	C18:1	17	0,798
66	AY-H11-92	C18:0	18	2,538
66	AY-H11-92	C23 alcano	19	0,944
66	AY-H11-92	Ácido dehidroabiético	20	0,028
66	AY-H11-92	C20-OH	21	0,080
66	AY-H11-92	C24 alcano	22	0,251
66	AY-H11-92	C20:0	23	0,105
66	AY-H11-92	Ftalato	24	0,047
66	AY-H11-92	C25 alcano	25	2,010
66	AY-H11-92	C26 alcano	26	0,348
66	AY-H11-92	C22:0	27	0,097
66	AY-H11-92	C27 alcano	28	5,209
66	AY-H11-92	C24-OH	29	0,072
66	AY-H11-92	C28 alcano	30	0,327
66	AY-H11-92	C24:0	31	0,633
66	AY-H11-92	C29 alcano	32	2,219
66	AY-H11-92	C25:0	33	0,052
66	AY-H11-92	C26-OH	34	0,088
66	AY-H11-92	C30 alcano	35	0,152
66	AY-H11-92	C26:0	36	0,193
66	AY-H11-92	Colesterol	37	1,776
66	AY-H11-92	C31 alcano	38	0,418
66	AY-H11-92	C28-OH	39	0,166
66	AY-H11-92	C32 alcano	40	0,264
66	AY-H11-92	Campesterol	41	0,187
66	AY-H11-92	C28:0	42	0,273
66	AY-H11-92	Estigmasterol	43	0,604
66	AY-H11-92	β-Sitosterol	44	0,329
66	AY-H11-92	C33 alcano	45	0,401
66	AY-H11-92	C30-OH	46	0,276
66	AY-H11-92	Patrón interno C34H70	47	1,275
66	AY-H11-92	C30:0	48	0,140
66	AY-H11-92	C35 alcano	49	0,054
66	AY-H11-92	C32:0	50	0,112
66	AY-H11-92	Estér de cera C42	51	0,060
66	AY-H11-92	Estér de cera C44	52	0,360
66	AY-H11-92	Estér de cera C46	53	0,332

Anexo VIII. Cuantificación de los compuestos detectados por GC/MS en las muestras analizadas

Código	Nº inventario pieza	Compuesto detectado	Numero de pico	Analito (extracto lipídico) $\mu\text{g g}^{-1}$
66	AY-H11-92	Estér de cera C48	54	0,157
66	AY-H11-92	TAG's C48	55	0,451
66	AY-H11-92	TAG's C50	56	0,088
66	AY-H11-92	TAG's C52	57	0,059
65	AY-H1-8	C16-OH	1	0,035
65	AY-H1-8	C16:1	3	0,007
65	AY-H1-8	C16:0	4	0,105
65	AY-H1-8	C21 alcano	5	0,023
65	AY-H1-8	C18-OH	6	0,033
65	AY-H1-8	C22 alcano	7	0,023
65	AY-H1-8	C18:1	8	0,050
65	AY-H1-8	C18:0	9	0,096
65	AY-H1-8	C23 alcano	10	0,032
65	AY-H1-8	C20-OH	11	0,004
65	AY-H1-8	C24 alcano	12	0,070
65	AY-H1-8	C25 alcano	13	0,061
65	AY-H1-8	C22-OH	14	0,032
65	AY-H1-8	C26 alcano	15	0,091
65	AY-H1-8	C27 alcano	16	0,124
65	AY-H1-8	C28 alcano	17	0,149
65	AY-H1-8	C29 alcano	18	0,216
65	AY-H1-8	C26-OH	19	0,094
65	AY-H1-8	C30 alcano	20	0,158
65	AY-H1-8	Colesterol	21	0,126
65	AY-H1-8	C31 alcano	22	0,107
65	AY-H1-8	C28-OH	23	0,034
65	AY-H1-8	C32 alcano	24	0,110
65	AY-H1-8	Estigmasterol	25	0,014
65	AY-H1-8	$\beta$ -Sitosterol	26	0,032
65	AY-H1-8	C33 alcano	27	0,045
65	AY-H1-8	Patrón interno C34H70	28	1,275
65	AY-H1-8	C35 alcano	29	0,030
65	AY-H1-8	C36 alcano	30	0,034
49	AY-H9-64	C10:0	1	0,008
49	AY-H9-64	C12:0	2	0,014
49	AY-H9-64	C14:0	4	0,099
49	AY-H9-64	C15:0	5	0,026
49	AY-H9-64	C16-OH	6	0,012
49	AY-H9-64	C16:1	8	0,016
49	AY-H9-64	C16:0	9	0,932
49	AY-H9-64	C17:0	11	0,003
49	AY-H9-64	C18-OH	12	0,011
49	AY-H9-64	C18:0	14	0,194

Anexo VIII. Cuantificación de los compuestos detectados por GC/MS en las muestras analizadas

Código	Nº inventario pieza	Compuesto detectado	Numero de pico	Analito (extracto lipídico) $\mu\text{g g}^{-1}$
49	AY-H9-64	C23 alcano	15	0,008
49	AY-H9-64	C24 alcano	16	0,013
49	AY-H9-64	Ftalato	17	0,028
49	AY-H9-64	C25 alcano	18	0,011
49	AY-H9-64	C26 alcano	19	0,016
49	AY-H9-64	C27 alcano	20	0,023
49	AY-H9-64	Escualeno	21	0,019
49	AY-H9-64	C28 alcano	22	0,024
49	AY-H9-64	C29 alcano	23	0,021
49	AY-H9-64	C30 alcano	24	0,023
49	AY-H9-64	Colesterol	25	0,020
49	AY-H9-64	C31 alcano	26	0,020
49	AY-H9-64	C32 alcano	27	0,025
49	AY-H9-64	$\beta$ -Sitosterol	28	0,007
49	AY-H9-64	Patrón interno C34H70	30	1,275
49	AY-H9-64	C36 alcano	31	0,012
48	AY-H9-98	C16:1	3	0,015
48	AY-H9-98	C16:0	4	0,061
48	AY-H9-98	C18-OH	6	0,028
48	AY-H9-98	C18:1	8	0,006
48	AY-H9-98	C18:0	9	0,004
48	AY-H9-98	C23 alcano	10	0,014
48	AY-H9-98	C24 alcano	12	0,041
48	AY-H9-98	Ftalato	13	0,154
48	AY-H9-98	C25 alcano	14	0,016
48	AY-H9-98	C22-OH	15	0,014
48	AY-H9-98	C26 alcano	16	0,021
48	AY-H9-98	C27 alcano	17	0,038
48	AY-H9-98	Escualeno	19	0,084
48	AY-H9-98	C28 alcano	20	0,025
48	AY-H9-98	C29 alcano	21	0,102
48	AY-H9-98	C26-OH	22	0,015
48	AY-H9-98	C30 alcano	23	0,072
48	AY-H9-98	Colesterol	24	0,125
48	AY-H9-98	C31 alcano	25	0,078
48	AY-H9-98	C32 alcano	26	0,103
48	AY-H9-98	Estigmasterol	27	0,011
48	AY-H9-98	$\beta$ -Sitosterol	28	0,035
48	AY-H9-98	C33 alcano	29	0,026
48	AY-H9-98	Patrón interno C34H70	30	1,275
48	AY-H9-98	C35 alcano	31	0,033
48	AY-H9-98	C36 alcano	32	0,022
48	AY-H9-98	C38 alcano	33	0,019

Anexo VIII. Cuantificación de los compuestos detectados por GC/MS en las muestras analizadas

Código	Nº inventario pieza	Compuesto detectado	Numero de pico	Analito (extracto lipídico) $\mu\text{g g}^{-1}$
48	AY-H9-98	DAG's C32	34	0,012
48	AY-H9-98	DAG's C34	35	0,004
48	AY-H9-98	TAG's C46	36	0,013
48	AY-H9-98	TAG's C50	37	0,054
39	BA-BA40-9	Ftalato	1	0,030
39	BA-BA40-9	C12:0	2	0,044
39	BA-BA40-9	C13:0	3	0,014
39	BA-BA40-9	C14-OH	4	0,043
39	BA-BA40-9	C14:0	5	0,937
39	BA-BA40-9	C15:0	6	0,376
39	BA-BA40-9	C16-OH	7	0,192
39	BA-BA40-9	C20 alcano	8	0,053
39	BA-BA40-9	C16:0	9	14,157
39	BA-BA40-9	C21 alcano	10	0,135
39	BA-BA40-9	C17:0	11	0,387
39	BA-BA40-9	C18-OH	12	0,279
39	BA-BA40-9	C18:1	14	0,616
39	BA-BA40-9	C18:0	15	4,776
39	BA-BA40-9	C23 alcano	16	0,683
39	BA-BA40-9	C20-OH	17	0,119
39	BA-BA40-9	C24 alcano	18	0,252
39	BA-BA40-9	C25 alcano	20	0,707
39	BA-BA40-9	C22-OH	21	0,053
39	BA-BA40-9	C26 alcano	22	0,272
39	BA-BA40-9	C22:0	23	0,083
39	BA-BA40-9	C27 alcano	24	1,455
39	BA-BA40-9	C24-OH	25	0,138
39	BA-BA40-9	C28 alcano	26	0,315
39	BA-BA40-9	C24:0	27	0,072
39	BA-BA40-9	C29 alcano	28	1,887
39	BA-BA40-9	C26-OH	29	0,246
39	BA-BA40-9	C30 alcano	30	0,330
39	BA-BA40-9	C26:0	31	0,044
39	BA-BA40-9	C31 alcano	32	2,579
39	BA-BA40-9	C28-OH	33	0,251
39	BA-BA40-9	C33 alcano	34	0,955
39	BA-BA40-9	Patrón interno C34H70	35	25,000
39	BA-BA40-9	C35 alcano	36	0,174
39	BA-BA40-9	C32-OH	37	0,100
39	BA-BA40-9	Estér de cera C40	38	0,093
39	BA-BA40-9	Estér de cera C42	39	0,182
39	BA-BA40-9	Estér de cera C44	40	0,258
39	BA-BA40-9	Estér de cera C46	41	0,507

Anexo VIII. Cuantificación de los compuestos detectados por GC/MS en las muestras analizadas

Código	Nº inventario pieza	Compuesto detectado	Numero de pico	Analito (extracto lipídico) $\mu\text{g g}^{-1}$
39	BA-BA40-9	Estér de cera C48	42	0,144
29	BA-BA58-1	C14-OH	6	0,146
29	BA-BA58-1	C18 alcano	7	0,120
29	BA-BA58-1	Ftalato	8	0,287
29	BA-BA58-1	C19 alcano	9	0,030
29	BA-BA58-1	C16-OH	11	0,433
29	BA-BA58-1	C20 alcano	12	0,061
29	BA-BA58-1	C16:1	13	0,070
29	BA-BA58-1	C16:0	14	0,291
29	BA-BA58-1	C18-OH	16	0,504
29	BA-BA58-1	C18:1	17	0,214
29	BA-BA58-1	C18:0	19	0,170
29	BA-BA58-1	C20-OH	21	0,109
29	BA-BA58-1	C24 alcano	22	0,039
29	BA-BA58-1	C22-OH	23	0,137
29	BA-BA58-1	C26 alcano	24	0,038
29	BA-BA58-1	C27 alcano	25	0,120
29	BA-BA58-1	C24-OH	26	0,111
29	BA-BA58-1	Escualeno	27	0,330
29	BA-BA58-1	C29 alcano	28	0,089
29	BA-BA58-1	C26-OH	29	0,093
29	BA-BA58-1	C30 alcano	30	0,038
29	BA-BA58-1	Colesterol	31	0,247
29	BA-BA58-1	C28-OH	32	0,079
29	BA-BA58-1	Campesterol	33	0,100
29	BA-BA58-1	Estigmasterol	34	0,062
29	BA-BA58-1	$\beta$ -Sitosterol	35	0,230
29	BA-BA58-1	Patrón interno C34H70	36	25,000
29	BA-BA58-1	TAG's C48	39	0,087
EMM013	BA-BA60-1	C16:1	3	0,867
EMM013	BA-BA60-1	C16:0	5	6,020
EMM013	BA-BA60-1	C18:1	6	2,332
EMM013	BA-BA60-1	C18:0	7	0,711
EMM013	BA-BA60-1	C23 alcano	8	1,420
EMM013	BA-BA60-1	C20:0	9	1,010
EMM013	BA-BA60-1	C24 alcano	10	0,312
EMM013	BA-BA60-1	C25 alcano	11	5,341
EMM013	BA-BA60-1	C22:0	12	1,097
EMM013	BA-BA60-1	C26 alcano	13	0,603
EMM013	BA-BA60-1	C27 alcano	14	20,875
EMM013	BA-BA60-1	C24:0	15	3,166
EMM013	BA-BA60-1	C24-OH	16	0,667
EMM013	BA-BA60-1	C29 alcano	17	10,876

Anexo VIII. Cuantificación de los compuestos detectados por GC/MS en las muestras analizadas

Código	Nº inventario pieza	Compuesto detectado	Numero de pico	Analito (extracto lipídico) $\mu\text{g g}^{-1}$
EMM013	BA-BA60-1	C26:0	18	0,839
EMM013	BA-BA60-1	C26-OH	19	0,496
EMM013	BA-BA60-1	C31 alcano	20	7,402
EMM013	BA-BA60-1	C28:0	21	1,206
EMM013	BA-BA60-1	C28-OH	22	1,760
EMM013	BA-BA60-1	C30-OH	23	1,732
EMM013	BA-BA60-1	Patrón interno C34H70	24	24,760
EMM013	BA-BA60-1	C32-OH	25	0,638
EMM013	BA-BA60-1	Estér de cera C40	26	10,677
EMM013	BA-BA60-1	Estér de cera C42	27	4,679
EMM013	BA-BA60-1	Estér de cera C44	28	2,224
EMM013	BA-BA60-1	Estér de cera C46	29	1,879
26	BA-BA60-1	C14:0	4	0,004
26	BA-BA60-1	C15:0	5	0,008
26	BA-BA60-1	C16-OH	6	0,025
26	BA-BA60-1	C16:1	7	0,051
26	BA-BA60-1	C16:0	8	0,190
26	BA-BA60-1	C17:0	10	0,010
26	BA-BA60-1	C18-OH	12	0,040
26	BA-BA60-1	C18:1	13	0,112
26	BA-BA60-1	Ftalato	14	0,290
26	BA-BA60-1	C18:0	15	0,052
26	BA-BA60-1	C23 alcano	16	0,067
26	BA-BA60-1	Ácido dehidroabiético	17	0,096
26	BA-BA60-1	C20-OH	18	0,224
26	BA-BA60-1	C24 alcano	19	0,108
26	BA-BA60-1	C20:0	20	0,011
26	BA-BA60-1	C25 alcano	21	0,293
26	BA-BA60-1	C22-OH	22	1,028
26	BA-BA60-1	C26 alcano	23	0,064
26	BA-BA60-1	C22:0	24	0,051
26	BA-BA60-1	C27 alcano	25	0,180
26	BA-BA60-1	C24-OH	26	1,461
26	BA-BA60-1	C24:0	27	0,018
26	BA-BA60-1	C29 alcano	28	0,192
26	BA-BA60-1	C26-OH	29	0,970
26	BA-BA60-1	C30 alcano	30	0,024
26	BA-BA60-1	C31 alcano	31	0,715
26	BA-BA60-1	C28-OH	32	0,140
26	BA-BA60-1	Campesterol	33	1,398
26	BA-BA60-1	Estigmasterol	34	0,560
26	BA-BA60-1	$\beta$ -Sitosterol	35	0,817
26	BA-BA60-1	Patrón interno C34H70	36	25,000

Anexo VIII. Cuantificación de los compuestos detectados por GC/MS en las muestras analizadas

Código	Nº inventario pieza	Compuesto detectado	Numero de pico	Analito (extracto lipídico) µg g <sup>-1</sup>
26	BA-BA60-1	C32-OH	37	0,058
EMM015	BA-BA60-1	Ftalato	1	19,829
EMM015	BA-BA60-1	C16:1	4	4,695
EMM015	BA-BA60-1	C16:0	5	154,960
EMM015	BA-BA60-1	C21 alcano	8	3,627
EMM015	BA-BA60-1	C18:1	9	12,222
EMM015	BA-BA60-1	C18:0	10	10,929
EMM015	BA-BA60-1	C23 alcano	12	60,722
EMM015	BA-BA60-1	C24 alcano	14	1,746
EMM015	BA-BA60-1	C25 alcano	16	71,834
EMM015	BA-BA60-1	C22:0	17	10,443
EMM015	BA-BA60-1	C27 alcano	18	319,193
EMM015	BA-BA60-1	C24:0	19	44,139
EMM015	BA-BA60-1	C24-OH	20	1,074
EMM015	BA-BA60-1	C29 alcano	21	146,087
EMM015	BA-BA60-1	C26:0	22	21,385
EMM015	BA-BA60-1	C31 alcano	23	6,348
EMM015	BA-BA60-1	C28:0	24	12,749
EMM015	BA-BA60-1	C30:0	25	5,458
EMM015	BA-BA60-1	Patrón interno C34H70	26	24,760
EMM015	BA-BA60-1	Estér de cera C40	27	126,494
EMM015	BA-BA60-1	Estér de cera C42	28	41,157
EMM015	BA-BA60-1	Estér de cera C44	29	21,558
EMM015	BA-BA60-1	Estér de cera C46	30	17,383
60	BA-BA60-31	C14-OH	1	0,014
60	BA-BA60-31	C14:0	3	0,032
60	BA-BA60-31	C15:0	5	0,005
60	BA-BA60-31	C16-OH	6	0,033
60	BA-BA60-31	C20 alcano	7	0,008
60	BA-BA60-31	C16:1	8	0,020
60	BA-BA60-31	C16:0	9	0,124
60	BA-BA60-31	C21 alcano	10	0,008
60	BA-BA60-31	C18-OH	11	0,019
60	BA-BA60-31	C22 alcano	12	0,015
60	BA-BA60-31	C18:1	13	0,015
60	BA-BA60-31	C18:0	14	0,060
60	BA-BA60-31	C23 alcano	15	0,019
60	BA-BA60-31	Ácido dehidroabiético	16	0,051
60	BA-BA60-31	C20-OH	17	0,006
60	BA-BA60-31	C24 alcano	18	0,020
60	BA-BA60-31	Ftalato	19	0,549
60	BA-BA60-31	C25 alcano	20	0,028
60	BA-BA60-31	C26 alcano	22	0,015

Anexo VIII. Cuantificación de los compuestos detectados por GC/MS en las muestras analizadas

Código	Nº inventario pieza	Compuesto detectado	Numero de pico	Analito (extracto lipídico) $\mu\text{g g}^{-1}$
60	BA-BA60-31	C27 alcano	23	0,019
60	BA-BA60-31	Escualeno	24	0,118
60	BA-BA60-31	C29 alcano	25	0,016
60	BA-BA60-31	C30 alcano	26	0,012
60	BA-BA60-31	Colesterol	27	0,006
60	BA-BA60-31	C31 alcano	28	0,011
60	BA-BA60-31	C32 alcano	29	0,010
60	BA-BA60-31	$\beta$ -Sitosterol	30	0,004
60	BA-BA60-31	C33 alcano	31	0,009
60	BA-BA60-31	Patrón interno C34H70	32	1,275
60	BA-BA60-31	C36 alcano	34	0,008
9	BA-BA60-31	Ftalato	1	8,882
9	BA-BA60-31	C16-OH	7	0,684
9	BA-BA60-31	C16:1	8	2,432
9	BA-BA60-31	C16:0	9	5,522
9	BA-BA60-31	C18-OH	11	0,878
9	BA-BA60-31	C18:1	12	2,163
9	BA-BA60-31	C18:0	13	1,309
9	BA-BA60-31	C23 alcano	14	1,794
9	BA-BA60-31	C20-OH	15	4,549
9	BA-BA60-31	C24 alcano	16	1,332
9	BA-BA60-31	C25 alcano	18	5,288
9	BA-BA60-31	C22-OH	19	8,585
9	BA-BA60-31	C26 alcano	20	1,154
9	BA-BA60-31	C22:0	21	1,049
9	BA-BA60-31	C27 alcano	23	5,070
9	BA-BA60-31	C24-OH	24	12,067
9	BA-BA60-31	C28 alcano	26	0,968
9	BA-BA60-31	C24:0	27	2,823
9	BA-BA60-31	C29 alcano	29	6,136
9	BA-BA60-31	C26-OH	30	13,954
9	BA-BA60-31	C31 alcano	31	4,327
9	BA-BA60-31	C28-OH	32	6,862
9	BA-BA60-31	Estigmasterol	33	11,316
9	BA-BA60-31	$\beta$ -Sitosterol	34	30,423
9	BA-BA60-31	C30-OH	35	1,865
9	BA-BA60-31	Patrón interno C34H70	36	25,000
EMM011	BA-BA63-23	Ftalato	1	11,656
EMM011	BA-BA63-23	C16:0	2	8,385
EMM011	BA-BA63-23	Patrón interno C34H70	3	24,760
EMM012	BA-BA63-23	Ftalato	1	117,156
EMM012	BA-BA63-23	C16:0	2	1,390
EMM012	BA-BA63-23	C18:1	3	1,266



Anexo VIII. Cuantificación de los compuestos detectados por GC/MS en las muestras analizadas

Código	Nº inventario pieza	Compuesto detectado	Numero de pico	Analito (extracto lipídico) $\mu\text{g g}^{-1}$
EMM012	BA-BA63-23	C24:0	5	0,997
EMM012	BA-BA63-23	C26:0	6	0,674
EMM012	BA-BA63-23	C28:0	7	0,892
EMM012	BA-BA63-23	Patrón interno C34H70	9	24,760
EMM020	BA-BA65-9	Ftalato	1	2,874
EMM020	BA-BA65-9	Patrón interno C34H70	2	24,760
EMM021	BA-BA65-9	Patrón interno C34H70	1	24,760
11	BA-BA78-10	C12:0	1	0,043
11	BA-BA78-10	C14-OH	2	0,018
11	BA-BA78-10	C14:0	3	0,981
11	BA-BA78-10	C15:0	6	0,294
11	BA-BA78-10	C16-OH	7	0,075
11	BA-BA78-10	C16:0	8	3,772
11	BA-BA78-10	Azufre	9	0,673
11	BA-BA78-10	C20 alcano	10	0,171
11	BA-BA78-10	C18-OH	11	0,113
11	BA-BA78-10	C21 alcano	12	0,053
11	BA-BA78-10	C22 alcano	13	0,544
11	BA-BA78-10	C24 alcano	14	0,075
11	BA-BA78-10	C25 alcano	15	0,425
11	BA-BA78-10	C22-OH	16	0,010
11	BA-BA78-10	C26 alcano	17	0,119
11	BA-BA78-10	C27 alcano	19	0,949
11	BA-BA78-10	C24-OH	20	0,037
11	BA-BA78-10	C28 alcano	21	0,106
11	BA-BA78-10	Escualeno	22	0,209
11	BA-BA78-10	C29 alcano	23	1,010
11	BA-BA78-10	C26-OH	24	0,070
11	BA-BA78-10	C30 alcano	25	0,121
11	BA-BA78-10	Estigmasterol	26	0,379
11	BA-BA78-10	C31 alcano	27	0,860
11	BA-BA78-10	Colesterol	28	0,040
11	BA-BA78-10	C28-OH	29	0,058
11	BA-BA78-10	$\beta$ -Sitosterol	30	0,085
11	BA-BA78-10	C30-OH	31	0,083
11	BA-BA78-10	Patrón interno C34H70	32	25,000
11	BA-BA78-10	C35 alcano	33	0,066
11	BA-BA78-10	C32-OH	34	0,159
11	BA-BA78-10	Estér de cera C40	35	0,145
11	BA-BA78-10	Estér de cera C48	36	0,416
4	BA-BA78-33	Ftalato	3	0,010
4	BA-BA78-33	C16-OH	4	0,023
4	BA-BA78-33	C16:0	5	0,009

Anexo VIII. Cuantificación de los compuestos detectados por GC/MS en las muestras analizadas

Código	Nº inventario pieza	Compuesto detectado	Numero de pico	Analito (extracto lipídico) $\mu\text{g g}^{-1}$
4	BA-BA78-33	C18:0	7	0,009
4	BA-BA78-33	C18-OH	8	0,024
4	BA-BA78-33	C26 alcano	14	0,023
4	BA-BA78-33	C22-OH	16	0,100
4	BA-BA78-33	C24-OH	19	0,234
4	BA-BA78-33	Escualeno	21	0,005
4	BA-BA78-33	C26-OH	25	0,118
4	BA-BA78-33	C31 alcano	27	0,087
4	BA-BA78-33	Colesterol	28	0,038
4	BA-BA78-33	C28-OH	29	0,077
4	BA-BA78-33	C30-OH	32	0,090
4	BA-BA78-33	Patrón interno C34H70	33	25,000
4	BA-BA78-33	C32-OH	35	0,038
BRA16	BA-H2-175.22	Patrón interno C34H70	1	5
BRA17	BA-H2-175.9	C16:0	1	1,832
BRA17	BA-H2-175.9	C18:0	2	0,541
BRA17	BA-H2-175.9	C22:0	3	0,251
BRA17	BA-H2-175.9	C27 alcano	4	0,240
BRA17	BA-H2-175.9	Escualeno	5	0,083
BRA17	BA-H2-175.9	C29 alcano	6	0,197
BRA17	BA-H2-175.9	C31 alcano	7	0,146
BRA17	BA-H2-175.9	C28-OH	8	0,059
BRA17	BA-H2-175.9	C30-OH	9	0,177
BRA17	BA-H2-175.9	Patrón interno C34H70	10	5,000
BRA17	BA-H2-175.9	C32-OH	11	0,156
BRA17	BA-H2-175.9	Estér de cera C40	12	1,677
BRA17	BA-H2-175.9	Estér de cera C42	13	2,021
BRA17	BA-H2-175.9	Estér de cera C44	14	2,204
BRA17	BA-H2-175.9	Estér de cera C46	15	3,062
BRA18	BA-H2-224	Ftalato	1	0,416
BRA18	BA-H2-224	Ftalato	2	0,592
BRA18	BA-H2-224	C16:0	3	0,802
BRA18	BA-H2-224	C18:0	4	0,067
BRA18	BA-H2-224	Ácido dehidroabiético	5	0,196
BRA18	BA-H2-224	C27 alcano	6	2,703
BRA18	BA-H2-224	C29 alcano	7	1,653
BRA18	BA-H2-224	C31 alcano	8	1,484
BRA18	BA-H2-224	C28-OH	9	0,206
BRA18	BA-H2-224	C30-OH	10	0,695
BRA18	BA-H2-224	Patrón interno C34H70	11	5,000
BRA18	BA-H2-224	C32-OH	12	0,280
BRA22	BA-H3-108.7	C16:1	2	4,776
BRA22	BA-H3-108.7	C16:0	3	6,032

Anexo VIII. Cuantificación de los compuestos detectados por GC/MS en las muestras analizadas

Código	Nº inventario pieza	Compuesto detectado	Numero de pico	Analito (extracto lipídico) µg g <sup>-1</sup>
BRA22	BA-H3-108.7	C18:1	4	5,023
BRA22	BA-H3-108.7	C18:0	5	1,535
BRA22	BA-H3-108.7	Ftalato	6	1,213
BRA22	BA-H3-108.7	Escuaelno	7	9,588
BRA22	BA-H3-108.7	Patrón interno C34H70	8	5,000
38	BA-H3-92	C16:0	1	0,049
38	BA-H3-92	Ftalato	2	0,014
38	BA-H3-92	C25 alcano	3	0,015
38	BA-H3-92	C27 alcano	4	0,136
38	BA-H3-92	C24-OH	5	0,198
38	BA-H3-92	C29 alcano	6	0,125
38	BA-H3-92	C26-OH	7	0,321
38	BA-H3-92	C31 alcano	8	0,183
38	BA-H3-92	C28-OH	9	0,493
38	BA-H3-92	C33 alcano	10	0,076
38	BA-H3-92	C30-OH	11	1,083
38	BA-H3-92	Patrón interno C34H70	12	25,000
38	BA-H3-92	C32-OH	13	0,961
38	BA-H3-92	C34-OH	14	0,053
38	BA-H3-92	Estér de cera C40	15	0,077
38	BA-H3-92	Estér de cera C42	16	0,102
38	BA-H3-92	Estér de cera C44	17	0,133
38	BA-H3-92	Estér de cera C46	18	0,518
38	BA-H3-92	Estér de cera C48	19	0,268
38	BA-H3-92	Estér de cera C50	20	0,035
EMM008	BA-H3-21	Ftalato	1	2,375
EMM008	BA-H3-21	C16:0	2	4,578
EMM008	BA-H3-21	C18:0	3	2,024
EMM008	BA-H3-21	Patrón interno C34H70	4	24,760
EMM019	BA-H3-65.10	Patrón interno C34H70	1	24,760
EMM016	BA-H3-78	Ftalato	1	1,665
EMM016	BA-H3-78	C14:0	2	0,510
EMM016	BA-H3-78	C16:0	3	8,113
EMM016	BA-H3-78	C17:0	4	0,324
EMM016	BA-H3-78	C18:1	5	0,353
EMM016	BA-H3-78	C18:0	6	12,694
EMM016	BA-H3-78	C24:0	7	1,736
EMM016	BA-H3-78	C26:0	8	0,517
EMM016	BA-H3-78	C28:0	9	0,447
EMM016	BA-H3-78	Patrón interno C34H70	10	24,760
58	BA-H54-174	C18-OH	1	0,002
58	BA-H54-174	C23 alcano	2	0,011
58	BA-H54-174	C20-OH	3	0,003

Anexo VIII. Cuantificación de los compuestos detectados por GC/MS en las muestras analizadas

Código	Nº inventario pieza	Compuesto detectado	Numero de pico	Analito (extracto lipídico) µg g <sup>-1</sup>
58	BA-H54-174	Ftalato	4	0,009
58	BA-H54-174	C25 alcano	5	0,046
58	BA-H54-174	C22-OH	6	0,003
58	BA-H54-174	C26 alcano	7	0,006
58	BA-H54-174	C27 alcano	8	0,269
58	BA-H54-174	C24-OH	9	0,045
58	BA-H54-174	C28 alcano	10	0,027
58	BA-H54-174	C29 alcano	11	0,294
58	BA-H54-174	C26-OH	12	0,082
58	BA-H54-174	C30 alcano	13	0,014
58	BA-H54-174	C31 alcano	14	0,353
58	BA-H54-174	C28-OH	15	0,075
58	BA-H54-174	C32 alcano	16	0,021
58	BA-H54-174	β-Sitosterol	17	0,003
58	BA-H54-174	C33 alcano	18	0,065
58	BA-H54-174	C30-OH	19	0,067
58	BA-H54-174	Patrón interno C34H70	20	1,275
58	BA-H54-174	C35 alcano	21	0,003
58	BA-H54-174	C32-OH	22	0,034
58	BA-H54-174	C36 alcano	23	0,010
58	BA-H54-174	Estér de cera C42	24	0,003
58	BA-H54-174	Estér de cera C44	25	0,004
58	BA-H54-174	Estér de cera C46	26	0,008
58	BA-H54-174	Estér de cera C48	27	0,007
BRA36	BA-H5-51	Ftalato	1	0,406
BRA36	BA-H5-51	Ftalato	2	0,210
BRA36	BA-H5-51	C16:0	3	0,389
BRA36	BA-H5-51	Escualeno	4	0,173
BRA36	BA-H5-51	Patrón interno C34H70	5	5,000
EMM009	BA-H59-35	Ftalato	1	6,785
EMM009	BA-H59-35	C16:0	2	19,530
EMM009	BA-H59-35	C18:1	3	0,491
EMM009	BA-H59-35	C18:0	4	0,543
EMM009	BA-H59-35	C23 alcano	5	1,880
EMM009	BA-H59-35	C25 alcano	6	6,058
EMM009	BA-H59-35	C27 alcano	8	35,491
EMM009	BA-H59-35	C24:0	9	4,578
EMM009	BA-H59-35	C24-OH	10	1,465
EMM009	BA-H59-35	C29 alcano	11	20,477
EMM009	BA-H59-35	C26:0	12	1,855
EMM009	BA-H59-35	C26-OH	13	1,176
EMM009	BA-H59-35	C31 alcano	14	5,463
EMM009	BA-H59-35	C28:0	15	1,216

Anexo VIII. Cuantificación de los compuestos detectados por GC/MS en las muestras analizadas

Código	Nº inventario pieza	Compuesto detectado	Numero de pico	Analito (extracto lipídico) $\mu\text{g g}^{-1}$
EMM009	BA-H59-35	C28-OH	16	1,205
EMM009	BA-H59-35	C30-OH	17	6,045
EMM009	BA-H59-35	Patrón interno C34H70	18	24,760
EMM009	BA-H59-35	C32-OH	19	3,921
EMM009	BA-H59-35	Estér de cera C40	20	51,281
EMM009	BA-H59-35	Estér de cera C42	21	34,361
EMM009	BA-H59-35	Estér de cera C44	22	33,254
EMM009	BA-H59-35	Estér de cera C46	23	67,899
EMM009	BA-H59-35	Estér de cera C48	24	52,391
6	BA-H59-42-int	C16:1	8	0,000
6	BA-H59-42-int	Ftalato	3	12,404
6	BA-H59-42-int	C16-OH	6	99,966
6	BA-H59-42-int	C16:0	9	0,006
6	BA-H59-42-int	C21 alcano	11	0,830
6	BA-H59-42-int	C18-OH	12	168,708
6	BA-H59-42-int	C22 alcano	15	29,983
6	BA-H59-42-int	C18:0	16	0,002
6	BA-H59-42-int	C23 alcano	17	69,585
6	BA-H59-42-int	C20-OH	18	3,979
6	BA-H59-42-int	C24 alcano	22	83,671
6	BA-H59-42-int	C25 alcano	23	141,768
6	BA-H59-42-int	C22-OH	25	64,165
6	BA-H59-42-int	C26 alcano	26	134,138
6	BA-H59-42-int	C27 alcano	27	184,167
6	BA-H59-42-int	C24-OH	28	7,033
6	BA-H59-42-int	C28 alcano	30	126,391
6	BA-H59-42-int	Escualeno	31	0,028
6	BA-H59-42-int	C29 alcano	32	132,501
6	BA-H59-42-int	C26-OH	33	47,200
6	BA-H59-42-int	C31 alcano	36	229,310
6	BA-H59-42-int	Colesterol	37	143,362
6	BA-H59-42-int	C28-OH	38	30,786
6	BA-H59-42-int	Estigmasterol	40	42,527
6	BA-H59-42-int	$\beta$ -Sitosterol	42	110,081
6	BA-H59-42-int	C30-OH	43	41,050
6	BA-H59-42-int	Patrón interno C34H70	44	25,000
6	BA-H59-42-int	C32-OH	45	40,380
40	BA-H9-50.5	C14-OH	1	0,104
40	BA-H9-50.5	Ftalato	2	0,149
40	BA-H9-50.5	C16-OH	3	0,326
40	BA-H9-50.5	C16:0	4	0,035
40	BA-H9-50.5	C18-OH	5	0,201
40	BA-H9-50.5	C27 alcano	6	0,153

Anexo VIII. Cuantificación de los compuestos detectados por GC/MS en las muestras analizadas

Código	Nº inventario pieza	Compuesto detectado	Numero de pico	Analito (extracto lipídico) µg g <sup>-1</sup>
40	BA-H9-50.5	Escualeno	7	0,144
40	BA-H9-50.5	C29 alcano	8	0,320
40	BA-H9-50.5	C30 alcano	9	0,149
40	BA-H9-50.5	C31 alcano	10	0,506
40	BA-H9-50.5	C32 alcano	11	0,238
40	BA-H9-50.5	C33 alcano	12	0,151
40	BA-H9-50.5	Patrón interno C34H70	13	25,000
40	BA-H9-50.5	C35 alcano	14	0,082
EMM002	BA-H9-90	C16:0	1	1,707
EMM002	BA-H9-90	C18:0	2	2,450
EMM002	BA-H9-90	Patrón interno C34H70	3	24,760
28	BAR-H76-1	C14-OH	1	0,024
28	BAR-H76-1	C16-OH	3	0,089
28	BAR-H76-1	C21 alcano	4	0,020
28	BAR-H76-1	C16:0	5	0,294
28	BAR-H76-1	C21 alcano	6	0,021
28	BAR-H76-1	C22 alcano	7	0,020
28	BAR-H76-1	C18:1	8	0,020
28	BAR-H76-1	C18:0	9	0,272
28	BAR-H76-1	C23 alcano	10	0,009
28	BAR-H76-1	Ftalato	11	0,022
28	BAR-H76-1	C27 alcano	12	0,037
28	BAR-H76-1	Escualeno	13	0,194
28	BAR-H76-1	C29 alcano	14	0,046
28	BAR-H76-1	C30 alcano	15	0,035
28	BAR-H76-1	Colesterol	16	0,100
28	BAR-H76-1	β-Sitosterol	17	0,014
28	BAR-H76-1	C33 alcano	18	0,048
28	BAR-H76-1	Patrón interno C34H70	19	25,000
EMM017	G-MS-188	Ftalato	1	17,704
EMM017	G-MS-188	Patrón interno C34H70	2	24,760
EMM004	G-MS-316	Ftalato	1	23,996
EMM004	G-MS-316	Patrón interno C34H70	2	24,760
EMM018	G-ZB-2881	Ftalato	1	3,830
EMM018	G-ZB-2881-RES4	Patrón interno C34H70	2	24,760
EMM006	G-ZC-1030	Ftalato	1	54,319
EMM006	G-ZC-1030	Patrón interno C34H70	2	24,760
EMM007	G-ZC-1195	Ftalato	1	191,355
EMM007	G-ZC-1195	Patrón interno C34H70	2	24,760
EMM003	G-ZC-209A1	Ftalato	1	31,648
EMM003	G-ZC-209A1	Patrón interno C34H70	2	24,760
EMM005	G-ZC-876	Ftalato	1	23,819
EMM005	G-ZC-876	Patrón interno C34H70	2	24,760

Anexo VIII. Cuantificación de los compuestos detectados por GC/MS en las muestras analizadas

Código	Nº inventario pieza	Compuesto detectado	Numero de pico	Analito (extracto lipídico) µg g <sup>-1</sup>
EMM010	TL-H7-115	Ftalato	1	29,607
EMM010	TL-H7-115	Patrón interno C34H70	2	24,760
P1	AR91/L9	C12:0	1	1,464
P1	AR91/L9	C13:0	2	0,174
P1	AR91/L9	C14:1	3	0,134
P1	AR91/L9	C14:0	4	5,064
P1	AR91/L9	C15:0	5	0,261
P1	AR91/L9	C16:1	6	0,240
P1	AR91/L9	C16:0	7	0,208
P1	AR91/L9	C20 alcano	8	0,822
P1	AR91/L9	Ftalato	9	0,319
P1	AR91/L9	C27 alcano	10	0,477
P1	AR91/L9	C24:0	11	0,114
P1	AR91/L9	C29 alcano	12	0,516
P1	AR91/L9	C26-OH	13	0,226
P1	AR91/L9	C30 alcano	14	0,076
P1	AR91/L9	Colesterol	15	0,477
P1	AR91/L9	C31 alcano	16	0,510
P1	AR91/L9	C28-OH	17	0,161
P1	AR91/L9	C32 alcano	18	0,108
P1	AR91/L9	C33 alcano	19	0,207
P1	AR91/L9	C30-OH	20	0,284
P1	AR91/L9	Patrón interno C34H70	21	25,000
P1	AR91/L9	C32-OH	22	1,327
P1	AR91/L9	C36 alcano	23	0,246
P1	AR91/L9	C34-OH	24	0,243
P1	AR91/L9	Estér de cera C38	25	0,207
P1	AR91/L9	Estér de cera C40	26	5,292
P1	AR91/L9	Estér de cera C42	27	5,099
P1	AR91/L9	Estér de cera C44	28	5,383
P1	AR91/L9	Estér de cera C46	29	11,827
P1	AR91/L9	Estér de cera C48	30	6,133
P1	AR91/L9	Estér de cera C50	31	0,927
31	BA-H3-75	C14:0	1	0,024
31	BA-H3-75	C16:1	2	0,003
31	BA-H3-75	C16:0	3	0,306
31	BA-H3-75	C26 alcano	4	0,002
31	BA-H3-75	C27 alcano	5	0,087
31	BA-H3-75	C24-OH	6	0,100
31	BA-H3-75	C18:0	7	0,751
31	BA-H3-75	C24:0	8	0,013
31	BA-H3-75	C29 alcano	9	0,060
31	BA-H3-75	C26-OH	10	0,103

Anexo VIII. Cuantificación de los compuestos detectados por GC/MS en las muestras analizadas

Código	Nº inventario pieza	Compuesto detectado	Numero de pico	Analito (extracto lipídico) $\mu\text{g g}^{-1}$
31	BA-H3-75	C30 alcano	11	0,023
31	BA-H3-75	C31 alcano	12	0,029
31	BA-H3-75	Colesterol	13	0,069
31	BA-H3-75	C28-OH	14	0,174
31	BA-H3-75	C30-OH	15	0,508
31	BA-H3-75	Patrón interno C34H70	16	25,000
31	BA-H3-75	C32-OH	17	0,425
31	BA-H3-75	C34-OH	18	0,033
31	BA-H3-75	Estér de cera C40	19	0,209
31	BA-H3-75	Estér de cera C42	20	0,272
31	BA-H3-75	Estér de cera C44	21	0,438
31	BA-H3-75	Estér de cera C46	22	1,150
31	BA-H3-75	Estér de cera C48	23	0,877
31	BA-H3-75	Estér de cera C50	24	0,075
P2	FA-3342	C12:0	1	0,390
P2	FA-3342	C13:0	2	0,099
P2	FA-3342	Ftalato	3	1,333
P2	FA-3342	C14:0	4	1,211
P2	FA-3342	Ftalato	5	1,506
P2	FA-3342	C15:0	6	0,305
P2	FA-3342	C16-OH	7	0,035
P2	FA-3342	C16:1	8	0,109
P2	FA-3342	C16:0	9	1,183
P2	FA-3342	C18-OH	10	0,100
P2	FA-3342	C18:1	11	0,048
P2	FA-3342	C18:0	12	0,102
P2	FA-3342	Ácido dehidroabiético	13	0,136
P2	FA-3342	Ftalato	14	0,521
P2	FA-3342	C27 alcano	15	0,409
P2	FA-3342	C24-OH	16	0,163
P2	FA-3342	C24:0	17	0,267
P2	FA-3342	C29 alcano	18	0,346
P2	FA-3342	C26-OH	19	0,397
P2	FA-3342	C31 alcano	20	0,379
P2	FA-3342	C28-OH	21	0,404
P2	FA-3342	C32 alcano	22	0,070
P2	FA-3342	C33 alcano	23	0,073
P2	FA-3342	C30-OH	24	2,145
P2	FA-3342	Patrón interno C34H70	25	25,000
P2	FA-3342	C32-OH	26	2,701
P2	FA-3342	C36 alcano	27	0,212
P2	FA-3342	C34-OH	28	0,344
P2	FA-3342	Estér de cera C40	29	2,157



Anexo VIII. Cuantificación de los compuestos detectados por GC/MS en las muestras analizadas

Código	Nº inventario pieza	Compuesto detectado	Numero de pico	Analito (extracto lipídico) $\mu\text{g g}^{-1}$
P2	FA-3342	Estér de cera C42	30	2,900
P2	FA-3342	Estér de cera C44	31	4,510
P2	FA-3342	Estér de cera C46	32	9,957
P2	FA-3342	Estér de cera C48	33	5,309
P2	FA-3342	Estér de cera C50	34	0,724
10	FA-3933	C12:0	1	0,023
10	FA-3933	C14:0	2	0,129
10	FA-3933	C15:0	4	0,017
10	FA-3933	C16-OH	6	0,024
10	FA-3933	C16:0	7	0,065
10	FA-3933	C18-OH	8	0,028
10	FA-3933	C25 alcano	9	0,027
10	FA-3933	C24-OH	10	0,105
10	FA-3933	C28 alcano	11	0,192
10	FA-3933	C26-OH	12	0,128
10	FA-3933	C31 alcano	13	0,031
10	FA-3933	COLESTEROL	14	0,105
10	FA-3933	C28-OH	15	0,166
10	FA-3933	C30-OH	16	0,470
10	FA-3933	Patrón interno C34H70	17	25,000
10	FA-3933	C32-OH	18	0,469
10	FA-3933	C34-OH	19	0,044
10	FA-3933	Estér de cera C40	20	0,666
10	FA-3933	Estér de cera C42	21	0,964
10	FA-3933	Escualeno	22	0,411
EMM014	BA-BA60-1	Ftalato	1	9,254
EMM014	BA-BA60-1	C16:0	2	55,209
EMM014	BA-BA60-1	C16:1	3	1,894
EMM014	BA-BA60-1	C21 alcano	5	0,434
EMM014	BA-BA60-1	C18:1	6	3,774
EMM014	BA-BA60-1	C18:0	7	4,434
EMM014	BA-BA60-1	C23 alcano	8	8,189
EMM014	BA-BA60-1	C20:0	9	0,465
EMM014	BA-BA60-1	C21:0	10	0,253
EMM014	BA-BA60-1	C25 alcano	11	17,921
EMM014	BA-BA60-1	C22:0	12	2,400
EMM014	BA-BA60-1	C27 alcano	14	94,881
EMM014	BA-BA60-1	C24:0	15	26,417
EMM014	BA-BA60-1	C24-OH	16	4,864
EMM014	BA-BA60-1	C29 alcano	17	66,849
EMM014	BA-BA60-1	C26:0	18	11,721
EMM014	BA-BA60-1	C26-OH	19	3,297
EMM014	BA-BA60-1	C31 alcano	20	7,122

Anexo VIII. Cuantificación de los compuestos detectados por GC/MS en las muestras analizadas

Código	Nº inventario pieza	Compuesto detectado	Numero de pico	Analito (extracto lipídico) $\mu\text{g g}^{-1}$
EMM014	BA-BA60-1	C28:0	21	8,981
EMM014	BA-BA60-1	C28-OH	22	2,480
EMM014	BA-BA60-1	C30-OH	23	4,945
EMM014	BA-BA60-1	C30:0	23	4,050
EMM014	BA-BA60-1	Patrón interno C34H70	24	24,760
EMM014	BA-BA60-1	C32-OH	25	10,418
EMM014	BA-BA60-1	Estér de cera C40	26	135,328
EMM014	BA-BA60-1	Estér de cera C42	27	81,735
EMM014	BA-BA60-1	Estér de cera C44	28	62,806
EMM014	BA-BA60-1	Estér de cera C46	29	84,543
EMM014	BA-BA60-1	Estér de cera C48	30	39,757

## **Anexo IX. Imágenes de las piezas muestreadas**

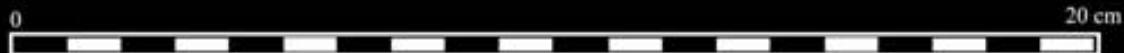
AR91-L9



FA-3933



FA-3342



BA-H3-75



BA-H3-154





AY-AY11-15



AY\_AY17\_12



AY\_AY18\_11



AY\_AY18\_13



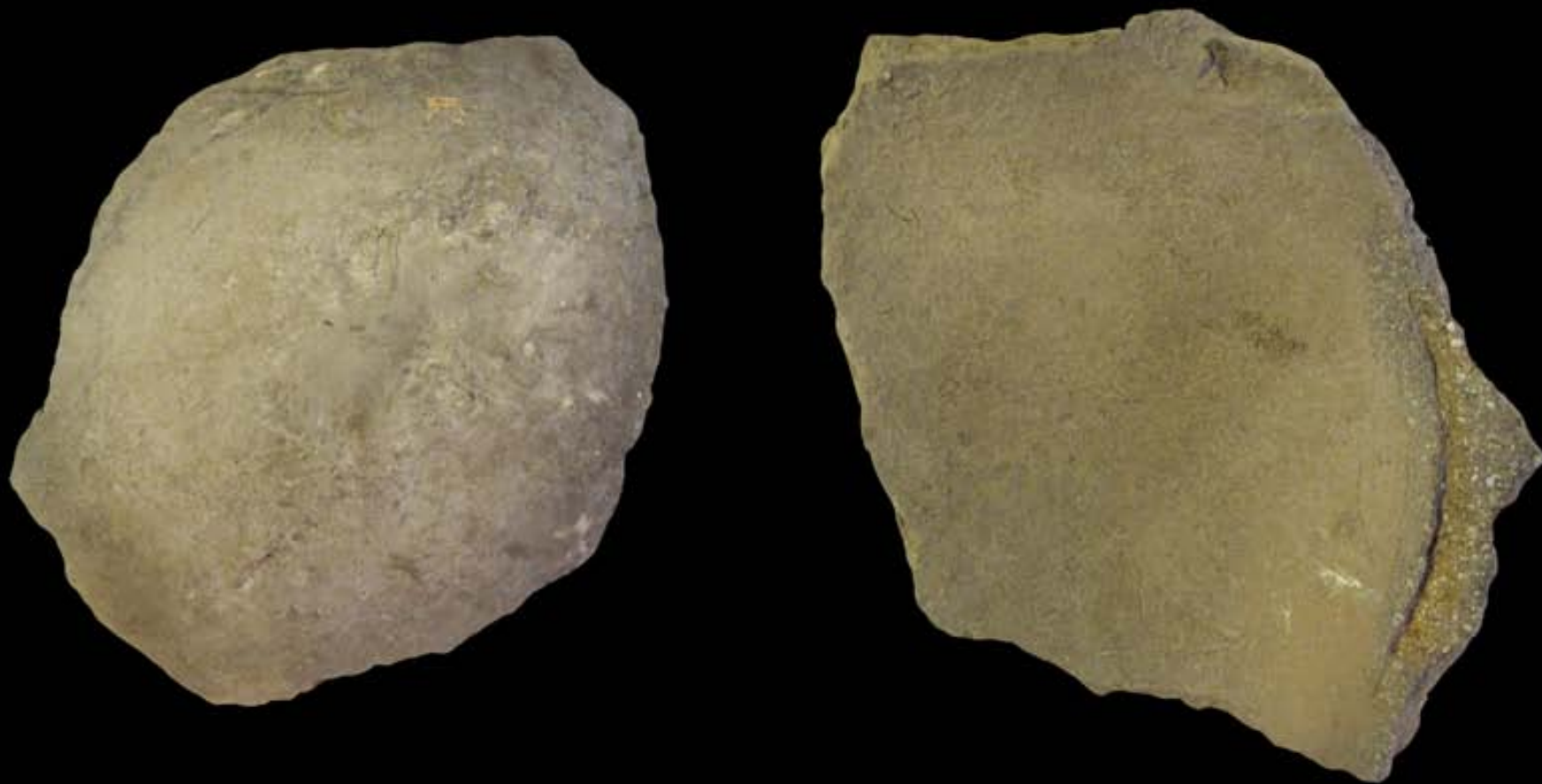
AY-AY3-19



AY-H10-208



AY-H10-298



AY-H10-300





AY-H10-301



AY-H11-58



AY-H11-87



AY-H11-92



AY\_H1\_8



AY\_H9\_64



AY\_H9\_98



BA-BA14-6





BA-BA18-43



BA-BA33-6



BA-BA40-10



BA-BA40-9



BA-BA58-1



BA-BA60-1



BA-BA60-1-RES3



BA-BA60-31





BA-BA63-23



BA-BA65-9



BA-BA77b-16



BA-BA78-10



0

20 cm



BA-BA78-33



0

20 cm



BA-BA80-11



BA-H10-1



0

10 cm



BA-H10-42





BA-H12-124



BA-H12-8



0

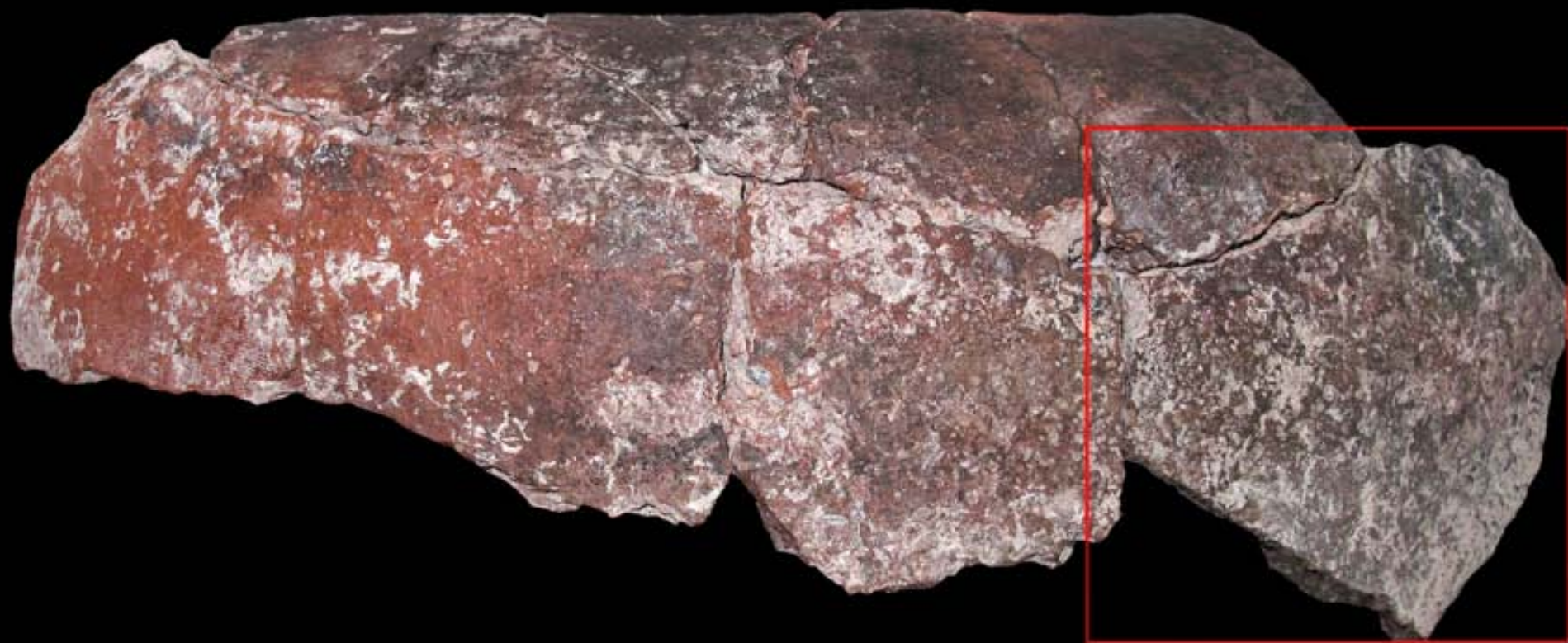
10 cm



BA-H2-140.2

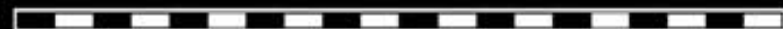


BA-H2-148.2



0

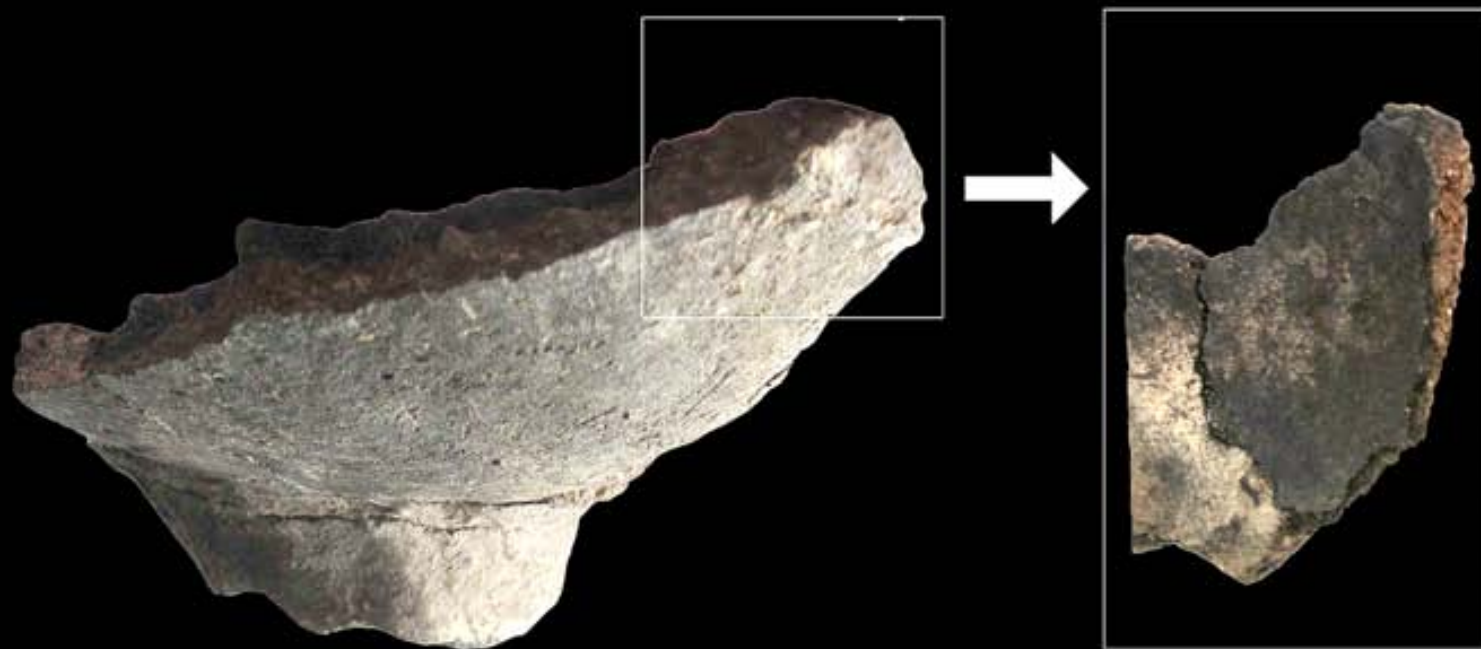
20 cm



BA-H2-137



BA-H2-167



BA-H2-175.22



BA-H2-175.9





BA-H2-224



BA-H2-316



BA-H2-82-RES4



BA-H3-108.7



0

10 cm



BA-H3-89



BA-H3-83



BA-H3-160



BA-H3-72





BA-H3-92



BA-H3-21



BA-H3-29



BA-H3-54



0

10 cm



BA-H3-59



BA-H3 60



BA-H35-477



BA-H3-65.10





BA-H3-78



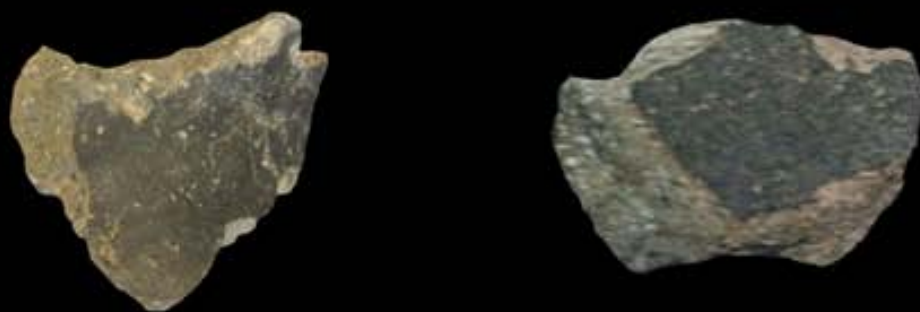
BA-H3-9



BA-H54-174



BA-H5-51



0

10 cm



BA-H59-35



0 10 cm

BA-H59-42



BA-H59-42



BA-H7-62.2





BA-H7-68



BA-H7-73.5



BA-H7-80.2



BA\_H7\_92.2



0

10 cm



BA-H9-50.5



0

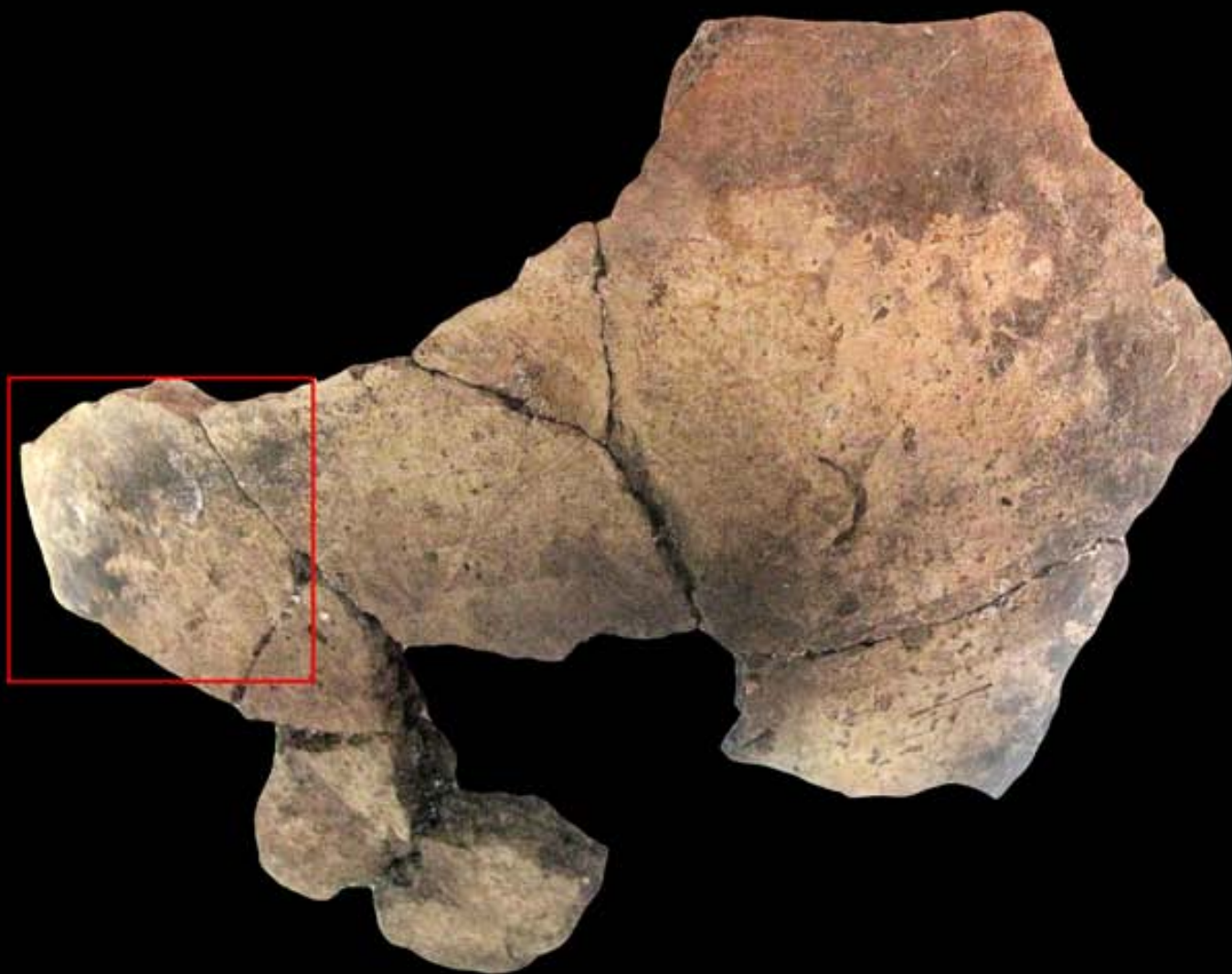
10 cm



BA-H9-85



BA-H9-90



BA-H9-91



0

10 cm





BA-H9-99



BAR-H76-1



BA-V-038



G-MS-188



G-MS-316



G-ZB-2881



G-ZC-1030



G-ZC-1195





G-ZC-209A1



0

10 cm



G-ZC-876



TL-H7-115





## Anexo X Base de datos de los recipientes analizados

Yacimiento  N° Inventario Pieza  Fase yacimiento  Periodización Argárica

Contexto  Ámbito  Conjunto  Estado conservación  Parte conservada

Fragmentación

Forma (Tipo Siret)  Tipo Grosor  Peso (gr)  Capacidad (cm3)  Altura  Altura Parcial  Altura pie (F7)

Diámetro base (F8)  Altura cuenco (F7)  Altura carena al borde  Diámetro boca  Diámetro pie (F7)

Diámetro máximo  Diámetro mínimo de la mitad sup(F4/F5)  Observaciones

Apliques, decoraciones  Acabado cara externa/interna  Tipo cocción  Color Munsell

Contenido  Marcas  Localización pared  Localización zona  Orientación

Trama Estrías

Elementos postdeposicionales  GC-FID  GC-MS  GC-C-IRMS

Localización  Foto

Observaciones

Yacimiento  Nº Inventario Pieza  Fase yacimiento  Periodización Argárica

Contexto  Ámbito  Conjunto  Estado conservación  Parte conservada

Fragmentación

Forma (Tipo Siret)  Tipo Grosor  Peso (gr)  Capacidad (cm3)  Altura  Altura Parcial  Altura pie (F7)

Diámetro base (F8)  Altura cuenco (F7)  Altura carena al borde  Diámetro boca  Diámetro pie (F7)

Diámetro máximo  Diámetro mínimo de la mitad sup(F4/F5)  Observaciones

Apliques, decoraciones  Acabado cara externa/interna  Tipo cocción  Color Munsell

Contenido  Marcas  Localización pared  Localización zona  Orientación

Trama Estrías

Elementos postdeposicionales

GC-FID  GC-MS  GC-C-IRMS

Localización

Foto

Observaciones

Yacimiento  N° Inventario Pieza  Fase yacimiento  Periodización Argárica

Contexto  Ámbito  Conjunto  Estado conservación  Parte conservada

Fragmentación

Forma (Tipo Siret)  Tipo Grosor  Peso (gr)  Capacidad (cm3)  Altura  Altura Parcial  Altura pie (F7)

Diámetro base (F8)  Altura cuenco (F7)  Altura carena al borde  Diámetro boca  Diámetro pie (F7)

Diámetro máximo  Diámetro mínimo de la mitad sup(F4/F5)  Observaciones

Apliques, decoraciones  Acabado cara externa/interna  Tipo cocción  Color Munsell

Contenido  Marcas  Localización pared  Localización zona  Orientación

Trama Estrías

Elementos postdeposicionales

GC-FID

GC-MS

GC-C-IRMS

Localización

Foto

Observaciones

Yacimiento  N° Inventario Pieza  Fase yacimiento  Periodización Argárica

Contexto  Ámbito  Conjunto  Estado conservación  Parte conservada

Fragmentación

Forma (Tipo Siret)  Tipo Grosor  Peso (gr)  Capacidad (cm3)  Altura  Altura Parcial  Altura pie (F7)

Diámetro base (F8)  Altura cuenco (F7)  Altura carena al borde  Diámetro boca  Diámetro pie (F7)

Diámetro máximo  Diámetro mínimo de la mitad sup(F4/F5)  Observaciones

Apliques, decoraciones  Acabado cara externa/interna  Tipo cocción  Color Munsell

Contenido  Marcas  Localización pared  Localización zona  Orientación

Trama Estrías

Elementos postdeposicionales  GC-FID  GC-MS  GC-C-IRMS

Localización  Foto

Observaciones

Yacimiento  N° Inventario Pieza  Fase yacimiento  Periodización Argárica

Contexto  Ámbito  Conjunto  Estado conservación  Parte conservada

Fragmentación

Forma (Tipo Siret)  Tipo Grosor  Peso (gr)  Capacidad (cm3)  Altura  Altura Parcial  Altura pie (F7)

Diámetro base (F8)  Altura cuenco (F7)  Altura carena al borde  Diámetro boca  Diámetro pie (F7)

Diámetro máximo  Diámetro mínimo de la mitad sup(F4/F5)  Observaciones

Apliques, decoraciones  Acabado cara externa/interna  Tipo cocción  Color Munsell

Contenido  Marcas  Localización pared  Localización zona  Orientación

Trama Estrías

Elementos postdeposicionales  GC-FID  GC-MS  GC-C-IRMS

Localización  Foto

Observaciones



Yacimiento  N° Inventario Pieza  Fase yacimiento  Periodización Argárica

Contexto  Ámbito  Conjunto  Estado conservación  Parte conservada

Fragmentación

Forma (Tipo Siret)  Tipo Grosor  Peso (gr)  Capacidad (cm<sup>3</sup>)  Altura  Altura Parcial  Altura pie (F7)

Diámetro base (F8)  Altura cuenco (F7)  Altura carena al borde  Diámetro boca  Diámetro pie (F7)

Diámetro máximo  Diámetro mínimo de la mitad sup(F4/F5)  Observaciones

Apliques, decoraciones  Acabado cara externa/interna  Tipo cocción  Color Munsell

Contenido  Marcas  Localización pared  Localización zona  Orientación

Trama Estrías

Elementos postdeposicionales

GC-FID  GC-MS  GC-C-IRMS

Localización

Foto

Observaciones

Yacimiento  N° Inventario Pieza  Fase yacimiento  Periodización Argárica

Contexto  Ámbito  Conjunto  Estado conservación  Parte conservada

Fragmentación

Forma (Tipo Siret)  Tipo Grosor  Peso (gr)  Capacidad (cm3)  Altura  Altura Parcial  Altura pie (F7) 
 Diámetro base (F8)  Altura cuenco (F7)  Altura carena al borde  Diámetro boca  Diámetro pie (F7) 
 Diámetro máximo  Diámetro mínimo de la mitad sup(F4/F5)  Observaciones

Apliques, decoraciones  Acabado cara externa/interna  Tipo cocción  Color Munsell

Contenido  Marcas  Localización pared  Localización zona  Orientación

Trama Estrías

Elementos postdeposicionales  GC-FID  GC-MS  GC-C-IRMS

Localización  Foto

Observaciones

Yacimiento  N° Inventario Pieza  Fase yacimiento  Periodización Argárica

Contexto  Ámbito  Conjunto  Estado conservación  Parte conservada

Fragmentación

Forma (Tipo Siret)  Tipo Grosor  Peso (gr)  Capacidad (cm3)  Altura  Altura Parcial  Altura pie (F7)

Diámetro base (F8)  Altura cuenco (F7)  Altura carena al borde  Diámetro boca  Diámetro pie (F7)

Diámetro máximo  Diámetro mínimo de la mitad sup(F4/F5)  Observaciones

Apliques, decoraciones  Acabado cara externa/interna  Tipo cocción  Color Munsell

Contenido  Marcas  Localización pared  Localización zona  Orientación

Trama Estrías

Elementos postdeposicionales  GC-FID  GC-MS  GC-C-IRMS

Localización  Foto

Observaciones

Yacimiento  N° Inventario Pieza  Fase yacimiento  Periodización Argárica

Contexto  Ámbito  Conjunto  Estado conservación  Parte conservada

Fragmentación

Forma (Tipo Siret)  Tipo Grosor  Peso (gr)  Capacidad (cm3)  Altura  Altura Parcial  Altura pie (F7)

Diámetro base (F8)  Altura cuenco (F7)  Altura carena al borde  Diámetro boca  Diámetro pie (F7)

Diámetro máximo  Diámetro mínimo de la mitad sup(F4/F5)  Observaciones

Apliques, decoraciones  Acabado cara externa/interna  Tipo cocción  Color Munsell

Contenido  Marcas  Localización pared  Localización zona  Orientación

Trama Estrías

Elementos postdeposicionales  GC-FID  GC-MS  GC-C-IRMS

Localización  Foto

Observaciones

Yacimiento  Nº Inventario Pieza  Fase yacimiento  Periodización Argárica

Contexto  Ámbito  Conjunto  Estado conservación  Parte conservada

Fragmentación

Forma (Tipo Siret)  Tipo Grosor  Peso (gr)  Capacidad (cm3)  Altura  Altura Parcial  Altura pie (F7)

Diámetro base (F8)  Altura cuenco (F7)  Altura carena al borde  Diámetro boca  Diámetro pie (F7)

Diámetro máximo  Diámetro mínimo de la mitad sup(F4/F5)  Observaciones

Apliques, decoraciones  Acabado cara externa/interna  Tipo cocción  Color Munsell

Contenido  Marcas  Localización pared  Localización zona  Orientación

Trama Estrías

Elementos postdeposicionales

GC-FID  GC-MS  GC-C-IRMS

Localización

Foto

Observaciones

Yacimiento  N° Inventario Pieza  Fase yacimiento  Periodización Argárica

Contexto  Ámbito  Conjunto  Estado conservación  Parte conservada

Fragmentación

Forma (Tipo Siret)  Tipo Grosor  Peso (gr)  Capacidad (cm<sup>3</sup>)  Altura  Altura Parcial  Altura pie (F7)

Diámetro base (F8)  Altura cuenco (F7)  Altura carena al borde  Diámetro boca  Diámetro pie (F7)

Diámetro máximo  Diámetro mínimo de la mitad sup(F<sub>4</sub>/F<sub>5</sub>)  Observaciones

Apliques, decoraciones  Acabado cara externa/interna  Tipo cocción  Color Munsell

Contenido  Marcas  Localización pared  Localización zona  Orientación

Trama Estrías

Elementos postdeposicionales  GC-FID  GC-MS  GC-C-IRMS

Localización  Foto

Observaciones

Yacimiento  N° Inventario Pieza  Fase yacimiento  Periodización Argárica

Contexto  Ámbito  Conjunto  Estado conservación  Parte conservada

Fragmentación

Forma (Tipo Siret)  Tipo Grosor  Peso (gr)  Capacidad (cm3)  Altura  Altura Parcial  Altura pie (F7)

Diámetro base (F8)  Altura cuenco (F7)  Altura carena al borde  Diámetro boca  Diámetro pie (F7)

Diámetro máximo  Diámetro mínimo de la mitad sup(F4/F5)  Observaciones

Apliques, decoraciones  Acabado cara externa/interna  Tipo cocción  Color Munsell

Contenido  Marcas  Localización pared  Localización zona  Orientación

Trama Estrías

Elementos postdeposicionales

GC-FID  GC-MS  GC-C-IRMS

Localización

Foto

Observaciones

Yacimiento  N° Inventario Pieza  Fase yacimiento  Periodización Argárica

Contexto  Ámbito  Conjunto  Estado conservación  Parte conservada

Fragmentación

Forma (Tipo Siret)  Tipo Grosor  Peso (gr)  Capacidad (cm3)  Altura  Altura Parcial  Altura pie (F7)

Diámetro base (F8)  Altura cuenco (F7)  Altura carena al borde  Diámetro boca  Diámetro pie (F7)

Diámetro máximo  Diámetro mínimo de la mitad sup(F4/F5)  Observaciones

Apliques, decoraciones  Acabado cara externa/interna  Tipo cocción  Color Munsell

Contenido  Marcas  Localización pared  Localización zona  Orientación

Trama Estrías

Elementos postdeposicionales  GC-FID  GC-MS  GC-C-IRMS

Localización  Foto

Observaciones



Yacimiento  N° Inventario Pieza  Fase yacimiento  Periodización Argárica

Contexto  Ámbito  Conjunto  Estado conservación  Parte conservada

Fragmentación

Forma (Tipo Siret)  Tipo Grosor  Peso (gr)  Capacidad (cm3)  Altura  Altura Parcial  Altura pie (F7)

Diámetro base (F8)  Altura cuenco (F7)  Altura carena al borde  Diámetro boca  Diámetro pie (F7)

Diámetro máximo  Diámetro mínimo de la mitad sup(F4/F5)  Observaciones

Apliques, decoraciones  Acabado cara externa/interna  Tipo cocción  Color Munsell

Contenido  Marcas  Localización pared  Localización zona  Orientación

Trama Estrías

Elementos postdeposicionales

GC-FID  GC-MS  GC-C-IRMS

Localización

Foto

Observaciones

Yacimiento  N° Inventario Pieza  Fase yacimiento  Periodización Argárica

Contexto  Ámbito  Conjunto  Estado conservación  Parte conservada

Fragmentación

Forma (Tipo Siret)  Tipo Grosor  Peso (gr)  Capacidad (cm3)  Altura  Altura Parcial  Altura pie (F7)

Diámetro base (F8)  Altura cuenco (F7)  Altura carena al borde  Diámetro boca  Diámetro pie (F7)

Diámetro máximo  Diámetro mínimo de la mitad sup(F4/F5)  Observaciones

Apliques, decoraciones  Acabado cara externa/interna  Tipo cocción  Color Munsell

Contenido  Marcas  Localización pared  Localización zona  Orientación

Trama Estrías

Elementos postdeposicionales  GC-FID  GC-MS  GC-C-IRMS

Localización  Foto

Observaciones

Yacimiento  N° Inventario Pieza  Fase yacimiento  Periodización Argárica

Contexto  Ámbito  Conjunto  Estado conservación  Parte conservada

Fragmentación

Forma (Tipo Siret)  Tipo Grosor  Peso (gr)  Capacidad (cm3)  Altura  Altura Parcial  Altura pie (F7)

Diámetro base (F8)  Altura cuenco (F7)  Altura carena al borde  Diámetro boca  Diámetro pie (F7)

Diámetro máximo  Diámetro mínimo de la mitad sup(F4/F5)  Observaciones

Apliques, decoraciones  Acabado cara externa/interna  Tipo cocción  Color Munsell

Contenido  Marcas  Localización pared  Localización zona  Orientación

Trama Estrías

Elementos postdeposicionales

GC-FID

GC-MS

GC-C-IRMS

Localización

Foto

Observaciones

Yacimiento  N° Inventario Pieza  Fase yacimiento  Periodización Argárica

Contexto  Ámbito  Conjunto  Estado conservación  Parte conservada

Fragmentación

Forma (Tipo Siret)  Tipo Grosor  Peso (gr)  Capacidad (cm3)  Altura  Altura Parcial  Altura pie (F7)

Diámetro base (F8)  Altura cuenco (F7)  Altura carena al borde  Diámetro boca  Diámetro pie (F7)

Diámetro máximo  Diámetro mínimo de la mitad sup(F4/F5)  Observaciones

Apliques, decoraciones  Acabado cara externa/interna  Tipo cocción  Color Munsell

Contenido  Marcas  Localización pared  Localización zona  Orientación

Trama Estrías

Elementos postdeposicionales

GC-FID  GC-MS  GC-C-IRMS

Localización

Foto

Observaciones

Yacimiento  N° Inventario Pieza  Fase yacimiento  Periodización Argárica

Contexto  Ámbito  Conjunto  Estado conservación  Parte conservada

Fragmentación

Forma (Tipo Siret)  Tipo Grosor  Peso (gr)  Capacidad (cm3)  Altura  Altura Parcial  Altura pie (F7)

Diámetro base (F8)  Altura cuenco (F7)  Altura carena al borde  Diámetro boca  Diámetro pie (F7)

Diámetro máximo  Diámetro mínimo de la mitad sup(F4/F5)  Observaciones

Apliques, decoraciones  Acabado cara externa/interna  Tipo cocción  Color Munsell

Contenido  Marcas  Localización pared  Localización zona  Orientación

Trama Estrías

Elementos postdeposicionales  GC-FID  GC-MS  GC-C-IRMS

Localización  Foto

Observaciones

Yacimiento  N° Inventario Pieza  Fase yacimiento  Periodización Argárica

Contexto  Ámbito  Conjunto  Estado conservación  Parte conservada

Fragmentación

Forma (Tipo Siret)  Tipo Grosor  Peso (gr)  Capacidad (cm3)  Altura  Altura Parcial  Altura pie (F7)

Diámetro base (F8)  Altura cuenco (F7)  Altura carena al borde  Diámetro boca  Diámetro pie (F7)

Diámetro máximo  Diámetro mínimo de la mitad sup(F4/F5)  Observaciones

Apliques, decoraciones  Acabado cara externa/interna  Tipo cocción  Color Munsell

Contenido  Marcas  Localización pared  Localización zona  Orientación

Trama Estrías

Elementos postdeposicionales

GC-FID  GC-MS  GC-C-IRMS

Localización

Foto

Observaciones

Yacimiento  N° Inventario Pieza  Fase yacimiento  Periodización Argárica

Contexto  Ámbito  Conjunto  Estado conservación  Parte conservada

Fragmentación

Forma (Tipo Siret)  Tipo Grosor  Peso (gr)  Capacidad (cm3)  Altura  Altura Parcial  Altura pie (F7)

Diámetro base (F8)  Altura cuenco (F7)  Altura carena al borde  Diámetro boca  Diámetro pie (F7)

Diámetro máximo  Diámetro mínimo de la mitad sup(F4/F5)  Observaciones

Apliques, decoraciones  Acabado cara externa/interna  Tipo cocción  Color Munsell

Contenido  Marcas  Localización pared  Localización zona  Orientación

Trama Estrías

Elementos postdeposicionales  GC-FID  GC-MS  GC-C-IRMS

Localización  Foto

Observaciones

Yacimiento  N° Inventario Pieza  Fase yacimiento  Periodización Argárica

Contexto  Ámbito  Conjunto  Estado conservación  Parte conservada

Fragmentación

Forma (Tipo Siret)  Tipo Grosor  Peso (gr)  Capacidad (cm3)  Altura  Altura Parcial  Altura pie (F7)

Diámetro base (F8)  Altura cuenco (F7)  Altura carena al borde  Diámetro boca  Diámetro pie (F7)

Diámetro máximo  Diámetro mínimo de la mitad sup(F4/F5)  Observaciones

Apliques, decoraciones  Acabado cara externa/interna  Tipo cocción  Color Munsell

Contenido  Marcas  Localización pared  Localización zona  Orientación

Trama Estrías

Elementos postdeposicionales  GC-FID  GC-MS  GC-C-IRMS

Localización  Foto

Observaciones



Yacimiento  N° Inventario Pieza  Fase yacimiento  Periodización Argárica

Contexto  Ámbito  Conjunto  Estado conservación  Parte conservada

Fragmentación

Forma (Tipo Siret)  Tipo Grosor  Peso (gr)  Capacidad (cm3)  Altura  Altura Parcial  Altura pie (F7)

Diámetro base (F8)  Altura cuenco (F7)  Altura carena al borde  Diámetro boca  Diámetro pie (F7)

Diámetro máximo  Diámetro mínimo de la mitad sup(F4/F5)  Observaciones

Apliques, decoraciones  Acabado cara externa/interna  Tipo cocción  Color Munsell

Contenido  Marcas  Localización pared  Localización zona  Orientación

Trama Estrías

Elementos postdeposicionales

GC-FID  GC-MS  GC-C-IRMS

Localización

Foto

Observaciones

Yacimiento  N° Inventario Pieza  Fase yacimiento  Periodización Argárica

Contexto  Ámbito  Conjunto  Estado conservación  Parte conservada

Fragmentación

Forma (Tipo Siret)  Tipo Grosor  Peso (gr)  Capacidad (cm3)  Altura  Altura Parcial  Altura pie (F7)

Diámetro base (F8)  Altura cuenco (F7)  Altura carena al borde  Diámetro boca  Diámetro pie (F7)

Diámetro máximo  Diámetro mínimo de la mitad sup(F4/F5)  Observaciones

Apliques, decoraciones  Acabado cara externa/interna  Tipo cocción  Color Munsell

Contenido  Marcas  Localización pared  Localización zona  Orientación

Trama Estrías

Elementos postdeposicionales

GC-FID  GC-MS  GC-C-IRMS

Localización

Foto

Observaciones

Yacimiento  N° Inventario Pieza  Fase yacimiento  Periodización Argárica

Contexto  Ámbito  Conjunto  Estado conservación  Parte conservada

Fragmentación

Forma (Tipo Siret)  Tipo Grosor  Peso (gr)  Capacidad (cm3)  Altura  Altura Parcial  Altura pie (F7)

Diámetro base (F8)  Altura cuenco (F7)  Altura carena al borde  Diámetro boca  Diámetro pie (F7)

Diámetro máximo  Diámetro mínimo de la mitad sup(F4/F5)  Observaciones

Apliques, decoraciones  Acabado cara externa/interna  Tipo cocción  Color Munsell

Contenido  Marcas  Localización pared  Localización zona  Orientación

Trama Estrías

Elementos postdeposicionales

GC-FID  GC-MS  GC-C-IRMS

Localización

Foto

Observaciones

Yacimiento  N° Inventario Pieza  Fase yacimiento  Periodización Argárica

Contexto  Ámbito  Conjunto  Estado conservación  Parte conservada

Fragmentación

Forma (Tipo Siret)  Tipo Grosor  Peso (gr)  Capacidad (cm3)  Altura  Altura Parcial  Altura pie (F7)

Diámetro base (F8)  Altura cuenco (F7)  Altura carena al borde  Diámetro boca  Diámetro pie (F7)

Diámetro máximo  Diámetro mínimo de la mitad sup(F4/F5)  Observaciones

Apliques, decoraciones  Acabado cara externa/interna  Tipo cocción  Color Munsell

Contenido  Marcas  Localización pared  Localización zona  Orientación

Trama Estrías

Elementos postdeposicionales

GC-FID  GC-MS  GC-C-IRMS

Localización

Foto

Observaciones

Yacimiento  N° Inventario Pieza  Fase yacimiento  Periodización Argárica

Contexto  Ámbito  Conjunto  Estado conservación  Parte conservada

Fragmentación

Forma (Tipo Siret)  Tipo Grosor  Peso (gr)  Capacidad (cm3)  Altura  Altura Parcial  Altura pie (F7)

Diámetro base (F8)  Altura cuenco (F7)  Altura carena al borde  Diámetro boca  Diámetro pie (F7)

Diámetro máximo  Diámetro mínimo de la mitad sup(F4/F5)  Observaciones

Apliques, decoraciones  Acabado cara externa/interna  Tipo cocción  Color Munsell

Contenido  Marcas  Localización pared  Localización zona  Orientación

Trama Estrías

Elementos postdeposicionales  GC-FID  GC-MS  GC-C-IRMS

Localización  Foto

Observaciones

Yacimiento  N° Inventario Pieza  Fase yacimiento  Periodización Argárica

Contexto  Ámbito  Conjunto  Estado conservación  Parte conservada

Fragmentación

Forma (Tipo Siret)  Tipo Grosor  Peso (gr)  Capacidad (cm3)  Altura  Altura Parcial  Altura pie (F7)

Diámetro base (F8)  Altura cuenco (F7)  Altura carena al borde  Diámetro boca  Diámetro pie (F7)

Diámetro máximo  Diámetro mínimo de la mitad sup(F4/F5)  Observaciones

Apliques, decoraciones  Acabado cara externa/interna  Tipo cocción  Color Munsell

Contenido  Marcas  Localización pared  Localización zona  Orientación

Trama Estrías

Elementos postdeposicionales

GC-FID  GC-MS  GC-C-IRMS

Localización

Foto

Observaciones

Yacimiento  N° Inventario Pieza  Fase yacimiento  Periodización Argárica

Contexto  Ámbito  Conjunto  Estado conservación  Parte conservada

Fragmentación

Forma (Tipo Siret)  Tipo Grosor  Peso (gr)  Capacidad (cm3)  Altura  Altura Parcial  Altura pie (F7)

Diámetro base (F8)  Altura cuenco (F7)  Altura carena al borde  Diámetro boca  Diámetro pie (F7)

Diámetro máximo  Diámetro mínimo de la mitad sup(F4/F5)  Observaciones

Apliques, decoraciones  Acabado cara externa/interna  Tipo cocción  Color Munsell

Contenido  Marcas  Localización pared  Localización zona  Orientación

Trama Estrías

Elementos postdeposicionales

GC-FID  GC-MS  GC-C-IRMS

Localización

Foto

Observaciones

Yacimiento  N° Inventario Pieza  Fase yacimiento  Periodización Argárica

Contexto  Ámbito  Conjunto  Estado conservación  Parte conservada

Fragmentación

Forma (Tipo Siret)  Tipo Grosor  Peso (gr)  Capacidad (cm3)  Altura  Altura Parcial  Altura pie (F7)

Diámetro base (F8)  Altura cuenco (F7)  Altura carena al borde  Diámetro boca  Diámetro pie (F7)

Diámetro máximo  Diámetro mínimo de la mitad sup(F4/F5)  Observaciones

Apliques, decoraciones  Acabado cara externa/interna  Tipo cocción  Color Munsell

Contenido  Marcas  Localización pared  Localización zona  Orientación

Trama Estrías

Elementos postdeposicionales

GC-FID  GC-MS  GC-C-IRMS

Localización

Foto

Observaciones



Yacimiento  N° Inventario Pieza  Fase yacimiento  Periodización Argárica

Contexto  Ámbito  Conjunto  Estado conservación  Parte conservada

Fragmentación

Forma (Tipo Siret)  Tipo Grosor  Peso (gr)  Capacidad (cm3)  Altura  Altura Parcial  Altura pie (F7)

Diámetro base (F8)  Altura cuenco (F7)  Altura carena al borde  Diámetro boca  Diámetro pie (F7)

Diámetro máximo  Diámetro mínimo de la mitad sup(F4/F5)  Observaciones

Apliques, decoraciones  Acabado cara externa/interna  Tipo cocción  Color Munsell

Contenido  Marcas  Localización pared  Localización zona  Orientación

Trama Estrías

Elementos postdeposicionales  GC-FID  GC-MS  GC-C-IRMS

Localización  Foto

Observaciones

Yacimiento  N° Inventario Pieza  Fase yacimiento  Periodización Argárica

Contexto  Ámbito  Conjunto  Estado conservación  Parte conservada

Fragmentación

Forma (Tipo Siret)  Tipo Grosor  Peso (gr)  Capacidad (cm3)  Altura  Altura Parcial  Altura pie (F7)

Diámetro base (F8)  Altura cuenco (F7)  Altura carena al borde  Diámetro boca  Diámetro pie (F7)

Diámetro máximo  Diámetro mínimo de la mitad sup(F4/F5)  Observaciones

Apliques, decoraciones  Acabado cara externa/interna  Tipo cocción  Color Munsell

Contenido  Marcas  Localización pared  Localización zona  Orientación

Trama Estrías

Elementos postdeposicionales

GC-FID  GC-MS  GC-C-IRMS

Localización

Foto

Observaciones

Yacimiento  N° Inventario Pieza  Fase yacimiento  Periodización Argárica

Contexto  Ámbito  Conjunto  Estado conservación  Parte conservada

Fragmentación

Forma (Tipo Siret)  Tipo Grosor  Peso (gr)  Capacidad (cm3)  Altura  Altura Parcial  Altura pie (F7)

Diámetro base (F8)  Altura cuenco (F7)  Altura carena al borde  Diámetro boca  Diámetro pie (F7)

Diámetro máximo  Diámetro mínimo de la mitad sup(F4/F5)  Observaciones

Apliques, decoraciones  Acabado cara externa/interna  Tipo cocción  Color Munsell

Contenido  Marcas  Localización pared  Localización zona  Orientación

Trama Estrías

Elementos postdeposicionales

GC-FID  GC-MS  GC-C-IRMS

Localización

Foto

Observaciones

Yacimiento  N° Inventario Pieza  Fase yacimiento  Periodización Argárica

Contexto  Ámbito  Conjunto  Estado conservación  Parte conservada

Fragmentación

Forma (Tipo Siret)  Tipo Grosor  Peso (gr)  Capacidad (cm3)  Altura  Altura Parcial  Altura pie (F7)

Diámetro base (F8)  Altura cuenco (F7)  Altura carena al borde  Diámetro boca  Diámetro pie (F7)

Diámetro máximo  Diámetro mínimo de la mitad sup(F4/F5)  Observaciones

Apliques, decoraciones  Acabado cara externa/interna  Tipo cocción  Color Munsell

Contenido  Marcas  Localización pared  Localización zona  Orientación

Trama Estrías

Elementos postdeposicionales

GC-FID  GC-MS  GC-C-IRMS

Localización

Foto

Observaciones

Yacimiento  N° Inventario Pieza  Fase yacimiento  Periodización Argárica

Contexto  Ámbito  Conjunto  Estado conservación  Parte conservada

Fragmentación

Forma (Tipo Siret)  Tipo Grosor  Peso (gr)  Capacidad (cm3)  Altura  Altura Parcial  Altura pie (F7)

Diámetro base (F8)  Altura cuenco (F7)  Altura carena al borde  Diámetro boca  Diámetro pie (F7)

Diámetro máximo  Diámetro mínimo de la mitad sup(F4/F5)  Observaciones

Apliques, decoraciones  Acabado cara externa/interna  Tipo cocción  Color Munsell

Contenido  Marcas  Localización pared  Localización zona  Orientación

Trama Estrías

Elementos postdeposicionales

GC-FID  GC-MS  GC-C-IRMS

Localización

Foto

Observaciones

Yacimiento  N° Inventario Pieza  Fase yacimiento  Periodización Argárica

Contexto  Ámbito  Conjunto  Estado conservación  Parte conservada

Fragmentación

Forma (Tipo Siret)  Tipo Grosor  Peso (gr)  Capacidad (cm3)  Altura  Altura Parcial  Altura pie (F7)

Diámetro base (F8)  Altura cuenco (F7)  Altura carena al borde  Diámetro boca  Diámetro pie (F7)

Diámetro máximo  Diámetro mínimo de la mitad sup(F4/F5)  Observaciones

Apliques, decoraciones  Acabado cara externa/interna  Tipo cocción  Color Munsell

Contenido  Marcas  Localización pared  Localización zona  Orientación

Trama Estrías

Elementos postdeposicionales

GC-FID  GC-MS  GC-C-IRMS

Localización

Foto

Observaciones

Yacimiento  N° Inventario Pieza  Fase yacimiento  Periodización Argárica

Contexto  Ámbito  Conjunto  Estado conservación  Parte conservada

Fragmentación

Forma (Tipo Siret)  Tipo Grosor  Peso (gr)  Capacidad (cm3)  Altura  Altura Parcial  Altura pie (F7)

Diámetro base (F8)  Altura cuenco (F7)  Altura carena al borde  Diámetro boca  Diámetro pie (F7)

Diámetro máximo  Diámetro mínimo de la mitad sup(F4/F5)  Observaciones

Apliques, decoraciones  Acabado cara externa/interna  Tipo cocción  Color Munsell

Contenido  Marcas  Localización pared  Localización zona  Orientación

Trama Estrías

Elementos postdeposicionales

GC-FID  GC-MS  GC-C-IRMS

Localización

Foto

Observaciones

Yacimiento  N° Inventario Pieza  Fase yacimiento  Periodización Argárica

Contexto  Ámbito  Conjunto  Estado conservación  Parte conservada

Fragmentación

Forma (Tipo Siret)  Tipo Grosor  Peso (gr)  Capacidad (cm3)  Altura  Altura Parcial  Altura pie (F7)

Diámetro base (F8)  Altura cuenco (F7)  Altura carena al borde  Diámetro boca  Diámetro pie (F7)

Diámetro máximo  Diámetro mínimo de la mitad sup(F4/F5)  Observaciones

Apliques, decoraciones  Acabado cara externa/interna  Tipo cocción  Color Munsell

Contenido  Marcas  Localización pared  Localización zona  Orientación

Trama Estrías

Elementos postdeposicionales

GC-FID  GC-MS  GC-C-IRMS

Localización

Foto

Observaciones



Yacimiento  N° Inventario Pieza  Fase yacimiento  Periodización Argárica

Contexto  Ámbito  Conjunto  Estado conservación  Parte conservada

Fragmentación

Forma (Tipo Siret)  Tipo Grosor  Peso (gr)  Capacidad (cm3)  Altura  Altura Parcial  Altura pie (F7)

Diámetro base (F8)  Altura cuenco (F7)  Altura carena al borde  Diámetro boca  Diámetro pie (F7)

Diámetro máximo  Diámetro mínimo de la mitad sup(F4/F5)  Observaciones

Apliques, decoraciones  Acabado cara externa/interna  Tipo cocción  Color Munsell

Contenido  Marcas  Localización pared  Localización zona  Orientación

Trama Estrías

Elementos postdeposicionales

GC-FID  GC-MS  GC-C-IRMS

Localización

Foto

Observaciones

Yacimiento  N° Inventario Pieza  Fase yacimiento  Periodización Argárica

Contexto  Ámbito  Conjunto  Estado conservación  Parte conservada

Fragmentación

Forma (Tipo Siret)  Tipo Grosor  Peso (gr)  Capacidad (cm3)  Altura  Altura Parcial  Altura pie (F7)

Diámetro base (F8)  Altura cuenco (F7)  Altura carena al borde  Diámetro boca  Diámetro pie (F7)

Diámetro máximo  Diámetro mínimo de la mitad sup(F4/F5)  Observaciones

Apliques, decoraciones  Acabado cara externa/interna  Tipo cocción  Color Munsell

Contenido  Marcas  Localización pared  Localización zona  Orientación

Trama Estrías

Elementos postdeposicionales

GC-FID  GC-MS  GC-C-IRMS

Localización

Foto

Observaciones

Yacimiento  N° Inventario Pieza  Fase yacimiento  Periodización Argárica

Contexto  Ámbito  Conjunto  Estado conservación  Parte conservada

Fragmentación

Forma (Tipo Siret)  Tipo Grosor  Peso (gr)  Capacidad (cm3)  Altura  Altura Parcial  Altura pie (F7)

Diámetro base (F8)  Altura cuenco (F7)  Altura carena al borde  Diámetro boca  Diámetro pie (F7)

Diámetro máximo  Diámetro mínimo de la mitad sup(F4/F5)  Observaciones

Apliques, decoraciones  Acabado cara externa/interna  Tipo cocción  Color Munsell

Contenido  Marcas  Localización pared  Localización zona  Orientación

Trama Estrías

Elementos postdeposicionales

GC-FID  GC-MS  GC-C-IRMS

Localización

Foto

Observaciones

Yacimiento  N° Inventario Pieza  Fase yacimiento  Periodización Argárica

Contexto  Ámbito  Conjunto  Estado conservación  Parte conservada

Fragmentación

Forma (Tipo Siret)  Tipo Grosor  Peso (gr)  Capacidad (cm3)  Altura  Altura Parcial  Altura pie (F7)

Diámetro base (F8)  Altura cuenco (F7)  Altura carena al borde  Diámetro boca  Diámetro pie (F7)

Diámetro máximo  Diámetro mínimo de la mitad sup(F4/F5)  Observaciones

Apliques, decoraciones  Acabado cara externa/interna  Tipo cocción  Color Munsell

Contenido  Marcas  Localización pared  Localización zona  Orientación

Trama Estrías

Elementos postdeposicionales

GC-FID  GC-MS  GC-C-IRMS

Localización

Foto

Observaciones

Yacimiento  N° Inventario Pieza  Fase yacimiento  Periodización Argárica

Contexto  Ámbito  Conjunto  Estado conservación  Parte conservada

Fragmentación

Forma (Tipo Siret)  Tipo Grosor  Peso (gr)  Capacidad (cm3)  Altura  Altura Parcial  Altura pie (F7)

Diámetro base (F8)  Altura cuenco (F7)  Altura carena al borde  Diámetro boca  Diámetro pie (F7)

Diámetro máximo  Diámetro mínimo de la mitad sup(F4/F5)  Observaciones

Apliques, decoraciones  Acabado cara externa/interna  Tipo cocción  Color Munsell

Contenido  Marcas  Localización pared  Localización zona  Orientación

Trama Estrías

Elementos postdeposicionales

GC-FID  GC-MS  GC-C-IRMS

Localización

Foto

Observaciones

Yacimiento  N° Inventario Pieza  Fase yacimiento  Periodización Argárica

Contexto  Ámbito  Conjunto  Estado conservación  Parte conservada

Fragmentación

Forma (Tipo Siret)  Tipo Grosor  Peso (gr)  Capacidad (cm3)  Altura  Altura Parcial  Altura pie (F7)

Diámetro base (F8)  Altura cuenco (F7)  Altura carena al borde  Diámetro boca  Diámetro pie (F7)

Diámetro máximo  Diámetro mínimo de la mitad sup(F4/F5)  Observaciones

Apliques, decoraciones  Acabado cara externa/interna  Tipo cocción  Color Munsell

Contenido  Marcas  Localización pared  Localización zona  Orientación

Trama Estrías

Elementos postdeposicionales  GC-FID  GC-MS  GC-C-IRMS

Localización  Foto

Observaciones

Yacimiento  N° Inventario Pieza  Fase yacimiento  Periodización Argárica

Contexto  Ámbito  Conjunto  Estado conservación  Parte conservada

Fragmentación

Forma (Tipo Siret)  Tipo Grosor  Peso (gr)  Capacidad (cm3)  Altura  Altura Parcial  Altura pie (F7)

Diámetro base (F8)  Altura cuenco (F7)  Altura carena al borde  Diámetro boca  Diámetro pie (F7)

Diámetro máximo  Diámetro mínimo de la mitad sup(F4/F5)  Observaciones

Apliques, decoraciones  Acabado cara externa/interna  Tipo cocción  Color Munsell

Contenido  Marcas  Localización pared  Localización zona  Orientación

Trama Estrías

Elementos postdeposicionales

GC-FID  GC-MS  GC-C-IRMS

Localización

Foto

Observaciones

Yacimiento  N° Inventario Pieza  Fase yacimiento  Periodización Argárica

Contexto  Ámbito  Conjunto  Estado conservación  Parte conservada

Fragmentación

Forma (Tipo Siret)  Tipo Grosor  Peso (gr)  Capacidad (cm3)  Altura  Altura Parcial  Altura pie (F7)

Diámetro base (F8)  Altura cuenco (F7)  Altura carena al borde  Diámetro boca  Diámetro pie (F7)

Diámetro máximo  Diámetro mínimo de la mitad sup(F4/F5)  Observaciones

Apliques, decoraciones  Acabado cara externa/interna  Tipo cocción  Color Munsell

Contenido  Marcas  Localización pared  Localización zona  Orientación

Trama Estrías

Elementos postdeposicionales

GC-FID  GC-MS  GC-C-IRMS

Localización

Foto

Observaciones



Yacimiento  N° Inventario Pieza  Fase yacimiento  Periodización Argárica

Contexto  Ámbito  Conjunto  Estado conservación  Parte conservada

Fragmentación

Forma (Tipo Siret)  Tipo Grosor  Peso (gr)  Capacidad (cm3)  Altura  Altura Parcial  Altura pie (F7)

Diámetro base (F8)  Altura cuenco (F7)  Altura carena al borde  Diámetro boca  Diámetro pie (F7)

Diámetro máximo  Diámetro mínimo de la mitad sup(F4/F5)  Observaciones

Apliques, decoraciones  Acabado cara externa/interna  Tipo cocción  Color Munsell

Contenido  Marcas  Localización pared  Localización zona  Orientación

Trama Estrías

Elementos postdeposicionales  GC-FID  GC-MS  GC-C-IRMS

Localización  Foto

Observaciones

Yacimiento  N° Inventario Pieza  Fase yacimiento  Periodización Argárica

Contexto  Ámbito  Conjunto  Estado conservación  Parte conservada

Fragmentación

Forma (Tipo Siret)  Tipo Grosor  Peso (gr)  Capacidad (cm3)  Altura  Altura Parcial  Altura pie (F7)

Diámetro base (F8)  Altura cuenco (F7)  Altura carena al borde  Diámetro boca  Diámetro pie (F7)

Diámetro máximo  Diámetro mínimo de la mitad sup(F4/F5)  Observaciones

Apliques, decoraciones  Acabado cara externa/interna  Tipo cocción  Color Munsell

Contenido  Marcas  Localización pared  Localización zona  Orientación

Trama Estrías

Elementos postdeposicionales

GC-FID  GC-MS  GC-C-IRMS

Localización

Foto

Observaciones

Yacimiento  N° Inventario Pieza  Fase yacimiento  Periodización Argárica

Contexto  Ámbito  Conjunto  Estado conservación  Parte conservada

Fragmentación

Forma (Tipo Siret)  Tipo Grosor  Peso (gr)  Capacidad (cm3)  Altura  Altura Parcial  Altura pie (F7)

Diámetro base (F8)  Altura cuenco (F7)  Altura carena al borde  Diámetro boca  Diámetro pie (F7)

Diámetro máximo  Diámetro mínimo de la mitad sup(F4/F5)  Observaciones

Apliques, decoraciones  Acabado cara externa/interna  Tipo cocción  Color Munsell

Contenido  Marcas  Localización pared  Localización zona  Orientación

Trama Estrías

Elementos postdeposicionales

GC-FID  GC-MS  GC-C-IRMS

Localización

Foto

Observaciones

Yacimiento  N° Inventario Pieza  Fase yacimiento  Periodización Argárica

Contexto  Ámbito  Conjunto  Estado conservación  Parte conservada

Fragmentación

Forma (Tipo Siret)  Tipo Grosor  Peso (gr)  Capacidad (cm3)  Altura  Altura Parcial  Altura pie (F7)

Diámetro base (F8)  Altura cuenco (F7)  Altura carena al borde  Diámetro boca  Diámetro pie (F7)

Diámetro máximo  Diámetro mínimo de la mitad sup(F4/F5)  Observaciones

Apliques, decoraciones  Acabado cara externa/interna  Tipo cocción  Color Munsell

Contenido  Marcas  Localización pared  Localización zona  Orientación

Trama Estrías

Elementos postdeposicionales

GC-FID  GC-MS  GC-C-IRMS

Localización

Foto

Observaciones

Yacimiento  N° Inventario Pieza  Fase yacimiento  Periodización Argárica

Contexto  Ámbito  Conjunto  Estado conservación  Parte conservada

Fragmentación

Forma (Tipo Siret)  Tipo Grosor  Peso (gr)  Capacidad (cm3)  Altura  Altura Parcial  Altura pie (F7)

Diámetro base (F8)  Altura cuenco (F7)  Altura carena al borde  Diámetro boca  Diámetro pie (F7)

Diámetro máximo  Diámetro mínimo de la mitad sup(F4/F5)  Observaciones

Apliques, decoraciones  Acabado cara externa/interna  Tipo cocción  Color Munsell

Contenido  Marcas  Localización pared  Localización zona  Orientación

Trama Estrías

Elementos postdeposicionales

GC-FID  GC-MS  GC-C-IRMS

Localización

Foto

Observaciones

Yacimiento  N° Inventario Pieza  Fase yacimiento  Periodización Argárica

Contexto  Ámbito  Conjunto  Estado conservación  Parte conservada

Fragmentación

Forma (Tipo Siret)  Tipo Grosor  Peso (gr)  Capacidad (cm3)  Altura  Altura Parcial  Altura pie (F7)

Diámetro base (F8)  Altura cuenco (F7)  Altura carena al borde  Diámetro boca  Diámetro pie (F7)

Diámetro máximo  Diámetro mínimo de la mitad sup(F4/F5)  Observaciones

Apliques, decoraciones  Acabado cara externa/interna  Tipo cocción  Color Munsell

Contenido  Marcas  Localización pared  Localización zona  Orientación

Trama Estrías

Elementos postdeposicionales

GC-FID  GC-MS  GC-C-IRMS

Localización

Foto

Observaciones

Yacimiento  N° Inventario Pieza  Fase yacimiento  Periodización Argárica

Contexto  Ámbito  Conjunto  Estado conservación  Parte conservada

Fragmentación

Forma (Tipo Siret)  Tipo Grosor  Peso (gr)  Capacidad (cm3)  Altura  Altura Parcial  Altura pie (F7)

Diámetro base (F8)  Altura cuenco (F7)  Altura carena al borde  Diámetro boca  Diámetro pie (F7)

Diámetro máximo  Diámetro mínimo de la mitad sup(F4/F5)  Observaciones

Apliques, decoraciones  Acabado cara externa/interna  Tipo cocción  Color Munsell

Contenido  Marcas  Localización pared  Localización zona  Orientación

Trama Estrías

Elementos postdeposicionales  GC-FID  GC-MS  GC-C-IRMS

Localización  Foto

Observaciones

Yacimiento  N° Inventario Pieza  Fase yacimiento  Periodización Argárica

Contexto  Ámbito  Conjunto  Estado conservación  Parte conservada

Fragmentación

Forma (Tipo Siret)  Tipo Grosor  Peso (gr)  Capacidad (cm3)  Altura  Altura Parcial  Altura pie (F7)

Diámetro base (F8)  Altura cuenco (F7)  Altura carena al borde  Diámetro boca  Diámetro pie (F7)

Diámetro máximo  Diámetro mínimo de la mitad sup(F4/F5)  Observaciones

Apliques, decoraciones  Acabado cara externa/interna  Tipo cocción  Color Munsell

Contenido  Marcas  Localización pared  Localización zona  Orientación

Trama Estrías

Elementos postdeposicionales

GC-FID  GC-MS  GC-C-IRMS

Localización

Foto

Observaciones



Yacimiento  N° Inventario Pieza  Fase yacimiento  Periodización Argárica

Contexto  Ámbito  Conjunto  Estado conservación  Parte conservada

Fragmentación

Forma (Tipo Siret)  Tipo Grosor  Peso (gr)  Capacidad (cm3)  Altura  Altura Parcial  Altura pie (F7)

Diámetro base (F8)  Altura cuenco (F7)  Altura carena al borde  Diámetro boca  Diámetro pie (F7)

Diámetro máximo  Diámetro mínimo de la mitad sup(F4/F5)  Observaciones

Apliques, decoraciones  Acabado cara externa/interna  Tipo cocción  Color Munsell

Contenido  Marcas  Localización pared  Localización zona  Orientación

Trama Estrías

Elementos postdeposicionales

GC-FID  GC-MS  GC-C-IRMS

Localización

Foto

Observaciones

Yacimiento  N° Inventario Pieza  Fase yacimiento  Periodización Argárica

Contexto  Ámbito  Conjunto  Estado conservación  Parte conservada

Fragmentación

Forma (Tipo Siret)  Tipo Grosor  Peso (gr)  Capacidad (cm3)  Altura  Altura Parcial  Altura pie (F7)

Diámetro base (F8)  Altura cuenco (F7)  Altura carena al borde  Diámetro boca  Diámetro pie (F7)

Diámetro máximo  Diámetro mínimo de la mitad sup(F4/F5)  Observaciones

Apliques, decoraciones  Acabado cara externa/interna  Tipo cocción  Color Munsell

Contenido  Marcas  Localización pared  Localización zona  Orientación

Trama Estrías

Elementos postdeposicionales

GC-FID  GC-MS  GC-C-IRMS

Localización

Foto

Observaciones

Yacimiento  N° Inventario Pieza  Fase yacimiento  Periodización Argárica

Contexto  Ámbito  Conjunto  Estado conservación  Parte conservada

Fragmentación

Forma (Tipo Siret)  Tipo Grosor  Peso (gr)  Capacidad (cm3)  Altura  Altura Parcial  Altura pie (F7)

Diámetro base (F8)  Altura cuenco (F7)  Altura carena al borde  Diámetro boca  Diámetro pie (F7)

Diámetro máximo  Diámetro mínimo de la mitad sup(F4/F5)  Observaciones

Apliques, decoraciones  Acabado cara externa/interna  Tipo cocción  Color Munsell

Contenido  Marcas  Localización pared  Localización zona  Orientación

Trama Estrías

Elementos postdeposicionales

GC-FID  GC-MS  GC-C-IRMS

Localización

Foto

Observaciones

Yacimiento  Nº Inventario Pieza  Fase yacimiento  Periodización Argárica

Contexto  Ámbito  Conjunto  Estado conservación  Parte conservada

Fragmentación

Forma (Tipo Siret)  Tipo Grosor  Peso (gr)  Capacidad (cm3)  Altura  Altura Parcial  Altura pie (F7)

Diámetro base (F8)  Altura cuenco (F7)  Altura carena al borde  Diámetro boca  Diámetro pie (F7)

Diámetro máximo  Diámetro mínimo de la mitad sup(F4/F5)  Observaciones

Apliques, decoraciones  Acabado cara externa/interna  Tipo cocción  Color Munsell

Contenido  Marcas  Localización pared  Localización zona  Orientación

Trama Estrías

Elementos postdeposicionales

GC-FID  GC-MS  GC-C-IRMS

Localización

Foto

Observaciones

Yacimiento  N° Inventario Pieza  Fase yacimiento  Periodización Argárica

Contexto  Ámbito  Conjunto  Estado conservación  Parte conservada

Fragmentación

Forma (Tipo Siret)  Tipo Grosor  Peso (gr)  Capacidad (cm3)  Altura  Altura Parcial  Altura pie (F7)

Diámetro base (F8)  Altura cuenco (F7)  Altura carena al borde  Diámetro boca  Diámetro pie (F7)

Diámetro máximo  Diámetro mínimo de la mitad sup(F4/F5)  Observaciones

Apliques, decoraciones  Acabado cara externa/interna  Tipo cocción  Color Munsell

Contenido  Marcas  Localización pared  Localización zona  Orientación

Trama Estrías

Elementos postdeposicionales

GC-FID  GC-MS  GC-C-IRMS

Localización

Foto

Observaciones

Yacimiento  N° Inventario Pieza  Fase yacimiento  Periodización Argárica

Contexto  Ámbito  Conjunto  Estado conservación  Parte conservada

Fragmentación

Forma (Tipo Siret)  Tipo Grosor  Peso (gr)  Capacidad (cm3)  Altura  Altura Parcial  Altura pie (F7)

Diámetro base (F8)  Altura cuenco (F7)  Altura carena al borde  Diámetro boca  Diámetro pie (F7)

Diámetro máximo  Diámetro mínimo de la mitad sup(F4/F5)  Observaciones

Apliques, decoraciones  Acabado cara externa/interna  Tipo cocción  Color Munsell

Contenido  Marcas  Localización pared  Localización zona  Orientación

Trama Estrías

Elementos postdeposicionales  GC-FID  GC-MS  GC-C-IRMS

Localización  Foto

Observaciones

Yacimiento  N° Inventario Pieza  Fase yacimiento  Periodización Argárica

Contexto  Ámbito  Conjunto  Estado conservación  Parte conservada

Fragmentación

Forma (Tipo Siret)  Tipo Grosor  Peso (gr)  Capacidad (cm3)  Altura  Altura Parcial  Altura pie (F7)

Diámetro base (F8)  Altura cuenco (F7)  Altura carena al borde  Diámetro boca  Diámetro pie (F7)

Diámetro máximo  Diámetro mínimo de la mitad sup(F4/F5)  Observaciones

Apliques, decoraciones  Acabado cara externa/interna  Tipo cocción  Color Munsell

Contenido  Marcas  Localización pared  Localización zona  Orientación

Trama Estrías

Elementos postdeposicionales  GC-FID  GC-MS  GC-C-IRMS

Localización  Foto

Observaciones

Yacimiento  N° Inventario Pieza  Fase yacimiento  Periodización Argárica

Contexto  Ámbito  Conjunto  Estado conservación  Parte conservada

Fragmentación

Forma (Tipo Siret)  Tipo Grosor  Peso (gr)  Capacidad (cm3)  Altura  Altura Parcial  Altura pie (F7)

Diámetro base (F8)  Altura cuenco (F7)  Altura carena al borde  Diámetro boca  Diámetro pie (F7)

Diámetro máximo  Diámetro mínimo de la mitad sup(F4/F5)  Observaciones

Apliques, decoraciones  Acabado cara externa/interna  Tipo cocción  Color Munsell

Contenido  Marcas  Localización pared  Localización zona  Orientación

Trama Estrías

Elementos postdeposicionales

GC-FID  GC-MS  GC-C-IRMS

Localización

Foto

Observaciones



Yacimiento  N° Inventario Pieza  Fase yacimiento  Periodización Argárica

Contexto  Ámbito  Conjunto  Estado conservación  Parte conservada

Fragmentación

Forma (Tipo Siret)  Tipo Grosor  Peso (gr)  Capacidad (cm3)  Altura  Altura Parcial  Altura pie (F7)

Diámetro base (F8)  Altura cuenco (F7)  Altura carena al borde  Diámetro boca  Diámetro pie (F7)

Diámetro máximo  Diámetro mínimo de la mitad sup(F4/F5)  Observaciones

Apliques, decoraciones  Acabado cara externa/interna  Tipo cocción  Color Munsell

Contenido  Marcas  Localización pared  Localización zona  Orientación

Trama Estrías

Elementos postdeposicionales

GC-FID  GC-MS  GC-C-IRMS

Localización

Foto

Observaciones

Yacimiento  N° Inventario Pieza  Fase yacimiento  Periodización Argárica

Contexto  Ámbito  Conjunto  Estado conservación  Parte conservada

Fragmentación

Forma (Tipo Siret)  Tipo Grosor  Peso (gr)  Capacidad (cm3)  Altura  Altura Parcial  Altura pie (F7)

Diámetro base (F8)  Altura cuenco (F7)  Altura carena al borde  Diámetro boca  Diámetro pie (F7)

Diámetro máximo  Diámetro mínimo de la mitad sup(F4/F5)  Observaciones

Apliques, decoraciones  Acabado cara externa/interna  Tipo cocción  Color Munsell

Contenido  Marcas  Localización pared  Localización zona  Orientación

Trama Estrías

Elementos postdeposicionales

GC-FID  GC-MS  GC-C-IRMS

Localización

Foto

Observaciones

Yacimiento  N° Inventario Pieza  Fase yacimiento  Periodización Argárica

Contexto  Ámbito  Conjunto  Estado conservación  Parte conservada

Fragmentación

Forma (Tipo Siret)  Tipo Grosor  Peso (gr)  Capacidad (cm3)  Altura  Altura Parcial  Altura pie (F7)

Diámetro base (F8)  Altura cuenco (F7)  Altura carena al borde  Diámetro boca  Diámetro pie (F7)

Diámetro máximo  Diámetro mínimo de la mitad sup(F4/F5)  Observaciones

Apliques, decoraciones  Acabado cara externa/interna  Tipo cocción  Color Munsell

Contenido  Marcas  Localización pared  Localización zona  Orientación

Trama Estrías

Elementos postdeposicionales  GC-FID  GC-MS  GC-C-IRMS

Localización  Foto

Observaciones

Yacimiento  N° Inventario Pieza  Fase yacimiento  Periodización Argárica

Contexto  Ámbito  Conjunto  Estado conservación  Parte conservada

Fragmentación

Forma (Tipo Siret)  Tipo Grosor  Peso (gr)  Capacidad (cm3)  Altura  Altura Parcial  Altura pie (F7)

Diámetro base (F8)  Altura cuenco (F7)  Altura carena al borde  Diámetro boca  Diámetro pie (F7)

Diámetro máximo  Diámetro mínimo de la mitad sup(F4/F5)  Observaciones

Apliques, decoraciones  Acabado cara externa/interna  Tipo cocción  Color Munsell

Contenido  Marcas  Localización pared  Localización zona  Orientación

Trama Estrías

Elementos postdeposicionales

GC-FID  GC-MS  GC-C-IRMS

Localización

Foto

Observaciones

Yacimiento  N° Inventario Pieza  Fase yacimiento  Periodización Argárica

Contexto  Ámbito  Conjunto  Estado conservación  Parte conservada

Fragmentación

Forma (Tipo Siret)  Tipo Grosor  Peso (gr)  Capacidad (cm3)  Altura  Altura Parcial  Altura pie (F7)

Diámetro base (F8)  Altura cuenco (F7)  Altura carena al borde  Diámetro boca  Diámetro pie (F7)

Diámetro máximo  Diámetro mínimo de la mitad sup(F4/F5)  Observaciones

Apliques, decoraciones  Acabado cara externa/interna  Tipo cocción  Color Munsell

Contenido  Marcas  Localización pared  Localización zona  Orientación

Trama Estrías

Elementos postdeposicionales

GC-FID  GC-MS  GC-C-IRMS

Localización

Foto

Observaciones

Yacimiento  N° Inventario Pieza  Fase yacimiento  Periodización Argárica

Contexto  Ámbito  Conjunto  Estado conservación  Parte conservada

Fragmentación

Forma (Tipo Siret)  Tipo Grosor  Peso (gr)  Capacidad (cm3)  Altura  Altura Parcial  Altura pie (F7)

Diámetro base (F8)  Altura cuenco (F7)  Altura carena al borde  Diámetro boca  Diámetro pie (F7)

Diámetro máximo  Diámetro mínimo de la mitad sup(F4/F5)  Observaciones

Apliques, decoraciones  Acabado cara externa/interna  Tipo cocción  Color Munsell

Contenido  Marcas  Localización pared  Localización zona  Orientación

Trama Estrías

Elementos postdeposicionales

GC-FID  GC-MS  GC-C-IRMS

Localización

Foto

Observaciones

Yacimiento  N° Inventario Pieza  Fase yacimiento  Periodización Argárica

Contexto  Ámbito  Conjunto  Estado conservación  Parte conservada

Fragmentación

Forma (Tipo Siret)  Tipo Grosor  Peso (gr)  Capacidad (cm3)  Altura  Altura Parcial  Altura pie (F7)

Diámetro base (F8)  Altura cuenco (F7)  Altura carena al borde  Diámetro boca  Diámetro pie (F7)

Diámetro máximo  Diámetro mínimo de la mitad sup(F4/F5)  Observaciones

Apliques, decoraciones  Acabado cara externa/interna  Tipo cocción  Color Munsell

Contenido  Marcas  Localización pared  Localización zona  Orientación

Trama Estrías

Elementos postdeposicionales

GC-FID  GC-MS  GC-C-IRMS

Localización

Foto

Observaciones

Yacimiento  N° Inventario Pieza  Fase yacimiento  Periodización Argárica

Contexto  Ámbito  Conjunto  Estado conservación  Parte conservada

Fragmentación

Forma (Tipo Siret)  Tipo Grosor  Peso (gr)  Capacidad (cm3)  Altura  Altura Parcial  Altura pie (F7)

Diámetro base (F8)  Altura cuenco (F7)  Altura carena al borde  Diámetro boca  Diámetro pie (F7)

Diámetro máximo  Diámetro mínimo de la mitad sup(F4/F5)  Observaciones

Apliques, decoraciones  Acabado cara externa/interna  Tipo cocción  Color Munsell

Contenido  Marcas  Localización pared  Localización zona  Orientación

Trama Estrías

Elementos postdeposicionales

GC-FID  GC-MS  GC-C-IRMS

Localización

Foto

Observaciones



Yacimiento  N° Inventario Pieza  Fase yacimiento  Periodización Argárica

Contexto  Ámbito  Conjunto  Estado conservación  Parte conservada

Fragmentación

Forma (Tipo Siret)  Tipo Grosor  Peso (gr)  Capacidad (cm3)  Altura  Altura Parcial  Altura pie (F7)

Diámetro base (F8)  Altura cuenco (F7)  Altura carena al borde  Diámetro boca  Diámetro pie (F7)

Diámetro máximo  Diámetro mínimo de la mitad sup(F4/F5)  Observaciones

Apliques, decoraciones  Acabado cara externa/interna  Tipo cocción  Color Munsell

Contenido  Marcas  Localización pared  Localización zona  Orientación

Trama Estrías

Elementos postdeposicionales

GC-FID  GC-MS  GC-C-IRMS

Localización

Foto

Observaciones

Yacimiento  N° Inventario Pieza  Fase yacimiento  Periodización Argárica

Contexto  Ámbito  Conjunto  Estado conservación  Parte conservada

Fragmentación

Forma (Tipo Siret)  Tipo Grosor  Peso (gr)  Capacidad (cm3)  Altura  Altura Parcial  Altura pie (F7)

Diámetro base (F8)  Altura cuenco (F7)  Altura carena al borde  Diámetro boca  Diámetro pie (F7)

Diámetro máximo  Diámetro mínimo de la mitad sup(F4/F5)  Observaciones

Apliques, decoraciones  Acabado cara externa/interna  Tipo cocción  Color Munsell

Contenido  Marcas  Localización pared  Localización zona  Orientación

Trama Estrías

Elementos postdeposicionales  GC-FID  GC-MS  GC-C-IRMS

Localización  Foto

Observaciones

Yacimiento  N° Inventario Pieza  Fase yacimiento  Periodización Argárica

Contexto  Ámbito  Conjunto  Estado conservación  Parte conservada

Fragmentación

Forma (Tipo Siret)  Tipo Grosor  Peso (gr)  Capacidad (cm3)  Altura  Altura Parcial  Altura pie (F7)

Diámetro base (F8)  Altura cuenco (F7)  Altura carena al borde  Diámetro boca  Diámetro pie (F7)

Diámetro máximo  Diámetro mínimo de la mitad sup(F4/F5)  Observaciones

Apliques, decoraciones  Acabado cara externa/interna  Tipo cocción  Color Munsell

Contenido  Marcas  Localización pared  Localización zona  Orientación

Trama Estrías

Elementos postdeposicionales

GC-FID  GC-MS  GC-C-IRMS

Localización

Foto

Observaciones

Yacimiento  N° Inventario Pieza  Fase yacimiento  Periodización Argárica

Contexto  Ámbito  Conjunto  Estado conservación  Parte conservada

Fragmentación

Forma (Tipo Siret)  Tipo Grosor  Peso (gr)  Capacidad (cm3)  Altura  Altura Parcial  Altura pie (F7)

Diámetro base (F8)  Altura cuenco (F7)  Altura carena al borde  Diámetro boca  Diámetro pie (F7)

Diámetro máximo  Diámetro mínimo de la mitad sup(F4/F5)  Observaciones

Apliques, decoraciones  Acabado cara externa/interna  Tipo cocción  Color Munsell

Contenido  Marcas  Localización pared  Localización zona  Orientación

Trama Estrías

Elementos postdeposicionales

GC-FID  GC-MS  GC-C-IRMS

Localización

Foto

Observaciones

Yacimiento  N° Inventario Pieza  Fase yacimiento  Periodización Argárica

Contexto  Ámbito  Conjunto  Estado conservación  Parte conservada

Fragmentación

Forma (Tipo Siret)  Tipo Grosor  Peso (gr)  Capacidad (cm3)  Altura  Altura Parcial  Altura pie (F7)

Diámetro base (F8)  Altura cuenco (F7)  Altura carena al borde  Diámetro boca  Diámetro pie (F7)

Diámetro máximo  Diámetro mínimo de la mitad sup(F4/F5)  Observaciones

Apliques, decoraciones  Acabado cara externa/interna  Tipo cocción  Color Munsell

Contenido  Marcas  Localización pared  Localización zona  Orientación

Trama Estrías

Elementos postdeposicionales

GC-FID  GC-MS  GC-C-IRMS

Localización

Foto

Observaciones

Yacimiento  N° Inventario Pieza  Fase yacimiento  Periodización Argárica

Contexto  Ámbito  Conjunto  Estado conservación  Parte conservada

Fragmentación

Forma (Tipo Siret)  Tipo Grosor  Peso (gr)  Capacidad (cm3)  Altura  Altura Parcial  Altura pie (F7)

Diámetro base (F8)  Altura cuenco (F7)  Altura carena al borde  Diámetro boca  Diámetro pie (F7)

Diámetro máximo  Diámetro mínimo de la mitad sup(F4/F5)  Observaciones

Apliques, decoraciones  Acabado cara externa/interna  Tipo cocción  Color Munsell

Contenido  Marcas  Localización pared  Localización zona  Orientación

Trama Estrías

Elementos postdeposicionales

GC-FID  GC-MS  GC-C-IRMS

Localización

Foto

Observaciones

Yacimiento  N° Inventario Pieza  Fase yacimiento  Periodización Argárica

Contexto  Ámbito  Conjunto  Estado conservación  Parte conservada

Fragmentación

Forma (Tipo Siret)  Tipo Grosor  Peso (gr)  Capacidad (cm3)  Altura  Altura Parcial  Altura pie (F7)

Diámetro base (F8)  Altura cuenco (F7)  Altura carena al borde  Diámetro boca  Diámetro pie (F7)

Diámetro máximo  Diámetro mínimo de la mitad sup(F4/F5)  Observaciones

Apliques, decoraciones  Acabado cara externa/interna  Tipo cocción  Color Munsell

Contenido  Marcas  Localización pared  Localización zona  Orientación

Trama Estrías

Elementos postdeposicionales  GC-FID  GC-MS  GC-C-IRMS

Localización  Foto

Observaciones

Yacimiento  N° Inventario Pieza  Fase yacimiento  Periodización Argárica

Contexto  Ámbito  Conjunto  Estado conservación  Parte conservada

Fragmentación

Forma (Tipo Siret)  Tipo Grosor  Peso (gr)  Capacidad (cm3)  Altura  Altura Parcial  Altura pie (F7)

Diámetro base (F8)  Altura cuenco (F7)  Altura carena al borde  Diámetro boca  Diámetro pie (F7)

Diámetro máximo  Diámetro mínimo de la mitad sup(F4/F5)  Observaciones

Apliques, decoraciones  Acabado cara externa/interna  Tipo cocción  Color Munsell

Contenido  Marcas  Localización pared  Localización zona  Orientación

Trama Estrías

Elementos postdeposicionales

GC-FID  GC-MS  GC-C-IRMS

Localización

Foto

Observaciones



Yacimiento  N° Inventario Pieza  Fase yacimiento  Periodización Argárica

Contexto  Ámbito  Conjunto  Estado conservación  Parte conservada

Fragmentación

Forma (Tipo Siret)  Tipo Grosor  Peso (gr)  Capacidad (cm3)  Altura  Altura Parcial  Altura pie (F7)

Diámetro base (F8)  Altura cuenco (F7)  Altura carena al borde  Diámetro boca  Diámetro pie (F7)

Diámetro máximo  Diámetro mínimo de la mitad sup(F4/F5)  Observaciones

Apliques, decoraciones  Acabado cara externa/interna  Tipo cocción  Color Munsell

Contenido  Marcas  Localización pared  Localización zona  Orientación

Trama Estrías

Elementos postdeposicionales

GC-FID  GC-MS  GC-C-IRMS

Localización

Foto

Observaciones

Yacimiento  N° Inventario Pieza  Fase yacimiento  Periodización Argárica

Contexto  Ámbito  Conjunto  Estado conservación  Parte conservada

Fragmentación

Forma (Tipo Siret)  Tipo Grosor  Peso (gr)  Capacidad (cm3)  Altura  Altura Parcial  Altura pie (F7)

Diámetro base (F8)  Altura cuenco (F7)  Altura carena al borde  Diámetro boca  Diámetro pie (F7)

Diámetro máximo  Diámetro mínimo de la mitad sup(F4/F5)  Observaciones

Apliques, decoraciones  Acabado cara externa/interna  Tipo cocción  Color Munsell

Contenido  Marcas  Localización pared  Localización zona  Orientación

Trama Estrías

Elementos postdeposicionales

GC-FID  GC-MS  GC-C-IRMS

Localización

Foto

Observaciones

Yacimiento  N° Inventario Pieza  Fase yacimiento  Periodización Argárica

Contexto  Ámbito  Conjunto  Estado conservación  Parte conservada

Fragmentación

Forma (Tipo Siret)  Tipo Grosor  Peso (gr)  Capacidad (cm3)  Altura  Altura Parcial  Altura pie (F7)

Diámetro base (F8)  Altura cuenco (F7)  Altura carena al borde  Diámetro boca  Diámetro pie (F7)

Diámetro máximo  Diámetro mínimo de la mitad sup(F4/F5)  Observaciones

Apliques, decoraciones  Acabado cara externa/interna  Tipo cocción  Color Munsell

Contenido  Marcas  Localización pared  Localización zona  Orientación

Trama Estrías

Elementos postdeposicionales  GC-FID  GC-MS  GC-C-IRMS

Localización  Foto

Observaciones

Yacimiento  N° Inventario Pieza  Fase yacimiento  Periodización Argárica

Contexto  Ámbito  Conjunto  Estado conservación  Parte conservada

Fragmentación

Forma (Tipo Siret)  Tipo Grosor  Peso (gr)  Capacidad (cm3)  Altura  Altura Parcial  Altura pie (F7)

Diámetro base (F8)  Altura cuenco (F7)  Altura carena al borde  Diámetro boca  Diámetro pie (F7)

Diámetro máximo  Diámetro mínimo de la mitad sup(F4/F5)  Observaciones

Apliques, decoraciones  Acabado cara externa/interna  Tipo cocción  Color Munsell

Contenido  Marcas  Localización pared  Localización zona  Orientación

Trama Estrías

Elementos postdeposicionales

GC-FID  GC-MS  GC-C-IRMS

Localización

Foto

Observaciones

Yacimiento  N° Inventario Pieza  Fase yacimiento  Periodización Argárica

Contexto  Ámbito  Conjunto  Estado conservación  Parte conservada

Fragmentación

Forma (Tipo Siret)  Tipo Grosor  Peso (gr)  Capacidad (cm3)  Altura  Altura Parcial  Altura pie (F7)

Diámetro base (F8)  Altura cuenco (F7)  Altura carena al borde  Diámetro boca  Diámetro pie (F7)

Diámetro máximo  Diámetro mínimo de la mitad sup(F4/F5)  Observaciones

Apliques, decoraciones  Acabado cara externa/interna  Tipo cocción  Color Munsell

Contenido  Marcas  Localización pared  Localización zona  Orientación

Trama Estrías

Elementos postdeposicionales

GC-FID  GC-MS  GC-C-IRMS

Localización

Foto

Observaciones

Yacimiento  N° Inventario Pieza  Fase yacimiento  Periodización Argárica

Contexto  Ámbito  Conjunto  Estado conservación  Parte conservada

Fragmentación

Forma (Tipo Siret)  Tipo Grosor  Peso (gr)  Capacidad (cm3)  Altura  Altura Parcial  Altura pie (F7)

Diámetro base (F8)  Altura cuenco (F7)  Altura carena al borde  Diámetro boca  Diámetro pie (F7)

Diámetro máximo  Diámetro mínimo de la mitad sup(F4/F5)  Observaciones

Apliques, decoraciones  Acabado cara externa/interna  Tipo cocción  Color Munsell

Contenido  Marcas  Localización pared  Localización zona  Orientación

Trama Estrías

Elementos postdeposicionales

GC-FID  GC-MS  GC-C-IRMS

Localización

Foto

Observaciones

Yacimiento  N° Inventario Pieza  Fase yacimiento  Periodización Argárica

Contexto  Ámbito  Conjunto  Estado conservación  Parte conservada

Fragmentación

Forma (Tipo Siret)  Tipo Grosor  Peso (gr)  Capacidad (cm3)  Altura  Altura Parcial  Altura pie (F7)

Diámetro base (F8)  Altura cuenco (F7)  Altura carena al borde  Diámetro boca  Diámetro pie (F7)

Diámetro máximo  Diámetro mínimo de la mitad sup(F4/F5)  Observaciones

Apliques, decoraciones  Acabado cara externa/interna  Tipo cocción  Color Munsell

Contenido  Marcas  Localización pared  Localización zona  Orientación

Trama Estrías

Elementos postdeposicionales

GC-FID  GC-MS  GC-C-IRMS

Localización

Foto

Observaciones

Yacimiento  N° Inventario Pieza  Fase yacimiento  Periodización Argárica

Contexto  Ámbito  Conjunto  Estado conservación  Parte conservada

Fragmentación

Forma (Tipo Siret)  Tipo Grosor  Peso (gr)  Capacidad (cm3)  Altura  Altura Parcial  Altura pie (F7)

Diámetro base (F8)  Altura cuenco (F7)  Altura carena al borde  Diámetro boca  Diámetro pie (F7)

Diámetro máximo  Diámetro mínimo de la mitad sup(F4/F5)  Observaciones

Apliques, decoraciones  Acabado cara externa/interna  Tipo cocción  Color Munsell

Contenido  Marcas  Localización pared  Localización zona  Orientación

Trama Estrías

Elementos postdeposicionales  GC-FID  GC-MS  GC-C-IRMS

Localización  Foto

Observaciones